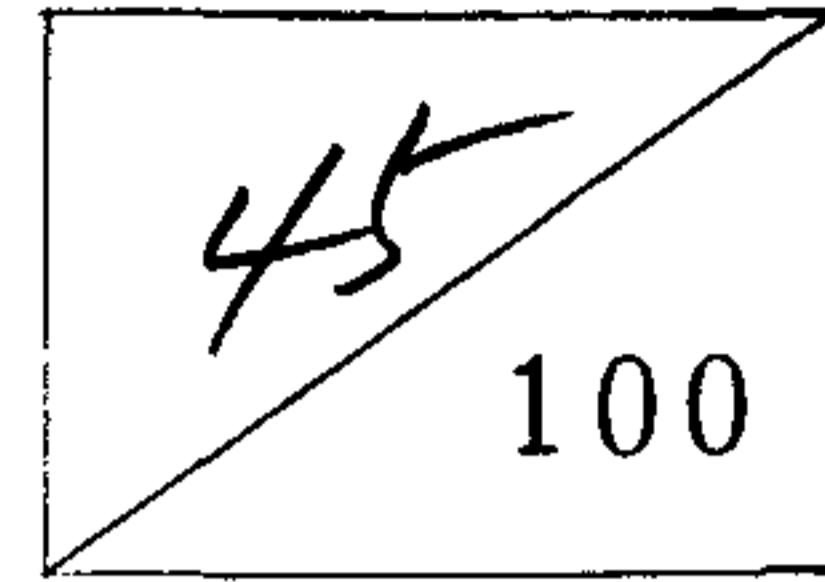


UCE 245-3-S



成形研削機의 主軸部 構造解析을 통한  
精密度向上 및 最適設計에 關한 研究

A Study on the Optimization of Surface  
Grinding Machine Design through the Structure  
Analysis of Spindle System.

研究機關

財團法人 韓國機械研究所

科學技術處

寄贈	一九八七年
六月	十日
寄贈	本

# 提 出 文

科學技術處長官 貴下

本 報告書를 “ 成形 研削機의 主軸部 構造解析을 통한 精密度 向上  
및 最適設計에 關한 研究 ” 事業의 最終 報告書로 提出합니다.

1986 年 3 月

研究機關名：韓國機械研究所

研究責任者：韓 正 彬

研 究 員：黃 圭 源

許 善 範

丁 明 鎮

朴 東 三

韓 壹 愚

朱 珽 祐

# 要 約 文

## I. 題 目

成形 研削機의 主軸部 構造解析을 통한 精密度 向上 및 最適設計에 關한 研究

## II. 研究의 目的 및 重要性

最近 電子機器 産業分野의 發達과 함께 精密加工을 위한 高精度 研削機에 대한 要求가 늘어나고 있다. 그러나, 當 研究所의 事前檢査 結果에 의하면 成形研削機의 平均 不合格率이 26.3%를 차지하고 있으며 이는 工作機械 平均不合格率 9.4%를 훨씬 凌駕하고 있다. 이러한 不合格 要因은 主軸, 主軸베어링 및 主軸驅動 裝置로 構成되는 主軸部の 設計 및 組立技術의 不足에 기인하는 것으로 지적되었으며 이는 우리나라 精密加工 水準向上에 큰 장애가 되고 있다.

따라서, 本 研究에서는 研削機의 가장 중요한 構造인 主軸部の 靜的變形과 動的特性, 熱變形 特性 및 回轉精度的 分析을 통하여 研削機의 高精度化를 위한 最適設計 方案을 提示하는데 그 目的이 있다.

## III. 研究의 內容 및 範圍

國產 및 外産의 成形研削機를 對象으로

- 主軸先端 ( Spindle nose ) 의 靜的 變形 解析
- 共振周波數를 구하기 위한 主軸의 振動解析
- 組立 상태에서의 主軸先端의 動的特性
- 運轉時間에 대한 溫度分布 및 그 變化

- 熱變形으로 인한 主軸部の 變位特性
  - 主軸先端的의 回轉精度
- 等に 대한 理論的 解析과 實驗을 통하여
- 研削機 主軸部の 設計根據를 규명하고
  - 國產 研削機의 主軸部를 再設計하여 이를 組立한 후 위의 여러 特性들을 分析하여
  - 國產成形 研削機의 設計 및 組立에 대한 基準值를 提示하였다.

#### IV. 研究結果 및 活用に 對한 建議

- 電算 프로그램을 통한 主軸先端的의 靜的變形量은 베어링剛性이 線形일 때  $7.78 \mu m$ , 非線形일 때  $9.43 \mu m$ , 實測結果는  $14.0 \mu m$ 로 나타났으며 이는 計算值가 組立틈새를 고려하지 않은 점과 軸지름을 平均지름으로 한 데 기인하는 것으로 判斷된다.  
한편, 最適設計 解析으로 베어링 最適간격은  $163.6 \sim 186.9 \text{ mm}$ 로 나타났으며 본 研究모델의 研削機는 베어링剛性을 線形으로 計算한 設計值였다.
- 傳達 매트릭스法을 이용한 主軸의 1次 固有振動數는  $5050 \text{ Hz}$ , 2次 固有振動數는  $17750 \text{ Hz}$ 로 運轉速度보다 훨씬 높게 나타났다.  
또한 組立狀態에서의 主軸先端的의 충격시험 결과 첫번째 peak는  $610 \text{ Hz}$ , 두번째는  $1360 \text{ Hz}$  등이었으며, 無負荷運轉時 前部 베어링 하우징에서의 振動測定 結果  $610 \text{ Hz}$ 에서 Peak를 보여주고 있었다.
- 베어링 하우징에서의 溫度變化特性은 運轉時間 60分에서 安定되고 있으며 最大溫度上昇은 원래 모델에 대하여 약  $25^\circ\text{C}$ 였

으나 개선된 모델의 경우 20℃로 나타났다. 또한, 테이블과 主軸先端 中心의 相對變位는 원래모델의 경우 48  $\mu m$ , 改善된 모델은 31  $\mu m$ 로 나타나 熱變形 特性이 많이 改善되었다.

한편, 研削機 前後 칼럼의 溫度差가 크게 나타났는데 이는 主軸部의 熱變形 特性을 나쁘게 하는 要因으로 지적되어 熱的 對稱性을 이룰 수 있도록 構造 改善이 要望된다.

- 主軸의 半徑方向의 回轉精度는 원래 모델에 대하여 2.35~3.10  $\mu m$  개선된 모델에 대하여 1.45~2.35  $\mu m$  였으며 軸方向은 各 各 4.30~12.6  $\mu m$ , 4.0~10.0  $\mu m$ 로 나타나 개선모델의 回轉精度가 양호하게 나타났다. 또한, 한 部分에서의 심한 찌그러짐 현상은 加工 및 組立의 불량과 主軸의 熱變形이 한쪽 으로서만 일어나고 있는 것에 기인한다.
- 이상의 分析結果 主軸의 熱變形 및 回轉精度 等은 主軸과 베어링, 베어링과 하우징에서의 組立틈새와 베어링의 선정에 큰 影響을 받는 것으로 판명되었으며 主軸部를 改善하여 상당히 양호한 結果를 얻었다. 따라서, 본 研究에서 提示된 設計值 및 主軸과 하우징의 베어링 組立部分의 加工公差 實例는 研削機 設計 및 組立에 應用될 수 있을 것이다.

여 백

## SUMMARY

### 1. Subject

A Study on the Optimization of Surface Grinding Machine Design through the Structure Analysis of Spindle System.

### 2. Object

With the development of electronic industry and the expansion of production automation, high precision machining becomes the most critical basic technique and thereby the demand of grinding machines are increased rapidly.

However, according to the KIMM's report on the inspection of home made grinding machines, the inferiority ratio in 1984 reached 26.3 percents which surpassed the average inferiority ratio of machine tools, 9.4 percents. And it is pointed out that this higher inferiority ratio is mainly due to the lack of design ability and assembling techniques of spindle system.

In this study, therefore, we aimed at presenting the effective countermeasures to improve the accuracy of grinding machines through the analytic and experimental study of spindle system.

### 3. Scopes and Contents

For home made and foreign made surface grinding machines, we studied:

- o Static deflection and stiffness of spindle
- o optimum design of spindle system maximizing the static stiffness of spindle
- o natural frequencies of spindle only
- o dynamic characteristics of spindle nose in assembled state
- o temperature distributions and variations to the operation time
- o displacement of spindle nose by thermal deformation
- o error motion of spindle

With the above theoretical analyses and experimental results, this study

- o modified the home made spindle system and tested it
- o presented the optimum design principle of spindle system
- o presented the general data to design and assemble the spindle system.

#### 4. Results and suggestions

1) The calculated static deflection of spindle nose was  $7.78\mu\text{m}$  when bearing stiffness was supposed to be linear, and  $9.43\mu\text{m}$  when nonlinear, and measured value was  $14.0\mu\text{m}$ .

The difference between calculated and measured values is considered to be occurred because of neglecting the assembling



clearances and estimating spindle diameter as average value in computer program.

The optimum bearing span was 163.6 to 186.9mm, and it turned out that the studied home made spindle had been designed under the assumption of bearing stiffness to be linear.

2) The first natural frequency of spindle only by transfer matrix method was 5050Hz, and the second was 17750Hz, which was far above the operating speed of grinding machine.

Impact test on spindle nose in assembled state showed that the first peak appeared at 610Hz, the second 1360Hz.

3) Temperature variation at the bearing housing was stabilized after 60 minutes operation. Maximum temperature increase was 25°C in original spindle, and 20°C in modified spindle.

The relative displacement between the table surface and the center of spindle nose was 48μm in original spindle, and 31μm in modified spindle. These results showed that the thermal deformation was considerably reduced by modifying spindle design.

4) Radial error motion was 2.35~3.10μm in original spindle, and improved to be 1.45~2.35μm in modified spindle. Axial error motion was 4.30~12.6μm in original spindle, and improved to be 4.0~10.0μm in modified spindle.

Distortion appearing on error motion graphs indicated that machining the spindle and assembling the peripheral parts had some defects and the thermal deformation of spindle occurred in one direction.

5) The above analyses and results indicate that thermal deformation and error motion of spindle have close relation with the selection of spindle bearing and assembling fits among bearings, spindle and housing.

Several characteristics of spindle were improved by modifying spindle design. Therefore, the examples of the design and machining tolerances of spindle system and housing presented by this study can be applied to design and assemble surface grinding machine in the field.

# 目 次

1 . 序 論 .....	13
2 . 主軸部の 静剛性 .....	15
2-1 序 論 .....	15
2-2 静剛性 理論 .....	16
2-3 主軸部 最適設計 .....	21
2-4 解析例 및 結果分析 .....	23
3 . 主軸部の 動剛性 .....	32
3-1 序 論 .....	32
3-2 動特性 解析理論 .....	33
3-3 結果分析 및 實驗 .....	38
4 . 主軸部の 熱剛性 .....	42
4-1 序 論 .....	42
4-2 主軸先端과 테이블上面과의 相對變位 .....	46
4-3 實驗結果 및 分析 .....	58
4-4 熱變形 對策 .....	70
5 . 主軸의 回轉精度 .....	84
5-1 序 論 .....	84
5-2 研削機 主軸의 回轉精度 .....	85
5-3 主軸의 回轉誤差 發生要因 .....	88
5-4 實驗裝置 및 測定回路 .....	90
5-5 結果 및 分析 .....	94

6 . 綜合的 考察 .....	105
6-1 靜剛性 .....	106
6-2 動剛性 .....	107
6-3 熱剛性 .....	107
6-4 回轉精度 .....	108
7 . 結 論 .....	110
參考文獻 .....	112
附 錄 1 . 試驗用 研削機의 精度 比較表.....	114
2 . 製作會社別 研削機 사양 對比表 .....	116
3 . 主軸과 하우징의 베어링 組立部分의 加工公差 設計例 ( P4 級 베어링 基準 ) .....	117

CONTENTS

1.	Introduction .....	13
2.	Static Stiffness of Spindle System .....	15
2-1.	Introduction .....	15
2-2.	Theory of static stiffness .....	16
2-3.	Optimum design of spindle system .....	21
2-4.	Example of analysis & discussion of results ...	23
3.	Dynamic Stiffness of Spindle System .....	32
3-1.	Introduction .....	32
3-2.	Theory of dynamic characteristics .....	33
3-3.	Discussion of results & experiment .....	38
4.	Thermal Stiffness of Spindle System .....	42
4-1.	Introduction .....	42
4-2.	Relative displacements between spindle nose & table .....	46
4-3.	Results of experiment & discussion .....	58
4-4.	Countermeasures for thermal deformation .....	70
5.	Error Motion of Spindle .....	84
5-1.	Introduction .....	84
5-2.	Error motion of spindle .....	85

5-3.	Causes of error motion .....	88
5-4.	Experimental apparatus & circuit .....	90
5-5.	Results & discussion .....	94
6.	Syntheses of Results .....	105
6-1.	Static stiffness .....	106
6-2.	Dynamic stiffness .....	107
6-3.	Thermal stiffness .....	107
6-4.	Error motion .....	108
7.	Conclusions .....	110
	References .....	112
	Appendix .....	114
1.	Accuracy of studied surface grinding machines ...	114
2.	Specification of grinding machines produced in Korea .....	116
3.	Design example of machining tolerances of spindle, housing and bearings for their proper assembling .....	117

# 1. 序 論

工作機械는 所謂 Mother Machine 으로서 그 性能 및 品質은 모든 工產品의 品質에 絶對적인 影響을 미치고 있다. 그 中에서도 研削機는 製品의 精密度를 最終적으로 決定하는 마무리 作業을 擔當하는 工作機械로서, 最近 NC, CNC 化等 自動化的 擴大 및 半導體等의 發達과 함께 이를 뒷받침할 수 있는 精密加工의 手段으로서 그 重要性이 더욱 增大되고 있다.

國內의 工作機械 産業은 汎用工作機械를 中心으로 生産技術은 相當한 水準에 올라있으나, 아직도 設計能力面에서는 未洽한 實情이다. 當 研究所에서는 '79 年度부터 研削機에 對한 事前檢査 業務를 遂行하고 있는 바, 統計에 依하면 '84 年度 成形研削機의 平均不合格率은 26.3% (工作機械類 全體 平均不合格率 9.4%)에 이르고 있으며, 이러한 不合格의 主要原因은 不適合한 主軸部設計 및 組立技術의 不足에 基因하는 것으로 指適되고 있다.

研削機의 主軸部는 工作精度 및 加工能率 等 研削機의 性能에 크게 影響을 미치며, Chattering, 形狀精度, 表面거칠기 等 加工上의 問題點 및 加工精密度를 決定하는 主된 因子가 되고 있다.

따라서 先進國에서는 主軸部 改善을 爲한 構造解析이나 熱變形에 對한 研究가 活潑히 進行되고 있으며, 國內에서도 工作機械의 動的特性에 關한 研究報告書는 發表되고 있으나 研削機에 對해서는 아직까지 손을 대지 못하고 있는 實情이다.

이에따라 本 研究에서는 現在 研削機 生産業界에서 必要로 하는 設計 및 組立技術의 確立에 必要한 基礎資料의 獲得을 爲하여 成形研削機의 主軸部를 對象으로 靜・動剛性, 回轉精度 및 熱變形 問題等を 理

論的으로 解析하고 諸般 問題發生의 Mechanism 을 定量的으로 규명 하  
였으며, 國產과 外產의 成形研削機 1 臺씩을 試料로 選定하여 그 構  
造 및 性能 等を 比較 測定한 後 國產研削機의 問題點을 抽出하였  
다. 이어서 理論的으로 규명된 資料를 土臺로 抽出된 問題點의 補完  
을 爲한 設計變更을 實施하였으며 이에 따라 研削機를 修正한 後 다  
시 性能을 試驗하여 元來의 性能과 比較함으로써 그 結果를 確認하  
였다.



## 2. 主軸部の 靜剛性

### 2-1 序 論

主軸의 靜剛性은 切削力에 대한 主軸의 變形의 程度로 定意되며 일반적으로 工作機械의 主軸部 設計段階에서 쉽게 적용시킬 수 있는 것으로 強力切削, 耐 Chattering 과 밀접한 관계를 가지고 있다.

지금까지의 研究에 의하면, 靜剛性은 主軸形狀, 主軸의 支持方法, 베어링間隔, 主軸베어링의 種類 및 크기에 의해 결정된다. 이의 解析方法은 主軸을 2~3개의 彈性的으로 支持된 單純支持보 (elastically supported simple beam) 로 모델화시켜 主軸先端 (spindle nose) 에 힘을 가했을때 主軸의 變形에 기초하고 있다. 이러한 變形은 主軸自體의 變形과 베어링反力에 의한 베어링의 變形의 합으로 볼 수 있으며 Honrath 等<sup>1)</sup>에 따르면 全體變形에 대한 主軸自體의 變形은 50~70%, 베어링變形은 30~50%가 된다. 또한 Schlesinger<sup>2)</sup>는 靜剛性은 前部베어링 (front bearing) 에 의해 주로 결정되며 後部베어링 (rear bearing) 또는 中間베어링 (middle bearing) 은 거의 영향을 미치지 않는다고 했다. 그외에 Shenck 는 前後베어링의 中點의 變形이 1  $\mu$ m 가 되는 荷重을 靜剛性으로 定意하고 靜剛性式을 유도했으며 Yang Shuzi<sup>3)</sup>는 Correlation Stiffness 의 概念을 도입하여 靜剛性을 解析하고 前部베어링 돌출부 길이를 짧게, 軸의 斷面 2次 모우멘트 및 前部 베어링의 剛性을 높이는 것이 主軸의 靜剛性을 向上시키는 方法이라고 했다.

한편, 主軸部の 最適設計는 靜剛性 解析을 통하여 主軸先端의 最大 靜剛性 즉 主軸先端의 變形을 最小로 하는 베어링 간격 (bearing span)

을 決定하는 問題로 귀결된다.<sup>4,5)</sup> Honrath는 베어링간격  $\ell$ 은 前部 베어링돌출부 길이  $a$ 의 3~5배 정도를, 安井武司<sup>6)</sup>는 普通旋盤 主軸의 경우 主軸지름  $D$ 의 2.5~5배로 정하고 있다. 일반적으로  $\ell = (3 \sim 5) a$ , 혹은  $\ell = (3 \sim 6) D$ 를 기준으로 하여 大型主軸의 경우는 하한치를, 小型의 경우는 상한치로 결정하고 있다.

그러나, 이러한 解析은 베어링 剛性係數 ( bearing stiffness)가 힘에 대하여 線形 ( linear )이라는 가정하에 이루어져 剛性係數가 非線形的이라는 Hertz 理論에 비추어 어느정도 타당성을 결여하고 있다고 판단된다.

本 研究에서는 國內 工作機械業體의 成形研削機의 主軸系를 모델로 베어링剛性的 非線形성을 고려하여 靜剛性を 解析하고 主軸系 여러 요소가 이에 영향을 미치는 정도를 分析하였다. 또한 最適베어링간격을 결정하기 위하여 主軸先端의 처짐을 最小化하는 方法과 더불어 主軸 양끝단 및 前後 베어링 中點의 3點의 처짐을 最小化하는 方法을 도입하여 두 결과를 比較했다. 以上の 靜剛性 解析 및 最適設計를 위한 電算 program을 開發하여 몇개의 設計條件만으로 最適値를 구하고 그때 主軸 및 베어링의 變形形態를 出力시켜 볼 수 있도록 하였다.

## 2-2 靜剛性 理論

### 2-2-1 研削機 主軸部

研削機의 主軸部는 Fig 2-1과 같은 構造로 되어 있으며, 旋盤의 경우는 숫돌 ( grinding wheel )대신에 척 ( Chuck )이 고정되며 軸의 中間 또는 끝단에 動力傳達要素 ( gear, pulley 등 )가 부가되나 解析

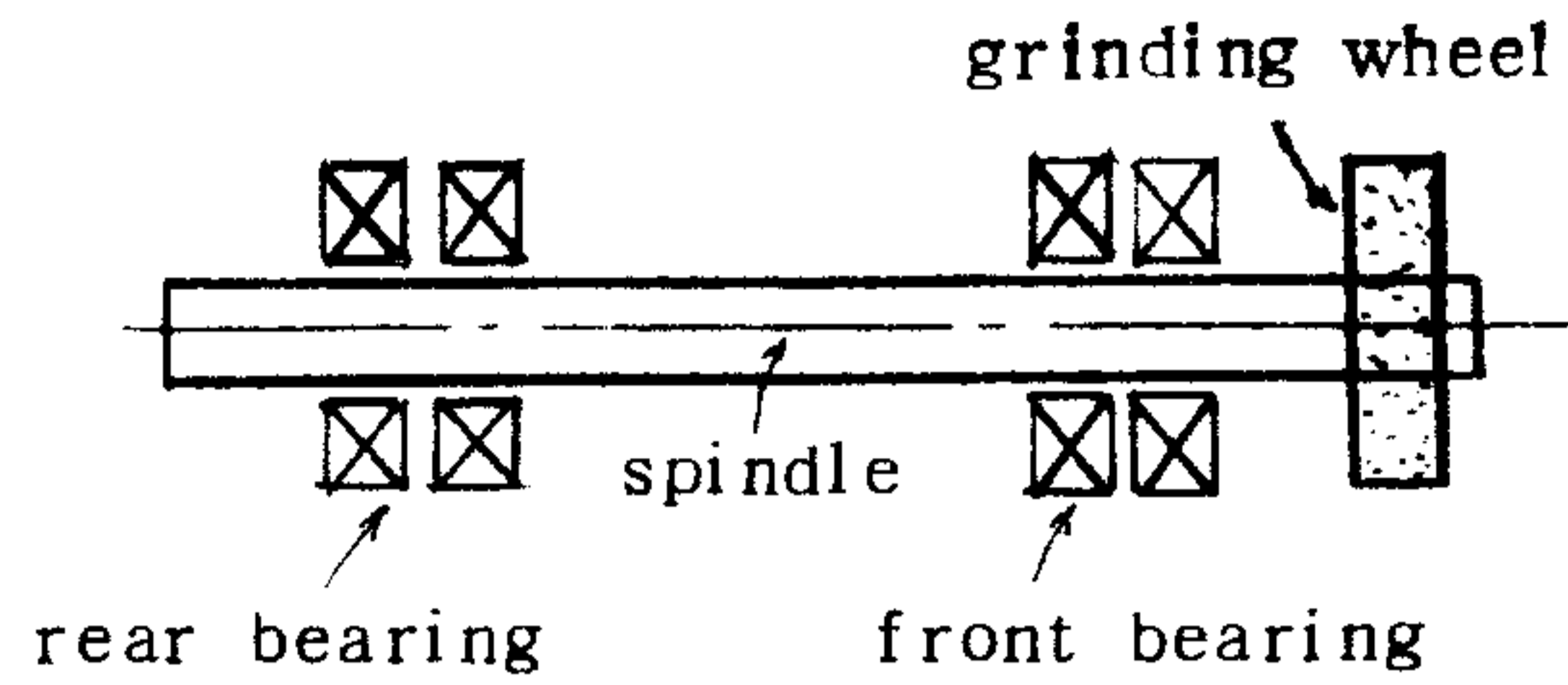


Fig. 2-1 Spindle of grinding machine.

은 같은 방법으로 할수 있다.

Fig 2-1 은 Fig 2-2(a)와 같이 베어링 剛性  $C_1, C_2$  및 damping 常數  $d_1, d_2$  를 가진 스프링支持系로 볼 수 있으며 이때  $d_1, d_2$  는 靜剛性에 는 영향이 미치지 않으므로 여기서는 고려하지 않는다.

2-2-2 . 主軸部の 變形

主軸의 全體變形은 主軸自體의 變形 ( Fig. 2-2(b) )과 베어링 反力에 의한 變形 ( Fig. 2-2(c) )의 疊으로 볼 수 있으며 우선 主軸 自體의 變形을 구하기 위하여 Singularity function 을 利用하면 다음과 같이 쓸 수 있다.

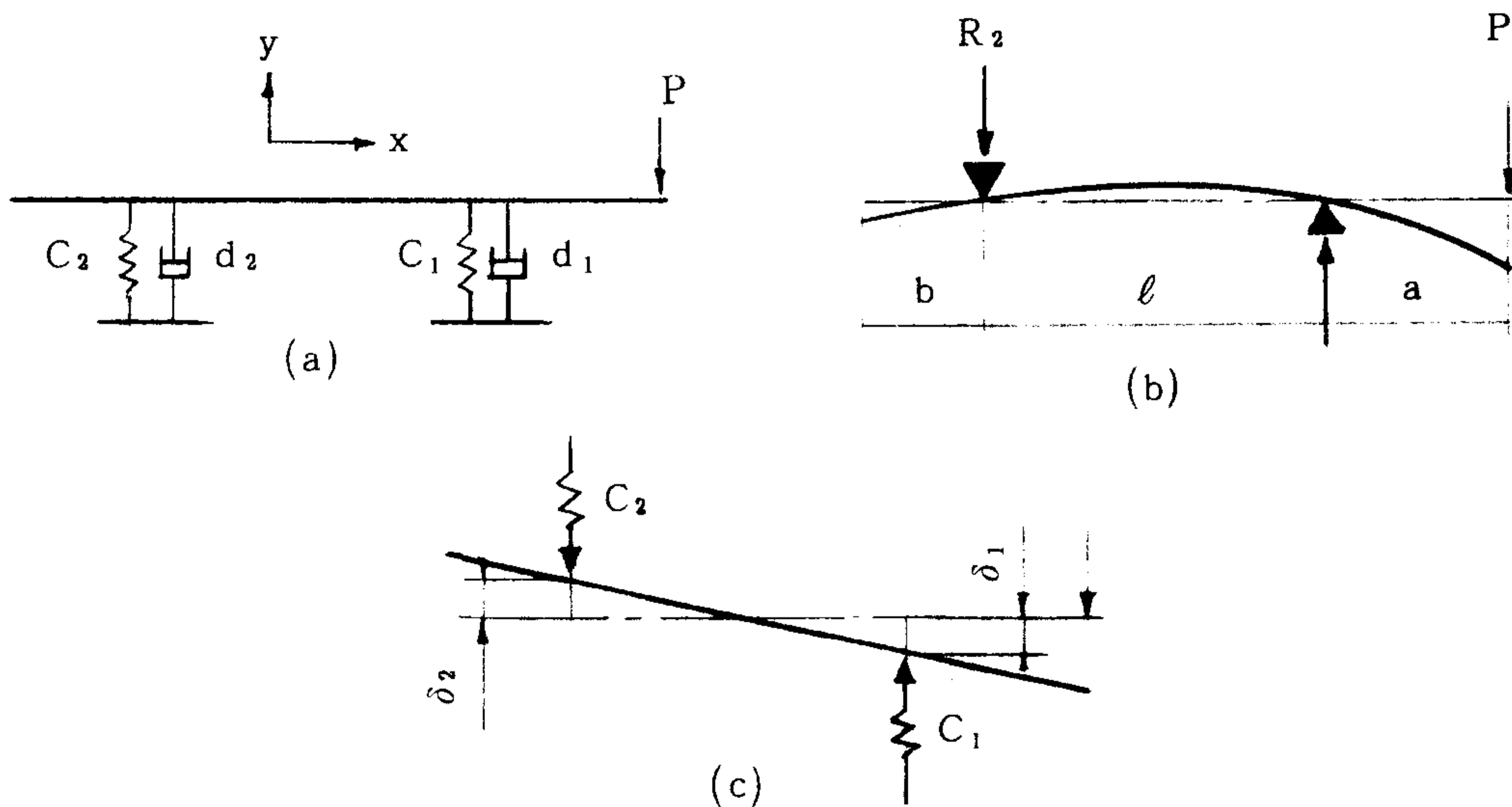


Fig. 2-2 Modeling of static deflection of spindle

$$\begin{aligned}
q &= -R_2 \langle x-b \rangle^{-1} + R_1 \langle x-(\ell+b) \rangle^{-1} - P \langle x-(\ell+a+b) \rangle^{-1} \\
-V &= -R_2 \langle x-b \rangle^0 + R_1 \langle x-(\ell+b) \rangle^0 - P \langle x-(\ell+a+b) \rangle^0 \\
M_b &= -R_2 \langle x-b \rangle^1 + R_1 \langle x-(\ell+b) \rangle^1 - P \langle x-(\ell+a+b) \rangle^1 \\
EI \frac{dy}{dx} &= -\frac{R_2}{2} \langle x-b \rangle^2 + \frac{R_1}{2} \langle x-(\ell+b) \rangle^2 - \frac{P}{2} \langle x-(\ell+a+b) \rangle^2 + k_1 \\
EIY &= -\frac{R_2}{6} \langle x-b \rangle^3 + \frac{R_1}{6} \langle x-(\ell+b) \rangle^3 - \frac{P}{6} \langle x-(\ell+a+b) \rangle^3 + k_1 x + k_2 \\
&\dots\dots\dots - (2-1)
\end{aligned}$$

여기서,  $R_1$  : 前部 베어링反力,  $R_2$  : 後部베어링反力  
 $q$  : 荷重  
 $V$  : 剪斷力  
 $M_b$  : 굽힘 모우멘트  
 $a$  : 前部 베어링돌출부 길이  
 $b$  : 後部 베어링돌출부 길이  
 $\ell$  : 베어링간격  
 $E$  : Young 率  
 $I$  : 斷面 2 次 모우멘트

한편,  $R_1$  과  $R_2$  는 Fig . 2-2 (b) 에서 힘의 평형조건으로 부터

$$R_1 = \left( \frac{\ell+a}{\ell} \right) P, \quad R_2 = \left( \frac{a}{\ell} \right) P \dots\dots\dots - (2-2)$$

또한 적분상수  $k_1, k_2$  는 경계조건

$$x = b \text{ 에서 } y = 0, \quad x = b + \ell \text{ 에서 } y = 0$$

을 式 ( 2-1 ) 에 대입하여 다음과 같이 구해진다.

$$k_1 = \frac{R_2}{6} \ell^2, \quad k_2 = -\frac{R_2}{6} \ell^2 b$$

이상의 결과를 식 (2-1)에 대입하면 主軸의 變形式  $y_1$ 은 다음과 같이 쓸 수 있다.

$$y_1 = -\frac{aP}{6EI\ell} \langle x-b \rangle^3 + \frac{(\ell+a)P}{6EI\ell} \langle x-(\ell+b) \rangle^3 + \frac{a\ell P}{6EI} x - \frac{ab\ell P}{6EI} \dots\dots (2-3)$$

한편, 베어링反力  $R_1, R_2$ 에 의한 베어링變形과 主軸變形을 구하기 위하여 Fig.2-2 (c)에서 베어링反력에 의한 前後 베어링의 變形量을 각각  $\delta_1, \delta_2$ 라 하면 임의의 점에서 主軸의 變形  $y_2$ 는

$$y_2 = -\left(\frac{\delta_1 + \delta_2}{\ell}\right)x + \frac{b}{\ell}\delta_1 + \left(\frac{\ell+b}{\ell}\right)\delta_2 \dots\dots\dots (2-4)$$

여기서  $\delta_1, \delta_2$ 는 2-2-3에서 구할 수 있다.

이상의 결과에서 主軸部の 전체變形  $y$ 는  $y_1$ 과  $y_2$ 의 합이므로

$$y = y_1 + y_2 = -\frac{aP}{6EI} \langle x-b \rangle^3 + \frac{(\ell+a)P}{6EI\ell} \langle x-(\ell+b) \rangle^3 - \frac{P}{6EI} \langle x-(\ell+a+b) \rangle^3 + \frac{a\ell P}{6EI} x - \frac{ab\ell P}{6EI} - \frac{(\delta_1 + \delta_2)}{\ell} x + \frac{b}{\ell}\delta_1 + \left(\frac{\ell+b}{\ell}\right)\delta_2 \dots\dots\dots (2-5)$$

### 2-2-3 베어링의 變形과 剛性係數 ( bearing stiffnes )

靜剛性 解析에 있어서 가장 어려운 점의 하나는 베어링의 剛性係數를 구하는 것이다. 일반적으로, 반지름方向의 힘 ( radial force )을 받는 구름베어링 ( rolling bearing )의 剛性係數는 윤활유의 영향을 무시하면 荷重, 베어링의 種類, 안지름과 바깥지름, 傳動體인 로울러 ( roller ), 니들 ( needle ) 또는 볼 ( ball )의 지름, 폭, 갯수 및 조립 틈새의 영향을 받는다. 실제의 解析에 있어서는 實驗的으로 剛性係數를 구할 수 있으나 本 研究에서는 Hertz의 접촉탄성이론에 의한 式

( Table 2-1 ) 을 이용하여 반지름 방향의 變形量  $\delta r$  을 구하고 베어링 剛性係數를 線形으로 가정한 경우는

$$C_1 = \frac{R_1}{\delta_1}, \quad C_2 = \frac{R_2}{\delta_2} \dots\dots\dots (2-6)$$

여기서,  $C_1$  : 前部 베어링 剛性係數

$C_2$  : 後部 베어링 剛性係數

로 구했으며 非線形으로 가정한 경우는 다음과 같이 정의하여 구했다.

$$C_{1,2} = \left( \frac{dFr}{d\delta r} \right)_{\substack{Fr=R_1, R_2 \\ \delta r=\delta_1, \delta_2}} \dots\dots\dots (2-7)$$

Table 2-1 베어링의 彈性變形量

베어링의 種類	반지름方向變形量 $\delta r$ (mm)	軸方向變形量 $\delta a$ (mm)
깊은홈 볼 베어링	$\delta r = 0.002 \left( \frac{Q_{max}^2}{Da} \right)^{1/3}$	$\delta a = \frac{0.002}{\sin \alpha} \left( \frac{Q^2}{Da} \right)^{1/3}$
앵귤러콘택트베어링	$\delta r = \frac{0.002}{\cos \alpha_0} \left( \frac{Q_{max}^2}{Da} \right)^{1/3}$	$\delta a = \frac{0.002}{\sin \alpha} \left( \frac{Q^2}{Da} \right)^{1/3}$
自動調心 볼 베어링	$\delta r = \frac{0.0032}{\cos \alpha_0} \left( \frac{Q_{max}^2}{Da} \right)^{1/3}$	$\delta a = \frac{0.0032}{\sin \alpha_0} \left( \frac{Q^2}{Da} \right)^{1/3}$
트러스트 볼 베어링	-	$\delta a = \frac{0.0024}{\sin \alpha_0} \left( \frac{Q^2}{Da} \right)^{1/3}$
圓筒로울러 베어링	$\delta r = 0.0006 \frac{Q_{max}^{0.9}}{\ell_{eff}^{0.8}}$	-
테이퍼 로울러 베어링	$\delta r = \frac{0.0006}{\cos \alpha_0} \frac{Q_{max}^{0.9}}{\ell_{eff}^{0.8}}$	$\delta a = \frac{0.0006}{\sin \alpha_0} \frac{Q_{max}^{0.9}}{\ell_{eff}^{0.8}}$
自動調心로울러베어링	$\delta r = \frac{0.0012}{\cos \alpha_0} \left( \frac{Q_{max}^3}{\ell_{eff}} \right)^{1/4}$	$\delta a = \frac{0.0012}{\sin \alpha_0} \left( \frac{Q^3}{\ell_{eff}} \right)^{1/4}$
最大轉動體荷重	rail 荷重 Fr (kgf) 볼베어링 $Q_{max} = \frac{5 Fr}{\cos \alpha_0}$ 로울러베어링 $Q_{max} = \frac{4.6 Fr}{\cos \alpha_0}$	thrust 荷重 Fa (kgf) $Q = \frac{Fa}{i Z \sin \alpha}$

여기서  $D_a$  : 볼의 지름 ( mm )  
 $l_{eff}$  : 로울러의 유효길이 ( mm )  
 $i$  : 베어링의 예數  
 $Z$  : 1 예당의 傳動體의 수  
 $\alpha_0$  : 無 負荷時의 接觸角  
 $\alpha$  : 負荷時의 接觸角

한편, 傳動體의 지름 및 수량은 다음식들로부터 구한다.

$$P_a \approx \frac{1}{4} (D_o - D_i)$$

$$l_{eff} \approx 0.5 B : \text{로울러 베어링}$$

$$\approx 0.8 B : \text{니이들 베어링}$$

$$Z_{max} = 180^\circ / \arcsin \left( \frac{D_o - D_i}{2(D_o + D_i)} \right)$$

$$\psi = Z/Z_{max} \begin{cases} = 0.7 : \text{로울러 베어링} \\ = 0.6 : \text{니이들 베어링} \\ = 0.5 : \text{볼 베어링} \end{cases}$$

여기서,  $D_o$  : 베어링 바깥지름  
 $D_i$  : 베어링 안지름  
 $B$  : 베어링 폭

이상의 식들에서 베어링의 變形量 및 剛性係數는 荷重 즉, 베어링反力, 베어링種類, 베어링폭, 베어링의 바깥지름 및 안지름만 알면 구해진다.

## 2 - 3 主軸部の 最適設計

主軸部變形の 개략도를 Fig2-3 에 나타내었다. 主軸先端的 變形

量  $y_f$  는 式 ( 2-5 ) 에

$$x = \ell + a + b$$

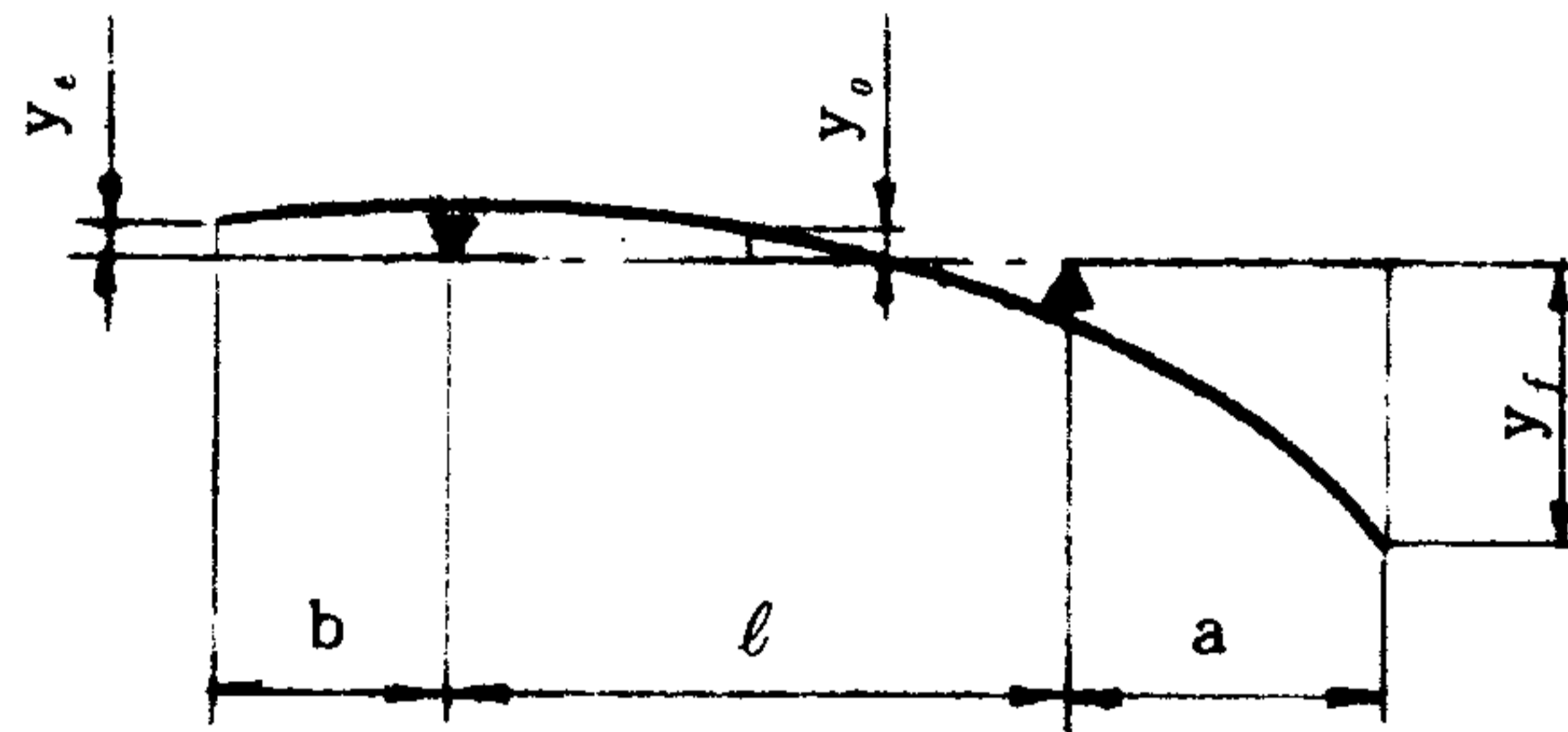


Fig. 2-3 Total static deflection of spindle

를 대입하고 베어링剛性を 線形으로 가정할 경우 式 ( 2-6 ) 을 이용하면

$$y_f = -\frac{Pa^3}{3EI} - \frac{Pla^2}{3EI} - \left(\frac{\ell+a}{\ell}\right)^2 \frac{P}{C_1} - \left(\frac{a}{\ell}\right)^2 \frac{P}{C_2} \dots\dots\dots (2-8)$$

非線形으로 가정할 경우는

$$y_f = -\frac{Pa^3}{3EI} - \frac{Pla^2}{3EI} - \left(\frac{\ell+a}{\ell}\right) \delta_1 - \left(\frac{a}{\ell}\right) \delta_2 \dots\dots\dots (2-9)$$

로 유도할 수 있으며  $\delta_1, \delta_2$  는 Hertz 式에서 구한다.

지금까지의 대부분의 研究는 式 ( 2-8 ) 을 이용하여  $y_f$  의 絕對值를 最小化시키는 베어링 간격  $\ell$  을 구하여 이를 主軸設計에 있어 主軸先端의 靜剛性を 最大로 하는 最適 베어링 간격으로 定義하고 있다.

그러나, 本 研究에서는 主軸끝단의 變形  $y_e$  및 前後베어링의 중점의 처짐  $y_o$  도 고려하여 이를 비교하기로 하였다.  $y_o$  는 式 ( 2-6 ) 에

$$x = b + \frac{\ell}{2}$$

를 대입하여 구하면

$$\text{베어링 剛性線形 : } y_o = \frac{a\ell^2}{16EI} P + \frac{\ell}{2} \left\{ \left(\frac{a}{\ell}\right) \frac{P}{C_2} - \left(\frac{\ell+a}{\ell}\right) \frac{P}{C_1} \right\}$$



$$\dots\dots\dots(2-10)$$

$$\text{베어링 剛性 非線形} : y_o = \frac{a\ell^2}{16EI} P + \frac{\ell}{2} (\delta_2 - \delta_1) \dots\dots\dots(2-11)$$

마찬가지로  $y_e$  는 式(2-6)에

$$x = 0$$

를 대입하여 구하면

$$\text{베어링 剛性 線形} : y_e = \frac{a \cdot b \cdot \ell}{16EI} P + \frac{b(\ell+a)}{\ell^2} \frac{P}{C_1} + \frac{a(\ell+b)}{\ell^2} \frac{P}{C_2} \dots\dots\dots(2-12)$$

$$\text{베어링 剛性 非線形} : y_e = - \frac{ab\ell}{16EI} P + \frac{b}{\ell} \delta_1 + \left(\frac{b+\ell}{\ell}\right) \delta_2$$

한편,  $y_f$ ,  $y_o$  및  $y_e$  를 最小化 하기 위하여 目的函數  $Y$  를 도입하여

$$Y = y_f^2 + y_o^2 + y_e^2 \dots\dots\dots(2-13)$$

로 定義하면 이를 最小化하는 베어링 간격  $\ell$  이 最適値가 된다.

## 2-4 解析例 및 結果分析

### 2-4-1 解析主軸

Fig. 2-4(a)는 國內研削機 製造業體의 실제 主軸이며 (b)는 이를 모델화시킨 것이다. 軸의 各 要素의 길이 및 지름은 다음과 같다.

$$\ell_1 = 32, \quad \ell_2 = 25, \quad \ell_3 = 47, \quad \ell_4 = 129, \quad \ell_5 = 42, \quad \ell_6 = 13, \quad \ell_7 = 24,$$

$$D_1 = 19, \quad D_2 = 25, \quad D_3 = 30, \quad D_4 = 40, \quad D_5 = 25, \quad D_6 = 23, \quad D_7 = 20$$

Table 2-2 는 軸의 物理的 性質 및 化學成分을 나타내었으며

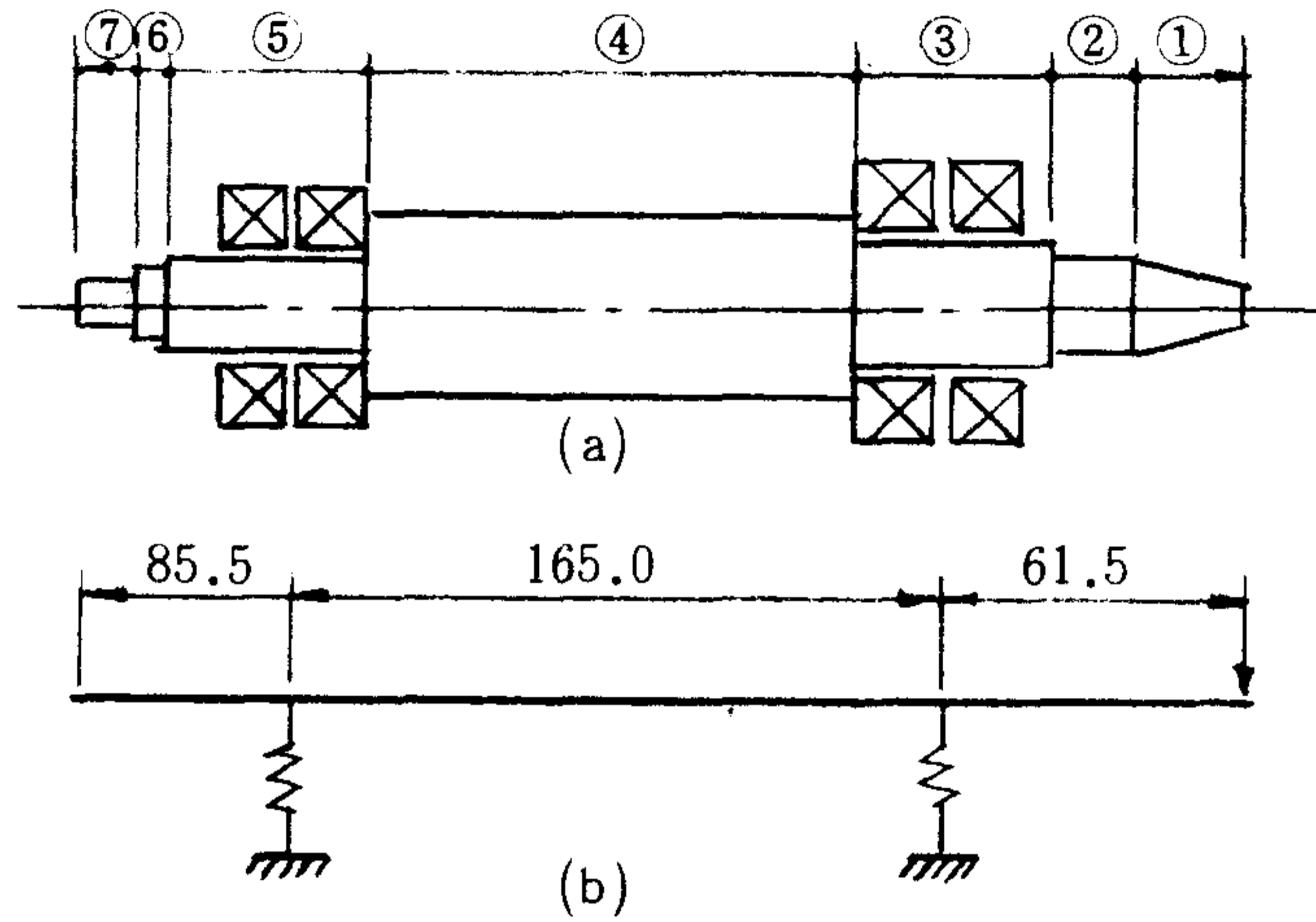


Fig. 2-4 Studied spindle.

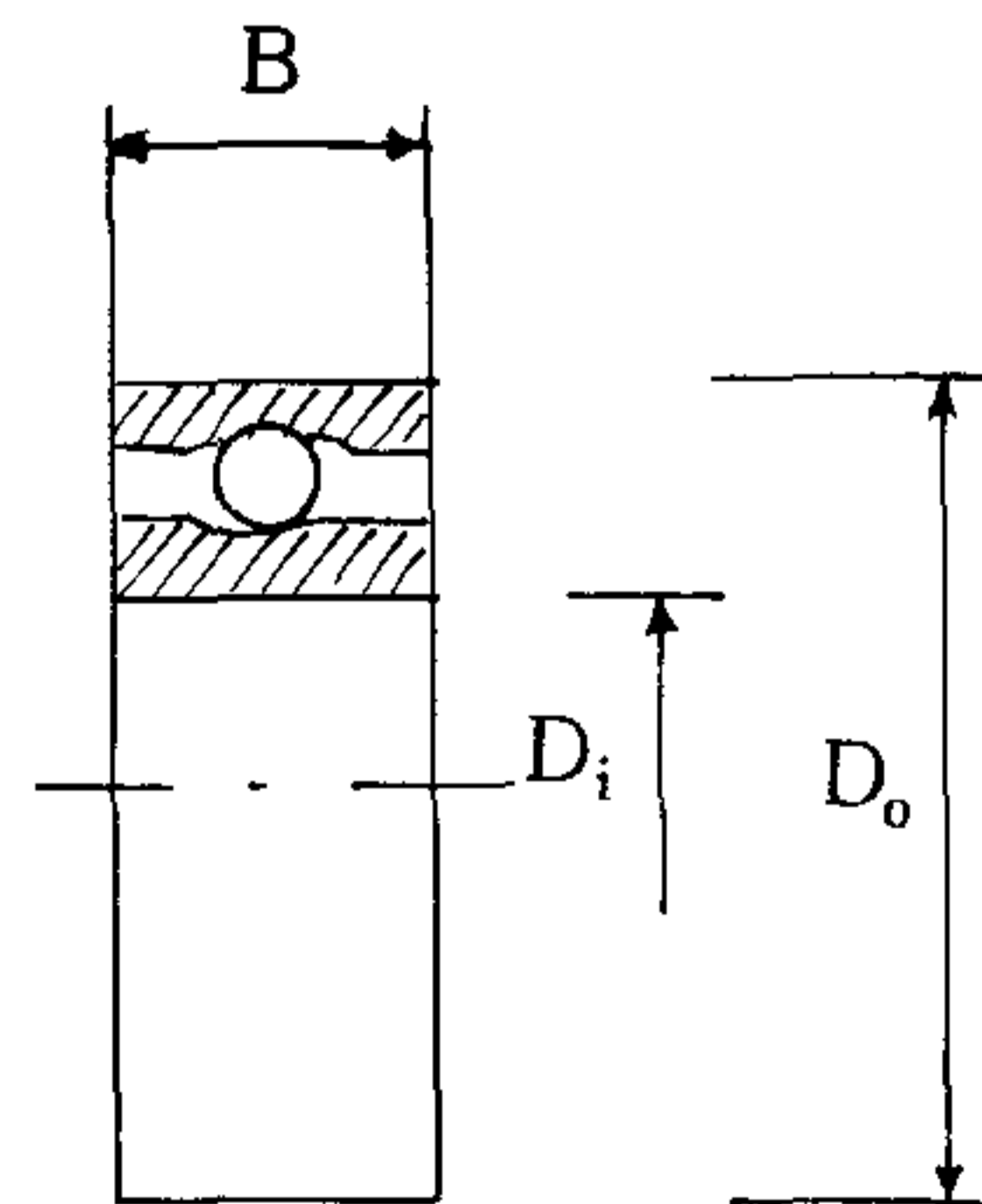
Table 2-3 는 사용된 베어링이다.

Table 2-2 Mechanical properties & chemical compositions of spindle

Mechanical properties		Chemical Compositions	
material	SM45 C	C	0.41 - 0.48 %
young's modulus	2100 kg/mm <sup>2</sup>	Si	0.15 - 0.35 %
density	7.8 × 10 <sup>-6</sup> kg/mm <sup>3</sup>	Mn	0.60 - 0.90 %
Poisson's ratio	0.275	P	- 0.03 %
yield stress	60 kg/mm <sup>2</sup>	S	- 0.035 %

Table 2-3 Spindle bearings

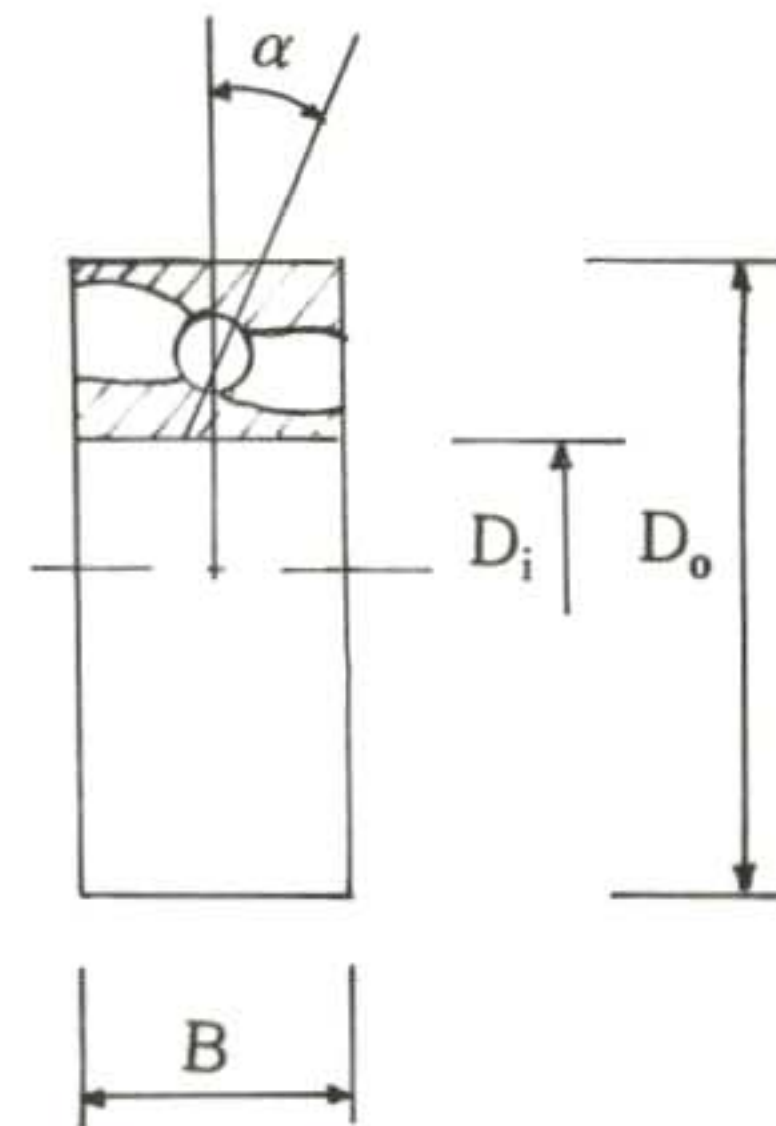
	JIS	D <sub>o</sub>	D <sub>i</sub>	B
Front Bearing	6206	62	30	16
Rear Bearing	6205	50	25	15



한편, 研削機의 主軸 베어링으로는 일반적으로 Angular contact ball bearing 을 사용하고 있으며, 깊은흠 볼 베어링은 推力을 받을 수 없으므로 거의 사용되지 않을 뿐만 아니라 精密工作機械用으로는 부적당하다. 따라서, 본 연구에서는 Angular contact ball bearing 을 다시 組立하여 靜剛性을 조사하였다. 이의 베어링을 Table. 2-4 에 나타내었다.( chap 6 參照 )

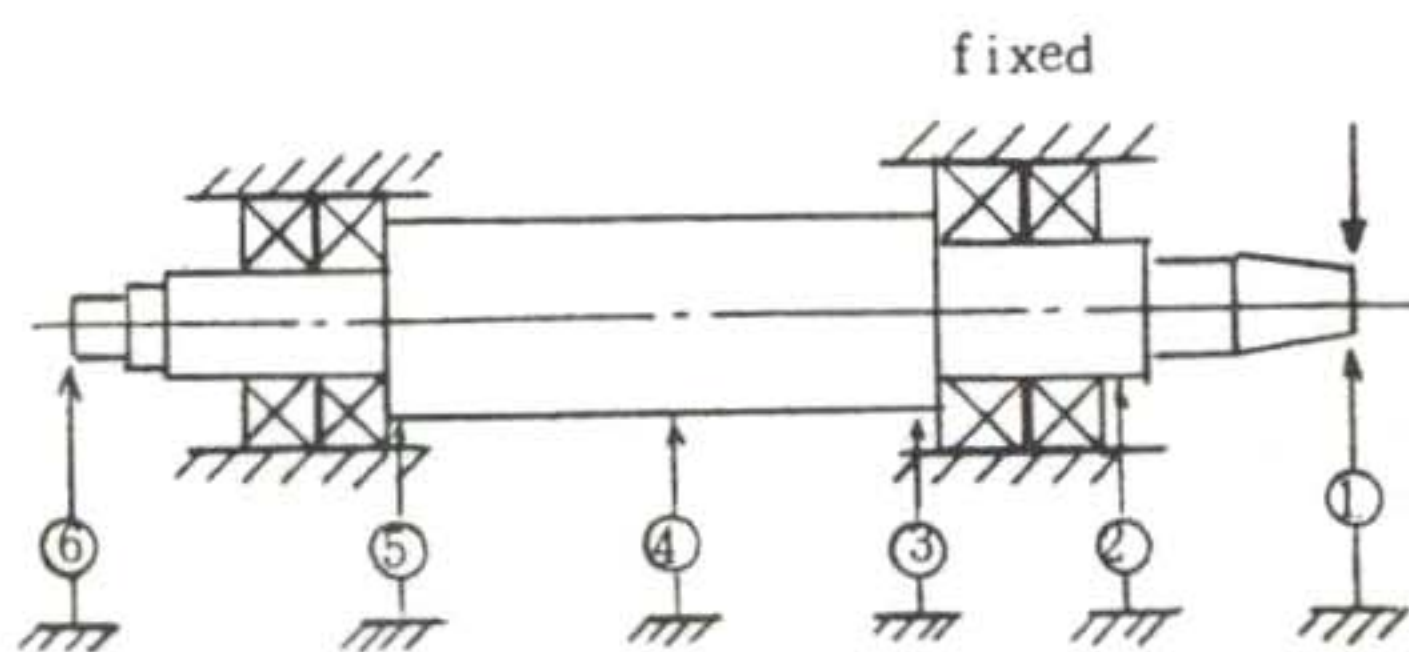
Table 2-4 Modified spindle bearings

	JIS	$D_o$	$D_i$	B	$\alpha(^{\circ})$
Front bearing	7206C	62	30	16	15
Rear bearing	7205C	50	25	15	15



2-4-2 靜剛性 實驗 및 解析結果

主軸部の 靜剛性 實驗 원리를 Fig.2-5에 나타내었으며 이의 測定모습을 Fig.2-6에 나타내었다.



※ 1~6 : dial gage

Fig 2-5 Measurement of static deflection.

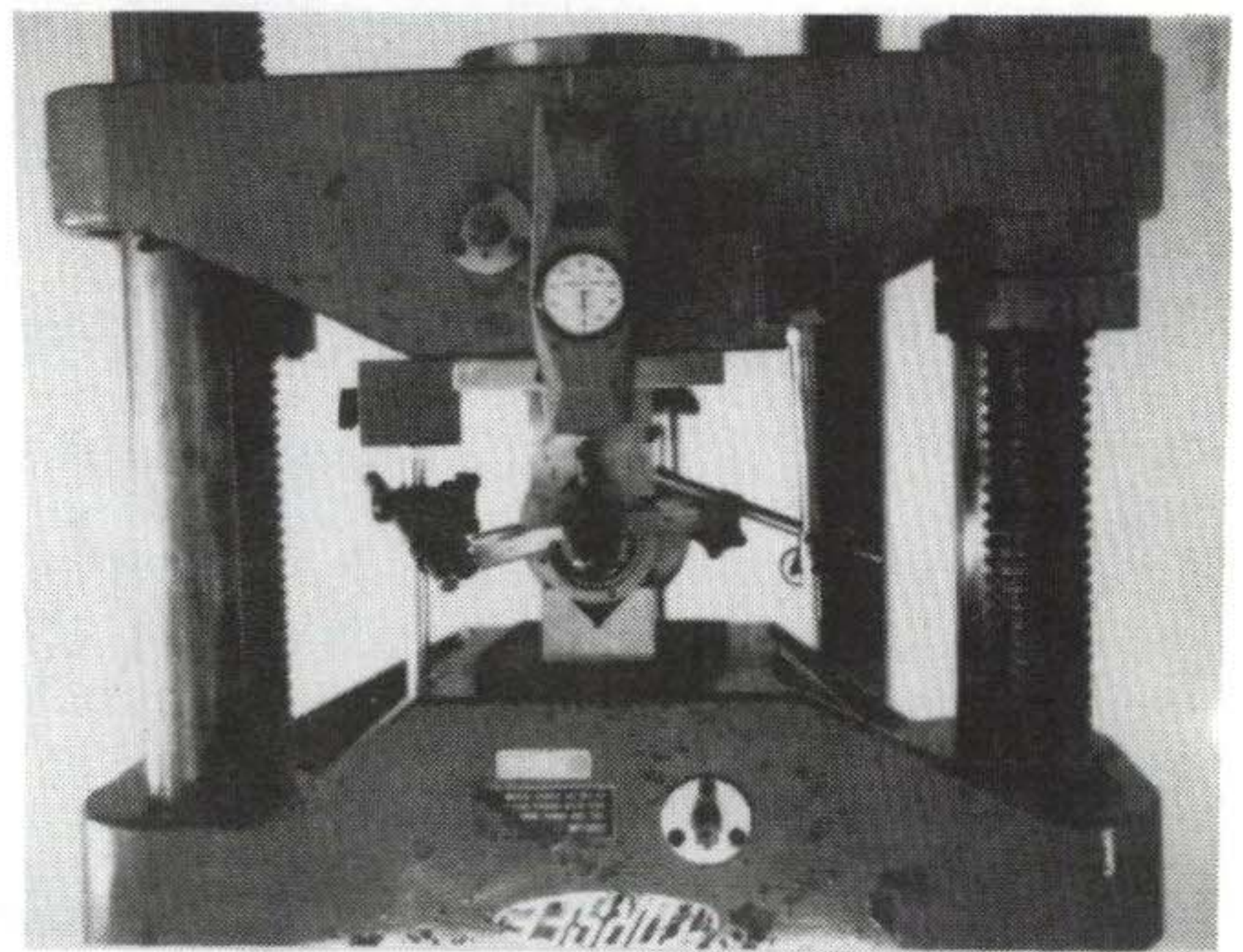


Fig. 2-6 Feature of measurement

主軸先端의 荷重은  $10\text{ kg f}$ 의 추를 이용하여 가했으며 測定値와 開發된 program에 의한 계산치를 Fig 2-7에 나타내었다.

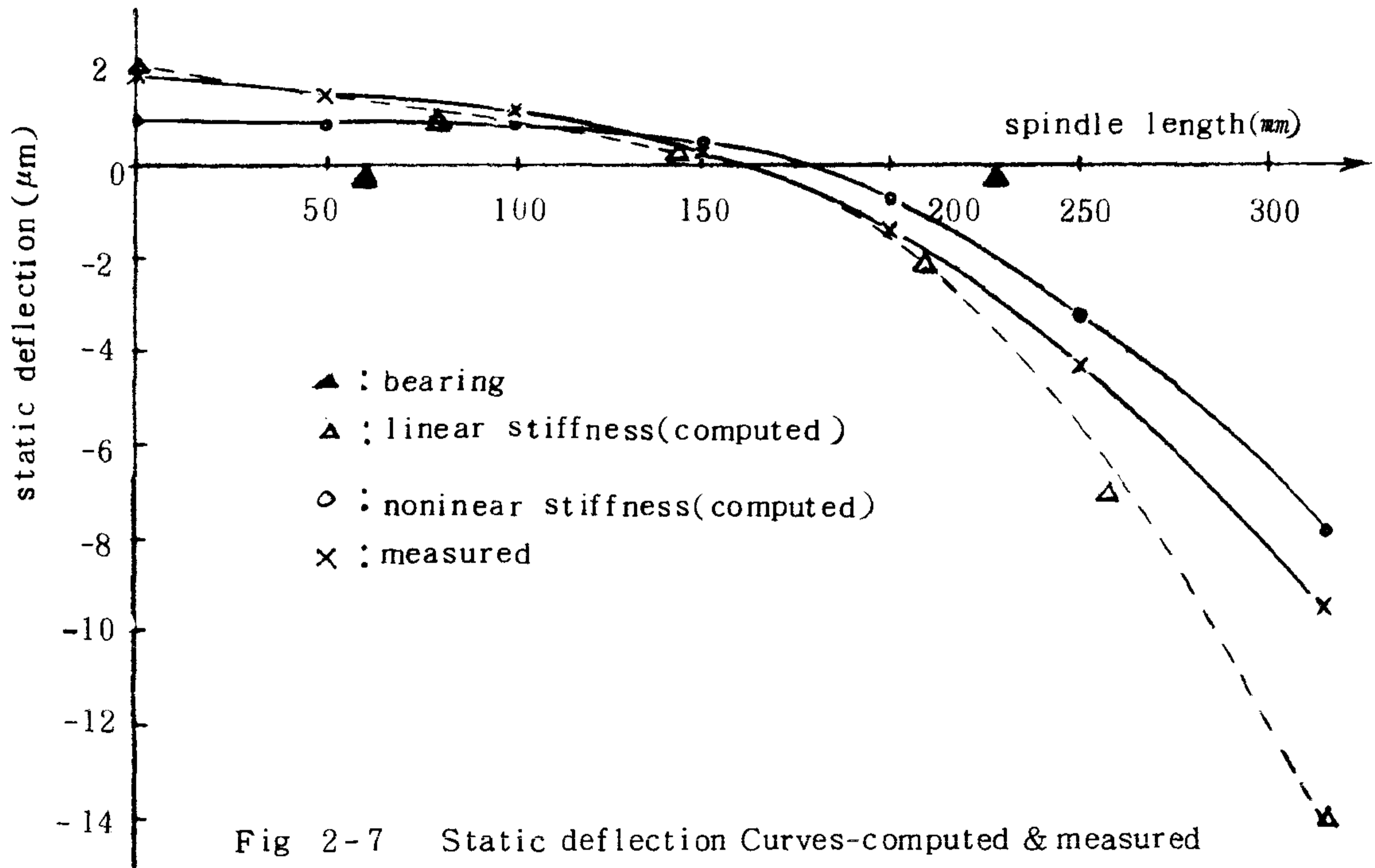


Fig 2-7 Static deflection Curves-computed & measured

Fig2-7에서 보듯이 實驗値가 계산치 보다 크게 나타나고 있으며 이는 계산치가 베어링 內外輪과 볼의 간극 ( Clearance ) 및 軸과의 組立틈새를 고려하지 않았기 때문인 것으로 판단된다. 또한 베어링 앞뒤 돌출부의 軸의 지름은 계산치에서 사용된 平均 軸지름  $33.9\text{ mm}$ 보다 작으므로 實驗値 變形量이 더 크게 나타난 것으로 보인다.

한편, 계산치 중에서도 베어링 剛性を 線形으로 가정할 때보다 非線形으로 가정할 때 더 크게 나타났다. 主軸端의 變形量의 경우 線形일때 總變形量은  $7.78\ \mu\text{ m}$ 로 主軸自體變形이 57.6%를 차지했으며 非線形일때 總變形量은  $9.43\ \mu\text{ m}$ 로 主軸自體變形이 47.5%를 차지하여 線形일 경우 主軸自體變形이 차지하는 비율이 크며 베어링反力에

의한 主軸變形은 작다. 이들 變形量들은 Honrath가 주장한 범위와 일치하고 있다.

Fig. 2-8은 主軸部の 最適設計를 위하여  $R = a/\ell$ 로 定義하고 R의 변화에 따른 主軸先端의 처짐  $y_f$ , 前後베어링 中點의 처짐  $y_o$ , 끝단의 처짐  $y_e$  및  $Y = y_f^2 + y_e^2 + y_o^2$ 의 변화를 나타낸 것이다.

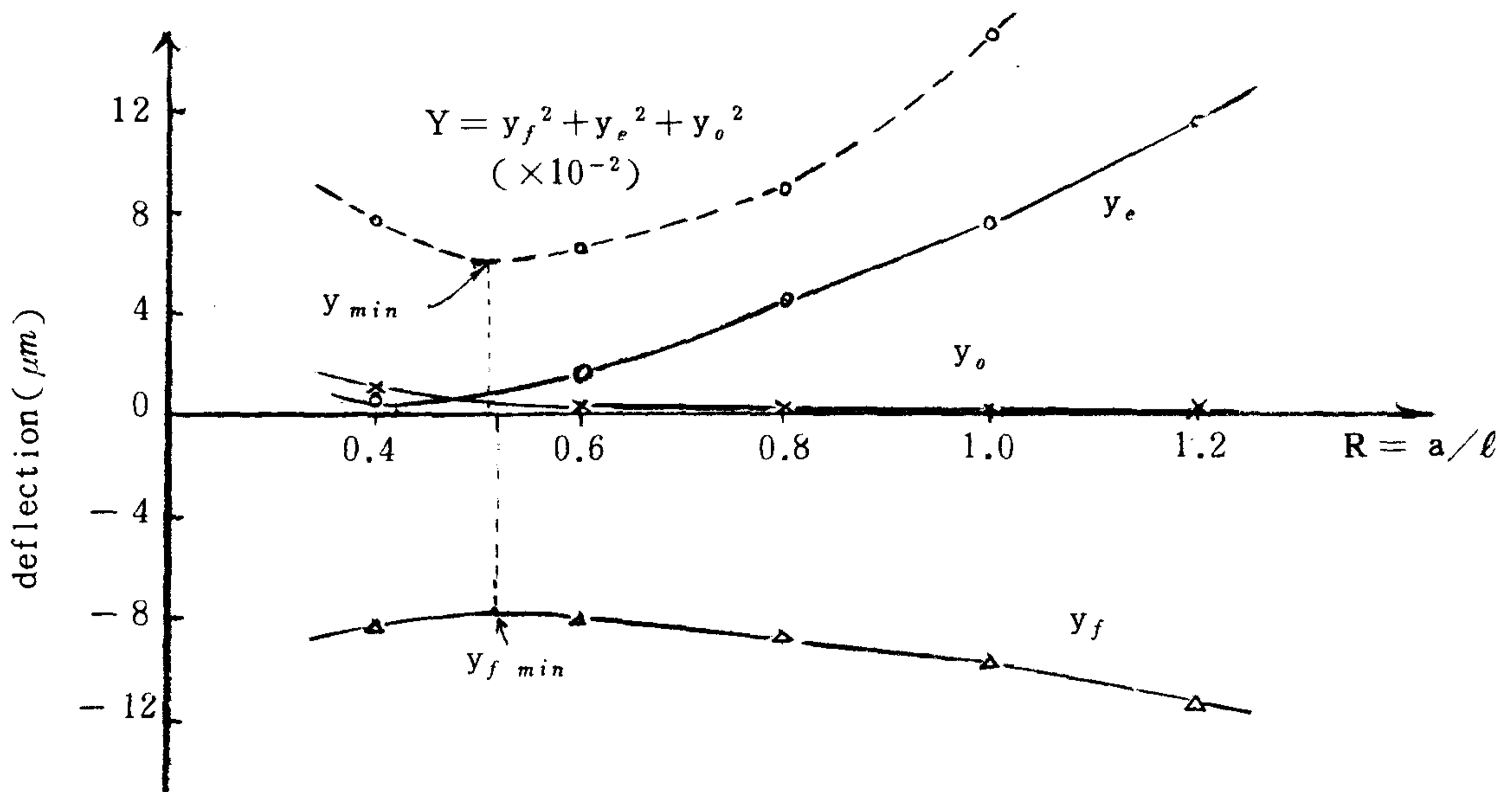


Fig. 2-8 Determination of optimal bearing span - linear bearing stiffness

이 그림은 베어링剛性이 線形일때를 나타낸 것으로  $y_o$ 는 항상 감소하고 있으며  $y_e$ 는  $R = 0.42$ 에서 最小가 된다.

또한, 最適設計基準이 되는  $y_f$ 는  $R = 0.52$ 에서 Y는  $R = 0.51$ 에서 最小가 되며 이때 最適 베어링 간격은 각각  $\ell_{opt} = 163.6 \text{ mm}$ ,  $\ell_{opt} = 168.5 \text{ mm}$ 이다.

한편, 非線形경우는  $y_f$ 는  $R = 0.47$  즉  $\ell_{opt} = 181.0 \text{ mm}$ , Y는  $R = 0.46$  즉  $\ell_{opt} = 186.9 \text{ mm}$ 로 나타났다. 이상의 4가지 결과로부터 最適 R은 線形 및 非線形에서  $y_f$ 와 Y어느경우를 고려하더라도 거의

비슷한 값을 보이고 있으며 Y를 고려할 경우 最適間隔이 약간 크게 됨을 알 수 있다. 또한, 非線形을 고려하면 最適間隔이 약 10% 정도 크게 나타나고 있으며, 本 研究모델의 베어링 간격은 165.0 mm 이므로 線形으로 가정하고 설계한 값임을 알 수 있다.

한편, 主軸部の 여러 要素 즉 前部 베어링 돌출부길이 a, 平均 軸 지름  $D_e$ , 前後 베어링剛性  $C_1, C_2$  가 靜剛性 및 最適베어링  $\ell_{opt}$  에 미치는 영향을 Table 2-5, 2-6 및 2-7에 나타내었다.

Table 2-5 Influence of a on  $\ell_{opt}, y_f$  & Y (unit: mm)

a	$\ell_{opt_1}$		$y_f (\times 10^{-2})$		$\ell_{opt_2}$		Y ( $\times 10^{-4}$ )	
	L	N.L	L	N.L	L	N.L	L	N.L
60	180.1	198.0	0.46	0.58	185.7	211.9	0.22	0.35
70	173.2	189.6	0.57	0.71	177.5	200.4	0.33	0.52
80	166.7	184.0	0.70	0.85	172.1	190.6	0.50	0.75
90	162.0	178.1	0.85	1.02	166.5	183.5	0.73	1.06
100	158.3	173.4	1.02	1.21	160.8	178.0	1.06	1.49

Table 2-6 Influence of  $D_e$  on  $\ell_{opt}, y_f$  & Y (unit: mm)

$D_e$	$\ell_{opt_1}$		$y_f (\times 10^{-2})$		$\ell_{opt_2}$		Y ( $\times 10^{-4}$ )	
	L	N.L	L	N.L	L	N.L	L	N.L
25	103.3	108.6	1.68	1.88	107.2	115.9	2.84	3.58
30	136.3	145.5	1.03	1.20	140.7	156.2	1.08	1.50
35	171.9	191.1	0.72	0.88	175.4	195.4	0.54	0.80
40	275.1	226.5	0.54	0.69	215.1	226.5	0.30	0.49

L : linear bearing stiffness

NL : nonlinear bearing stiffness

Table 2-7 Influence of  $C_1, C_2$  on  $\ell_{opt}, y_f$  &  $Y$  (unit : mm)

$C_1$ (kg/mm)	$C_2$ (kg/mm)	$\ell_{opt_1}$	$y_f (\times 10^{-2})$	$\ell_{opt_2}$	$Y (\times 10^{-4})$
5000	6000	186.9	0.95	191.1	0.90
8000	6000	162.1	0.78	168.5	0.62
11000	6000	150.7	0.70	156.2	0.50
14000	6000	143.1	0.65	148.1	0.44
9000	2000	191.1	0.83	200.0	0.76
9000	5000	162.1	0.76	168.5	0.59
9000	8000	153.4	0.74	156.2	0.55
9000	11000	148.1	0.73	150.7	0.53

위 세 Table 에서 알 수 있는 바와 같이 前部 돌출부 길이  $a$ 가 감소할수록, 平均 軸지름  $D_e$ 가 증가할수록, 베어링 剛性이 증가할수록 主軸의 剛性은 증가된다.

또한, 主軸剛性은 베어링剛性을 線形으로 볼때가 더 커지며, 最適 베어링간격은 線形보다는 非線形이  $y_f$  보다는  $Y$ 를 고려할때 더 크게 나타나고 있다.

한편, 세 結果로부터 主軸要素의 量이 1倍 증가할때를 기준으로  $y_f$  및  $Y$ 의 변화를 계산하여 Table. 2-8 에 나타내었다.

Table . 2-8 Influence of  $a, D_e, C_1, C_2$  on  $y_f$  &  $y$

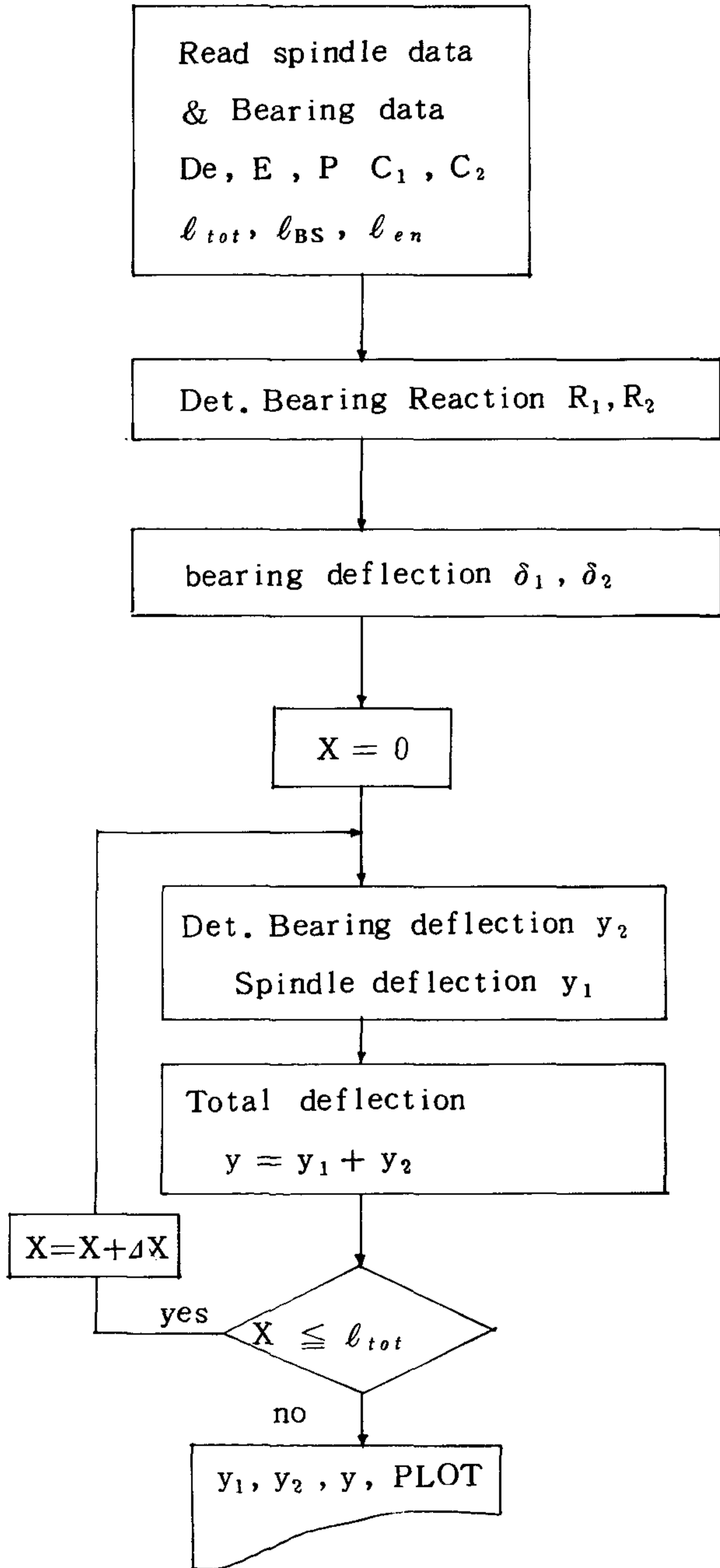
	$y_f$		$Y$	
	L	N.L	L	N.L
$a$	+ 1.8	+ 1.6	+ 5.7	+ 4.9
$D_e$	- 3.5	- 2.9	- 14.1	- 10.5
$C_1$	- 0.3		- 0.6	
$C_2$	- 0.03		- 0.10	

여기서 (+)는  $y_f$  및  $Y$ 가 증가 즉 剛性이 감소하는 것을 나타내고 (-)는 그 반대이다. 이 Table에서 主軸剛性에 가장 큰 영향을 미치는 것은 平均軸지름  $D_e$ 이며 다음이 前部 돌출부길이  $a$ , 前部베어링剛性, 後部베어링剛性의 순이다. 따라서, 靜剛性面에서 主軸을 設計할 때 가장 중요한 要素는 主軸의 지름을 결정하는 것이며 다음이 前部돌출부 길이로서 이는 다른부분과의 간섭이 없는 범위내에서 최대한 짧게 설계해야 함을 알 수 있다. 또한, 베어링剛性 즉 베어링의 종류는 靜剛性에 거의 영향을 미치지 않으므로 振動特性이나 發熱, 回轉精度 등을 양호하게 하는 베어링으로 설계해야 한다.

이상의 解析을 위하여 電算 program을 開發했으며 이 program을 사용하여 기존의 工作機械 主軸系의 設計 타당성을 검토하고 設計 초기 단계에서 몇가지의 데이터만으로 最適設計가 가능하도록 하였다. 이의 flow chart를 Fig. 2-9에 나타내었다.



(1) Spindle deflection



(2) Optimum design

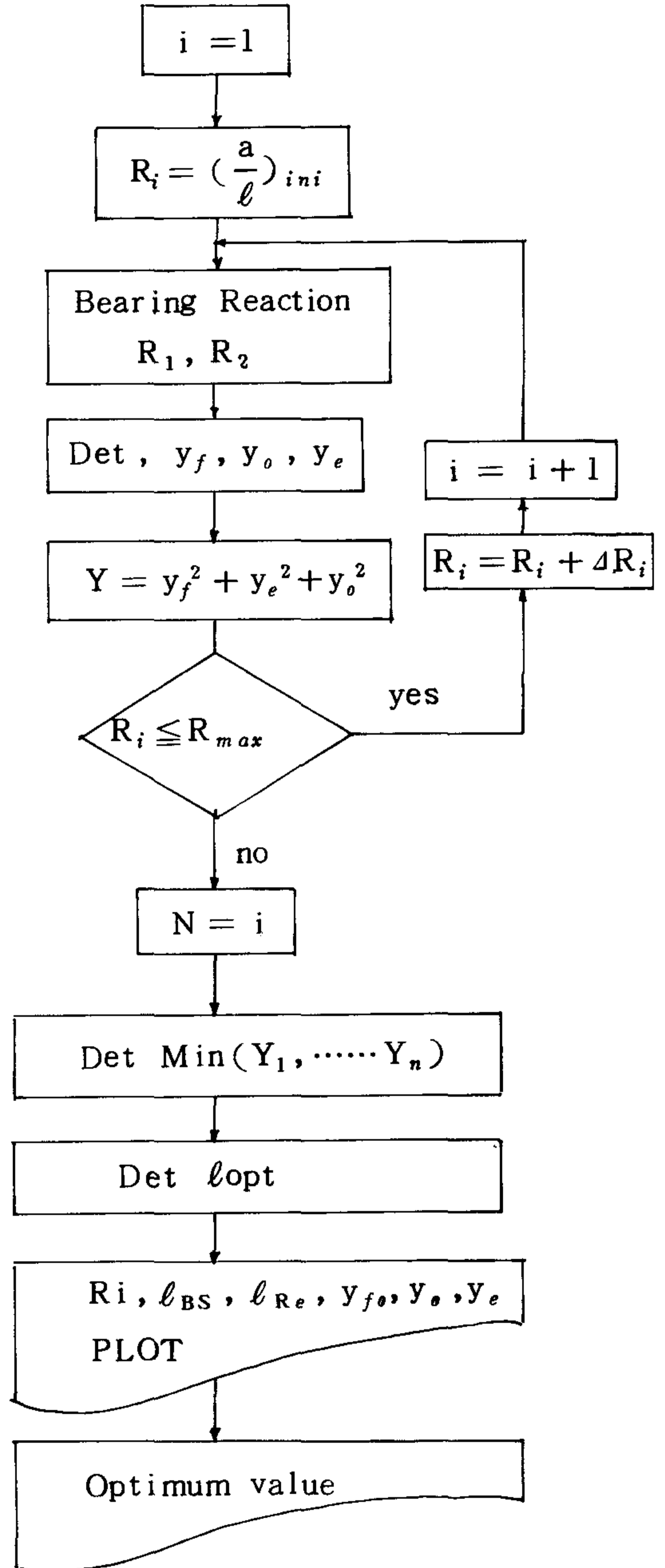


Fig. 2-9 Flow chart

## 3. 主軸部の 動剛性

### 3-1 序 論

工作機械의 精度는 앞에서 언급한 靜剛性 뿐만 아니라 主軸部 (spindle - bearing system)의 動的 特性에 의해 좌우된다.

특히, 加工時에 발생하는 Chattering은 工作機械의 構造와 主軸部の 動的特性에 전적으로 기인한다. 그런데, 靜剛性은 精確한 계산이 가능하나 工作機械 構造 혹은 主軸部の 動的特性을 미리 計算한다는 것은 거의 불가능하며 이는 각 部品の 組立에 의한 damping 特性을 추정하기 어렵기 때문이다.

研削機에 있어서 構造의 振動特性에 대해서는 固有振動數, 振動 mode, chatter 問題 등에 관한 연구가 있었으나 主軸部에 대해서는 bearing의 damping 特性이 아직 精確히 알려지지 않아 이에대한 研究는 초기단계에 있다고 할 수 있다.

回轉軸系의 振動解析에 있어서 傳達매트릭스法 (transfer matrix method)<sup>7)</sup>를 사용하는 것이 아주 유용하다고 알려져 있으며, Han<sup>8)</sup> 등은 이 方法을 사용하여 부수적 영향을 고려한 일반적인 回轉軸의 振動解析을 위한 범용 프로그램을 개발하였으며 실제모델에 적용한 결과 實驗結果와 부합함을 보였다.

本 研究에서는 國產研削機의 主軸部에 대하여 이 프로그램을 이용하여 主軸의 固有值 解析을 하였다. 또한 主軸이 研削機에 組立된 상태에서의 振動特性을 알아보기 위하여 충격試驗을 통하여 共振周波數를 구하였다.

### 3-2 動剛性 解析理論

#### 3-2-1 主軸部の 數學的 모델

主軸部の 解析모델을 Fig. 2-2(a)에 나타내었다. 이러한 構造의 回轉軸의 振動解析을 위하여 傳達matrix法 (transfer matrix method)이 가장 적합하다고 알려져 있다. Fig. 2-2(a)의 主軸을 Fig. 3-1과 같이 斷面이 일정한 짧은 圓筒型 切斷要素로 나누면 이들 要素의 特性은 直徑, 길이, 質量 및 彈性係數들의 物理的 性質과 切斷面에 작용하는 剪斷力 (shearing force), 굽힘모우멘트 (bending moment), 처짐 (deflection), 휨角度 그외 外力이나 回轉慣性모우멘트 등에 의해 결정된다.

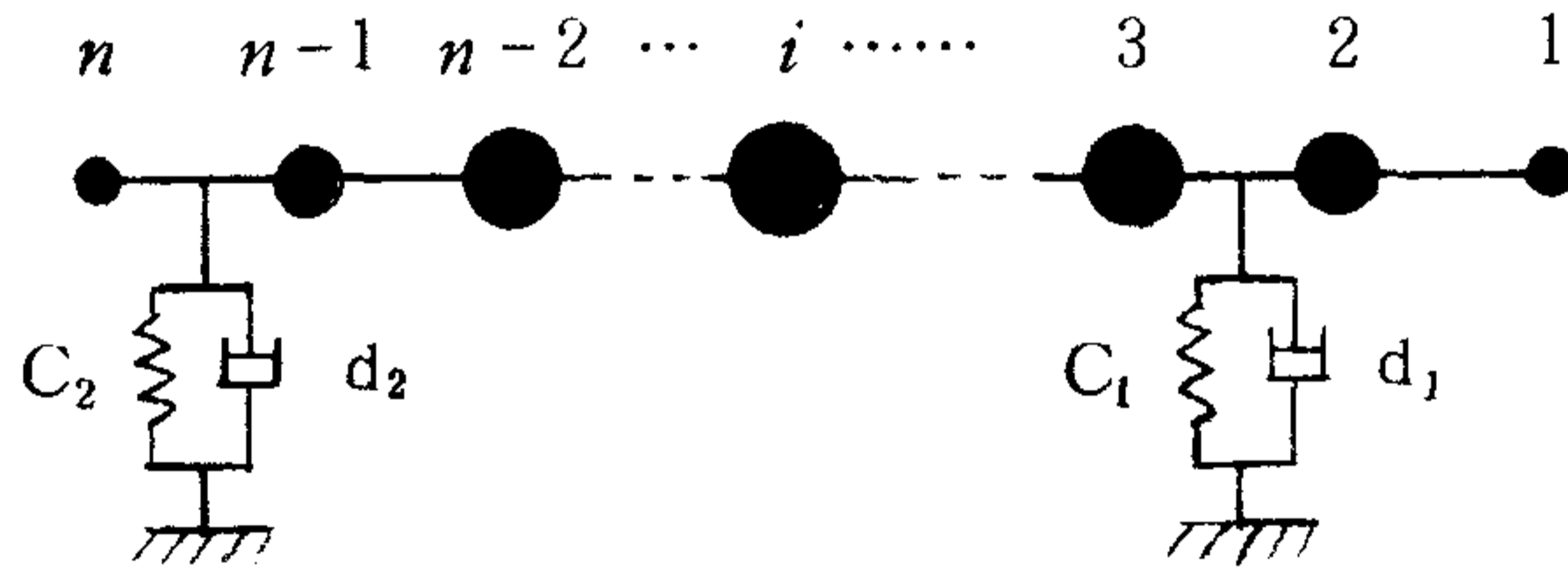


Fig. 3-1 Modeling of spindle

이때, Fig. 3-1의 切斷要素중에서 i번째에 작용하는 힘 및 變形形態를 Fig. 3-2와 같이 x-z平面과 y-z平面상에 나타내었다.

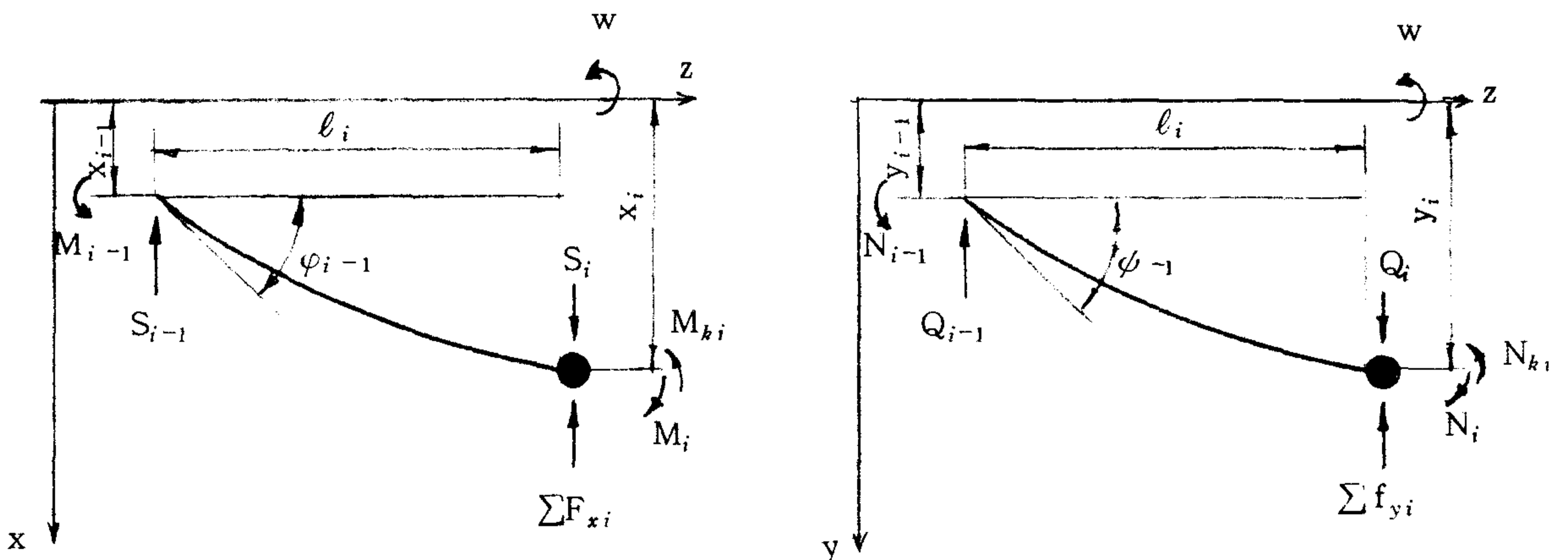


Fig. 3-2 Forces and moments on i-th segment.

i 번째 切斷要素의 힘, 처짐, 굽힘모우멘트 및 剪斷力사이의 관계식을 다음과 같이 유도할 수 있다.

X - Z 平面에 대하여

$$\begin{aligned}
 X_i &= X_{i-1} + l_i \varphi_{i-1} + \left( \frac{l}{2EI} \right)_i M_{i-1} - \left( \frac{l^3}{6EI} \right)_i S_{i-1} \\
 \varphi_i &= \varphi_{i-1} + \left( \frac{l}{EI} \right)_i M_{i-1} - \left( \frac{l^2}{2EI} \right)_i S_{i-1} \quad \dots\dots\dots (3-1) \\
 M_i &= M_{i-1} - l_i S_{i-1} + M_{ki} \\
 S_i &= S_{i-1} + \Sigma F_{xi}
 \end{aligned}$$

y - z 平面에 대하여

$$\begin{aligned}
 y_i &= y_{i-1} + l_i \psi_{i-1} + \left( \frac{l^2}{2EI} \right)_i N_{i-1} - \left( \frac{l^3}{2EI} \right)_i Q_{i-1} \\
 \psi_i &= \psi_{i-1} + \left( \frac{l}{EI} \right)_i N_{i-1} - \left( \frac{l^2}{2EI} \right)_i Q_{i-1} \quad \dots\dots\dots (3-2) \\
 N_i &= N_{i-1} - l_i Q_{i-1} + N_{ki} \\
 Q_i &= Q_{i-1} + \Sigma F_{yi}
 \end{aligned}$$

式(3-1), (3-2)에서 外力  $\Sigma F_x$ ,  $\Sigma F_y$  는 일반적으로 質量, 덤핑, 加振 및 베어링反力에 의한 힘의 합으로 되며 다음과 같이 쓸 수 있다.

$$\begin{bmatrix} \Sigma F_x \\ \Sigma F_y \end{bmatrix}_i = m_i \cdot w^2 \begin{bmatrix} x \\ y \end{bmatrix}_i + \begin{bmatrix} F_{Ex} \\ F_{Ey} \end{bmatrix}_i + \begin{bmatrix} F_{Bx} \\ F_{By} \end{bmatrix}_i \quad \dots\dots\dots (3-3)$$

式(3-3)에서  $F_{Exi}$ ,  $F_{Eyi}$  는 回轉軸의 i 번째 要素에 작용하는 同期주파수의 unbalance 또는 非同期주파수의 加振에 의한 加振力으로 다음과 같이 표시된다.

$$F_{Exi} = - F_{E1i} \sin (V\phi + \beta_{1i})$$

$$F_{Eyi} = - F_{E2i} \cos (V\phi + \beta_{2i})$$

여기서,  $V = \omega_s / \omega$

$\omega_s$  : 加振速度

$\omega$  : 軸의 回轉速度

$\beta_i$  : 여러곳에 작용하는 加振力사이의 상대적 위상각 차이

만약 同期주파수의 unbalance에 의한 加振의 경우에는

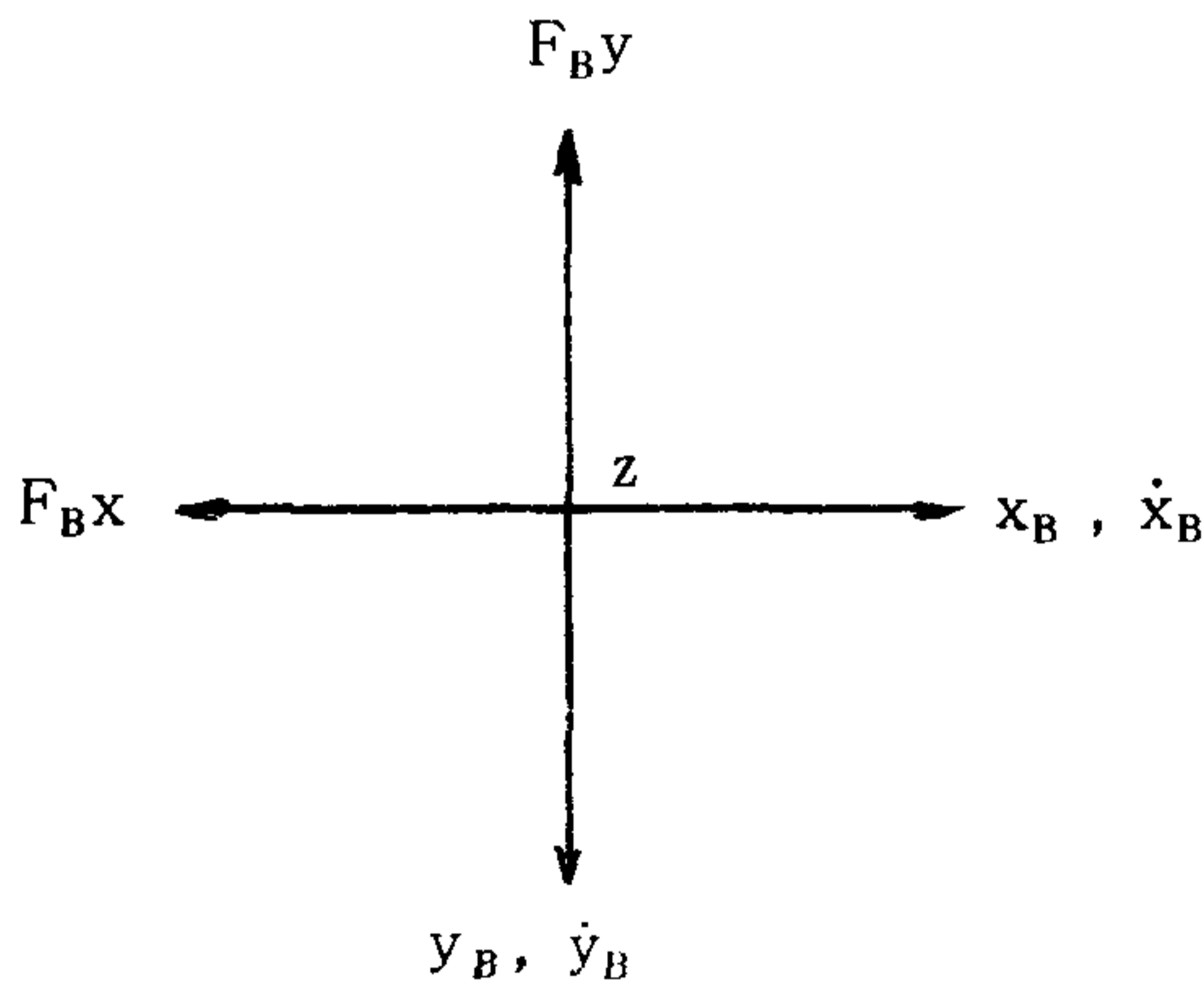
$$\omega_s = \omega,$$

$$F_{E1i} = F_{E2i} = \rho_i m_i \omega^2$$

$$\beta_{1i} = \beta_{2i} = \beta_i$$

여기서,  $\rho_i$  : 中心의 偏心거리

한편, 베어링反力  $F_{Bx}, F_{By}$  는 Fig. 3-3에 나타낸 좌표계에 따라動荷重에 의한 變位  $x_B, y_B$  와 그 速度  $\dot{x}_B, \dot{y}_B$  의 향으로 다음과 같이 쓸 수 있다.



$$\begin{bmatrix} F_{Bx} \\ F_{By} \end{bmatrix}_i = \begin{bmatrix} C_{11} & C_{12} \\ C_{21} & C_{22} \end{bmatrix} \begin{bmatrix} x_B \\ y_B \end{bmatrix}_i + \begin{bmatrix} d_{11} & d_{12} \\ d_{21} & d_{22} \end{bmatrix} \begin{bmatrix} \dot{x}_B \\ \dot{y}_B \end{bmatrix}_i$$

여기서  $C_{mn}$  ( $m, n = 1, 2$ ) : 베어링剛性係數

$d_{mn}$  ( $m, n = 1, 2$ ) : 베어링댐핑係數

구름베어링의 剛性特性은 많은 경우 等方性으로 가정되므로

$$C_{12} = C_{21} = 0$$

Fig. 3-3 Coordinate of rolling bearing

가 되고  $C_{11}, C_{22}$ 는 2-2-3에서와 같이 구한다.

또한, 댐핑係數는 구름베어링의 경우 매우 작으며 보통 回轉의 경우 剛性的 약  $1 / 1000$  로 잡는다. 즉

$$d_{11} = 0.001 C_{11}/w, \quad d_{22} = 0.001 C_{22}/w$$

$$d_{12} = d_{21} = 0$$

### 3-2-2 傳達매트릭스 (transfer matrix)

角速度  $w$  로 回轉하는 軸의 加振角速度를  $w_s$  라 하면 各要素의 狀態벡터 (state vector) 는 다음과 같다.

$$\bar{Z} = \{ x, y, \varphi, \psi, M, N, S, Q \}^T$$

式 (3-1), (3-2) 는 切斷要素들의 左편 (i-i) 과 右편 (i) 의 傳達式 (transfer equation) 이며 加振力  $F_{Exi}, F_{Eyi}$  를 우선 고려하지 않는다면 다음과 같은 matrix 식으로 狀態벡터를 간략히 쓸 수 있다.

$$\bar{Z}_i = P_i \bar{Z}_{i-1}$$

여기서,  $\bar{Z}_i$  는 복소수 狀態벡터로

$$\bar{Z}_i = [ x, y, \varphi, \psi, M, N, S, Q ]_i^T \dots\dots\dots (3-4)$$

$$x = x^0 + i x^*, \quad y = y^0 + i y^*$$

또한,  $P_i$  는 傳達matrix 로  $8 \times 8$  matrix 이다.

따라서, 回轉軸의 두끝에서의 狀態벡터 사이의 關係를 다음과 같이 구한다.

$$\bar{Z}_R = P_R P_{R-1} \dots\dots\dots P_2 \cdot P_L \cdot \bar{Z}_L$$

$$\bar{Z}_R = U \bar{Z}_L$$

$$U = P_R P_{R-1} \dots\dots\dots P_2 P_L$$

여기서, R : 軸의 오른쪽 끝

L : 軸의 왼쪽 끝

U : 主軸部 전체의 傳達matrix

加振力을 고려하는 경우는 線型 振動系이므로 따로 계산하여 중첩시킬 수 있다.

즉,  $i$  번째 요소에 작용하는 加振力  $F_{Exi}, F_{Eyi}$  로 인한 축끝의 狀態벡터는

$$\begin{aligned} \bar{Z}_R' &= U' \bar{Z}_i' \\ U' &= P_R P_{R-1} \cdots \cdots P_{i+1} \\ \bar{Z}_i' &= [0, 0, 0, 0, 0, 0, F_{Exi}, F_{Eyi}]^T \end{aligned}$$

따라서, 중첩한 전체 主軸部의 狀態벡터는

$$\bar{Z}_R = U \bar{Z}_L + \bar{Z}_R' \cdots \cdots (3-5)$$

이를 matrix로 표현하면

$$\begin{pmatrix} x \\ y \\ \varphi \\ \psi \\ M \\ N \\ S \\ Q \end{pmatrix}_R = \begin{pmatrix} U \end{pmatrix} \begin{pmatrix} x \\ y \\ \varphi \\ \psi \\ M \\ N \\ S \\ Q \end{pmatrix}_L + \begin{pmatrix} Z'_{R1} \\ Z'_{R2} \\ \vdots \\ Z'_{R8} \end{pmatrix} \cdots \cdots (3-6)$$

### 3-2-3 境界條件과 解

本 研究 主軸은 양끝이 自體端이므로 境界條件은 다음과 같다.

$$M_R = N_R = S_R = Q_R = M_L = N_L = S_L = Q_L = 0 \cdots \cdots (3-7)$$

이를 式(3-6)에 대입하면 다음과 같은 2개의 방정식군으로 나눌 수 있다.

$$\begin{pmatrix} x \\ y \\ \varphi \\ \psi \end{pmatrix}_R = \begin{pmatrix} B \end{pmatrix} \begin{pmatrix} x \\ y \\ \varphi \\ \psi \end{pmatrix}_L + \begin{pmatrix} Z'_{R1} \\ Z'_{R2} \\ Z'_{R3} \\ Z'_{R4} \end{pmatrix} \cdots \cdots (3-8)$$

$$0 = \begin{pmatrix} A \end{pmatrix} \begin{pmatrix} M \\ N \\ S \\ Q \end{pmatrix}_L + \begin{pmatrix} Z'_{R5} \\ Z'_{R6} \\ Z'_{R7} \\ Z'_{R8} \end{pmatrix} \cdots \cdots (3-9)$$

回轉主軸의 固有振動數를 구하기 위해서는 加振의 항  $Z'_R = 0$  일때 式(3-9)를 풀어야 하며 이때 nontrivial 解를 가지기 위해서는 matrix  $[A]$ 의 Determinant가 0가 되어야 한다.  $[A]$ 의 각 要素는 回轉軸의 circular frequency  $w$ 의 함수이므로  $\text{Det}[A] = 0$ 를 풀어  $w$ 에 대해 정리하면 固有振動數를 구할 수 있다. 軸의 特定 回轉數에서의 振動形態는 軸의 어느 한부분의 값을 基準으로 즉  $x_A = y_A = \varphi_A = \psi_A = 1$ 로 두고 다른 要素의 變位 및 角度變位는 각 切斷要素의 傳達 matrix를 이용하여 계산한다.

이상의 數值解析을 위한 program이 최근 개발되어 本 研究에서는 이 program을 이용하였다.

### 3-3 結果分析 및 實驗

#### 3-3-1 電算解析結果

Fig. 3-1의 主軸部에 대한 電算解析結果 主軸만의 1次 固有振動數는 5050 rad/sec로 나타났으며 2次 固有振動數는 1350 rad/sec로 나타났다. 일반적으로 工作機械 主軸의 最大 運轉速度는 대부분의 경우 1次 固有振動數보다 훨씬 아래이다. 이는 比較的 적은 軸荷重에 대하여 主軸과 베어링의 剛性은 매우 높은데 기인하기 때문이다. 本 研削機의 경우 最大 運轉速度가 3600 rpm임을 고려하면 回轉時의 共振은 피할 수 있다고 판단된다. 研削機設計에 있어서 原則적으로 軸系의 解析은 靜剛性이 基本이 되는 것으로 靜剛性이 나쁘면 動剛性도 좋은 結果를 기대하기 어렵기 때문에 靜剛性과 固有振動數의 結果를 보면 本 研究의 主軸部는 妥當하다고 판단된다.



### 3-3-2 實驗結果 및 分析

앞의 結果는 軸만의 固有振動數를 구한 것으로서 이 主軸이 실제 研削機에 組立되었을때의 振動特性을 알아보기 위하여 Fig. 3-4 과 같이 충격試驗을 하였다.

이때 加速度計는 主軸先端에 固定시키고 그 반대편에 衝擊을 가하여 加速度計의 信號를 spectrum Analyzer 를 사용하여 周波數分析을 하였다. 그 結果를 Fig 3-5 에 나타내었으며 여기에는 主軸端의 固有振動數 뿐만 아니라 column , 슷돌 Head , 모우터, 테이블 및 Base 등의 全體構造의 固有振動數가 포함되어 있다.

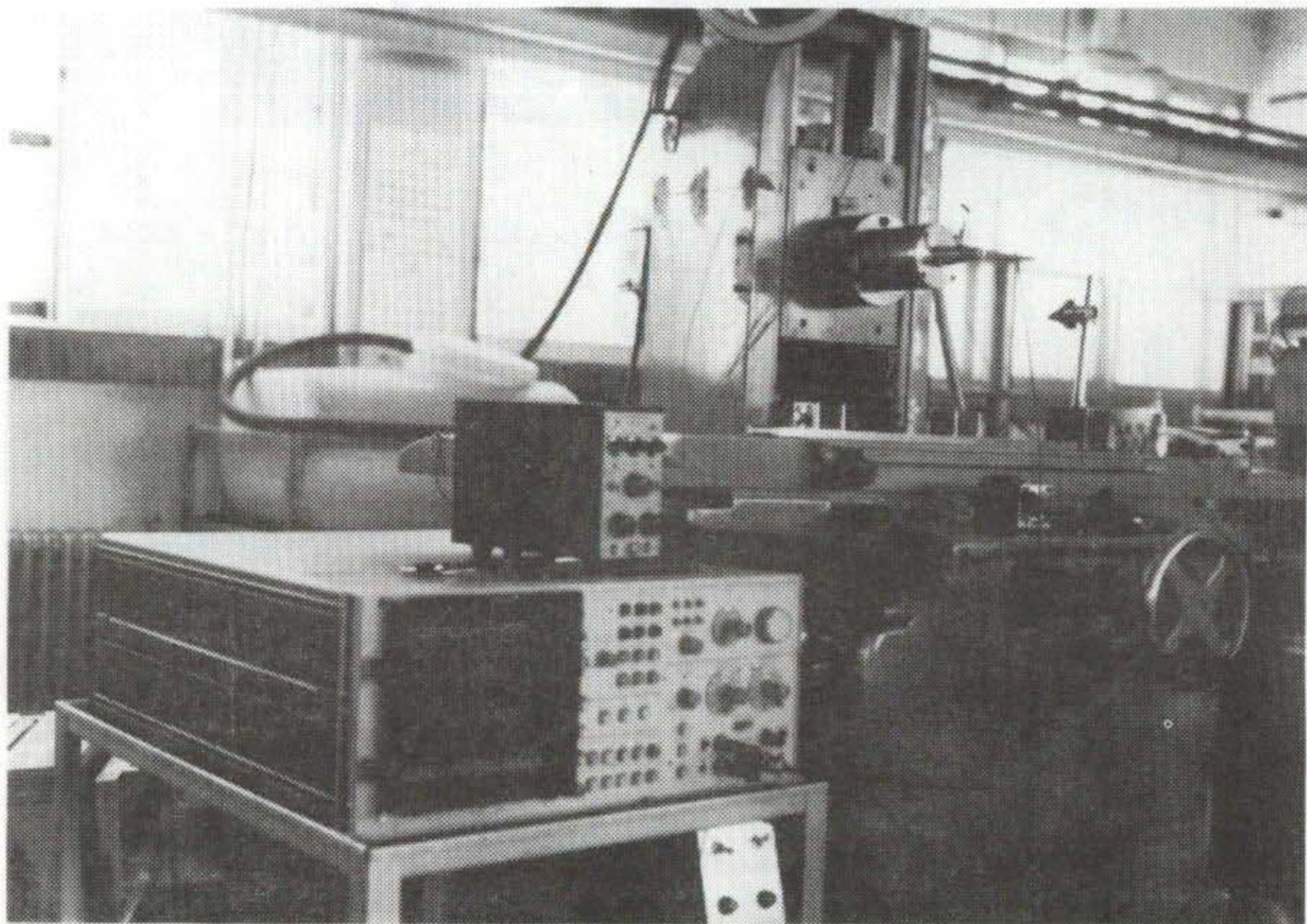


Fig . 3-4 Measurement feature of vibration

이 그림에서 3개의 peak 가 나타나고 있으며 첫번째 peak 値는 610 Hz 에서 나타났으며 두번째 peak 는 1360 Hz , 세번째는 1710 Hz 에서 나타나고 있다. 이 實驗結果에서도 研削機 運轉點부근에서의 共振周波

數는 나타나지 않음을 알 수 있다.

이상에서 主軸系의 動特性을 살펴보았으며 動剛性を 높이기 위해서는 主軸系의 靜剛性を 向上시키는 것이 좋다. 즉 主軸의 지름을 크게 하고 베어링을 큰 것을 사용하는 것이 좋다. 그러나, 靜剛性の 向

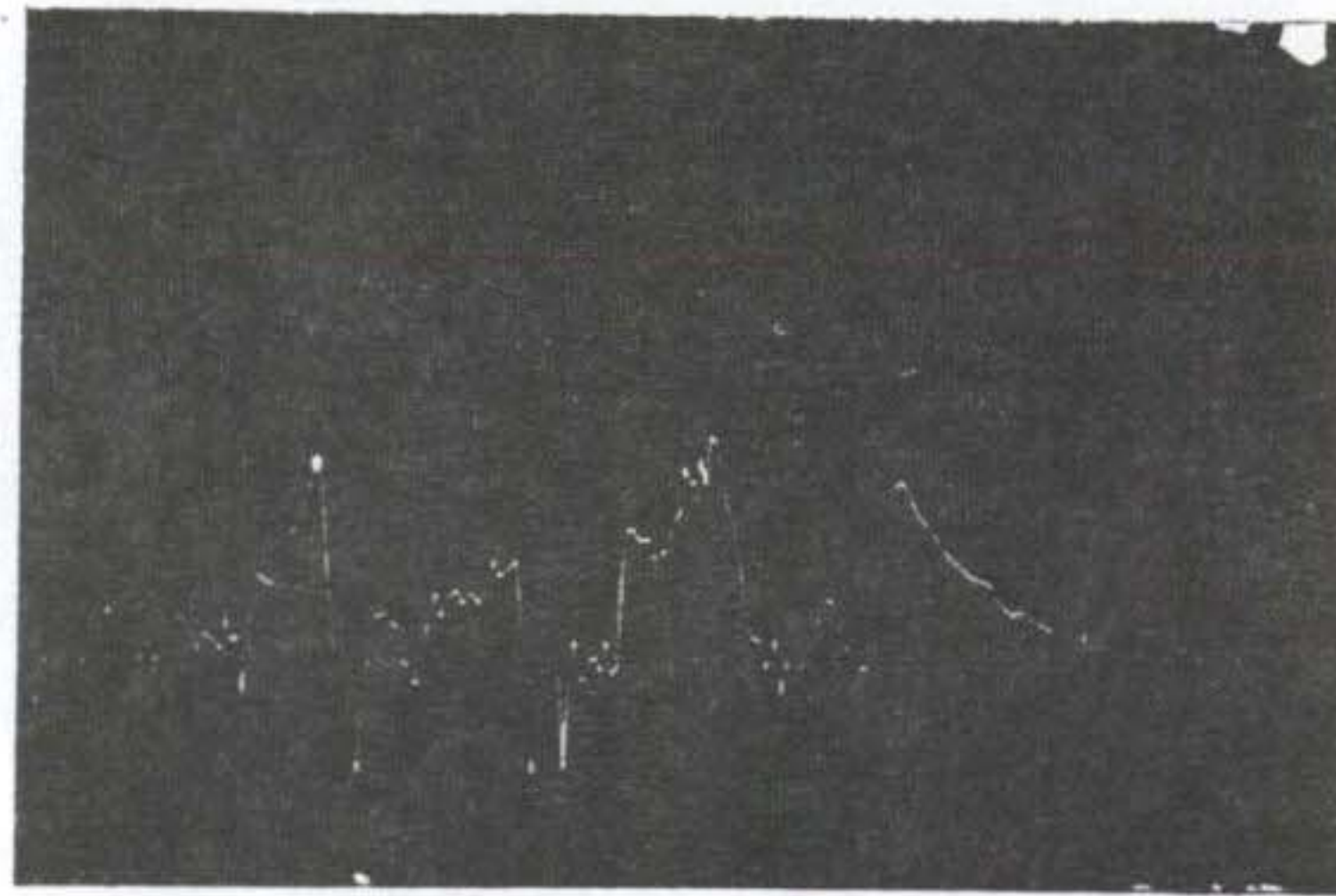


Fig . 3-5 Vibration spectrum of spindle nose

상은 제한되어 軸의 지름을 크게 할 수 없으며 베어링 크기를 증가시키면 回轉速度에 영향을 받는다. 따라서 主軸系의 設計는 靜剛性解析을 통하여 最大 靜剛性を 가지는 치수를 결정하고 이 軸에 대한 振動特性을 조사하여 共振周波數를 피할 수 있도록 해야 한다.

## 기 호 설 명

- HP : 국산연삭기  
FP : 외산연삭기  
TDV : 열변형량 ( $\mu\text{m}$ )  
 $\bar{T}$  : 컬럼의 평균상승온도 ( $^{\circ}\text{C}$ )  
 $\Delta T$  : 컬럼 전·후면의 온도차 ( $^{\circ}\text{C}$ )  
 $\Delta T_2$  : 하우징부 상승온도 ( $^{\circ}\text{C}$ )

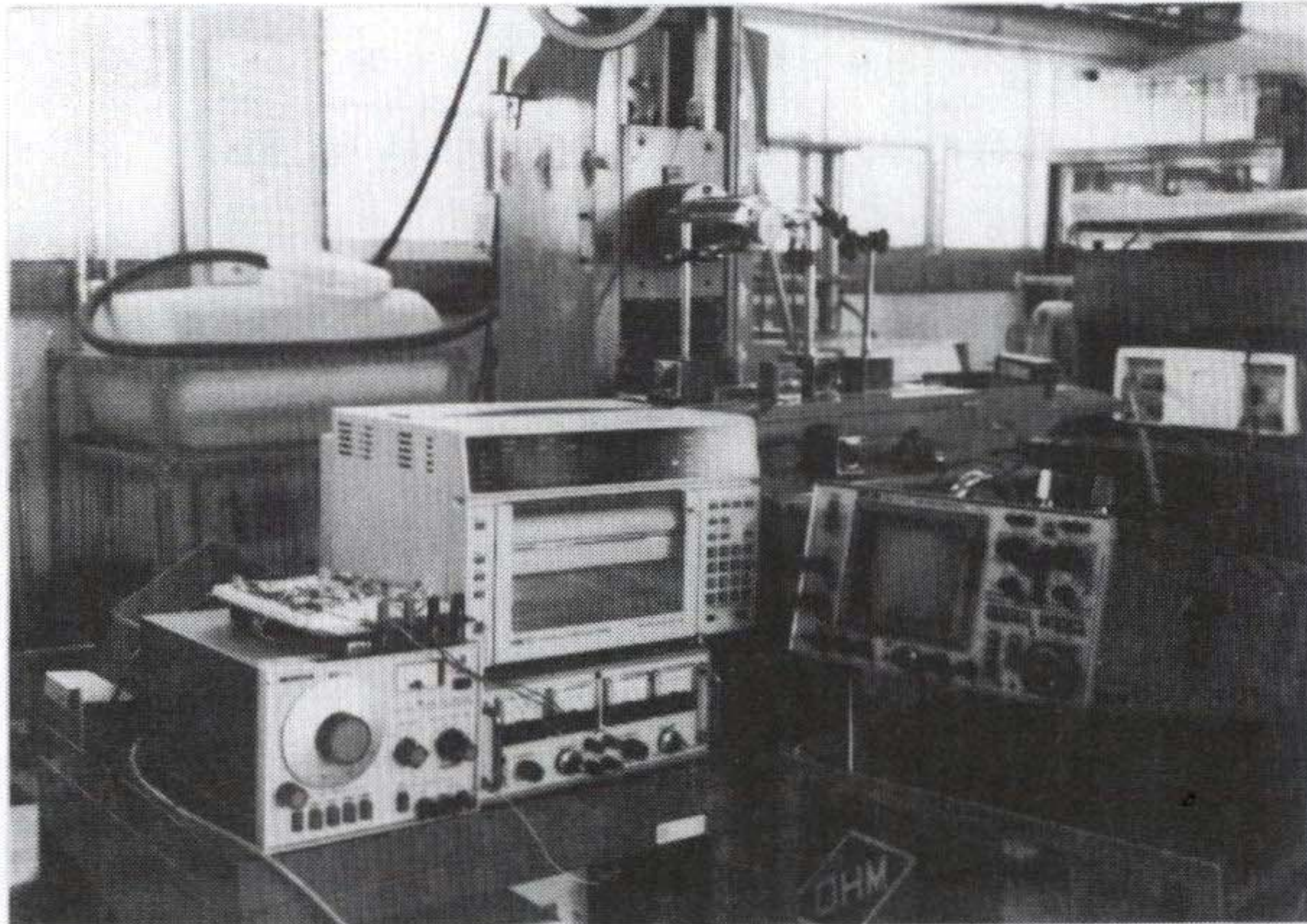


Photo 4 - 1 Measurement of the Thermal Deformation  
& Temperature

## 4. 主軸部の 熱剛性

### 4-1 序 論

最近의 工作機械에서는 自動化가 活潑히 研究, 實用化됨에 따라 그 生産性과 아울러 工作精度가 要求되며, 따라서 熱變形에 對한 問題가 靜・動剛性問題와 함께 工作精度를 向上시키기 위한 重要한 問題로 대두되어왔다.

J. Peklenik<sup>10)</sup> 의 보고에 依하면, 精密加工에 있어서 발생하는 工作誤差中 熱變形에 의한 誤差가 40~70%를 차지한다고 한다. 또한, G. Spur와 H. Fisher<sup>11)</sup> 는 처음으로 熱剛性이라는 말을 사용하여 熱剛性에 의한 工作機械의 熱的 性質의 判定에 대하여 提案하고 있다.

工作機械의 熱變形에 對한 研究로서는, 實驗結果 및 計算結果를 토대로한 熱變形의 實情把握, 熱變形에 대한 對策, 熱變形의 補償의 問題로 까지 확대되었으며 최근에는 大型컴퓨터를 使用하여 有限要素法에 의한 熱變形의 解析에 對한 研究가 活潑히 이루어지고 있다.

工作機械의 熱變形은 그 機構가 복잡하고 精確한 溫度나 變位量의 測定이 곤란하다. 또한 加工中에 熱은 工作機械의 상당히 많은 부분에서 發生하며 그 크기는 條件에 따라 달라진다.

熱源으로는 Fig.4-1에 表示한 바와같이 工作機械의 고유한 內部熱源과 고유하지 않은 外部熱源으로 나누어지며, 주된 內部熱源으로서는 切齒, 베어링, 클러치, 유압장치등을 들수 있다. 이러한 열원이 原因으로서, 工作精度가 저하하는 경과는 Fig.4-2와 같다.

즉, 어떤 作業條件 { n } 下에서 發生한 熱 { Q } 가 工作機械에 傳達 또는 傳導되어 各部의 溫度上昇 {  $\phi$  } 를 생기게 한다. 이 온도상승에따

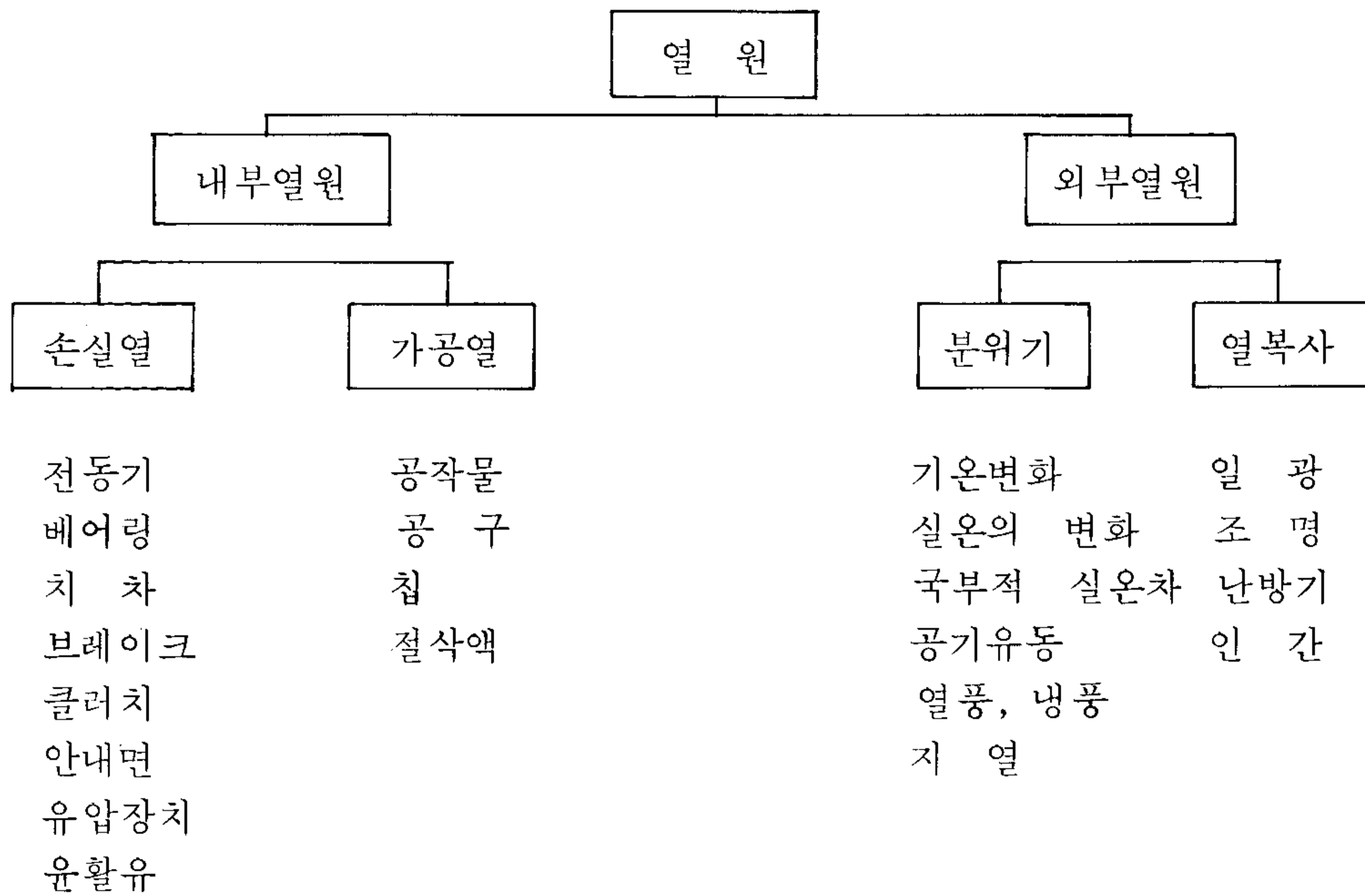


Fig.4 - 1 Heat Sources of Machine Tools

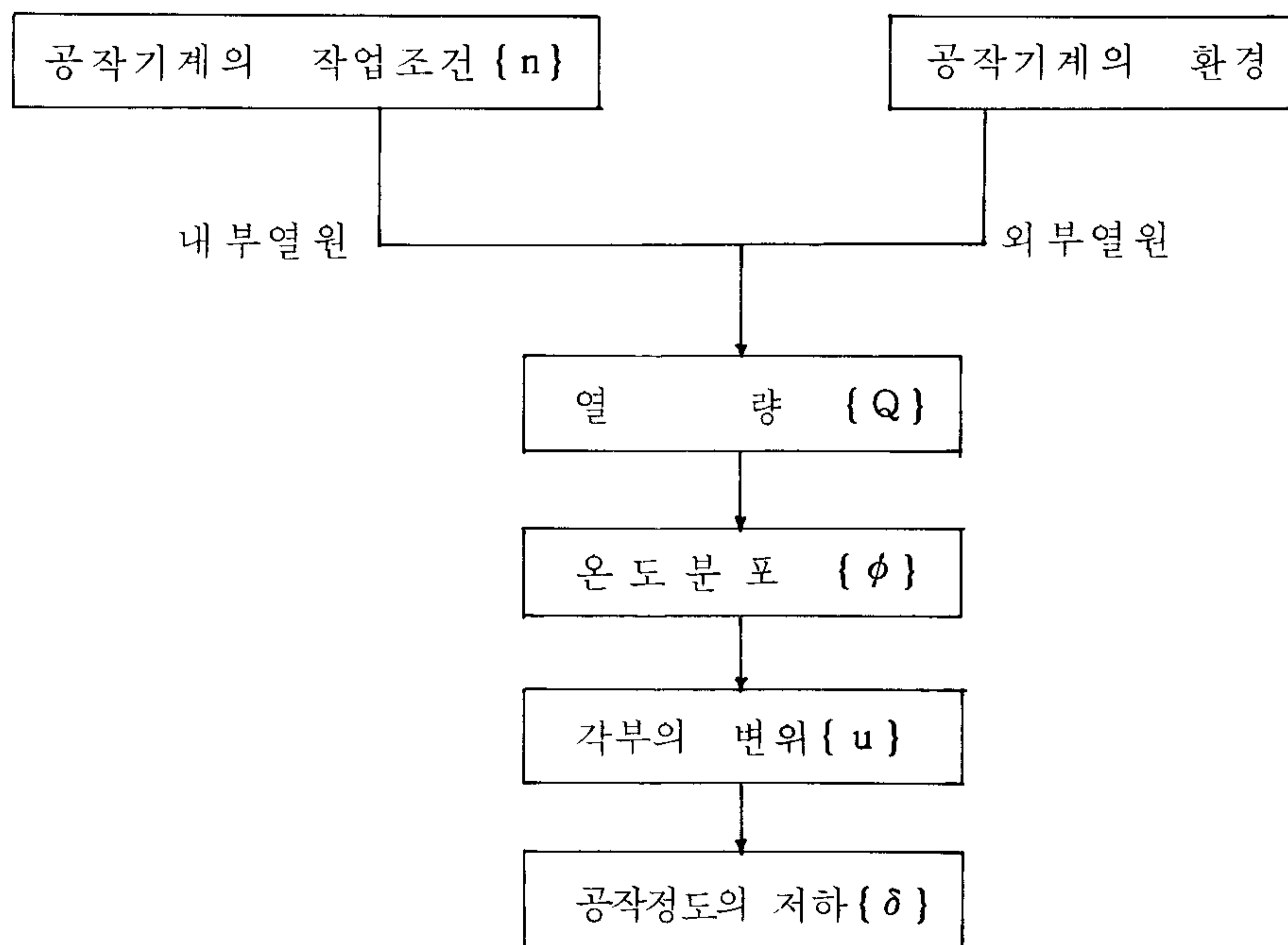


Fig. 4 - 2 Mechanism of Thermal Deformatron

라 공작기계의 구성요소는 열팽창에 의하여 伸長, 비틀림, 굽힘등의 여러가지 變形 {u} 가 생긴다.

이들 熱變形 가운데 精度와 關係하는 2點 (또는 多數點)의 作業時間內에 생기는 相對變位가 工作精度를 低下시킨다. 즉, 개개의 구성요소의 열변형이 아무리 커도 綜合된 열변형에 의한 工具和 工作物의 相對的 위치관계가 變化하지 않으면 열변형에 起因한 工作精度의 저하는 생기지 않을 것이다.

각 熱源에서의 發熱量이라든지 분위기온도는 작업내용과 時間의 경과와 더불어 變化하며 기계와 공작물의 熱容量에 따라서 溫度上昇에는 時間差가 생기므로 열변형의 本質은 시간과 더불어 變化하므로 非定常的인 상태라 하겠다. 그런데, 여기에서 비정상 상태의 온도분포를 數式으로 求하는 것은 매우 어려운 일이며, 수식적인 표현을 가능케 하기 위하여서는 정상상태의 온도분포를 想定할 必要가 있다.

熱變形에 의한 공작정도의 低下가 문제로 되지않는 공작기계는 없다. 단지 熱變形이 工作精度에 미치는 영향이 다른 인자 즉, 靜剛性 動剛性, 工具의 마모등의 영향에 비교하여 적은 경우 熱變形은 問題시할 必要는 없다. 그러나 工作機械의 大部分은 그렇지 않다. 특히 最終加工機械인 研削機에 있어서는 熱變形의 문제가 상당히 중요하다.

工作機械의 工作精度에 영향을 주는 熱變形을 改良할 수 있는 일반적인 방법은 Table 4-1 과 같이 提示되고 있다. Table 4-1 에서와 같이 熱的 거동은 設計對策, 熱의 제거와 加熱, 變形의 補正 및 분위기등을 改良하므로써 조정할 수 있다.

Table 4 - 1 熱 變 形 對 策

對 策	具 體 例
設計 對策	效率의 向上 <ul style="list-style-type: none"> <li>○ 案內面材料의 選擇</li> <li>○ 運轉方法의 改善</li> <li>○ 刮輪마찰, 유체마찰의 이용</li> <li>○ 可變吐出펌프의 採用</li> <li>○ 發熱이  적은  機기의  選擇</li> </ul>
	構造의 改良 <ul style="list-style-type: none"> <li>○ 熱源을  機體本體밖으로  設치</li> <li>○ 案内面을  傾사시켜  Chip에   의한  熱傳달  防止</li> <li>○ 熱的對稱形의  設計</li> <li>○ 單體재의  利用</li> <li>○ 支點의  注意</li> <li>○ 線膨脹係數가   작은  材料의  使用 ( invar )</li> </ul>
熱의  除去와  加熱	<ul style="list-style-type: none"> <li>○ 積極적  냉각 ( oil sbower )</li> <li>○  방熱面積의  增加</li> <li>○  액체의  순환량  調整</li> <li>○   보조열원</li> </ul>
變形의  補正	<ul style="list-style-type: none"> <li>○  熱變形을   측정하여  補正</li> <li>○  強制力에   의한  熱變形의  補正</li> </ul>
環境의   정비	<ul style="list-style-type: none"> <li>○  恒溫실에  設치</li> <li>○  空氣흐름의  調整</li> <li>○   복사열의   차단</li> </ul>
作業條件	<ul style="list-style-type: none"> <li>○  空轉</li> <li>○  主軸회轉數의  저하</li> <li>○   적절한  運轉條件의  選擇</li> </ul>

以上과 같이 工作機械에서의 일반적인 熱變形의 機構 및 重要性, 그 對策에 대하여 간단히 살펴보았다. 그러나, 熱變形에 의한 工作精度的 變化 傾向을 알고 이것을 제어하는 것도 중요한 일이나, 그것 보다는 오히려 熱變形에 의한 工具와 工作物과의 相對位置의 變化를 어떤 條件下에서도 一定하게 유지하든가 또는 一定時間동안 必要한 精度 範圍를 維持하도록 하는 것이 더욱 중요할 것이다.

따라서, 本 研究에서는 最終加工機械인 研削機中에서 대체로 구조가 간단하고 국내에서 주로 중소기업에서 제작되고 있는 成形研削機를 研究對象으로 선정하여 (국산 1대, 외산 1대), 성형연삭기의 구조상 工作精度에 가장 큰 영향을 미치는 主軸先端과 테이블上面의 相對變位를 中心으로 熱變形, 온도분포등을 측정하고 간단한 數式을 유도하여 온도상승에 의한 熱變形의 추정, 마이컴용 2차원 有限要素法 프로그램을 作成하여 定性的인 온도분포의 추정등을 통하여 가능한 구체적인 熱變形 對策을 提示하려고 하였다.

#### 4-2 主軸先端과 테이블上面과의 相對變位

成形研削機에 있어서 熱變形에 의한 工作精度 低下에 영향을 미치는 因子로서는

- ① 主軸先端과 테이블上面과의 垂直方向의 相對變位
- ② 主軸中心線과 테이블面과의 相對的 기울기
- ③ 水平方向의 相對變位

등을 들수 있다.

本 研究에서는 成形研削機에서 工作精度 低下에 크게 영향을 주는 ①, ②항에 의한 主軸先端과 테이블上面과의 相對變位를 中心으로 고



찰하도록 한다.

앞에서言及한 바와 같이 工作機械의 熱變形은 時間과 함께 變化하는 非定常現象이므로 各部分에서의 熱變位도 상당히 복잡하다. 그러나 여기에서는 溫度差에 의한 단순한 팽창으로 보고 解析하기로 한다.

#### 4-2-1 相對變位量 計算

Fig. 4-3에서, 主軸先端(A점)과 Table上面(B점)과의 相對的 變位  $\Delta l_{AB}$ 는

$$\Delta l_{AB} = \Delta l_4 - \Delta l_3 \dots\dots\dots(4-1)$$

과 같이 쓸 수 있다. 여기서  $\Delta l_{AB}$ 가 正(+값)이 되면, 相對적으로 間격은 커지고, 負(-)값이 되면 相對적으로 間격이 작아지는 것을 意味한다.

A점을 中心으로 생각할 때, 研削機의 기초로부터 主軸先端的 垂直方向의 變位量  $\Delta l_4$ 는

$\Delta l_4$ =기초로부터 A점에 水平인 線까지의 綫의 垂直方向의 變位量(伸長)+A점에 있어서 綫의 傾斜에 의한 主軸先端的 變位量+主軸先端(主軸中心線)의 垂直方向의 變位量(굽힘)로 구성된다. 여기서는 主軸自體의 垂直方向의 變形(굽힘)은 主軸이 軸對稱이므로 무시할 수 있다.

한편, Table上面의 主軸中心線아래의 垂直方向의 變位量  $\Delta l_3$ 는

$\Delta l_3$ =베이스의 傾斜에 의한 Table上面의 垂直方向의 變位量+베이스의 垂直方向의 變位量(伸長)+테이블의 垂直方向의 變位量으로 구성된다.

그러나, 本研究의 試料인 成形研削機는 主된 內部熱源이 主軸部 베

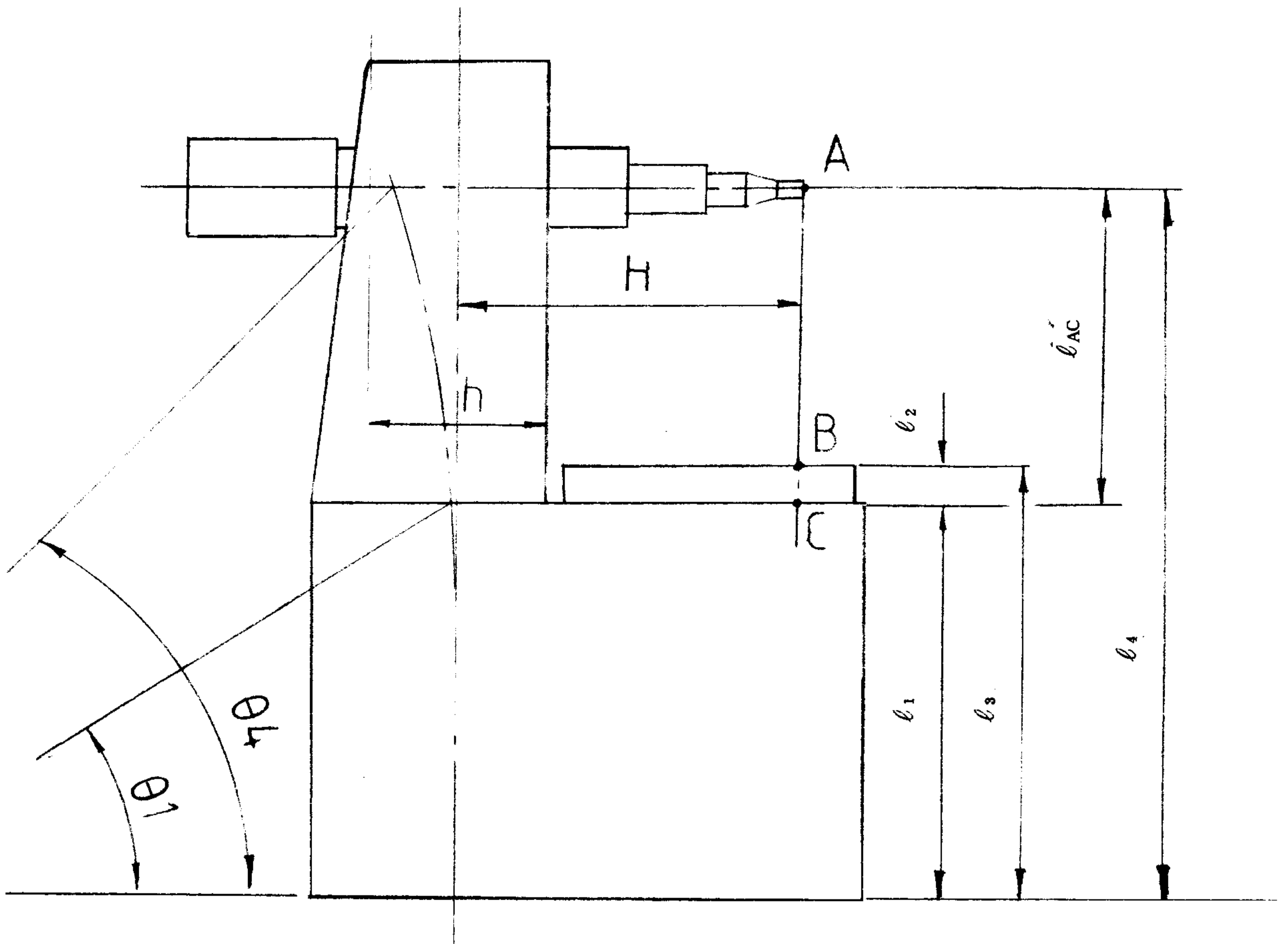


Fig. 4-3 The Relative Deformation

어링일 뿐만 아니라, 幾何學的 形狀을 볼때,

$\Delta l_4$  에 比하여  $\Delta l_3$  는 무시할 수 있으므로, 여기서는  $\Delta l_3 \doteq 0$  이라 하면 (4-1) 式은

$$\Delta l_{AB} \doteq \Delta l_4 \dots\dots\dots(4-1)$$

로 생각할 수 있다.

따라서,

$$\Delta l_{AB} = \Delta l_4$$

=基礎로부터 A점에 水平인 線까지의 柱梁의 垂直方向의 變位量(伸長)  
 + A점에 있어서 柱梁의 傾斜에 의한 主軸先端의 變位量  
 .....(4-2)

를 계산하면 된다. 卽, 柱梁의 伸長과 굽힘만을 알게 되면  $\Delta l_{AB}$  를 알 수 있다.

계산을 더욱 간단히 하기 위해서, (4-2)式을 다시 쓰면

$$\Delta l_{AB} \doteq \Delta l_{AC} - \Delta l_2$$

과 같이 쓸수 있으며, 역시 여기서  $\Delta l_2$  는 무시할 수 있으므로

$$\Delta l_{AB} \doteq \Delta l_{AC}$$

=柱梁의 밑변에서 부터 A점에 水平인 線까지의 柱梁의 垂直方向의 變位量(伸長) + A점에 있어서 柱梁의 傾斜에 의한 主軸先端의 變位量  
 .....(4-3)

과 같이 된다.

#### 4-2-1-1 柱梁의 變形

(4-3)式에 의하여 主軸의 相對變位를 구하기 위하여 柱梁의 熱變形에 對하여 分析하면 ① 단순팽창에 의한 柱梁의 垂直方向의 變位量과 ② 柱梁前·後의 溫度差에 의한 柱梁의 傾斜(굽힘) 때문에 생기는 主軸先端의 變位量을 들 수 있다.

##### A) 단순 팽창에 의한 垂直方向의 熱變位

柱梁의 밑변에서 임의의 位置  $x$ 에서의 變形의 크기를  $\Delta l_x$  라 하면,

$$\Delta l_x = \int \alpha t dx \dots\dots\dots(4-4)$$

라 할 수 있다. 여기서,  $\alpha$  : 선팽창계수

$t$  : 임의의 點에서의 上昇溫度

한편, 임의의 位置  $x$ 에서의 上昇溫度를  $t$ 라 하면,

$$t = t_0 e^{-mx} \dots\dots\dots (4-5)$$

라 할 수 있다. 여기서,  $t_0$ : 熱源이 있는 곳에서의 物體의 上昇溫度

$x$ : 熱源에서 임의의 位置까지의 거리

$m$ : 物體의 斷面形狀으로서

$$m = \sqrt{\frac{h \cdot p}{K \cdot A}}$$

여기서,  $h$ : 物體 표면의 熱傳達率

$p$ : 物體내의 열의 흐름에 직각인 斷面의 周圍길이

$k$ : 物體의 熱傳導率

$A$ : 斷面積

(4-5) 式을 마크로오린의 전개식으로 전개하면,

$$t = t_0 \left\{ 1 - mx + \frac{1}{2}(mx)^2 \dots\dots\dots \right\} \dots\dots\dots (4-5)$$

$mx < 1$ 로 생각하면

$$(4-5)' 式은 t = t_0 (1 - mx) \dots\dots\dots (4-6)$$

으로 쓸 수 있다.

(4-4), (4-6) 式에서 垂直方向의 變位  $\Delta l_x$ 는

$$\begin{aligned} \Delta l_x &= \int_0^x \alpha t_0 (1 - mx) dx \\ &= \alpha x t_0 \left( 1 - \frac{m}{2}x \right) \text{가 되며,} \end{aligned}$$

0에서  $x$ 까지의 平均上昇溫度를  $\bar{t}$ 로 하면

$$\bar{t} = t_0 \left( 1 - \frac{m}{2}x \right) \dots\dots\dots (4-7)$$

가 된다. 따라서, 圓筒의 斷面팽창에 의한 熱變形의 크기  $\Delta l_x$ 는

$$\Delta l_x = \int_0^x \alpha t dx$$

$$= \alpha x t_0 \left(1 - \frac{m}{2} x\right)$$

$$= \alpha x \bar{t} \dots \dots \dots (4-8)$$

로 求할 수 있다.

B) 컬럼의 굽힘에 의한 主軸先端의 垂直方向의 熱變位

물체의 長軸에 直角인 面內에 溫度差가 생기는 경우 그 溫度差에 의한 굽힘이 생긴다.

그림 4-4 에 나타낸 것 같이 굽힘의 中心線이 圓弧狀에 近似하면, 각도는  $\theta$  는

$$\theta = \frac{\alpha l \Delta t}{h} \dots \dots \dots (4-9)$$

先端의 變位  $\delta$  는

$$\delta = \frac{\alpha l^2 \Delta t}{2h} \dots \dots \dots (4-10)$$

가 된다. 여기서,  $\Delta t$  는 컬럼의 前面과 後面과의 平均上昇溫度差이다  
따라서, Fig. 4-3 에서 컬럼의 굽힘에 의한 主軸先端의 垂直變位量  $\Delta l_x$  는

$$\Delta l_x = H \cdot \tan \theta \dots \dots \dots (4-11)$$

로 구할 수 있다.

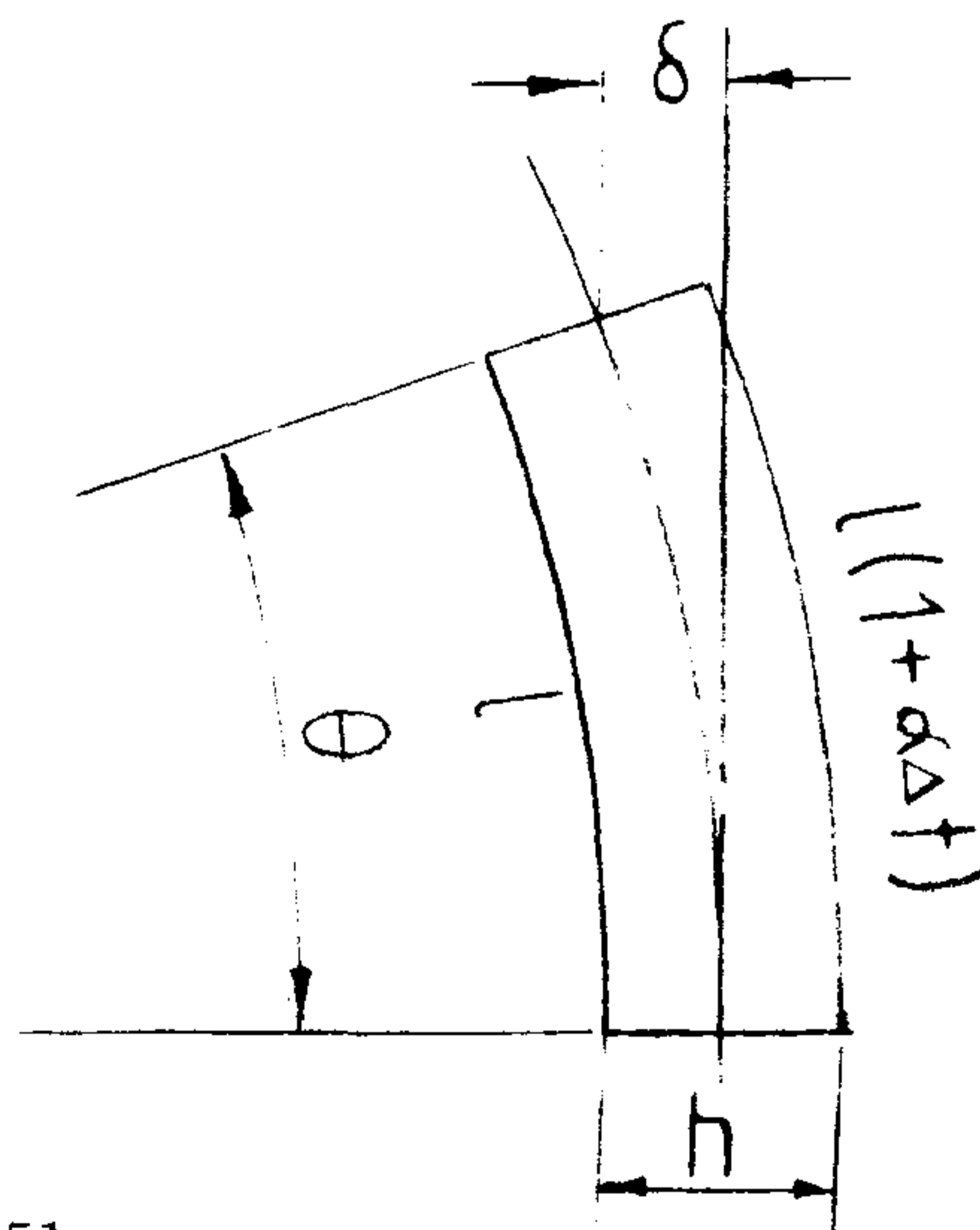


Fig. 4 - 4 Deflection of Column

C) 相對變位

主軸先端과 테이블上面과의 相對變位量  $\Delta l_{AB}$ 는 Fig. 4 - 3 과 (4-3), (4-8), (4-11) 式에 의하여

$$\begin{aligned} \Delta l_{AB} &= \int_0^{\ell_A} \alpha t dx + H \cdot \tan \theta \\ &= \alpha x t_0 \left(1 - \frac{m}{2} x\right) + H \tan \theta \\ &= \alpha x \bar{t} + H \cdot \tan \theta \\ &= \alpha x \bar{t} + H \cdot \tan \left(\frac{\alpha \ell \Delta t}{h}\right) \dots \dots \dots (4-12) \end{aligned}$$

여기서,  $\theta$  : 컬럼밀면을 기준으로 한 컬럼의 굽힘각도 로 쓸수 있다.

한편, 위 式에서 알수 있는 바와 같이, 主軸先端과 테이블上面과의 相對變位는 컬럼의 斷面形狀, 컬럼의 平均溫度上昇, 컬럼前·後面의 溫度差 등에 의해서 지배되는 것을 알 수 있다.

#### 4-2-2 温度分布 解析

一般的으로 工作機械의 熱變形을 數値解析하는 데에는 有限要素法이 活用되고 있으며, 시판되고 있는 有限要素法 프로그램 패키지는 大型 컴퓨터용으로 3차원 解析을 할 수 있도록 되어 있는 것이 보통이나, 本 研究에서는 主軸先端과 테이블上面과의 相對變位에 관하여서는 앞에서 言及한 式(4-12)에 의하여 解析하기로 하고, 主軸과 칼럼의 温度分布에 관하여 解析하기 위하여, BASIC 言語를 사용하여 定常狀態의 2次元 熱傳達問題를 解析할 수 있는 마이크로용 有限要素法 프로그램을 作成하여 活用하였다.

#### 4-3-1 프로그램의 概要

本 研究에서 作成·活用한 프로그램은 2次元 準調和方程式을 構成方程式으로 갖는 여러 2차원 場에 관한 문제를 解決할 수 있는 프로그램으로서, 그 構成方程式 및 境界조건은 다음과 같다.

$$\frac{\partial}{\partial x} \left( k_{xx} \frac{\partial \phi}{\partial x} \right) + \frac{\partial}{\partial y} \left( k_{yy} \frac{\partial \phi}{\partial y} \right) + Q = 0 \quad \dots \dots \dots (4-13)$$

$$\phi = \phi_B(S) \quad \dots \dots \dots (4-14)$$

$$k_{xx} \frac{\partial \phi}{\partial x} l_{nx} + k_{yy} \frac{\partial \phi}{\partial y} l_{ny} + q + h(\phi - \phi_\infty) = 0 \quad \dots (4-15)$$

有限要素로는 3節點 三角形 要素를 使用하였으며, 平板問題와 軸對稱 問題를 해석할 수 있도록 作成하였다.

Fig. 4-5는 일반적인 유한요소법 프로그램의 플로우차트이며, 4-6은 本 研究용으로 作成한 프로그램의 플로우차트이다.

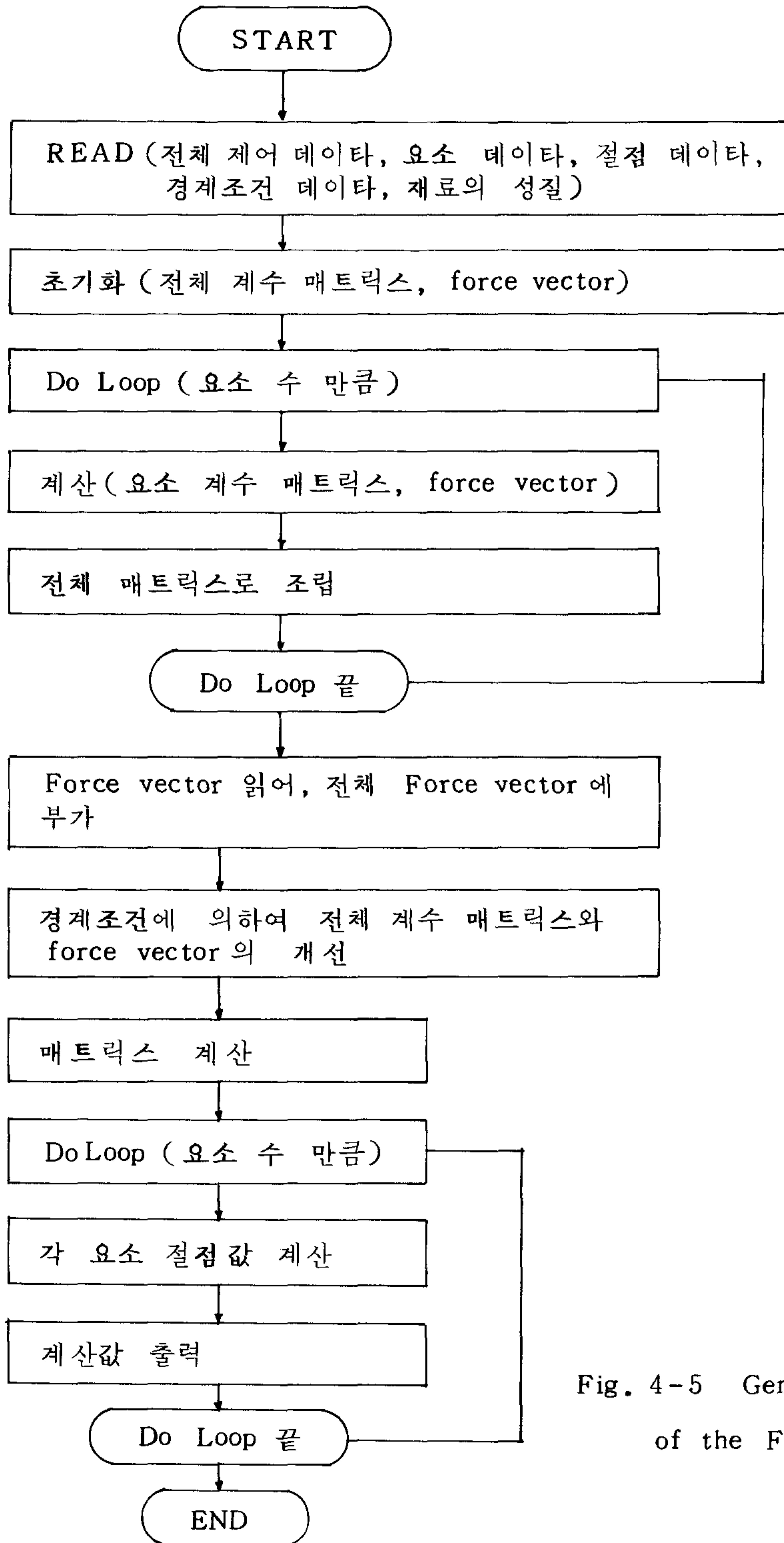


Fig. 4-5 General Flowchart of the F.E.M Program



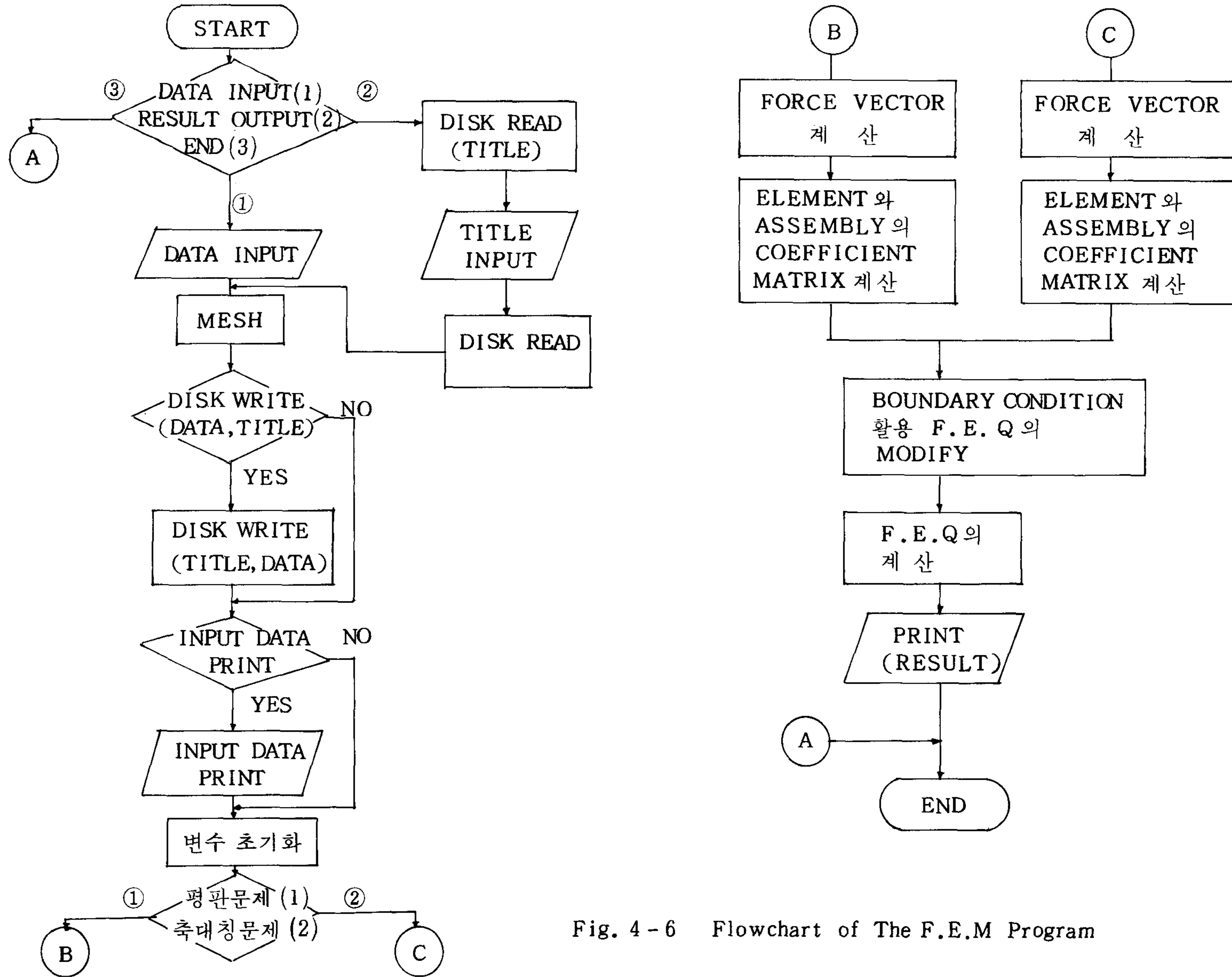


Fig. 4-6 Flowchart of The F.E.M Program

따라서, 본 프로그램은 板구조로 되어 있는 경우에, 즉 벽의 두께가 길이에 비하여 얇고 두께方向의 温度分布가 一定하다고 가정하여 工作機械의 칼럼을 한 面내에 전개하여 温度分布를 구하는 것이 가능하며, 主軸과 같이 軸對稱으로 된 構造物의 温度分布도 求할 수 있다.

다음 例는 作成된 프로그램의 精密度를 알기 위하여 商業用으로 販賣되고 있는 ANSYS 프로그램으로 解析한 값과 理論値와 比較하여 본 結果이다.

[例] 有限要素 모델은 그림과 같이 軸方向(y)의 길이중 임의의 한 部分을 選擇하여 温度 구배가 큰 실린더의 内面에서 부터 半径(x) 方向으로 要素를 分割하여 温度分布를 求한다.

1) 기하학적 형태 : 실린더는 軸方向으로 길고 두께가 얇은 軸對稱의 形態로서 内径이 0.1875 in, 外径이 0.625 in 의 寸수를 갖는다.

2) 材料의 性質 : 실린더는 다음과 같은 物性値를 갖는 탄소강이다.

$$\alpha = 1.435 \times 10^{-5} \text{ in/in} - ^\circ\text{F}$$

$$K = 3 \text{ Btu/hr-in-}^\circ\text{F}$$

3) 境界조건 : 실린더는 内面の 温度가  $-1^\circ\text{C}$  外面은  $0^\circ\text{C}$  로 되어 있으며, 熱은 같은 半径위치의 節點끼리 일정하게 전달된다.

여기에서 半径方向( )의 임의의 節點에서의 温度分布는 다음식으로 주어진다.

$$\text{温度}(T_x) = \frac{(T_i - T_o) \ln x}{\ln(R_o/R_i)} + \frac{T_i \ln R_o - T_o \ln R_i}{\ln(R_o/R_i)} \dots (4-16)$$

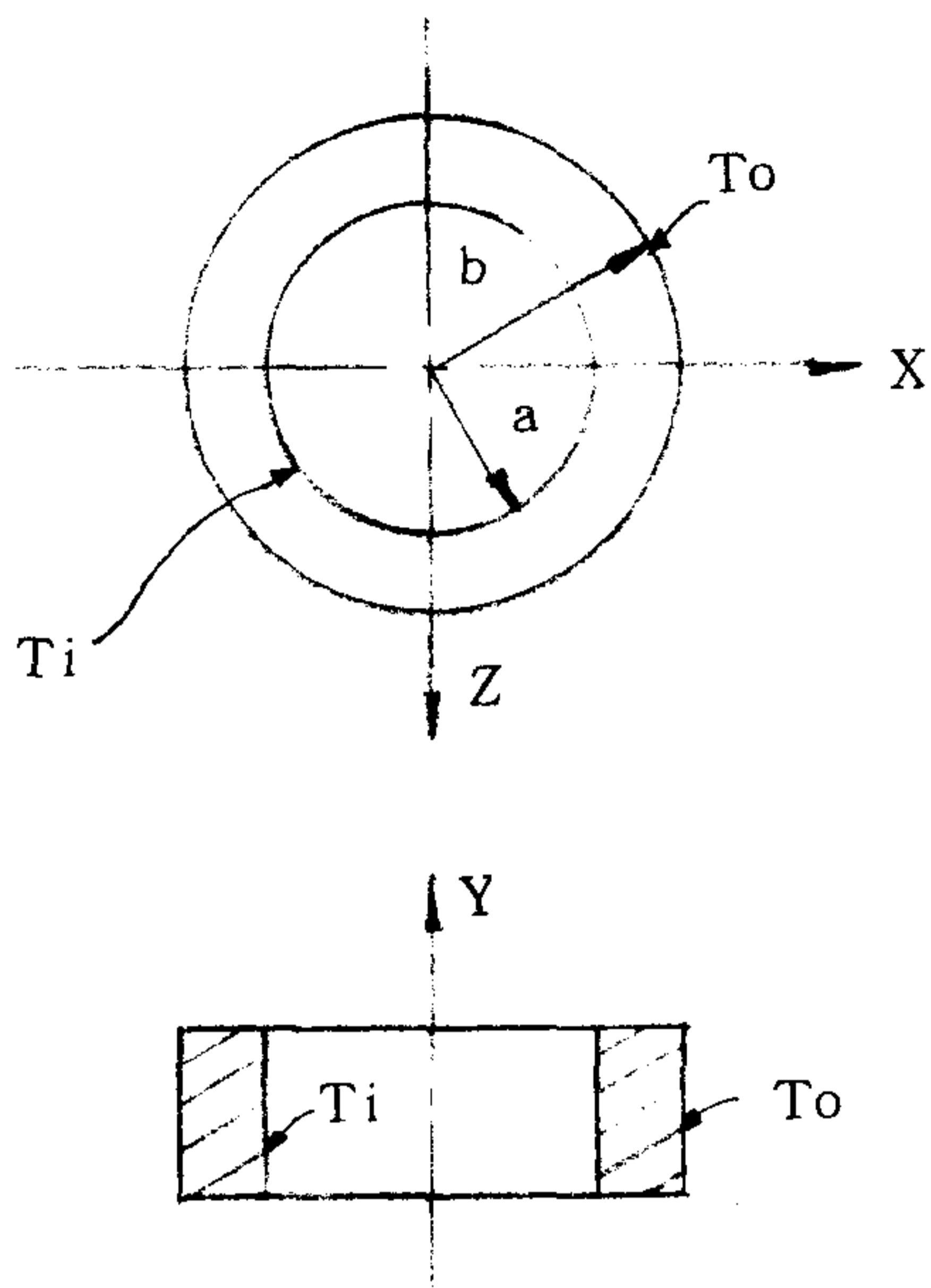
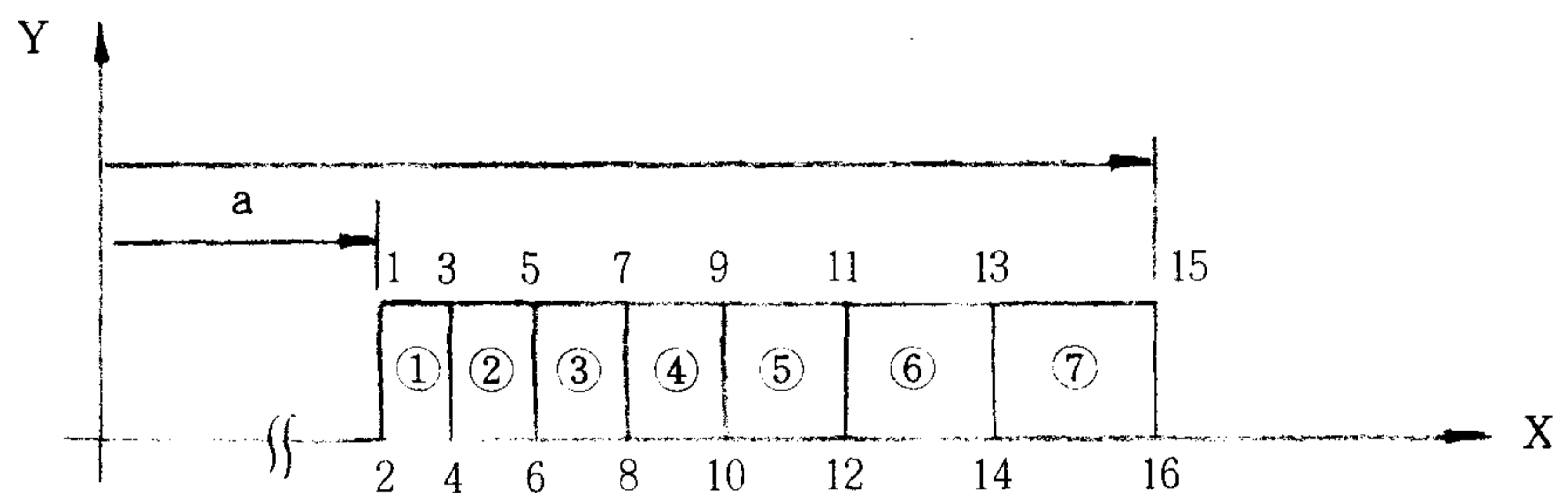
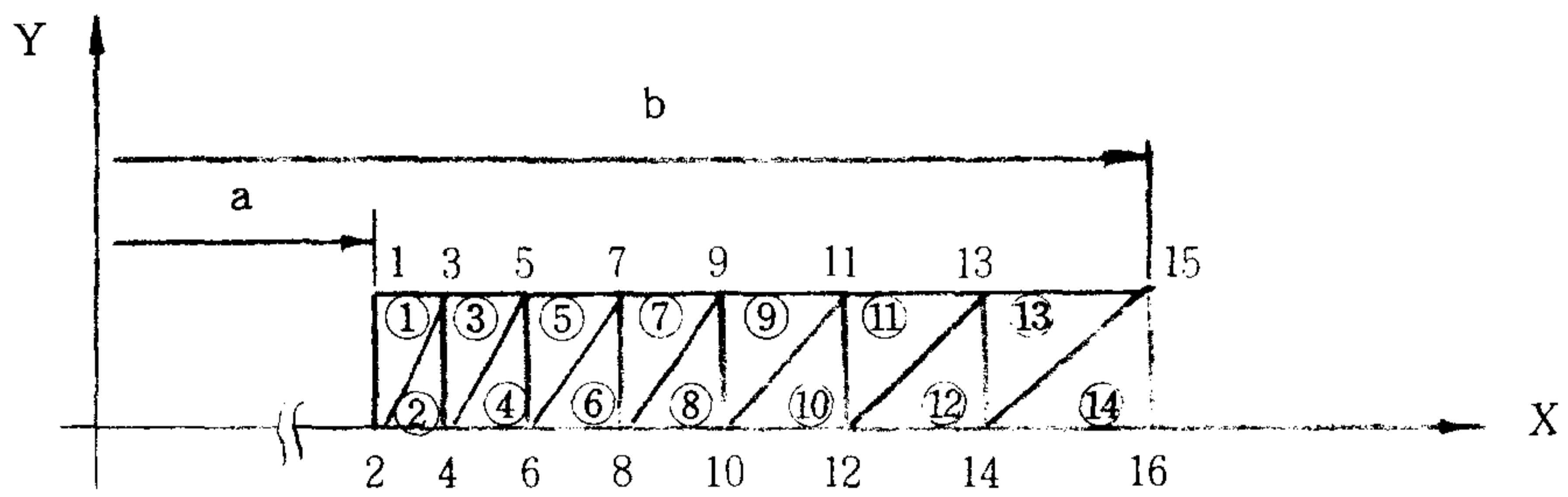


Fig. 4 - 7 Problem Sketch



(a) Model For ANSYS



(b) Model for F. E. M Program

Fig. 4 - 8 Finite Element Model

Table 4-2 . Comparision of The Result

Node	Location	Theory	Ansys	Difference (%)	Programmed F. E. M	Difference (%)
1 ~ 2	0.18750	- 1.00000	- 1.00000	0	- 1.00000	0
3 ~ 4	0.23054	- 0.82836	- 0.82838	0.002	- 0.82840	0.005
5 ~ 6	0.27884	- 0.67037	- 0.67037	0	- 0.67053	0.024
7 ~ 8	0.33307	- 0.52277	- 0.50000	4.356	- 0.52301	0.046
9 ~ 10	0.39393	- 0.38338	- 0.38338	0	- 0.38363	0.065
11 ~ 12	0.46224	- 0.25055	- 0.25055	0	- 0.25076	0.084
13 ~ 14	0.53893	- 0.12307	- 0.12307	0	- 0.12317	0.081
15 ~ 16	0.6250	+ 0.00000	+ 0.00000	0	+ 0.00000	0

Table 4-2 는 比較結果를 Table 로 나타낸 것이다.

#### 4 - 3 實驗結果및 分析

칼럼의 밑면에서 500 mm 위치에 主軸을 고정하고, 研削機 (國產 1 대, 外產 1 대) 를 무부하상태에 運轉하면서, 時間經過에 따른, 大氣溫度變化, 主軸 베어링部 (하우징) 의 溫度上昇, 칼럼各部의 溫度上昇 및 前後 溫度差, 主軸先端과 테이블上面과의 相對變位量 등을 測定하였다.

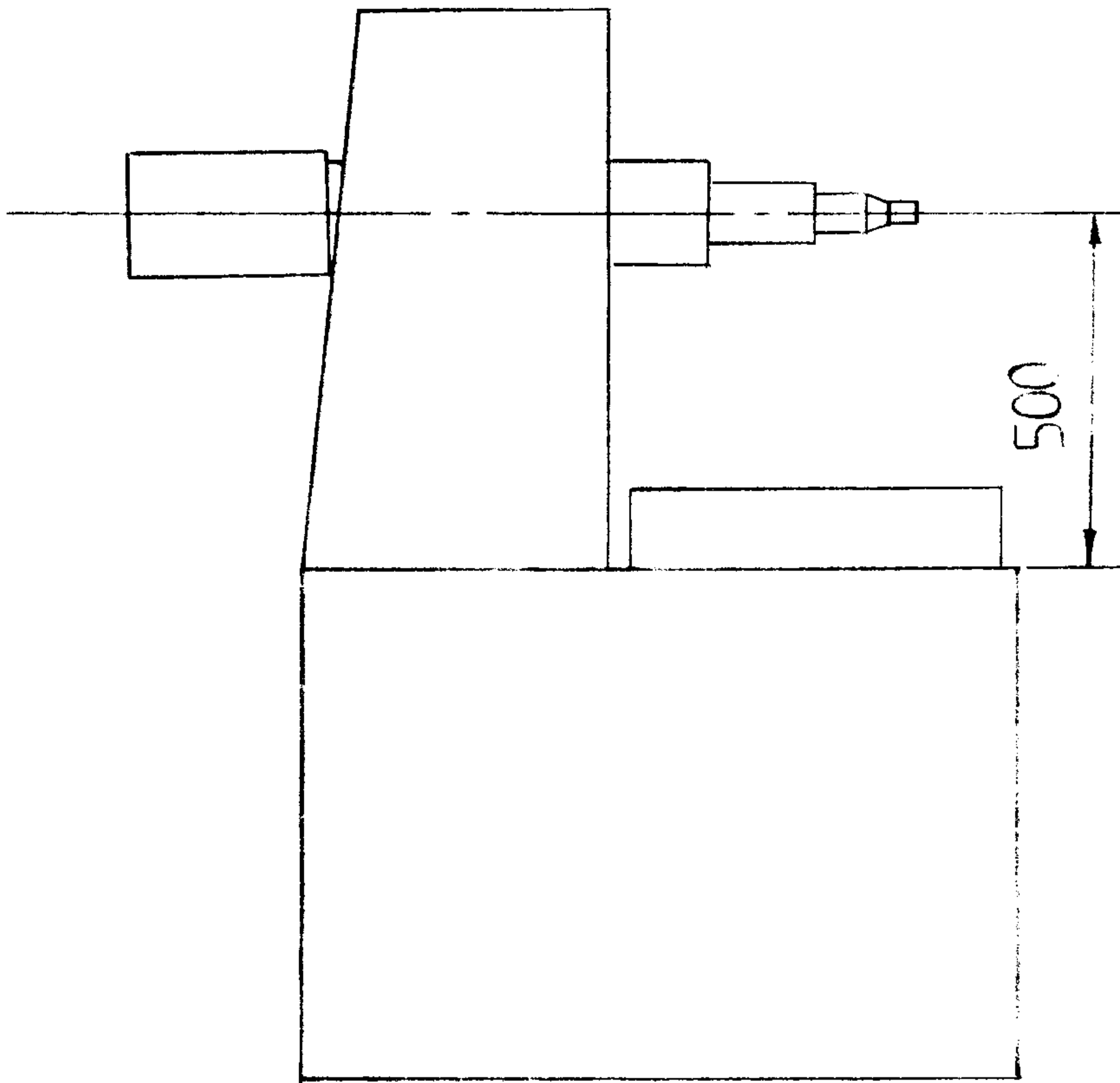


Fig. 4-9 Position of the Spindle

4-3-1 컬럼의 단순팽창에 의한 垂直變位

研削機를 무부하상태에서 운전하면서 時間經過에 따른 컬럼 各部의 表面溫度를 測定하여, 그 平均上昇溫度 ( $\bar{t} \text{ } ^\circ\text{C}$ ) 를 앞에서 유도한 (4-8) 식에 代入하여 計算한 結果를 Fig. 4-10에 나타내었다.

$$\begin{aligned} \Delta l_x &= \int_0^x \alpha t \, dx \\ &= \alpha x t_0 \left(1 - \frac{m}{2} x\right) \\ &= \alpha x \bar{t} \dots\dots\dots (4-8) \end{aligned}$$

한편, 컬럼의 平均溫度上昇이 컬럼의 단순팽창에 미치는 影響은 Fig. 4-11과 같다.

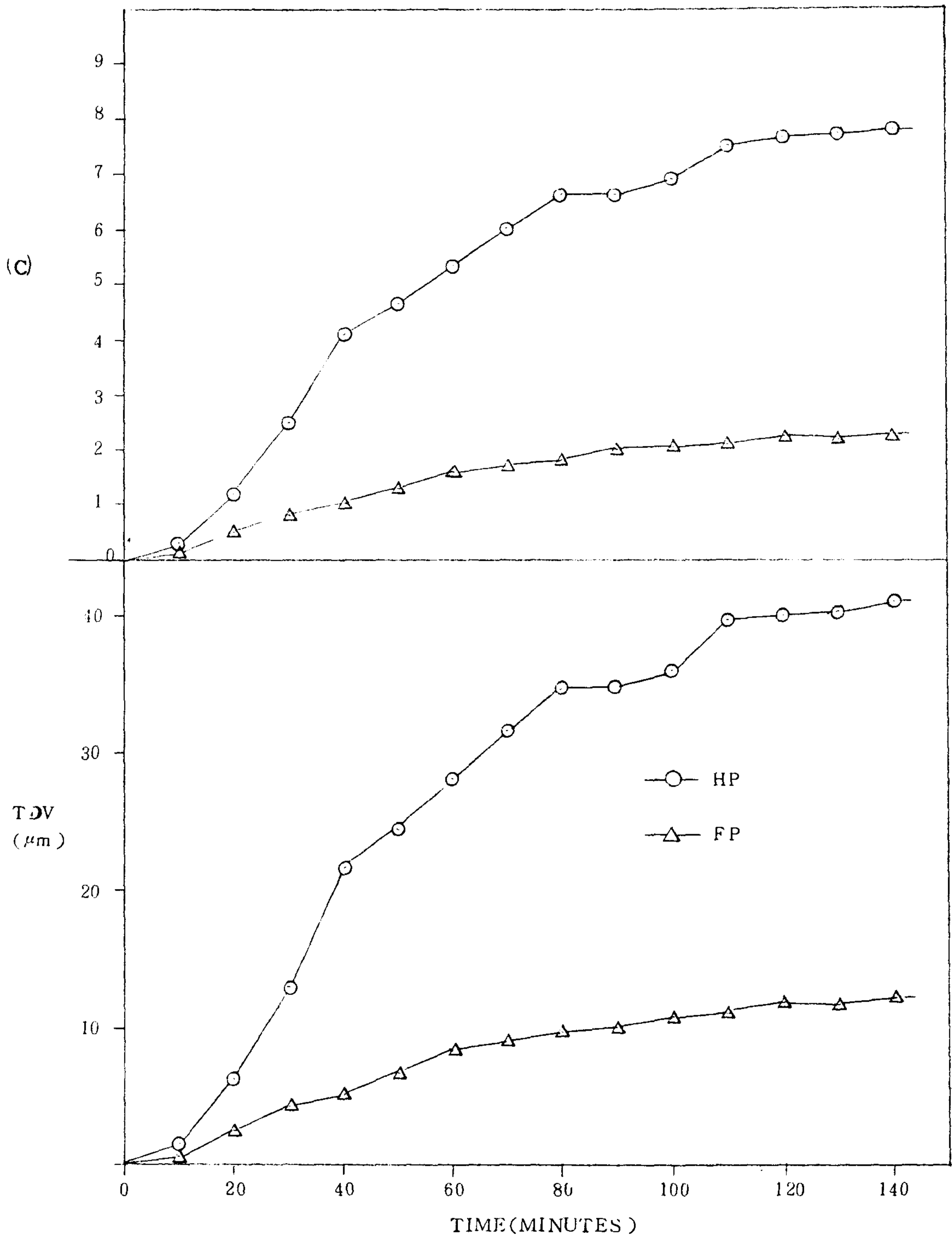


Fig. 4 - 10 Vertical Deformation of the Column By the Simple Expansion

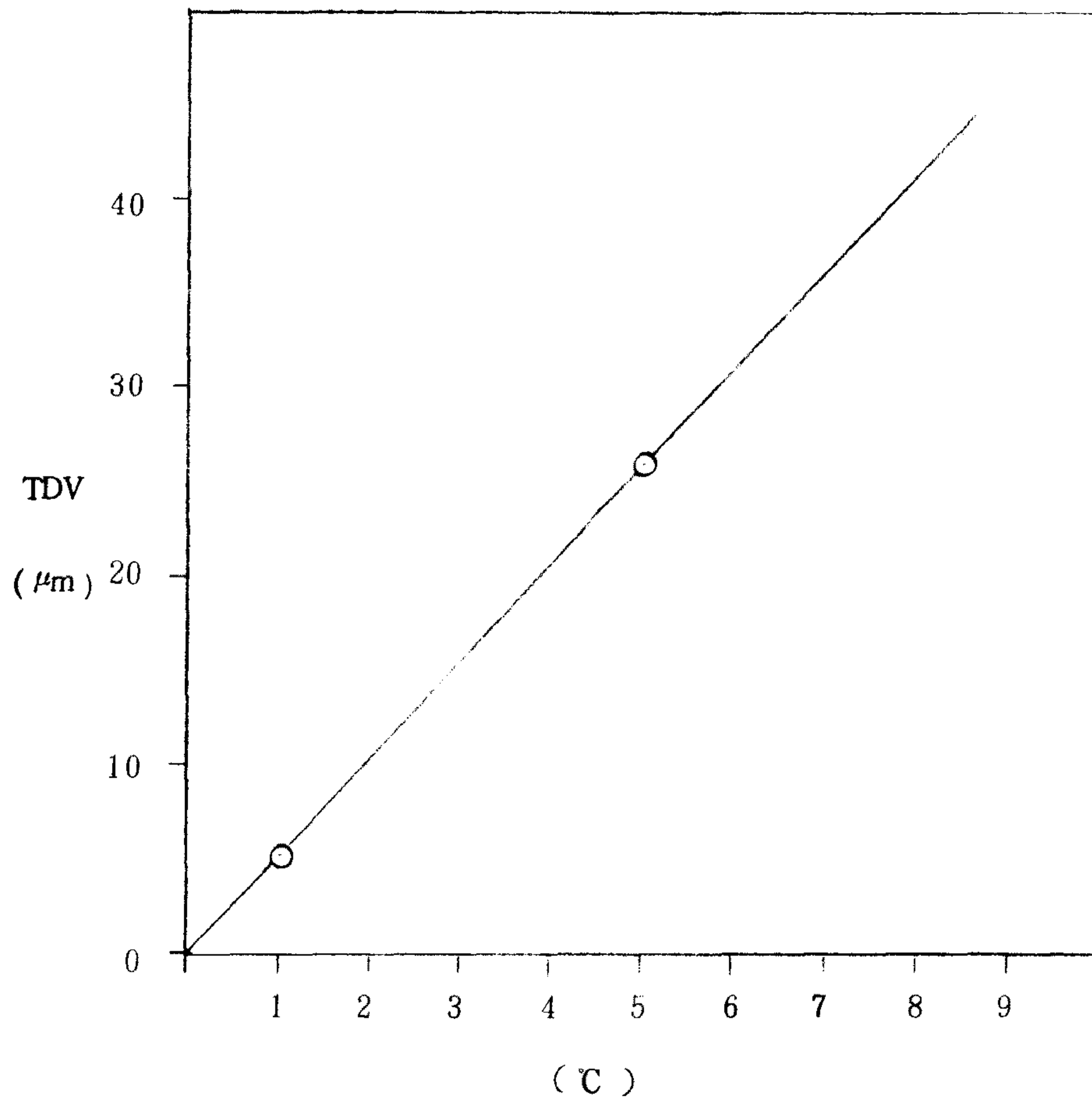


Fig 4-11 Relation of Temperature Rising and Deformation

### 4-3-2 컬럼의 굽힘에 의한 垂直變位

研削數를 무부하상태에서 운전하면서 時間經過에 따른 컬럼 前·後面에서의 溫度分布를 測定하였으며, 앞에서 유도한 (4-11)식의 2째항에 의하여 컬럼의 前·後面의 溫度差에 의한 컬럼의 굽힘에 의한 垂直變位를 計算한 結果를 Fig. 4-12에 나타내었다.

$$\begin{aligned} \Delta l_x &= \alpha x \bar{t} + H \tan \theta \\ &= \alpha x \bar{t} + H \cdot \tan \left( \frac{\alpha l \Delta t}{h} \right) \dots\dots\dots (4-11) \end{aligned}$$

여기서 +變位 (+溫度差)는 컬럼이 研削機의 뒤쪽으로 굽는 것을 의미하며 -變位 (-溫度差)는 컬럼이 研削機 앞쪽으로 굽는 것을 의미한다.

한편, Fig 4-13은 溫度差가 컬럼의 굽힘에 의한 垂直變位에 미치는 影響을 나타내고 있다.



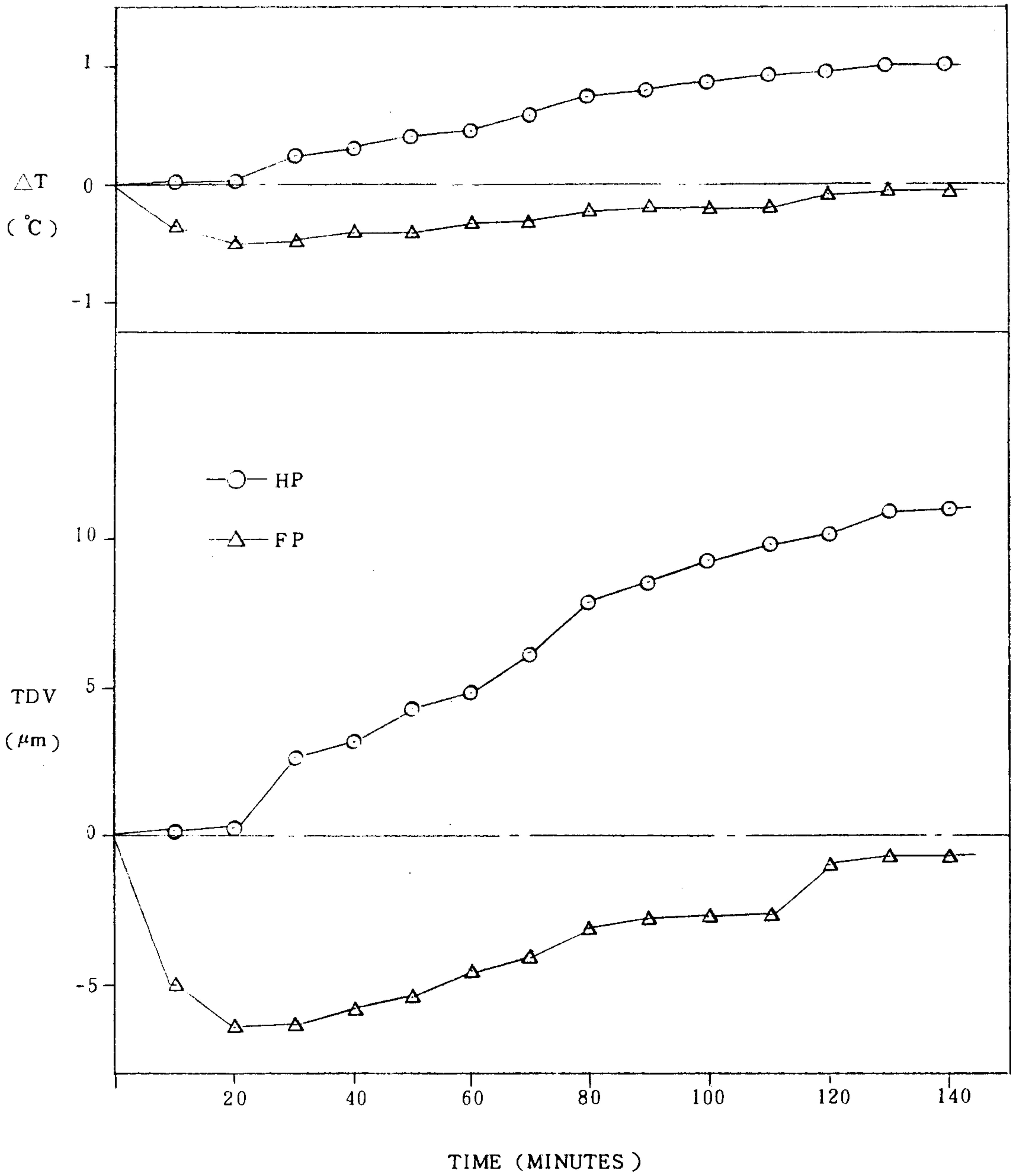


Fig.4-12 Vertical Deformation By the Deflection of Column

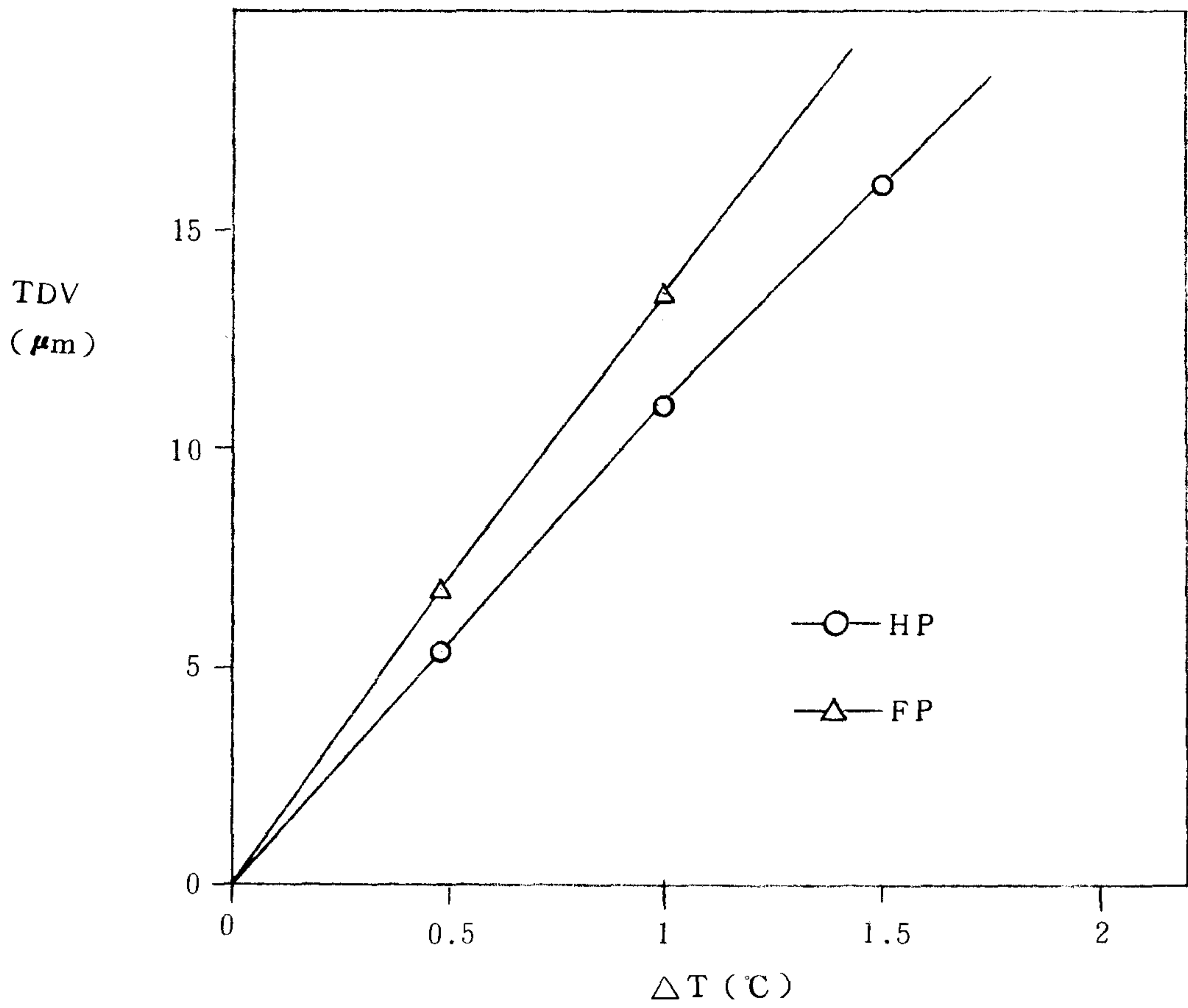


Fig. 4-13 Relation of Temperature and Deformation

Fig. 4-12에서 알 수 있듯이 國產 研削機의 경우, 컬럼의 前部 溫度가 後部溫度보다 높게 되는 構造로 되어 있고, 그 溫度差는 약  $1^{\circ}\text{C}$ 에 이르르며, 그에 의한 컬럼의 垂直變位量은 약  $11\mu\text{m}$ 에 다다르고 있다. 外產 研削機의 境遇에는 初期에는 컬럼의 前部溫度보다 後部溫度가 높으나, 점차 溫度差가 적은 쪽으로 進行하고 있다. 卽 研削機의 熱變形이 平衡상태에 다다르게 되면, 外產의 경우, 컬럼의 굽힘에 의한 垂直方向變位는 무시할 程度로 작게 된다는 것을 알 수 있다.

#### 4-3-3 主軸先端과 테이블上面과의 相對變位

研削機를 무부하 상태로 운전하면서 時間經過에 따른 主軸先端과 테이블上面과의 相對變位를 測定하였다.

Fig. 4-14는 앞에서 유도한 (4-11)식에 의하여 구한 계산값(컬럼의 단순팽창에 의한 垂直變位量 + 컬럼의 굽힘에 의한 垂直變位量)과 測定값을 비교하여 나타내었다.

한편, Fig. 4-15는 主軸部 하우징의 溫度變化를 나타내고 있으며, Fig. 4-16은 主軸의 前後 수평방향의 變位를 나타내고 있다. 또한, Fig. 4-17은 Fig. 4-14와 Fig. 4-16을 조합하여 나타낸 것이다.

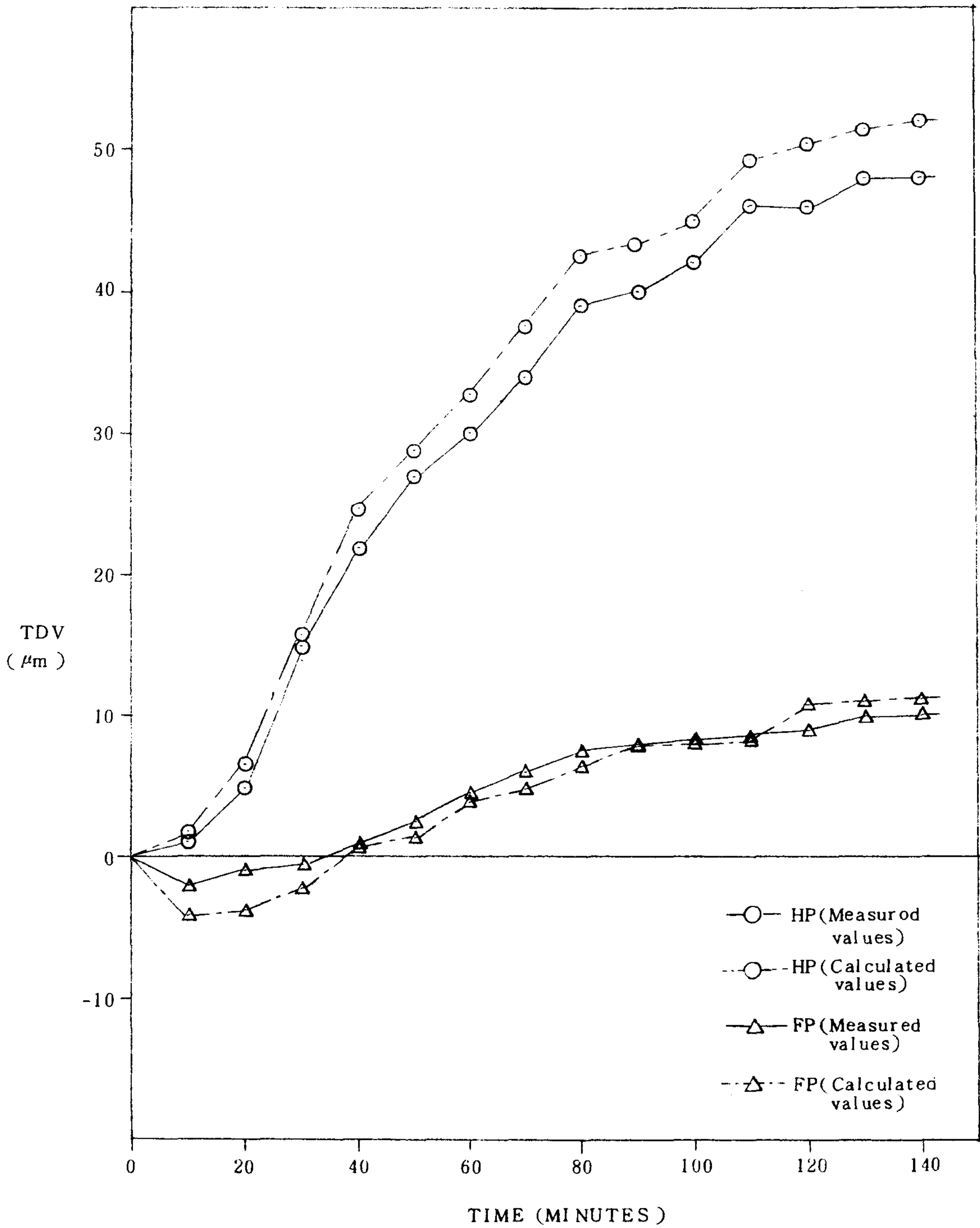


Fig.4-14 Relative Deformation of spindle and Table

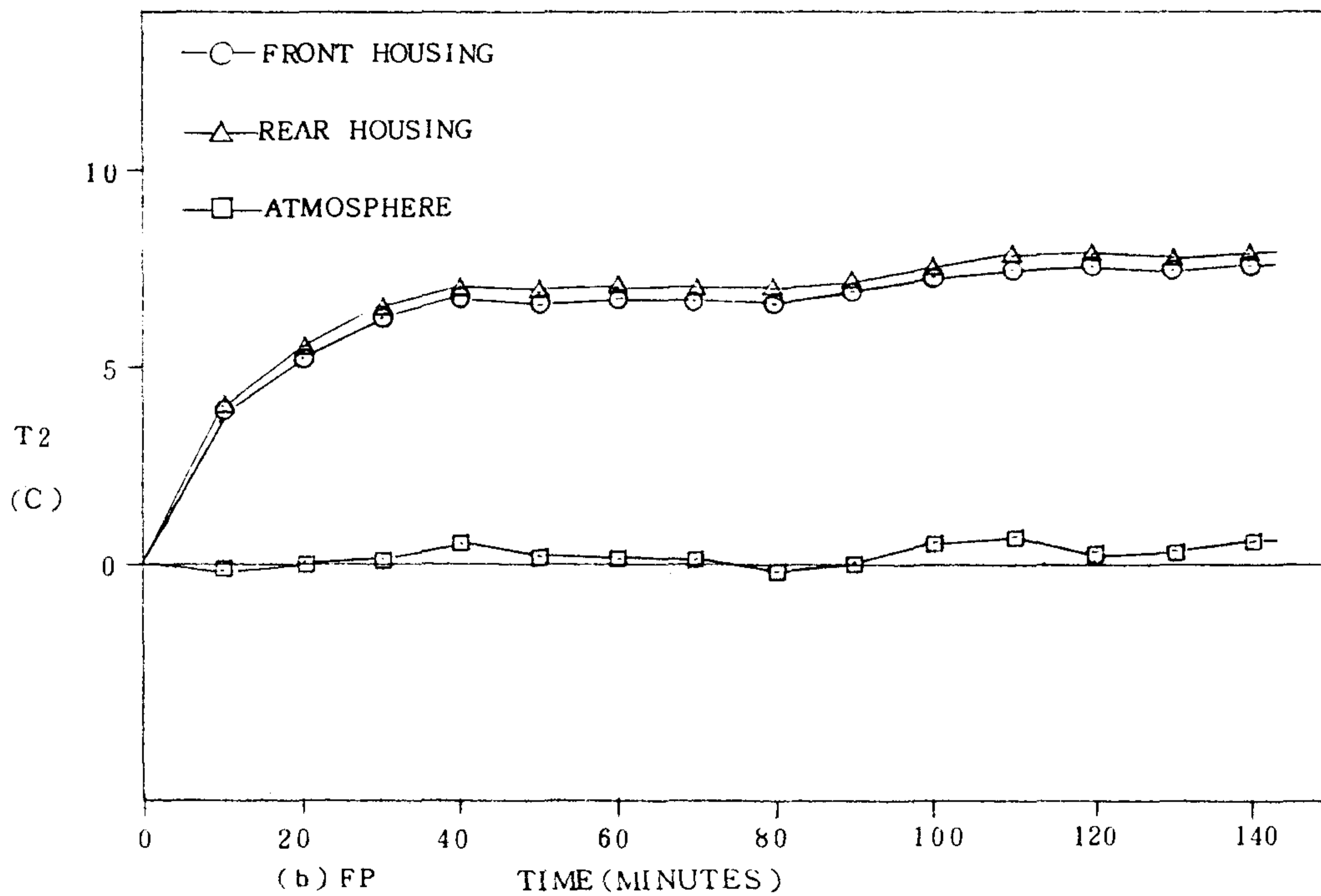
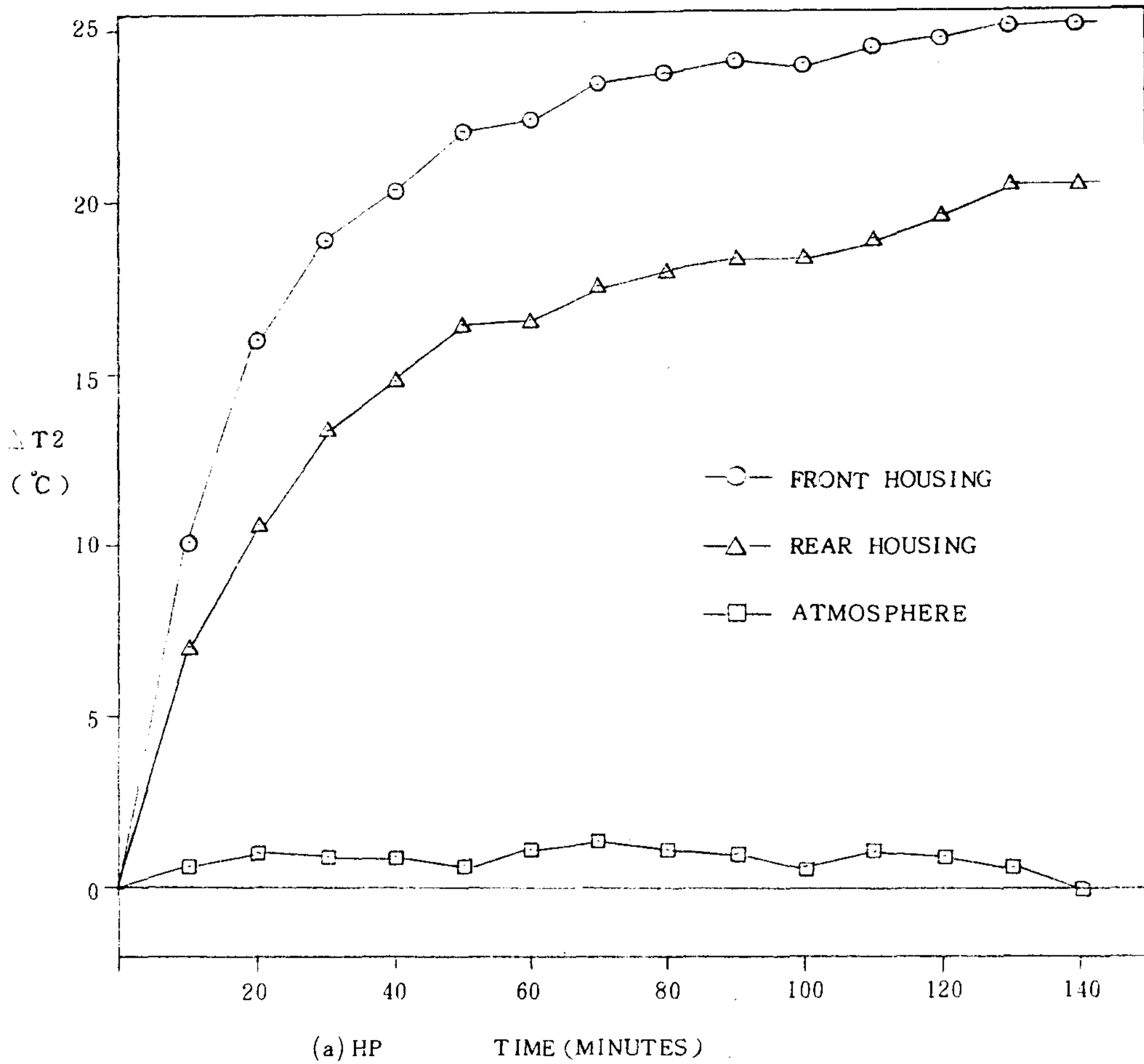


Fig.4-15 TEMPERATURE RISING OF THE SPINDLE HOUSING

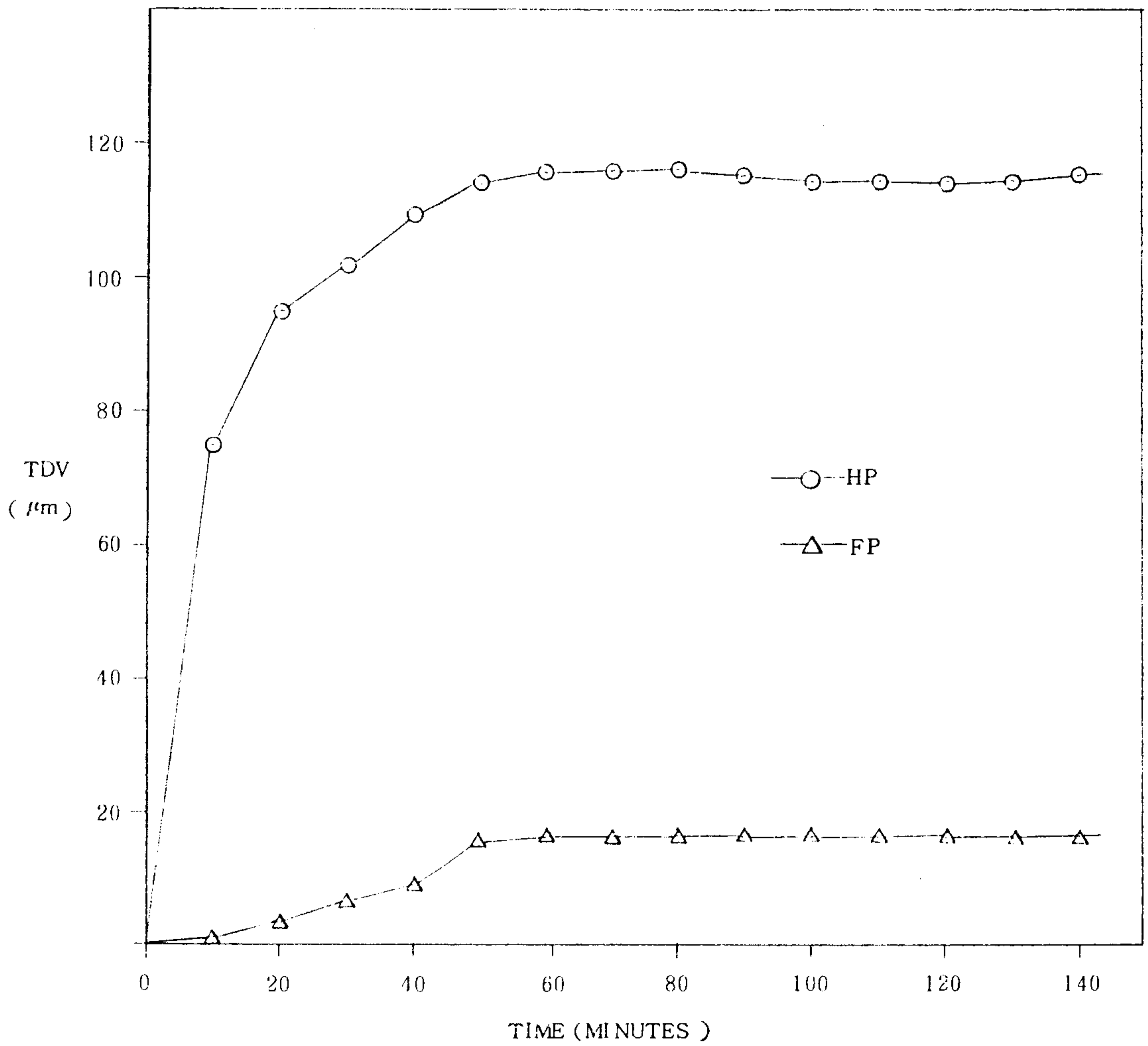


Fig.4-16 Deformation To The Axial Direction of the spindle

지금까지의 계산 및 實驗結果에서 알 수 있듯이, 다음과 같이 結論을 내릴 수 있다.

- ① 유도한 式(4-11)은 主軸部 相對變位를 잘 예측할 수 있다.
- ② 국산은 相對變位量이  $48 \mu m$ 에 다다르며, 외산의 경우에는 국산의 약  $1/4$ 에 해당하는 약  $11 \mu m$ 의 變形을 보이고 있다.
- ③ 국산의 相對變位量은 컬럼의 팽창에 의한 量과 굽힘에 의한 量이  $4 : 1$ 의 比率를 보이고 있으나, 외산의 경우는 굽힘에 의한 量은 무시할 수 있을 정도이며, 거의 컬럼의 단순팽창에 의한 量이다.
- ④ 국산의 경우 主軸部 베어링의 온도 상승이 높다.
- ⑤ 주축의 축방향 變位도 국산의 경우가 대단히 크다.

따라서, 이러한 熱變形을 방지하기 위하여서는 다음과 같은 사항을 改善토록 하여야 할 것이다.

- ① 주축 베어링의 온도 상승 억제
- ② 컬럼의 前後面間의 溫度差 제어

#### 4-4. 熱變形對策

工作機械의 工作精度에 영향을 주는 熱變形을 어떻게 하여 改良할 수 있는가를 앞에서 Table (Table 4-1)로 정리한 바 있으며, 그 對策은 매우 많다. 따라서 이 가운데 현실적 여건을 고려하여, 試料로 사용된 국·외산 成形研削機를 中心으로 熱變形對策에 關하여 고찰하여 보기로 한다.

(4-11) 式을 다시쓰면 다음과 같다.

$$\begin{aligned}\Delta \ell_x &= \alpha x t_o \left(1 - \frac{m}{2} x\right) + H \tan \theta \\ &= \alpha x \bar{t} + H \cdot \tan \left(\frac{\alpha \cdot \ell \cdot \Delta t}{h}\right)\end{aligned}$$

$$\text{여기서, } m = \sqrt{\frac{h \cdot p}{K \cdot A}}$$

위 式을 기준으로 熱變形量 ( $\Delta \ell_x$ ) 을 적게 하려면,

- 1) 선팽창 계수( $\alpha$ )가 작은 材料를 使用할 것
- 2) 熱源의 發熱量 ( $t_o$ : 發熱部溫度)을 적게 할 것
- 3) 컬럼의 斷面形狀( $m$ )을 크게 設計할 것
- 4) 컬럼中心에서 연삭 스톨 固定部까지의 길이  $H$ 를 짧게 할 것
- 5) 컬럼 前·後面의 溫度差 ( $\Delta t$ )가 적게 할 것
- 6) 컬럼의 前後길이  $h$ 를 길게 設計할 것 등이다.

앞에서 試驗한 結果와 (4-11) 式을 토대로 하여, 國產研削機와 外產研削機사이에 크게 차이를 보인 ①主軸部 베어링의 溫度上昇 ②컬럼 前·後面의 溫度差를 中心으로 比較檢討하도록 한다.



#### 4 - 4 - 1 主軸部 베어링의 溫度上昇억제

一般的으로 베어링의 溫度上昇을 억제하기 위하여서는  
 ① 發熱을 적게하는 法과 ② 發散을 빨리시키는 法이 있으며, 이를 위  
 해서는 ① 베어링의 형식 <베어링의 種類, 配列, 精度等級, 베어링클리어런스  
 등> ② 潤滑方法의 改善 (潤滑劑, 潤滑方法, 密封方法) ③ 組立技術의 向上  
 (豫壓, 軸과 하우징의 精度, 끼워맞춤, 베어링의 取扱 등) 등이 要求된다.

수집한 各種 報告書 및 資料에 의하면 그리이스 潤滑상태에서 研削  
 機의 主軸部 베어링溫度를 주위溫度보다 2 ~ 5 °C 上昇하는 범위에서 억  
 제할 수 있는 것으로 나타나고 있다. 따라서 國産의 경우에도 이를  
 목표로 하여 溫度上昇을 억제하므로써 熱變形을 최소화하도록 하  
 여야 할 것이다.

Table 4 - 3 은 베어링部の 溫度上昇이 클 때, 그 原因과 對策을 나  
 타내고 있다.

Table 4 - 3 베어링의 異常溫度上昇

운전상태	추 정 원 인	대 책
異常溫度 上昇	潤滑劑의 과다	潤滑劑의 少量注入, 경질 그리이스선택
	潤滑劑의 부족	潤滑劑의 보충, 적당한 潤滑劑의 선택
	이상 하중	끼워맞춤의 수정, 클리어런스 검토, 예압 조정, 하우징과 턱 위치의 수정
	설치 불량	축·하우징의 가공精密度와 設置精密度 改善, 設置方法의 改善
	끼워 맞춤면의 크리이 프 현상, 밀봉장치의 마찰 과다	교환, 끼워 맞춤의 검토, 축과 하우징의 수정, 밀봉장치의 변경

따라서, 앞 테이블에서 열거한 溫度上昇要因을 中心으로 國産과 外産을 比較檢討하도록 한다.

Table 4 - 4 은 試料로 使用된 研削機의 主軸部 베어링의 결보기 끼워 맞춤을 比較한 것이다.

Table 4 - 5 는 主軸과 하우징의 加工精度를 比較한 것이다.

Table 4 - 4 베어링의 끼워맞춤

		위 치	끼워맞춤 ( $\mu\text{m}$ )	베어링형식
國産 研削機	前部 베어링	외륜과 하우징	- 2 ~ + 2.5	6206 ZZ
		내륜과 축	- 4 ~ - 3	
	後部 베어링	외륜과 하우징	- 12 ~ - 6.5	6205 ZZ
		내륜과 축	- 5.5	
外産 研削機	前部 베어링	외륜과 하우징	2 ~ 4	7006 C
		내륜과 축	2 ~ 4.5	P4
	後部 베어링	외륜과 하우징	13	7007 C
		내륜과 축	0	P4

Table 4 - 5 主軸과 하우징의 加工精密度

	항 목	國 産		外 産	
		前 部	後 部	前 部	後 部
主 軸	진 원 도	2.1	1.6		
	동 심 도	9.0		7 ~ 9	
	직 각 도	1.5	5.0	2.0	2.0
	직 경	30 $\begin{smallmatrix} +0.003 \\ +0.002 \end{smallmatrix}$	25 $+0.000$	35 $\begin{smallmatrix} -0.005 \\ -0.007 \end{smallmatrix}$	30 $-0.003$
하 우 징	직 경	62 $\begin{smallmatrix} -0.003 \\ -0.007 \end{smallmatrix}$	52 $\begin{smallmatrix} -0.011 \\ -0.017 \end{smallmatrix}$	62 $-0.006$	55 $+0.003$

앞 테이블들에서 보는 바와 같이, 國産의 끼워맞춤은 꺾새를 주고 外産의 경우에는 틈새를 주고 있으며, 軸의 同心度는 거의 비슷한 수준이며 直角度는 國産이 뒤떨어짐을 알 수 있다. 즉 이러한 要因들이 합성되어 國産의 경우 溫度上昇 및 精度低下를 유발하고 있음을 추정할 수 있다.

특히 高精度를 要求하는 研削機일수록 연삭 슷돌축 (主軸) 베어링에 있어서 꺾새가 베어링을 變形시키면, 熱發生뿐만 아니라, 軸의 진원도를 해치므로, 베어링의 내륜과 軸의 틈새는 0~0.002 mm외륜과 하우징의 틈새는 0.002~0.004 mm를 권장하고 있으며, 베어링發熱에 의하여 軸과 하우징의 팽창이 다를때, 베어링이 軸方向으로 움직이지 않으면, 베어링이 파손되므로, 前部베어링을 固定하고 後部베어링을 軸方向으로 움직일 수 있도록 하기 위하여 하우징과의 틈새를 0.006~0.008 mm로 할것을 권장하고 있다. 단, 이때 베어링의 크리이프를 방지하기 위하여 끼워맞춤면의 윤활에 주의를 기울여야 한다.

따라서 本 研究에서는 國産研削機의 主軸部베어링을 Table 4 - 6 와 같이 改善하여 試驗을 수행한 結果, Fig . 4 - 17 , Fig . 4 - 18 , Fig . 4 - 19 와 같은 데이터를 얻었다.

Table 4 - 6 베어링의 끼워맞춤 改善

	위 치	끼워 맞춤 ( $\mu\text{m}$ )	베어링 형식
前部 베어링	외륜과 하우징	2 ~ 4	7206 C
	내륜과 축	0.5 ~ 1.5	P5
後部 베어링	외륜과 하우징	6.5 ~ 9.0	7205 C
	내륜과 축	0.5	P5

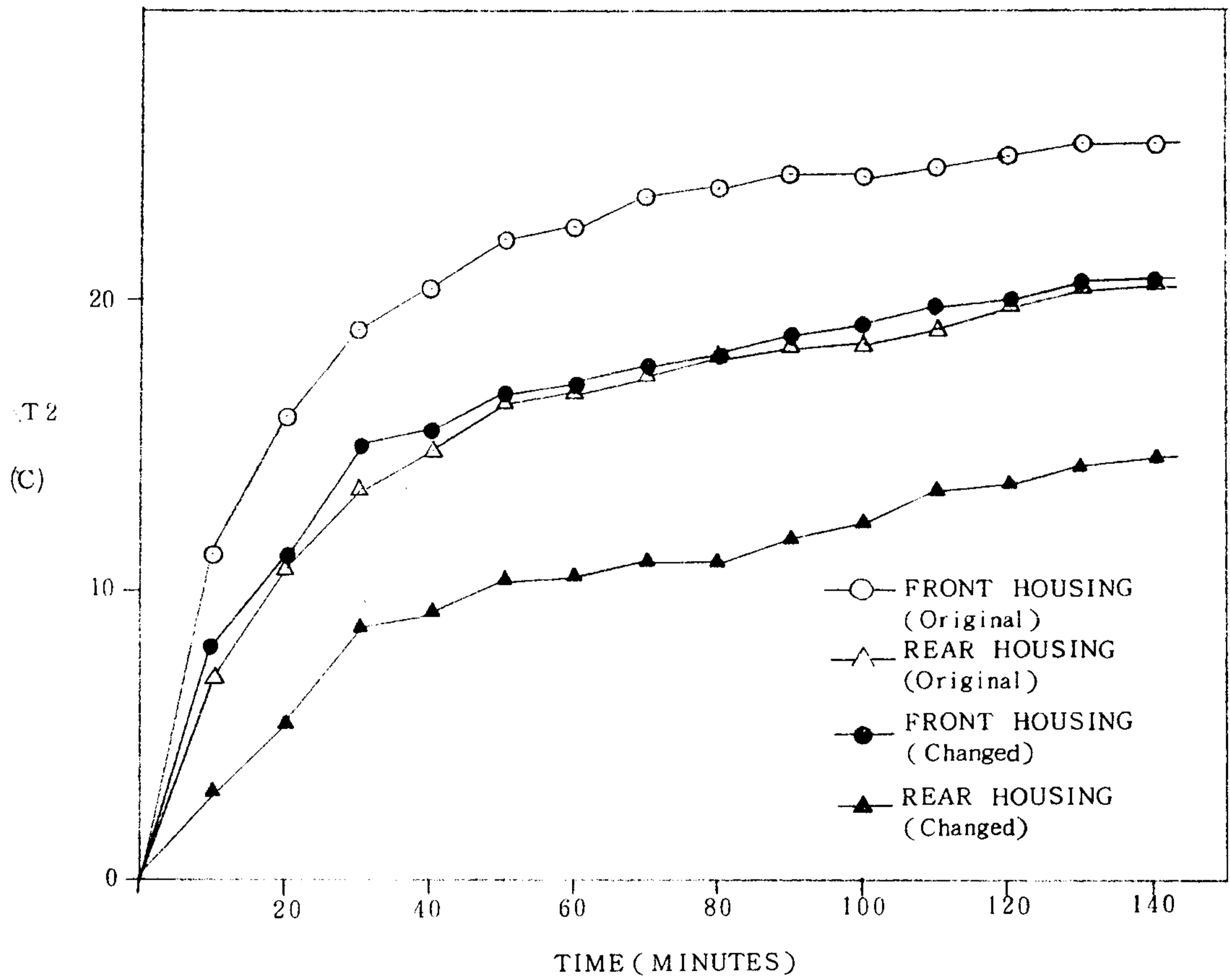


Fig. 4-17 Temperature Rising of the Spindle Housing

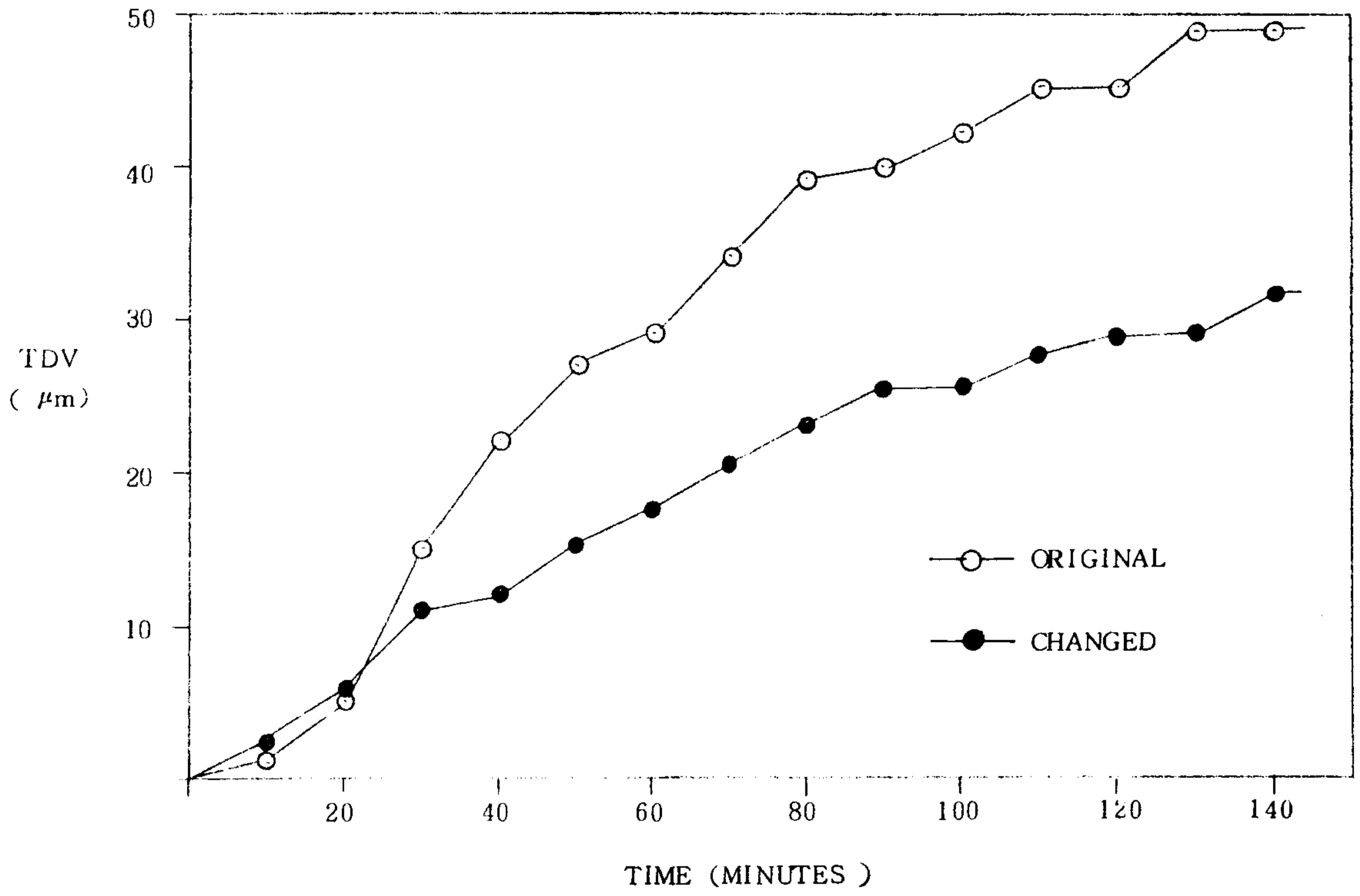


Fig. 4-18 Relative Deformation

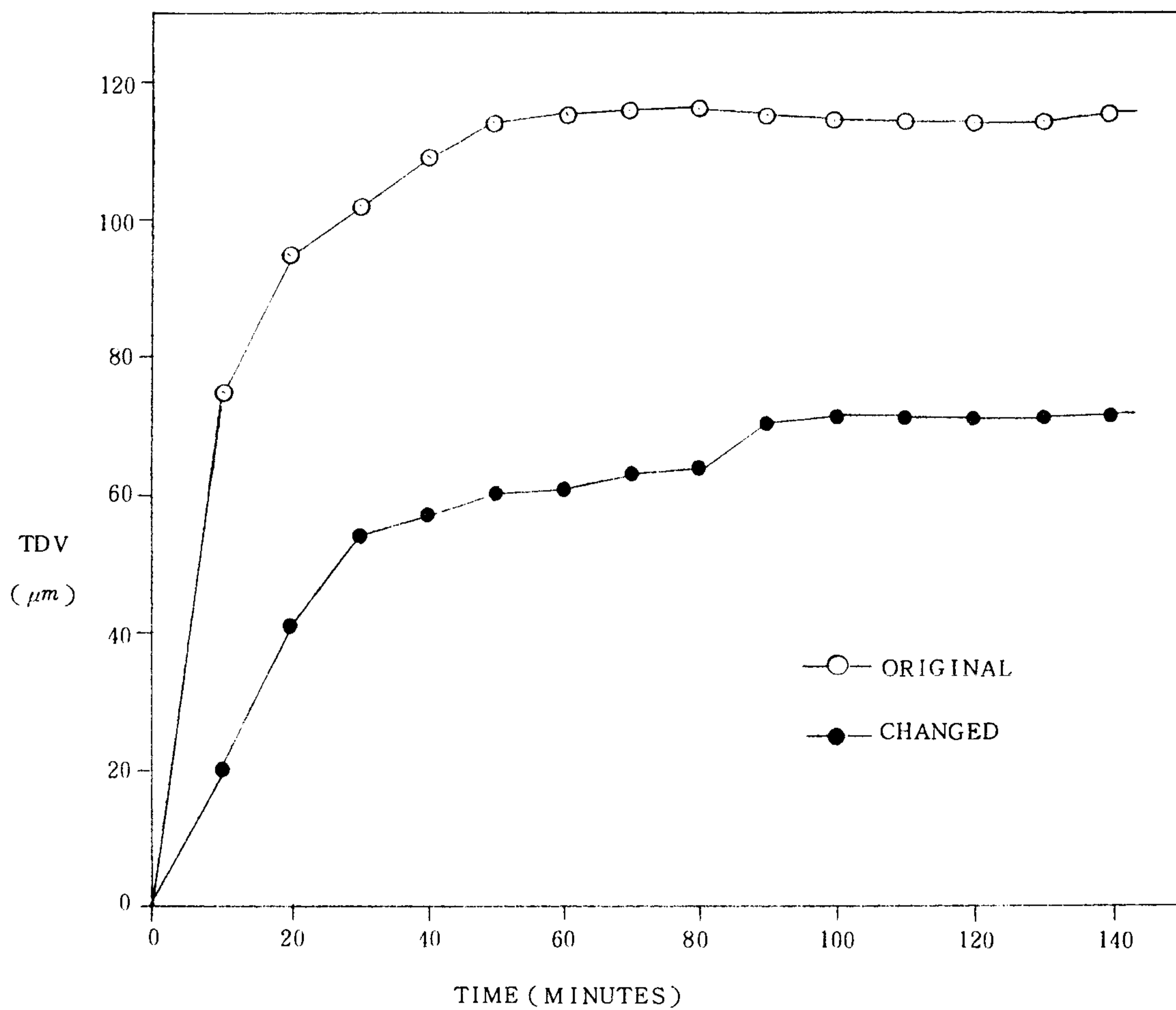


Fig. 4-19 Deformation of the Axial Direction of the Spindle

앞 그림들에서 알 수 있듯이, 베어링형식과 끼워맞춤을 바꾸어 시험한 결과, 主軸部베어링의 溫度上昇, 컬럼의 平均上昇溫度, 主軸先端과 테이블 上面과의 相對變位등이 상당히 改善된 것을 確認할 수 있었다. 그러나, 이 시험은 主軸 및 하우징의 진원도, 원통도, 동심도, 직각도, 윤활유의 種類, 潤滑方法, 베어링의 豫壓등을 고려하지 않은 狀態에서 수행한 것으로서, 이러한 것들을 고려하여 최적화한다면, 主軸部 베어링의 溫度上昇을 5℃以下로 억제할 수 있다고 생각된다.

한편, 研削機의 主軸部 베어링의 溫度上昇 억제 및 精度向上을 위하여서는 위에서 언급한 各種因子들에 關하여 좀더 구체적인 研究가 수행되어야 할 것이며, 여기에서는 各種資料에서 권장하고 있는 向上策을 例로 들고, 이러한 資料를 기초로 한 主軸과 하우징의 設計例를 부록으로 싣도록 한다.

研削機의 主軸部 베어링에 주는 豫壓은 輕豫壓이나 中豫壓을 주도록 하며, 豫壓을 주어 使用하는 高精度組合 앵글러 콘택트 보울 베어링의 끼워맞춤 目標値는 Table 4 - 7 과 같다.

Table 4 - 7 끼워맞춤의 目標値

베어링 내경 d (mm)	축과 내륜	베어링 외경 D (mm)	하우징과 외륜
	목표 틈새 (μm)		목표 틈새 (μm)
18 ~ 30	0 ~ 2.5	30 ~ 50	2 ~ 6
30 ~ 50	0 ~ 2.5	50 ~ 80	3 ~ 8

여기서, 하우징과 외륜의 끼워맞춤에 있어서 固定側베어링의 목표틈새는 下限値로 설정하고, 自由側베어링의 목표틈새는 上限値로 설정하는 것이 바람직하다.

또한, 軸과 하우징의 設計는 Table 4 - 8 을 기준으로 한다.

Table 4 - 8 主軸과 하우징의 設計基準

항 목	주 축	하 우 징
진 원 도	끼워맞춤부의 축경허용차의 1/2이하	끼워맞춤부의 하우징 내경 허용차의 1/2이하
원 통 도	베어링폭의 범위에서 축경허용차의 1/2이하	베어링폭의 범위에서 하우징 내경 허용차 의 1/2이하
턱 의 직 각 도	3 / 10,000	3 / 10,000
끼워 맞춤면의 표면거칠기	3.2 S	6.3 S

윤활方法에 있어서는 微小量의 윤활유를 使用하는 그리이스 윤활 또는 오일 미스트 윤활, 大量의 윤활유를 使用하는 강제 윤활法을 使用하도록 하며, 發熱防止에 효과가 큰 리튬 (Lithium) 계의 윤활유를 使用하고, 봉입량도 외·내륜간의 공간체적의 3/1 정도가 적당한 것으로 報告되고 있다.

#### 4 - 4 - 2 컬럼 前·後面의 溫度差 억제

계산 및 試驗結果에 의하면, 國産의 경우, 컬럼 前後面의 溫度差에 의하여 發生하는 컬럼의 굽힘이 主軸先端과 테이블 上面과의 相對變位에 미치는 영향은 약 20 %를 차지하고 있음을 알 수 있다.

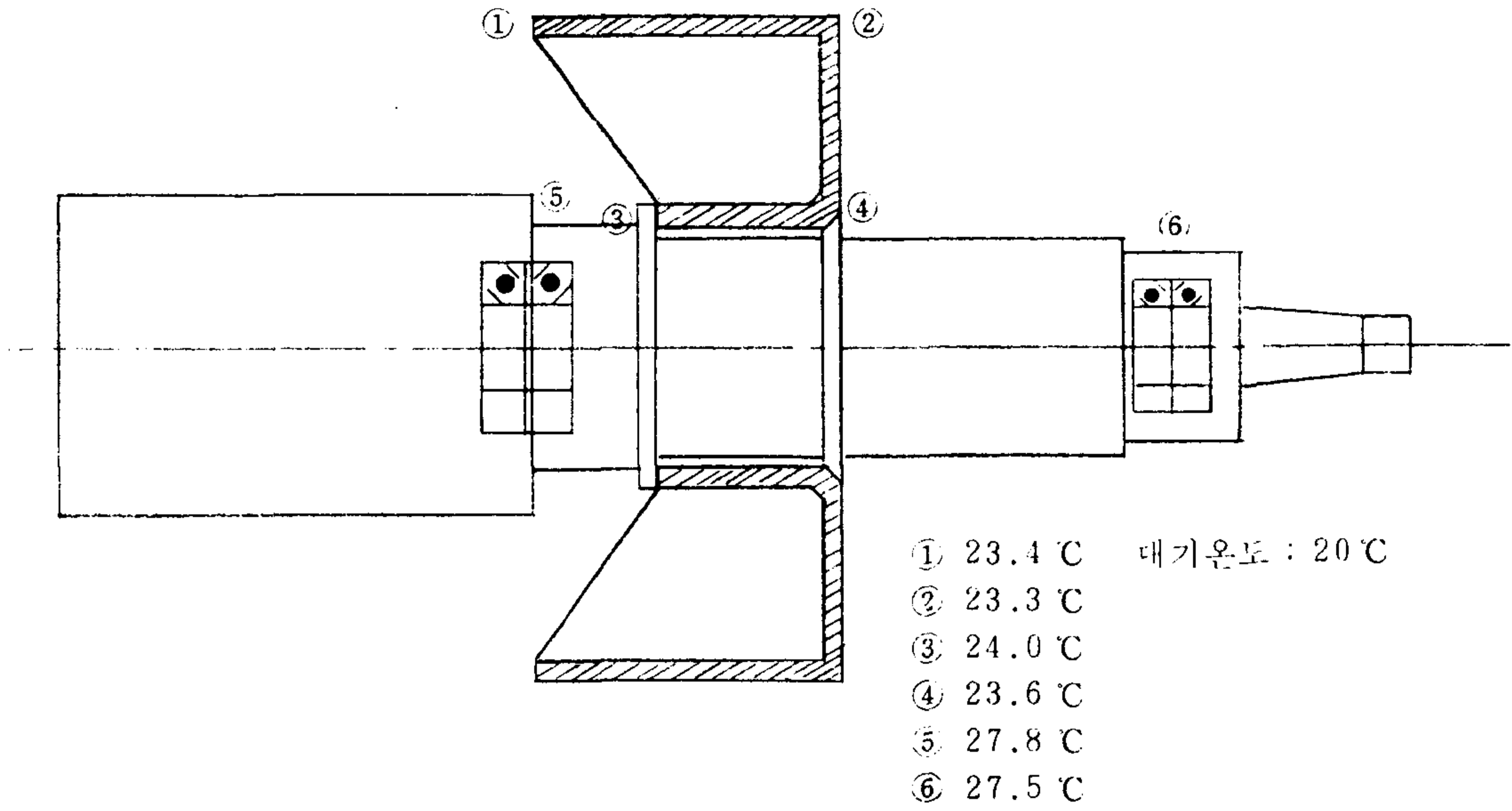
한편, 外産의 경우, 時間이 경과함에 따라 溫度差는 거의 상쇄되어 평



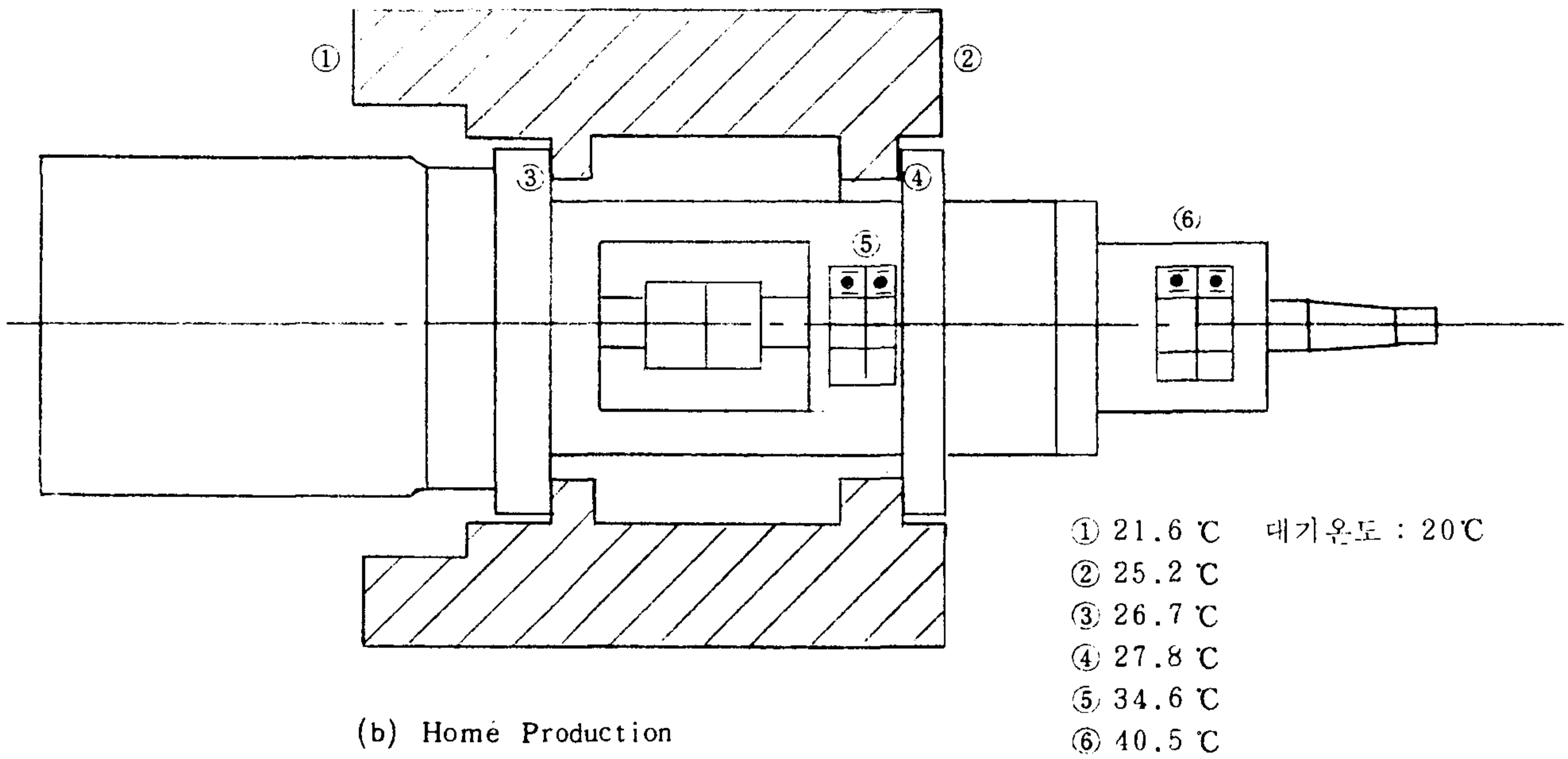
형 狀態가 되고 그 영향이 매우 적음을 알 수 있다.

Fig. 4 - 20 는 國產 研削機와 外產研削機의 主軸과 컬럼이 組合된 狀態를 스케치한 것이다. 그림에서 직감할 수 있듯이 國產의 경우 熱的 對稱性이 결여되어 있는 구조라는 것을 알 수 있다. 그림에 나타난 데이터는 무부하狀態에서 140 분간 운전한후 측정된 各部의 溫度 分布이다. 특히 國產의 경우, 상대적으로 低溫인 컬럼 뒷면은 구동용 전동기의 팬의 영향을 받아, 溫度差를 더욱 크게 하는 要因이 되고 있다.

결국, 國產研削機의 구조 設計時 主軸部前後베어링의 溫度上昇을 고려하며, 컬럼과 主軸의 조합이 熱的 對稱性을 갖도록 하여야 할 것이다



(a) Foreign Production



(b) Home Production

Fig. 4-20 Assembly of the Spindle and the Column

## A) 主軸의 溫度分布

熱的 對稱性을 갖도록 主軸과 컬럼이 組合되어야 한다는 것은 이미 언급한 바와 같다. 國產의 경우에는 이미 이것을 만족하지 못한다는 것을 파악한 바 있으므로, 外產의 경우에 한하여 主軸의 溫度分布를 추정하여 보았다. 좀더, 正確한 데이터를 얻기위하여서는 구성 재료의 물리적 특성을 실측한후 활용하면 되리라 생각한다. 단, 여기에서는 다음과 같은 가정하에서 유한요소법 프로그램을 활용하였다.

### 1) 재료의 특성

열전달율 :  $46 \text{ kcal} / \text{m}^2 \text{h}^0 \text{C}$

열전도율 :  $10 \text{ kcal} / \text{m}^2 \text{h}^0 \text{C}$

### 2) 유한요소 모델

유한요소 : 3 각형 요소 (축대칭)

절점수 : ① 40 ② 29

요소수 : ① 48 ② 34

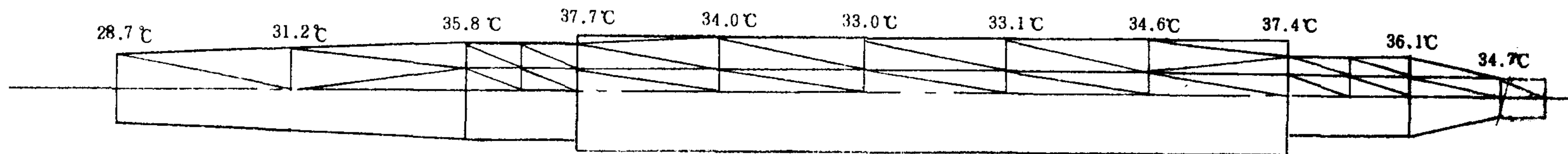
경계값 : 전부베어링부 溫度 :  $37.5 \text{ } ^\circ \text{C}$

후부베어링부 溫度 :  $37.8 \text{ } ^\circ \text{C}$

Fig 4 - 21 는 外產研削機의 主軸有限要素모델을 나타내며 데이터는 해석결과 절점溫度이다. 단 (b)는 베어링을 中心으로 양쪽은 절연된 것으로 가정하여 해석한 것이다.

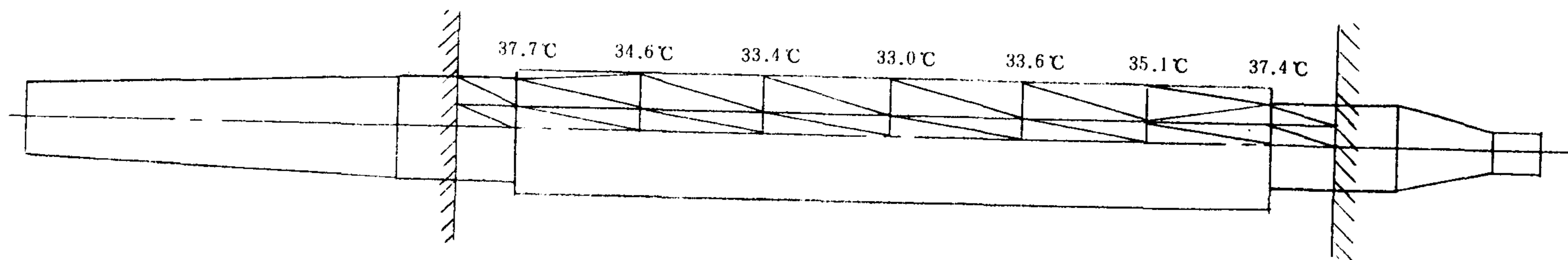
X방향  $220 \text{ mm}$  지점에서  $355 \text{ mm}$  지점까지 사이에 溫度分布가 대체로 일정하다는 것을 알 수 있다. 따라서, 이 부분과 컬럼이 조립되도록 하면 컬럼前後面の 溫度差를 極小化시킬 수 있을 것이다.

한편, Fig 4 - 22 는 外產시료의 主軸과 컬럼의 조합된 狀態를 나타내고 있다. 이는 유한요소법에 溫度分布를 구하여 위치를 고려한 것과 잘 일치하고 있다. 따라서, 구성재료의 각종 열적특성을 正確히 産



(a) Finite Element Model (1)

-82-



(b) Finite Element Model (2)

Fig. 4-21 Finite Element Model

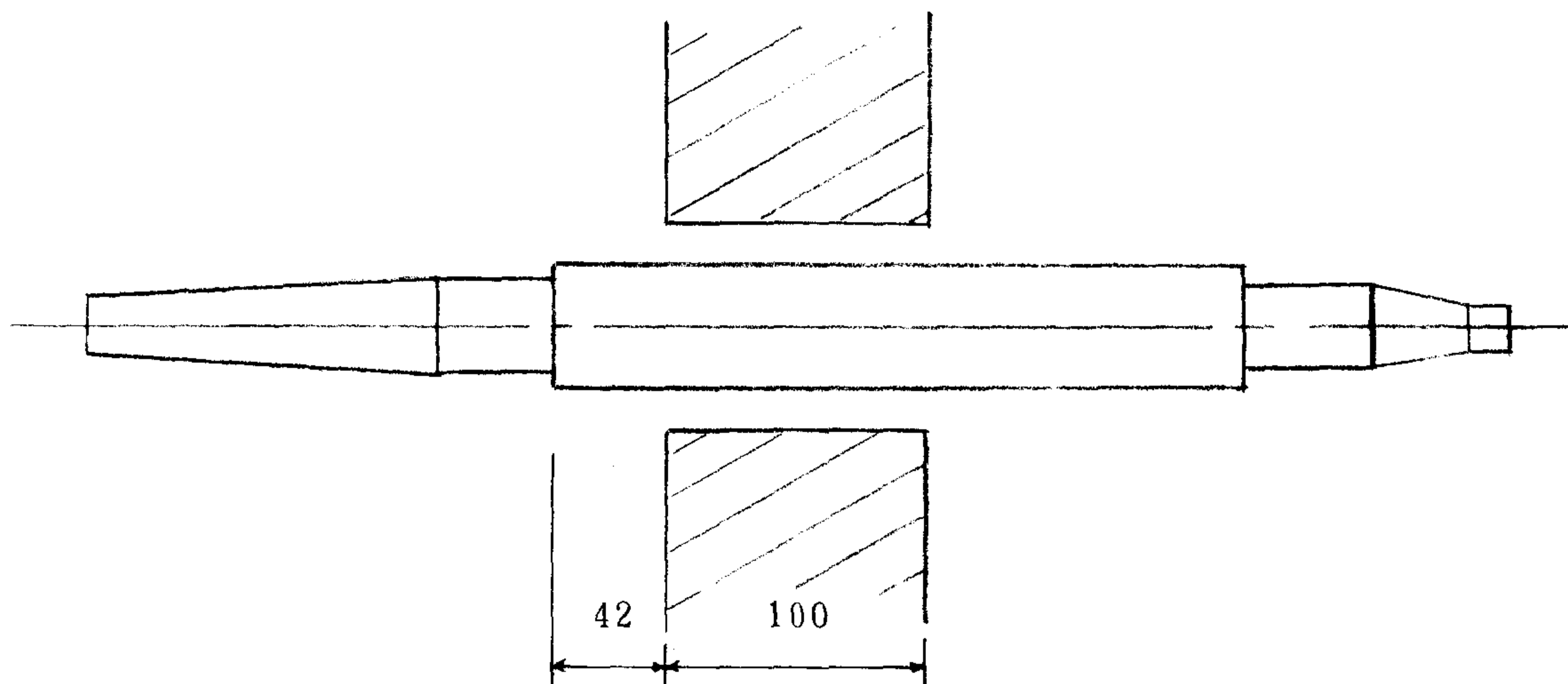


Fig.4 - 22 Relative Position of the Spindle and the Column

出하여, 열원의 위치와 熱量, 혹은 溫度를 境界값으로 하여 유한요소법을 活用하여 主軸과 컬럼의 상대위치를 설정할 수 있을 것이다.

결국, 國産研削機의 경우 熱的對稱性を 고려하여, 컬럼과 主軸을 設計하므로 해서 컬럼의 굽힘량을 極小化할 수 있을 것이다.

## 5. 主軸의 回轉精度

### 5-1. 序 論

工作機械의 加工精度를 지배하는 要因으로서 앞에서 言及했던 主軸의 靜剛性, 動剛性 및 熱剛性 外에 主軸의 回轉精度를 들 수 있다. 主軸의 回轉中の 振動은 加工物과 工具 사이에 相對的 變位를 일으켜 加工物 表面에 不均一한 形狀오차가 發生되며 이러한 오차중에서도 眞圓度, 圓筒度 및 平面度 등은 回轉精度와 密接한 關係가 있다.

최근, 이러한 回轉精度의 測定, 評價方法, 加工精度와의 關係, 回轉오차를 發生시키는 工作機械의 構造的 要因 및 動的特性에 對한 研究가 활발히 이루어지고 있다. 그러나, 現在까지는 回轉精度에 관한 定義도 明確하지 않으며 그 測定方法과 評價方法도 測定對象 工作機械에 따라서 各各 다른 方法이 사용되고 있다.

지금까지의 研究對象은 주로 旋盤이나 boring machine 이었으며 그 결과 主軸의 回轉精度와 加工오차가 어느 정도 잘 對應하고 있다는 것이 밝혀졌다. (18)~(23) 그러나, 研削機의 경우는 그 對應이 극히 어려우므로 이에 대한 研究는 거의 없는 실정이다. 지금까지 알려진 바로는, 研削機의 主軸베어링을 구름베어링 (rolling bearing)을 사용할 경우 回轉精度는 2~5  $\mu m$  정도이며 精密加工用的 경우는 미끄럼베어링 (sliding bearing)을 사용하여 0.1  $\mu m$  정도로 하고 있다.

本 研究에서는 主軸과 모우터가 커플링 (coupling)으로 연결된 國產 成形研削機와 主軸과 모우터가 一體形인 外產成形研削機를 對象으로 研削機의 運轉시간에 對應하여 回轉精度를 測定하고 그 結果에 대한 原因分析을 통해 研削機의 回轉精度 向上을 유도하고자 하였다

回轉精度 測定方法은, 研削機가 工具回轉型 工作機械이나 實際 工作物과 研削숫돌 (grinding wheel)의 相對運動을 고려하면 主 Sensitive 方向이 工作物 回轉形과 같으므로 工作物 回轉型 測定法을 利用하였다.

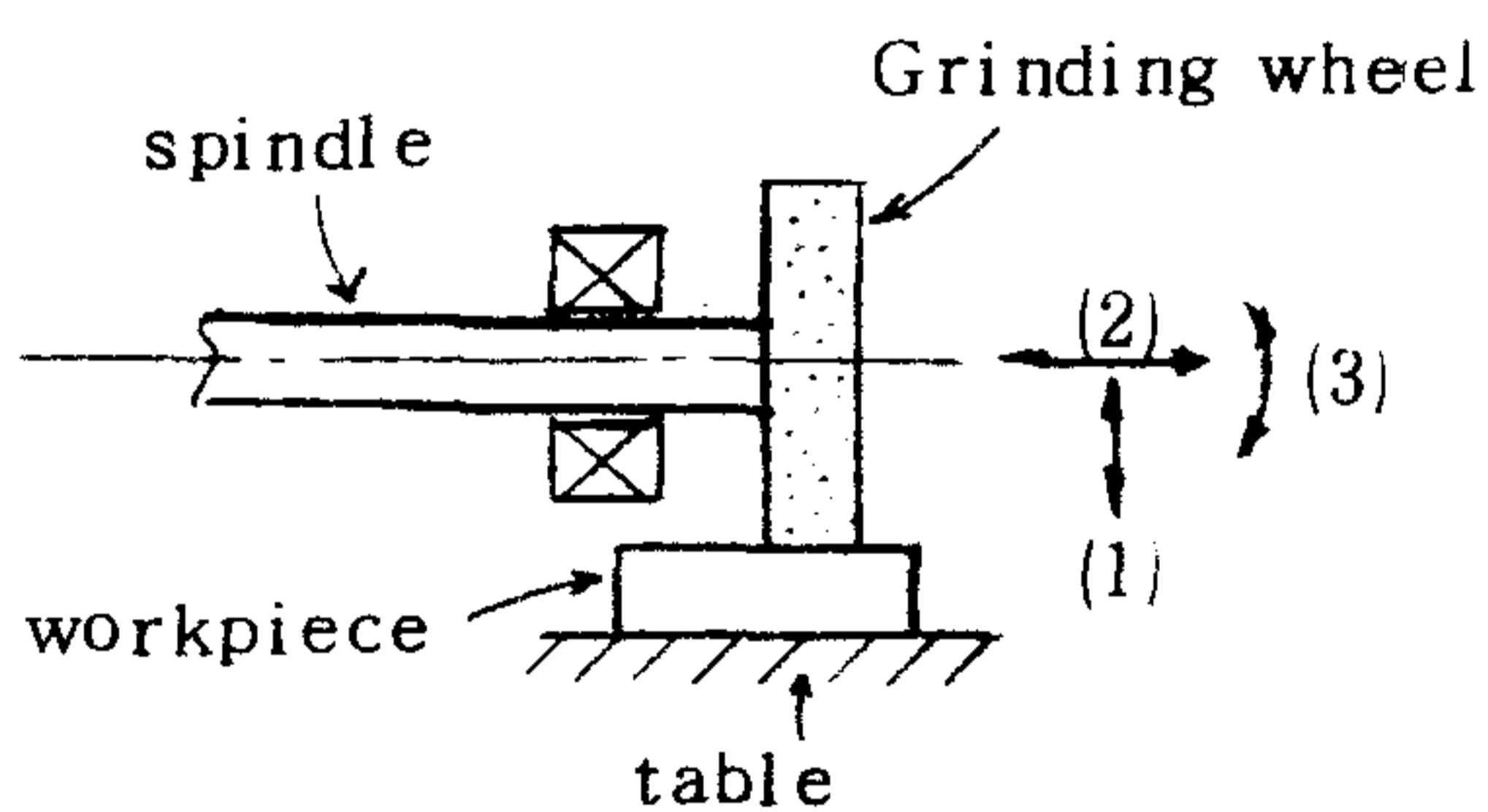
## 5-2. 研削機 主軸의 回轉精度

### 5-2-1 回轉精度的 定義

主軸의 回轉精度는 軸心の 움직임 程度로 定義하는 方法과 加工物의 形狀오차와 直接的 關係를 갖는 理想的 加工面에 대하여 垂直인 方向 즉, 主 sensitive 方向에 대한 工具의 움직임 程度로 定義하는 두가지 方法으로 크게 나눌 수 있다. 從來에는 測定方法이 간편한 前者가 많이 사용되어 왔으나 加工오차와 直接 對應시키기가 어려우므로 後者에 따른 方法이 開發되었다.

成形 研削機의 경우 工具 즉 研削 숫돌의 回轉오차 (error motion)는

Fig. 5-1 과 같이



1) 半徑方向오차 (radial motion)

2) 軸方向오차 (axial motion)

3) 軸의 中心線에 대한 角度오차

(angular motion)로 나누어진다.

이들이 形狀오차 發生의 原因이 되며 이 回轉오차를 回轉精度로 定義한다.

Fig. 5-1 Error motion of spindle

한편, 主 sensitive 方向은 boring 加工일 경우 工具가 回轉하면서 그 方向도 항상 變하게 되며(工具回轉型), 旋削의 경우는 工具가 固定되어 있으므로 일정하게 된다(工作物 回轉型). 研削機의 경우는 工具는 回轉하고 있으나 加工過程을 보면 主 sensitive 方向이 固定되어 있으므로 工作物 回轉型으로 볼 수 있다. 一般的으로 形狀오차에 가장 큰 影響을 미치는 것은 主 sensitive 方向의 運動으로 研削加工의 경우 平面加工에서는 半徑方向 運動이며 斷面加工일 경우는 軸方向運動이 된다.

#### 5-2-2 回轉精度 測定法

回轉精度를 測定하는 方法은 여러가지가 있으나 基本的으로 는 모두 非接觸變位計 (noncontact displacement transducer)와 精密度가 아주 높은 球 (master ball)를 使用한다. 한쪽은 主軸에, 다른 한쪽은 工具臺나 테이블 (table)에 固定시켜 主軸回轉時의 變位計와 球간의 간극변동을 電氣的信號로 검출하고 이것을 增幅시켜 基礎圓 發生回路를 통하여 오실로스코프 (oscilloscope)에 極座標로 표시한다. 여기서 사용되는 球는 眞球度가 좋을 수록 誤差가 줄어들기 때문에 좋으나 일반적으로  $0.1\mu m$  보다 작은 것을 권하고 있다. 또한, 變位計는 capacitive type 或은 eddy current type 의 것을 사용하며 이의 出力增幅을 위해 증폭기 (preamplifier)를 使用한다.

이 때, 半徑方向 및 軸方向 回轉誤差는 變位計와 球와의 간극변동을, 角度誤差는 2곳의 半徑方向 變動을 검출하여 그 差를 두 變位計 설치거리로 나누면 된다.

한편, 基礎圓을 發生시키는 方法으로는 (1) 偏心球와 서로 直角方向으로 설치한 2개의 變位計를 이용하는 機械的 方法과 (2) syncrore-



solver 나 rotary encoder 에 의하여 電氣的 sine 波를 發生시키는 方法이 있으며 後者의 方法이 基礎圓의 精度가 좋다고 알려져 있다.

### 5-2-3 回轉精度 評價法

主軸의 回轉誤差는 極座標로 나타내는데, 이는 回轉速度와 同期시켜 나타낼 경우 軸中心의 回轉誤差와 加工物의 眞圓度 등의 形狀誤差와 직접 對應시킬 수 있기 때문이다. 또한, 直角座標로 나타난 波形속에는 순수한 回轉誤差外에, 球를 軸에 設置할 때에 發生하는 球中心과 軸中心과의 偏心に 의한 測定誤差가 包含되는데 極座標로 나타내면 이를 순수한 回轉誤差와 분리시킬 수 있는 잇점이 있다. 예를들면, Fig. 5-2는 回

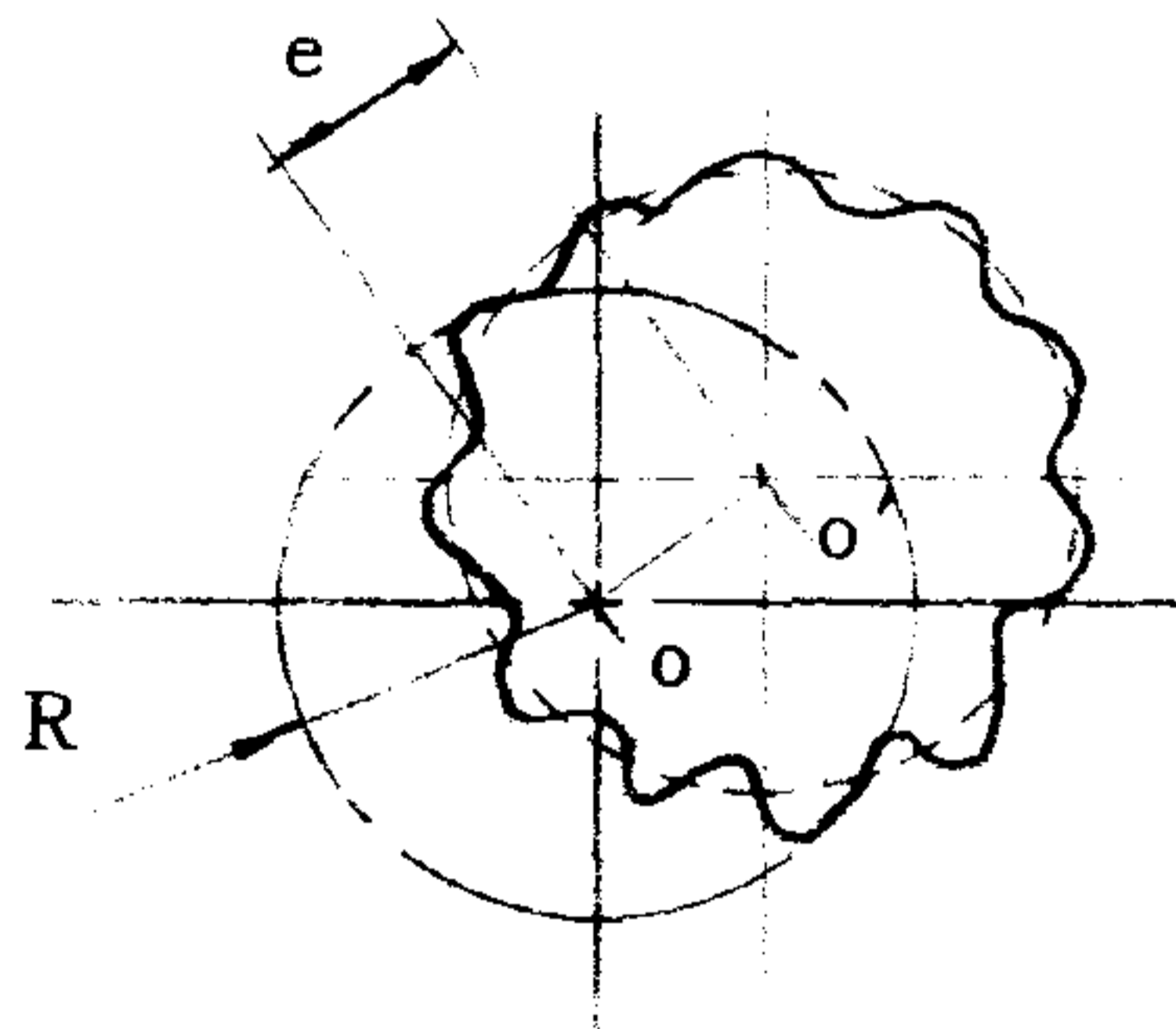


Fig. 5-2 Basic circle and eccentricity

轉分을 極座標로 나타낸 것이며 만약 偏心이 없다면 回轉精度는 점 O를 中心으로 하는 반지름 R의 基礎圓 위에 실리게 된다. 그러나, 偏心 e가 存在한다면 반지름 R은 그대로 유지되면서 中心 O만 e만큼 이동하여 O'가 된다. 따라서, O'를 구하기만 하면 偏心誤差와 순수회전 오차를 분리시킬 수 있다. 이때, 순수 半徑方向 및 角度方向 回轉精度

는 最小 영역半徑圓差 (MZCRW) 즉, O' (M.Z.C : minimum zone center)를 中心으로 枱형의 最大 및 最小半徑의 差로 定義된다. 이때 그래프상의 MZC를 구하는 것이 문제가 되는데 이는 template

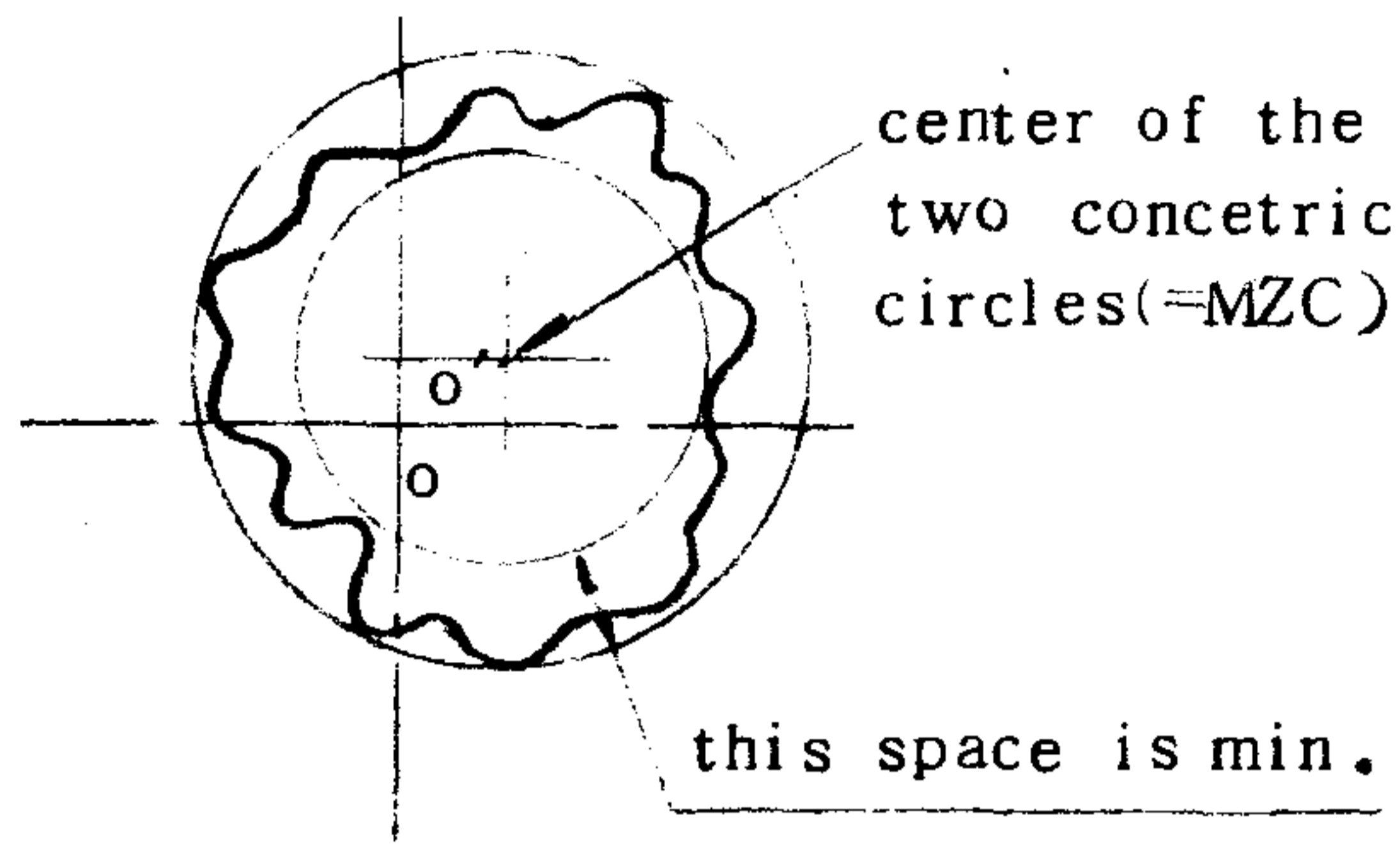


Fig. 5-3 Derivation of the MZC

이러한 主軸의 回轉誤差는, 특히 主軸 베어링이 구름베어링 (rolling bearing) 일 경우 再現性이 거의 없으므로 몇 回轉分을 나타내어 그것의 最大 및 最小值를 가지고 判斷하는 것이 바람직하다.

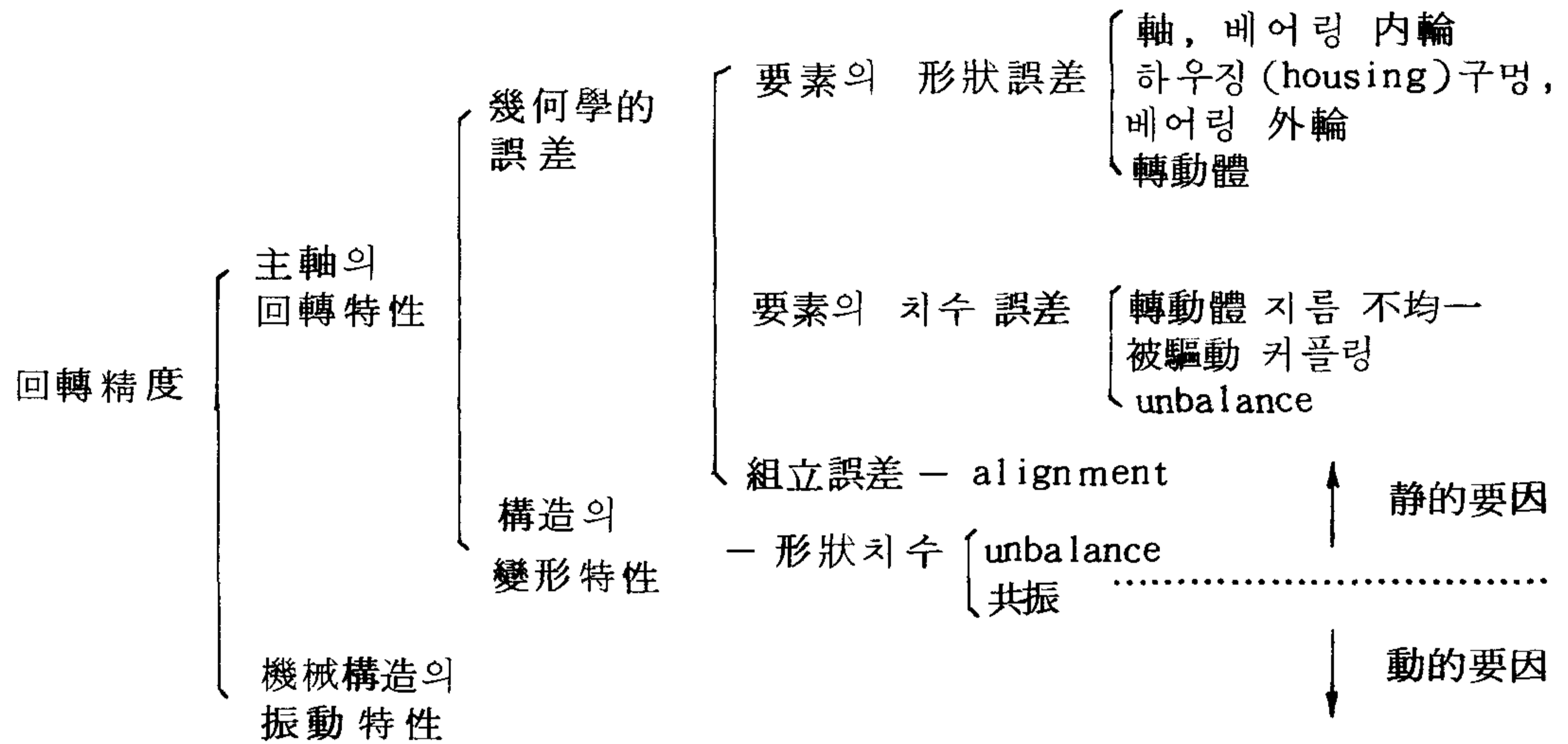
### 5 - 3. 主軸의 回轉誤差 發生要因

지금까지 主軸베어링 自體에 대해서는 그의 回轉特性과 回轉誤差 發生原因에 관한 研究가 있었으나 實際 工作機械에 組立된 狀態에서 主軸系의 回轉誤差 진단법에 대하여 研究된 것은 거의 없다. 지금까지 알려진 回轉誤差 發生原因은 크게 靜的原因과 動的要因으로 나눌 수 있다. 靜的原因은 主軸의 回轉速度가 아무리 낮아도 回轉特性에 影響을 미치는 要素로, 주로 主軸部에 存在하는 각 要素의 形狀誤差, 치수 誤差 및 組立誤差 등의 기하학적 誤差와 驅動, 被驅動 齒車 或은 커플링 등의 balancing, alignment 의 부정확에 기인한다. 動的原因은 主軸系의 構造에 따라 결정되는 振動特性 즉, 主軸의 動剛性에 의해

등을 사용하여 Fig. 5-3 과 같이 파형이 두 원에 完全히 감싸지도록 하면서 그 두원의 半径差가 最小가 될 때까지 trial and error 를 반복하여 구한다.

한편, 軸方向 回轉精度는 偏心量 e 와는 관계가 없으므로 點 O 를 中心으로 한 파형의 最大 및 最小 半径의 差 즉, 極座標 中心圓

결정되는 것이다. 主軸 베어링이 구름베어링 (rolling bearing)일 경우 이를 정리하면 다음과 같다.



또한, 主軸부의 主要素인 主軸베어링, 主軸驅動부 및 主軸에 存在하는 靜的要素를 세분하면 다음과 같다.

1) 구름베어링 (rolling bearing) 에 의한 靜的원인

- 半徑方向 誤差원인 및 角度誤差
  - 轉動體 상호간의 지름차
  - 轉動體 軌道面の 形狀誤差
  - 內外輪 軌道面の 形狀誤差
  - 內外輪 軌道面の 異常
- 軸方向 誤差원인
  - 轉動體의 形狀誤差
  - 內外輪 軌道面の 異常
  - 內外輪 軌道面の 形狀誤差
  - 軌道面과 主軸中心의 直角度 誤差

2) 主軸驅動부에 存在하는 原因

- 커플링의 상대적 不均一
- 커플링의 組立偏心

3) 主軸에 存在하는 原因

- 主軸의 unbalance

## 5 - 4. 實驗裝置 및 測定回路

### 5 - 4 - 1 實驗裝置

本 研究에서 回轉精度 測定은 工作物 回轉型 測定法을 應用하였으며 이의 概要를 Fig. 5-4에 나타내었다.

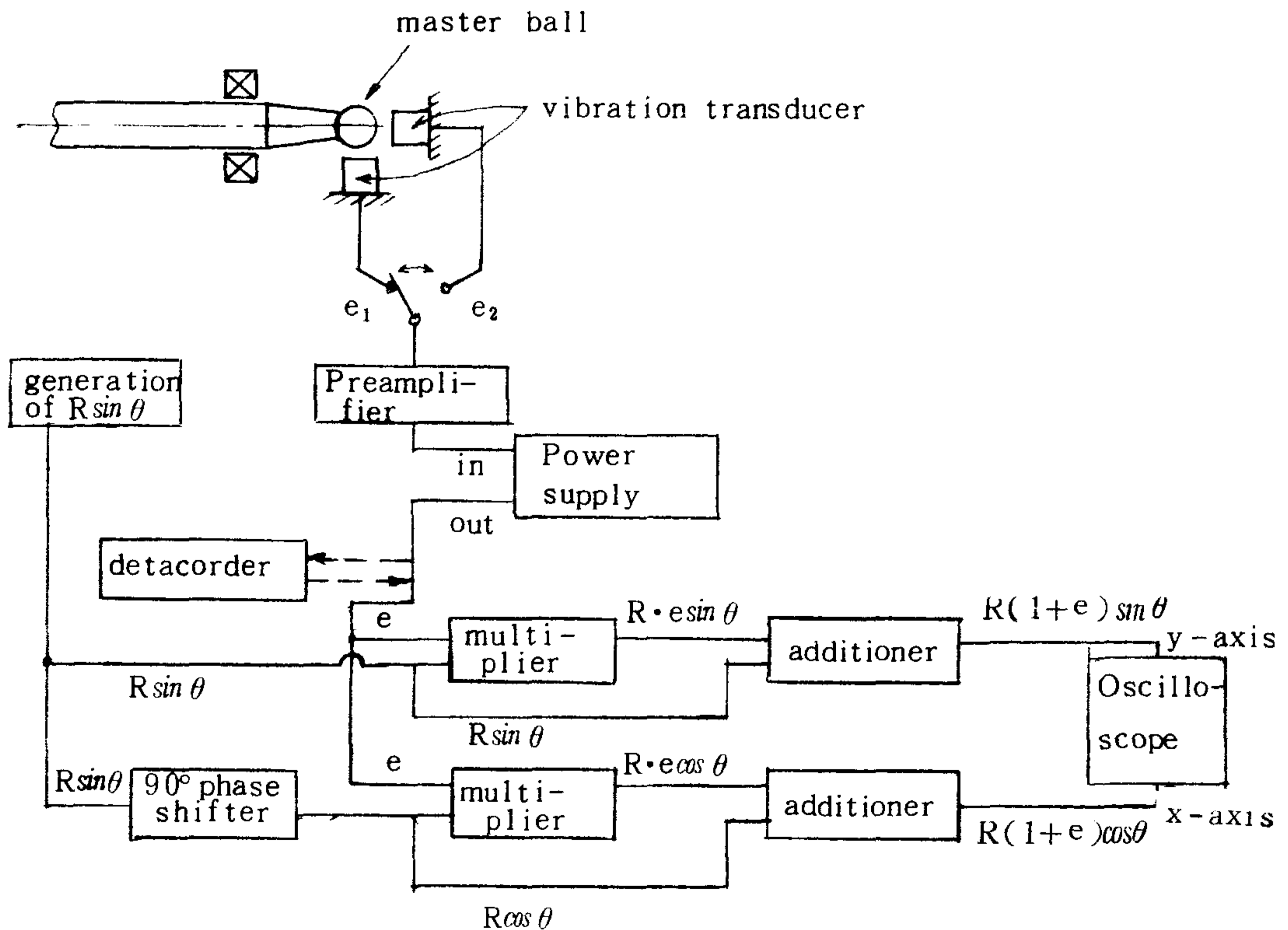


Fig. 5-4 Schematic diagram of error motion measurement

Fig. 5-4 에서 主軸先端에 고정한 球는 지름  $13.5\text{ mm}$ , 眞球度  $0.2\ \mu\text{m}$ 의 것을 사용했으며 主軸에 고정시킬 때의 偏心量은  $5\ \mu\text{m}$  이내로 하였다. 非接觸變位計는 Capacitive vibration transducer (MM 0004)를 사용했으며 이의 電氣的 信號를 Microphone Preamplifier (2619)를 이용하여 증폭시켰다. 또한, 이때의 電源은 Microphone Power Supply (2804)를 통해 供給된다.

Fig. 5-5 에 測定모습을 나타내었다.

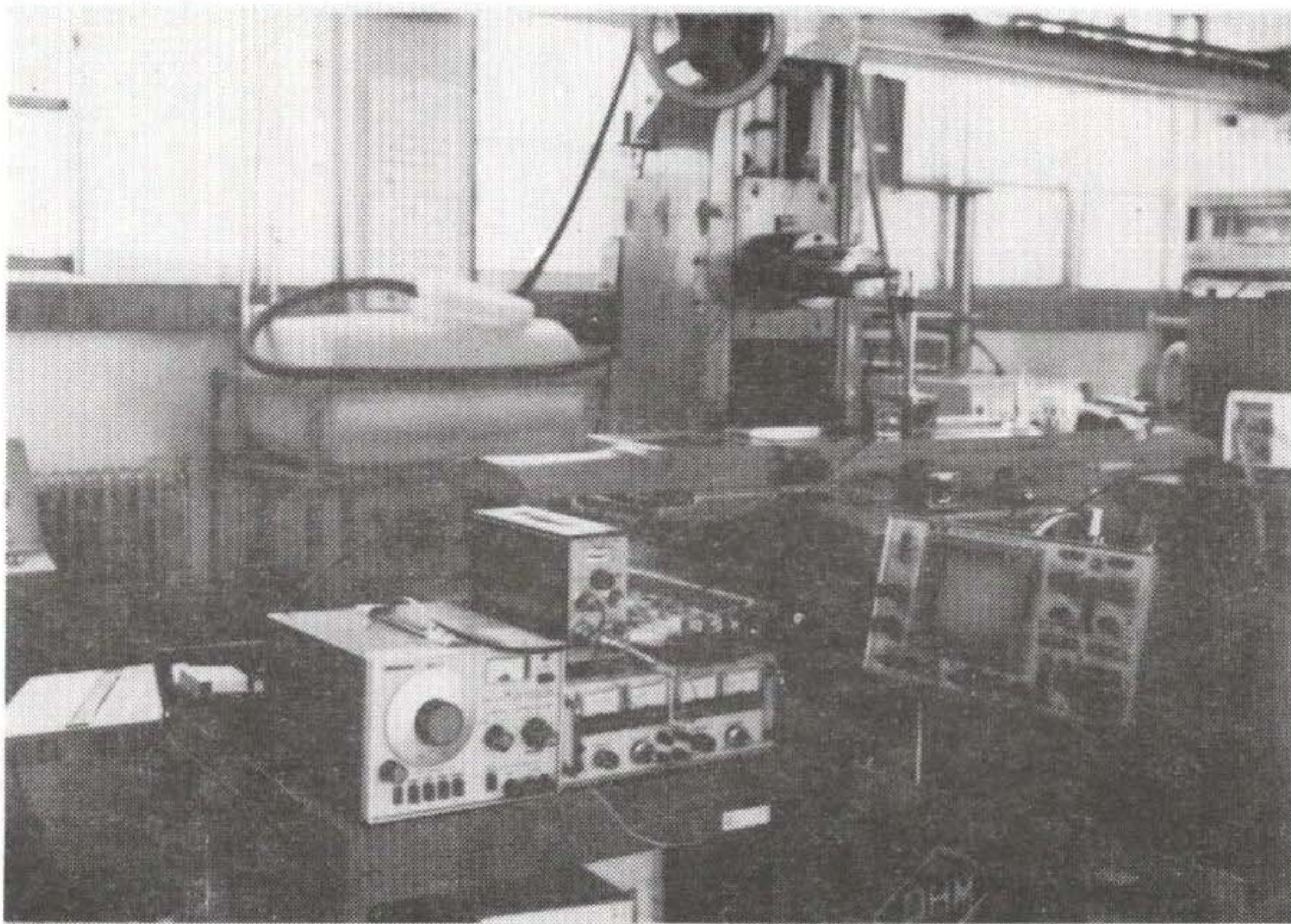


Fig. 5 - 5 Feature of error motion measurement

한편, 球의 振動에 따른 變位計의 出力電壓 교정은 加振機와 加速度計를 사용하였다. 먼저 加速度計를 加振機에 設置한 후 振動測定機로 振幅을 결정한 뒤 加速度計를 除去하고 球를 設置하여, 같은 振幅下에서 變位計의 出力電壓을 오실로 스크프상에서 測定하였다.

#### 5-4-2 測定回路

主軸이 回轉할 때 1회전당의 球와 變位計와의 간극변화를 검출하고 이를 基礎圓 상에 합성시키기 위하여 Fig. 5-6의 回路를 구성했다. 이 때 오실로스코프의  $x$ 軸 및  $y$ 軸 入力은 다음과 같은 원리로 계산된다.

어떤 순간의 出力電壓을  $e$ 라 할 때

$$E_x = R \sin \theta + R e \cos \theta$$

$$= R(1+e) \sin \theta$$

$$E_y = R \sin \theta + R e \sin \theta$$

$$= R(1+e) \sin \theta$$

이 두 入力에 의해 리셔쥬 상을 만들면

$$E = \sqrt{E_x^2 + E_y^2} = \sqrt{\{R(1+e)\cos \theta\}^2 + \{R(1+e)\sin \theta\}^2}$$

$$= R(1+e)$$

로 되어 기초원 반지름위에 간극변화가 실리게 된다.

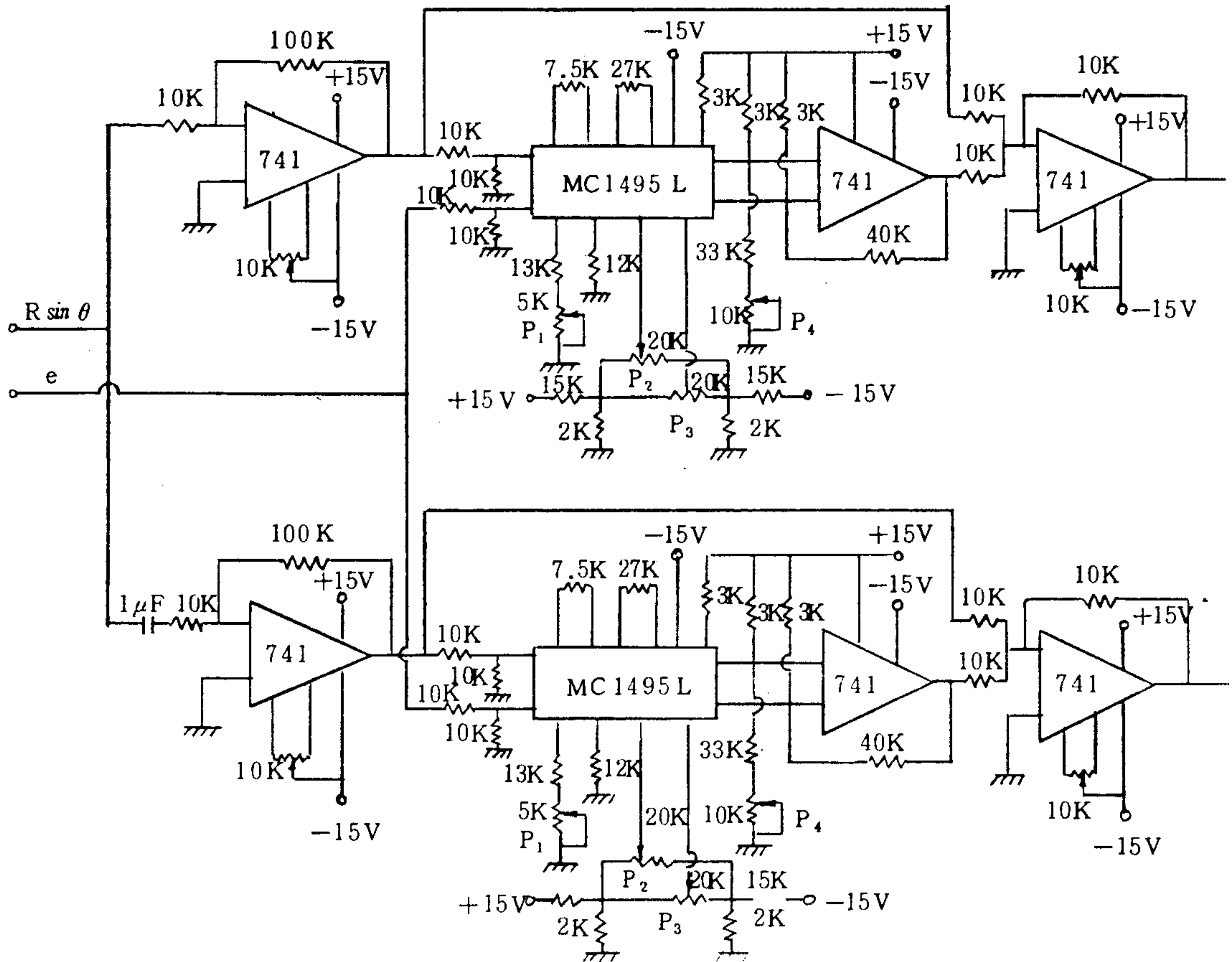


Fig. 5-6 Circuit of error motion measurement

## 5-5. 結果 및 分析

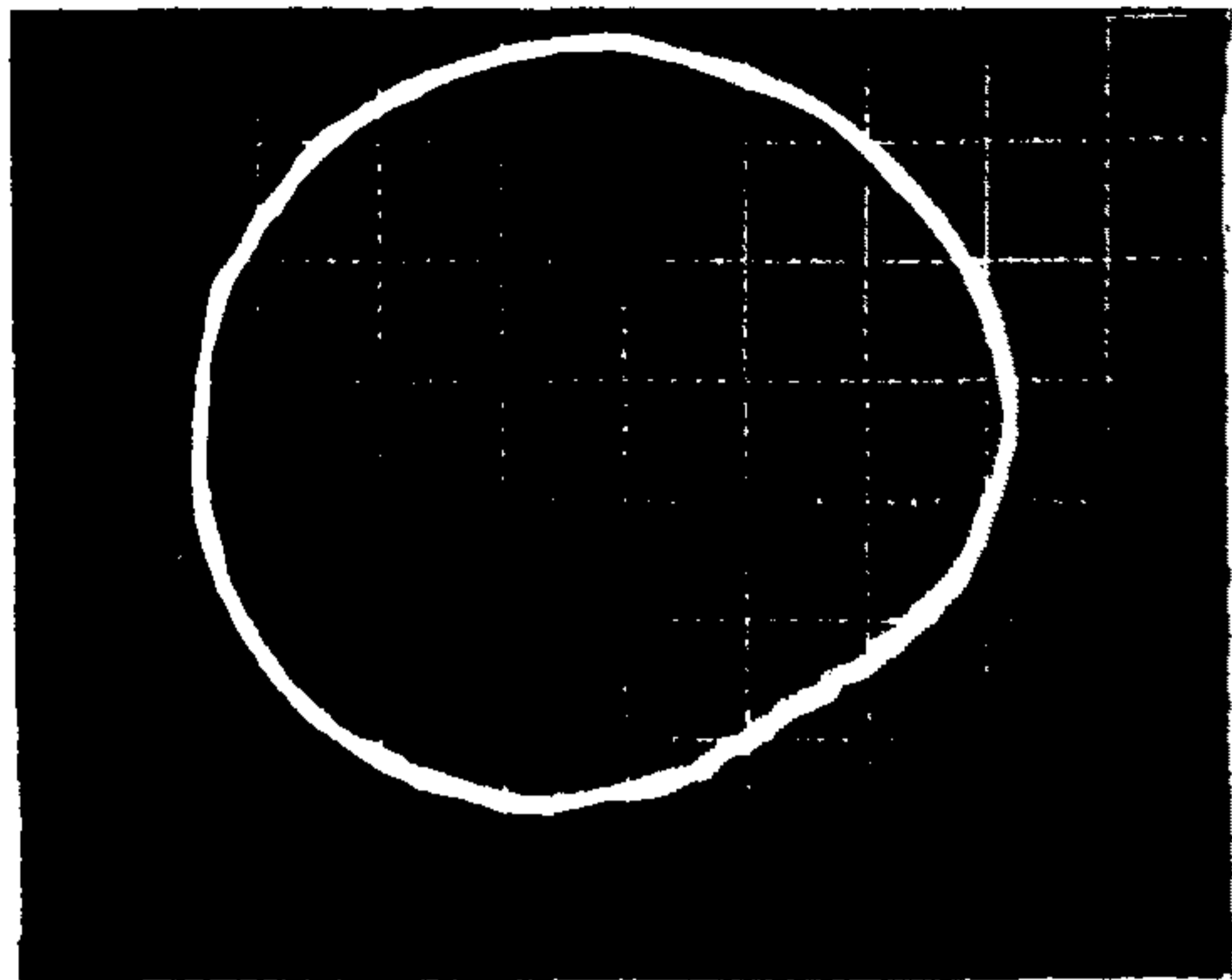
國產 및 外產 成形 研削機에 있어서 약 8회轉分の 半徑方向 回轉精度를 運轉時間에 따라 Fig. 5-7에 나타내었으며 이의 1회轉分을 Fig. 5-8에 나타내었다. 國產을 보면 半徑方向의 回轉誤差는 再現性이 어느 정도 양호하다는 것을 알 수 있으며 外產의 경우는 아주 양호하다.

Fig. 5-9에는 軸方向의 8회轉分の 回轉精度를, Fig. 5-10에는 1회轉分을 나타내었다. 軸方向의 回轉精度는 再現性이 半徑方向보다 훨씬 나쁘게 나타나고 있다. Fig. 5-8와 Fig. 5-9의 1회轉分을 살펴보면 半徑方向의 回轉誤差 즉 振動은 軸方向에 비해 振幅은 낮으나 그 빈도(cycle)는 아주 높다. 特히, 外產의 경우 軸方向의 振動은 아주 일정한 형태를 보이고 있으며 그 빈도도 1회轉 당 6회로 나타나고 있다. 반면에 國產은 아주 불규칙하게 나타나고 있다.

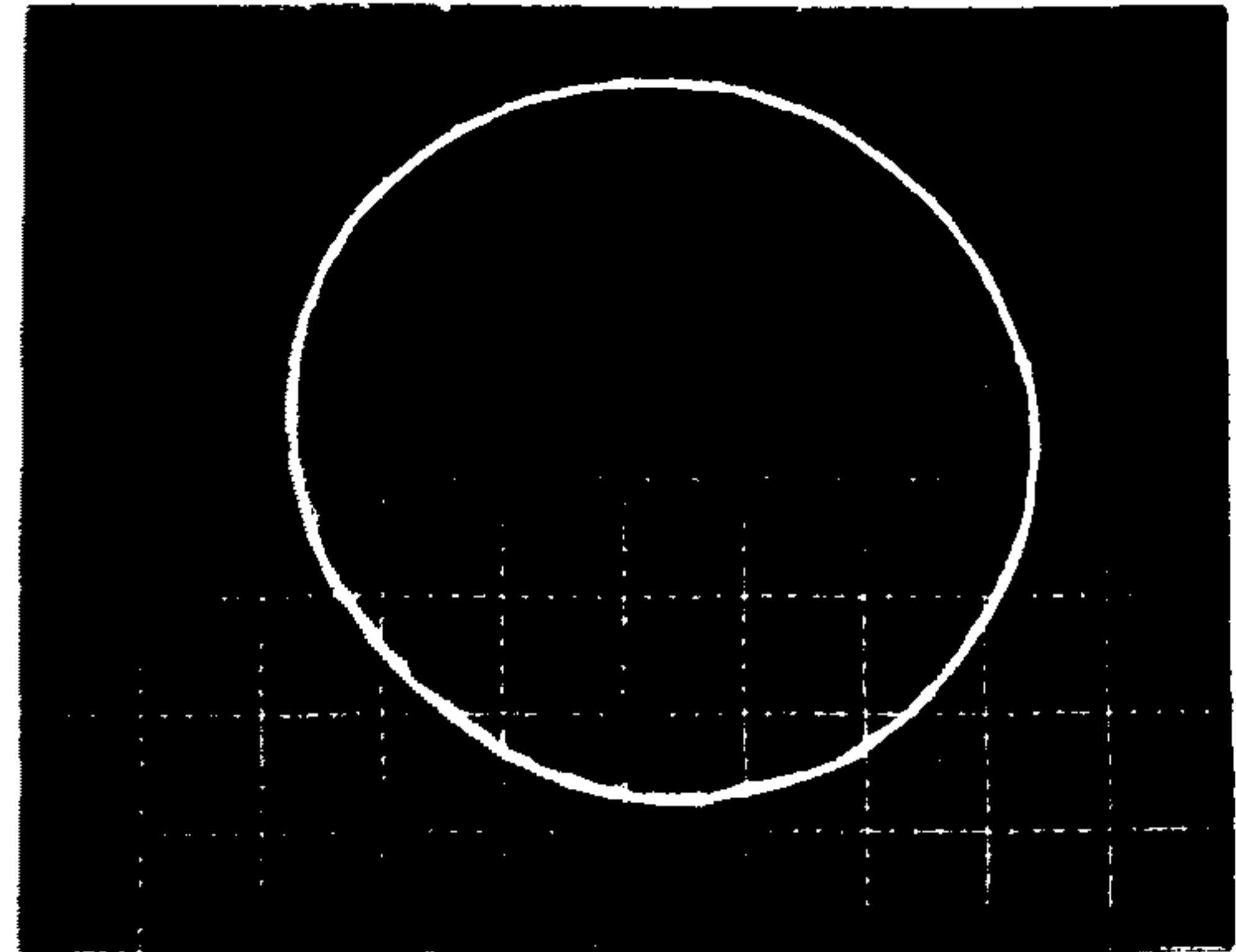
半徑方向 回轉精度와 運轉時間과의 관계를 Fig. 5-11에, 軸方向에 대해서는 Fig. 5-12에 나타내었다. 外產의 경우 半徑方向 回轉精度는  $1.20 \sim 1.45 \mu m$ 로 거의 일정하며 國產은  $2.35 \sim 3.10 \mu m$ 로 運轉時間이 경과함에 따라 점차 증가하는 경향을 보이고 있다. 軸方向을 보면 外產은  $2.35 \sim 3.10 \mu m$ 로 거의 일정한 경향을 보이고 있으나 그 절대치는 半徑方向에 비하여 2배정도로 높다. 한편, 國產은 時間의 경과에 따라 크게 나빠지고 있으며  $4.30 \sim 12.6 \mu m$ 에 이르고 있다.

이상의 결과를 살펴보면 國產의 回轉精度는 外產에 비하여 약 2배이상 나쁘게 나타나고 있다. 一般的으로 구름베어링(rolling bearing)을 사용한 研削機의 回轉精度가  $2 \sim 5 \mu m$ 임을 고려할 때 國產은 개



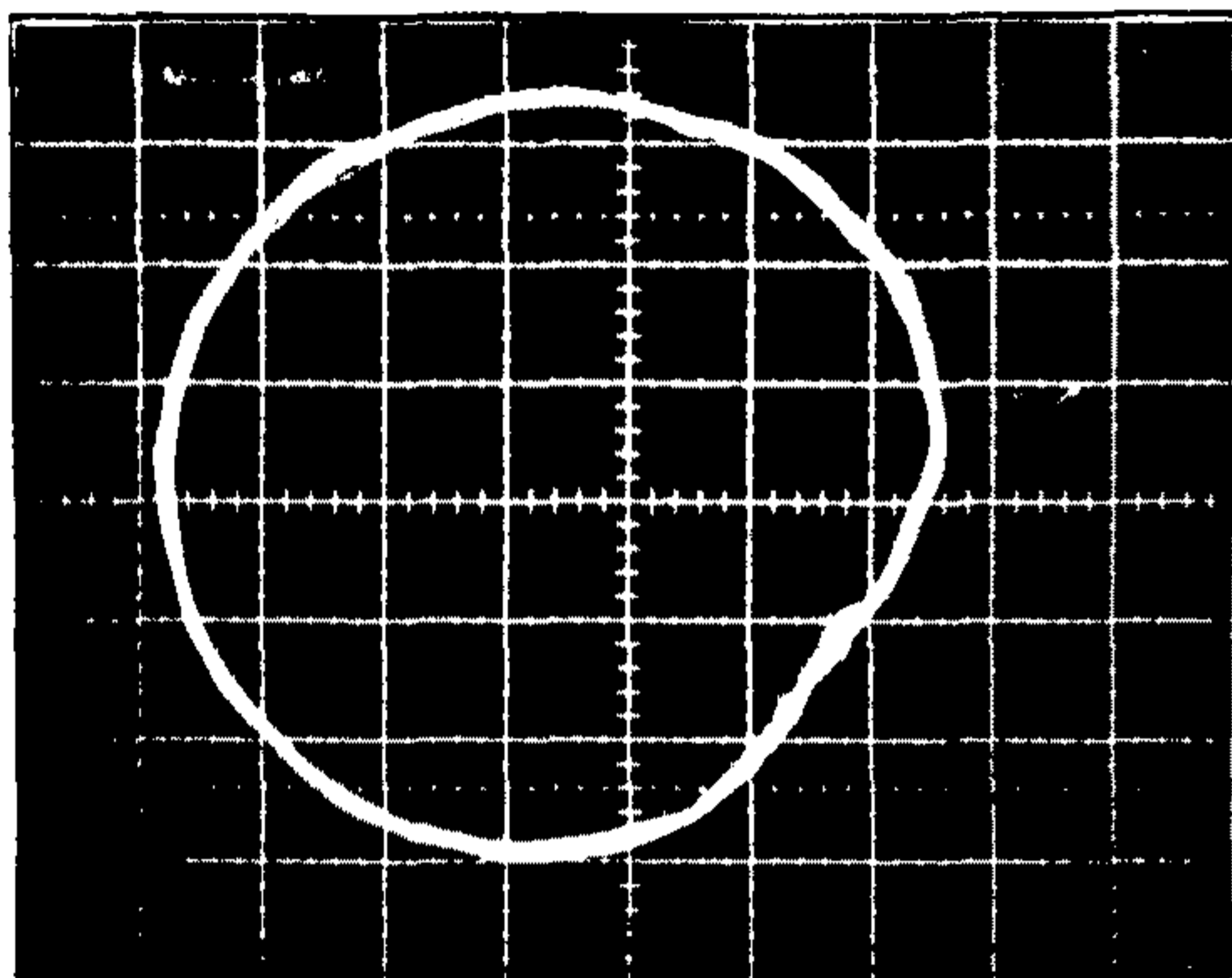


國產 (MZCRW :  $2.35 \mu m$ )

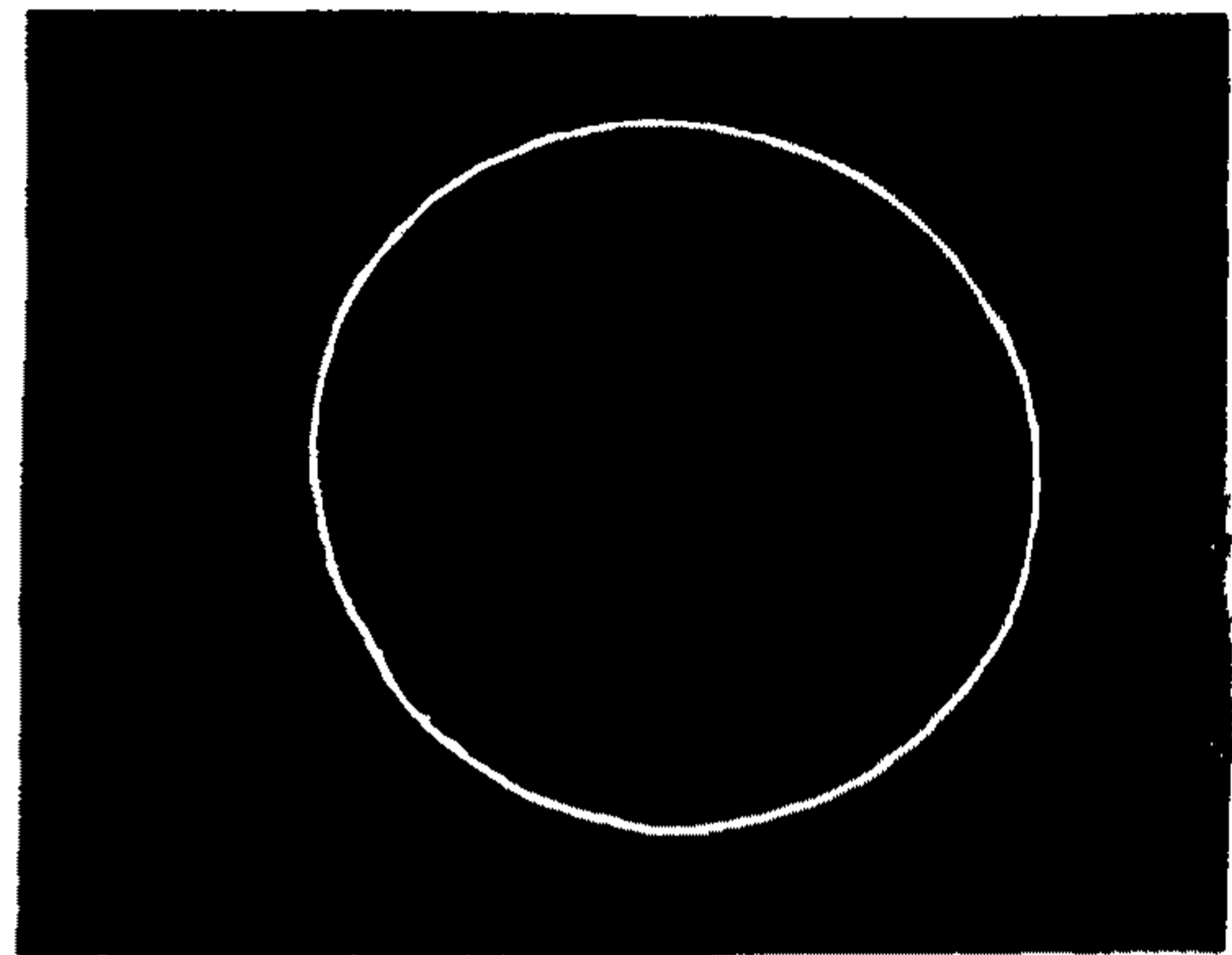


外產 (MZCRW :  $1.20 \mu m$ )

(a) after 10 minutes

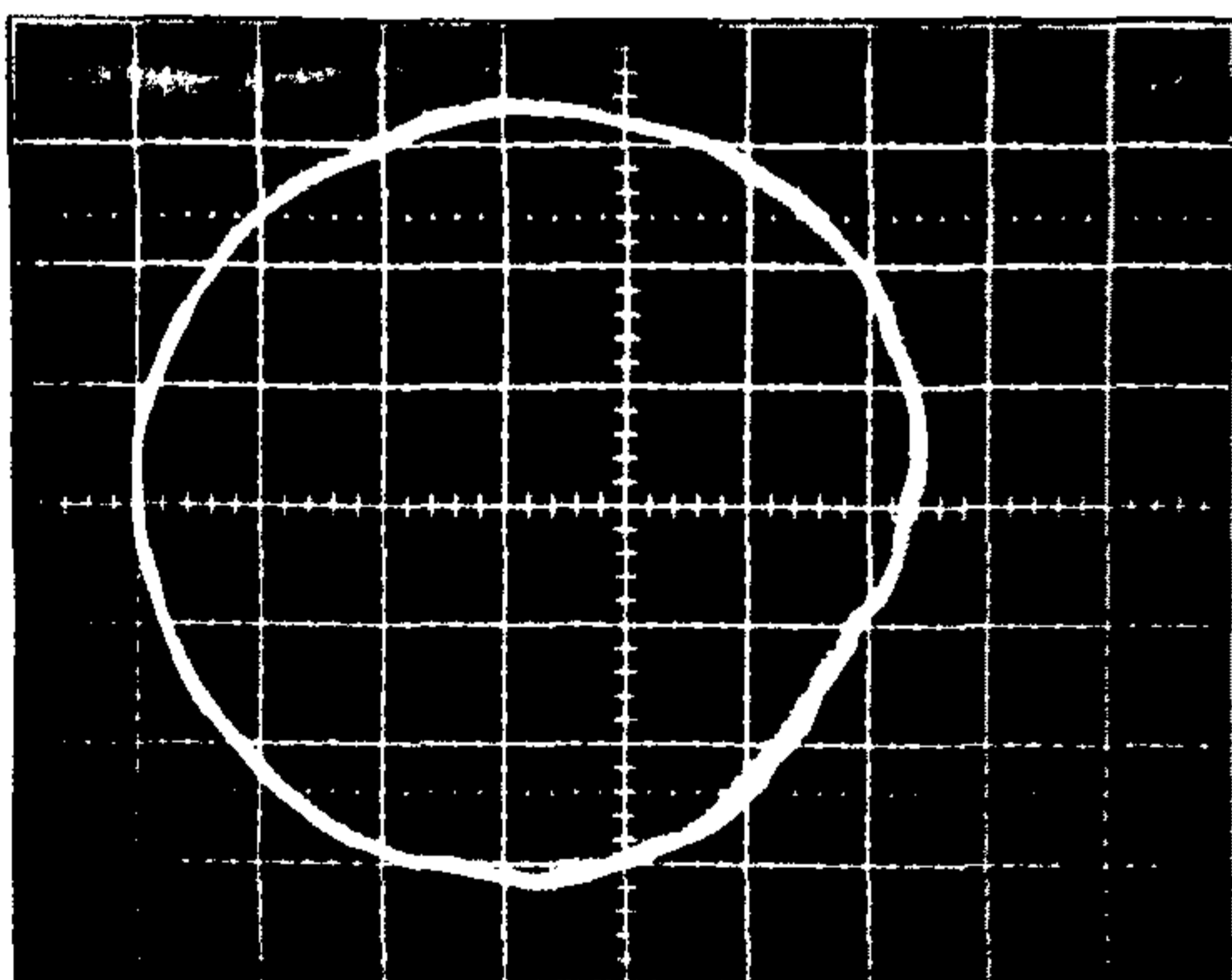


國產 (MZCRW :  $2.51 \mu m$ )

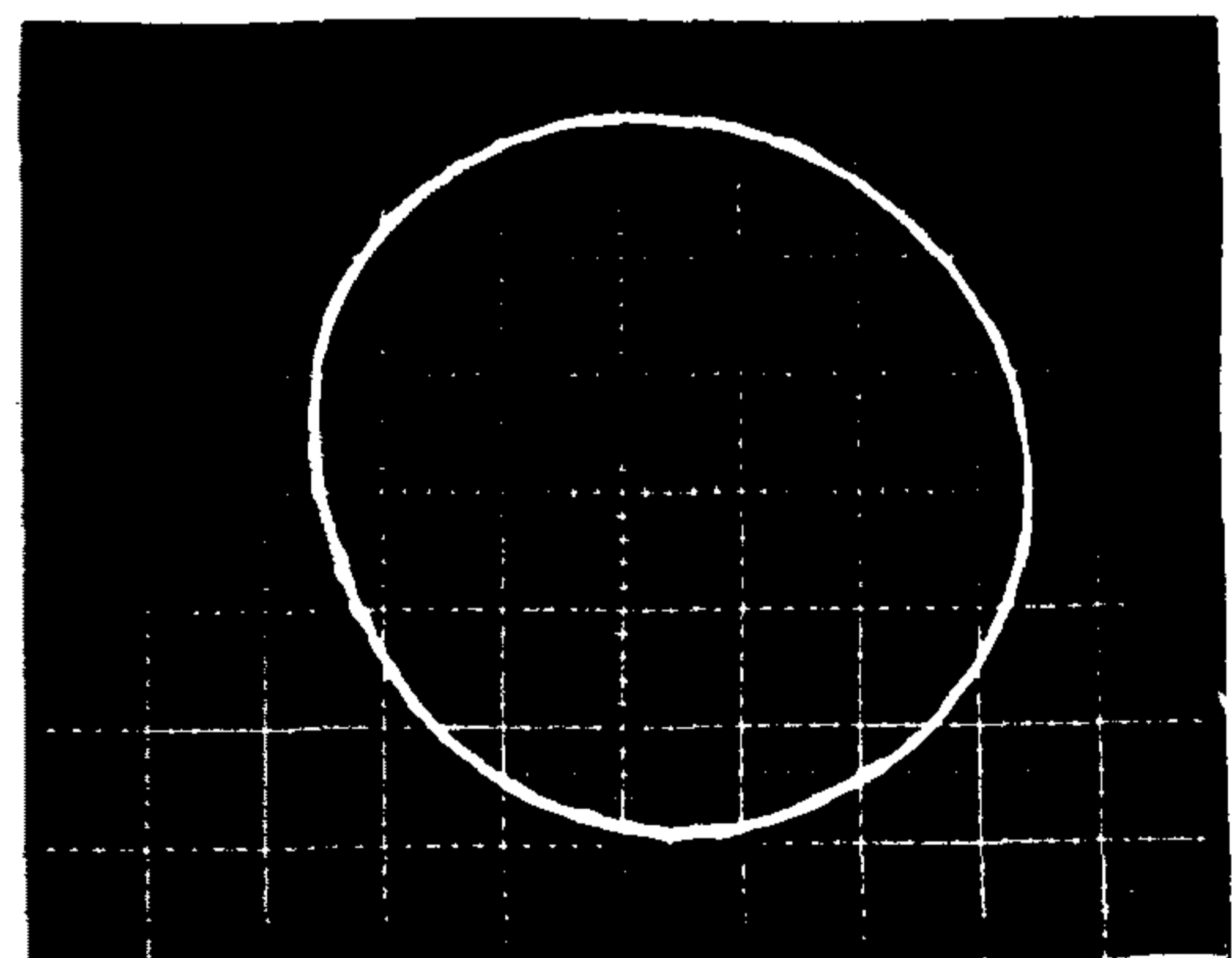


外產 (MECRW :  $1.45 \mu m$ )

(b) after 30 minutes



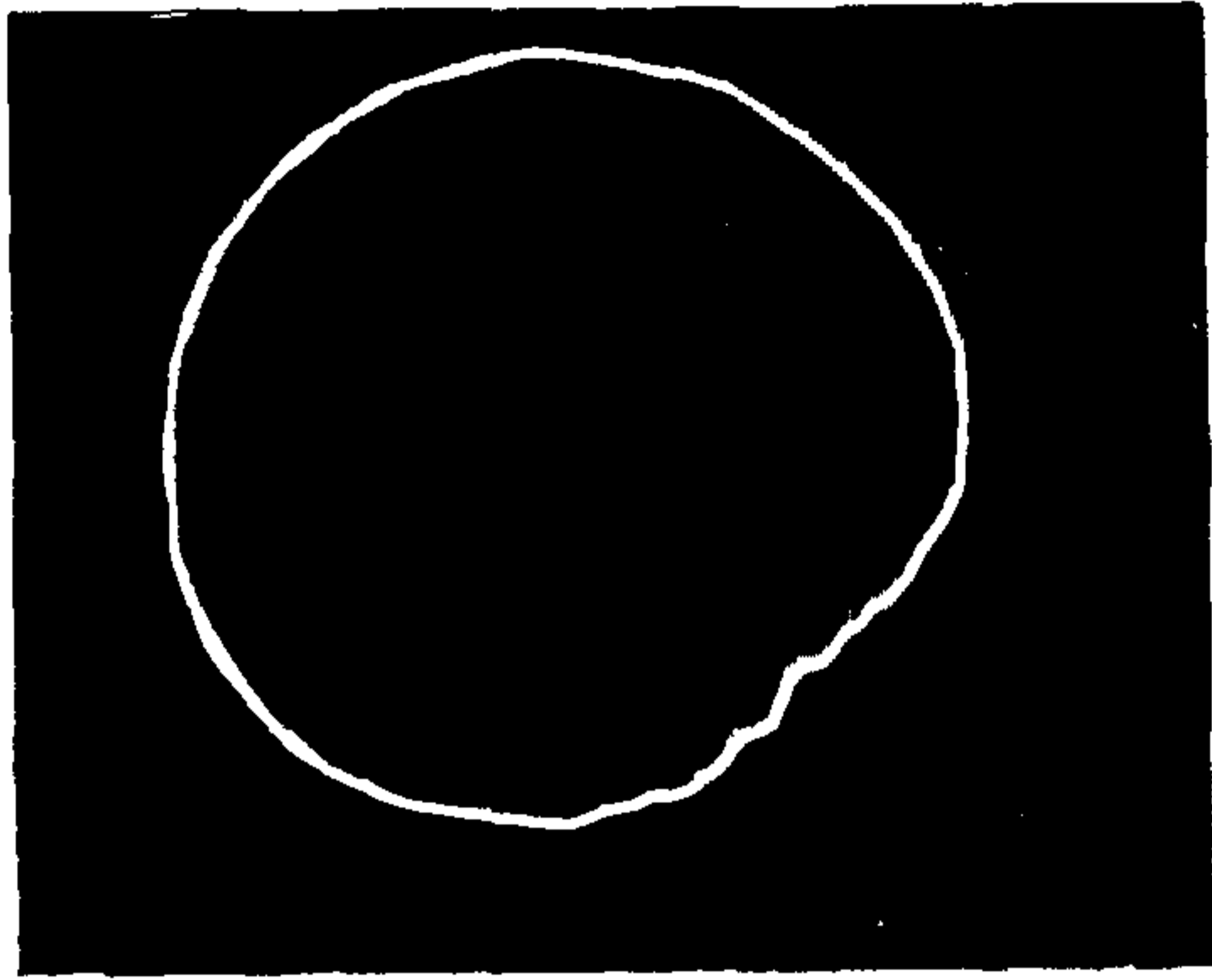
國產 (MZCRW :  $3.10 \mu m$ )



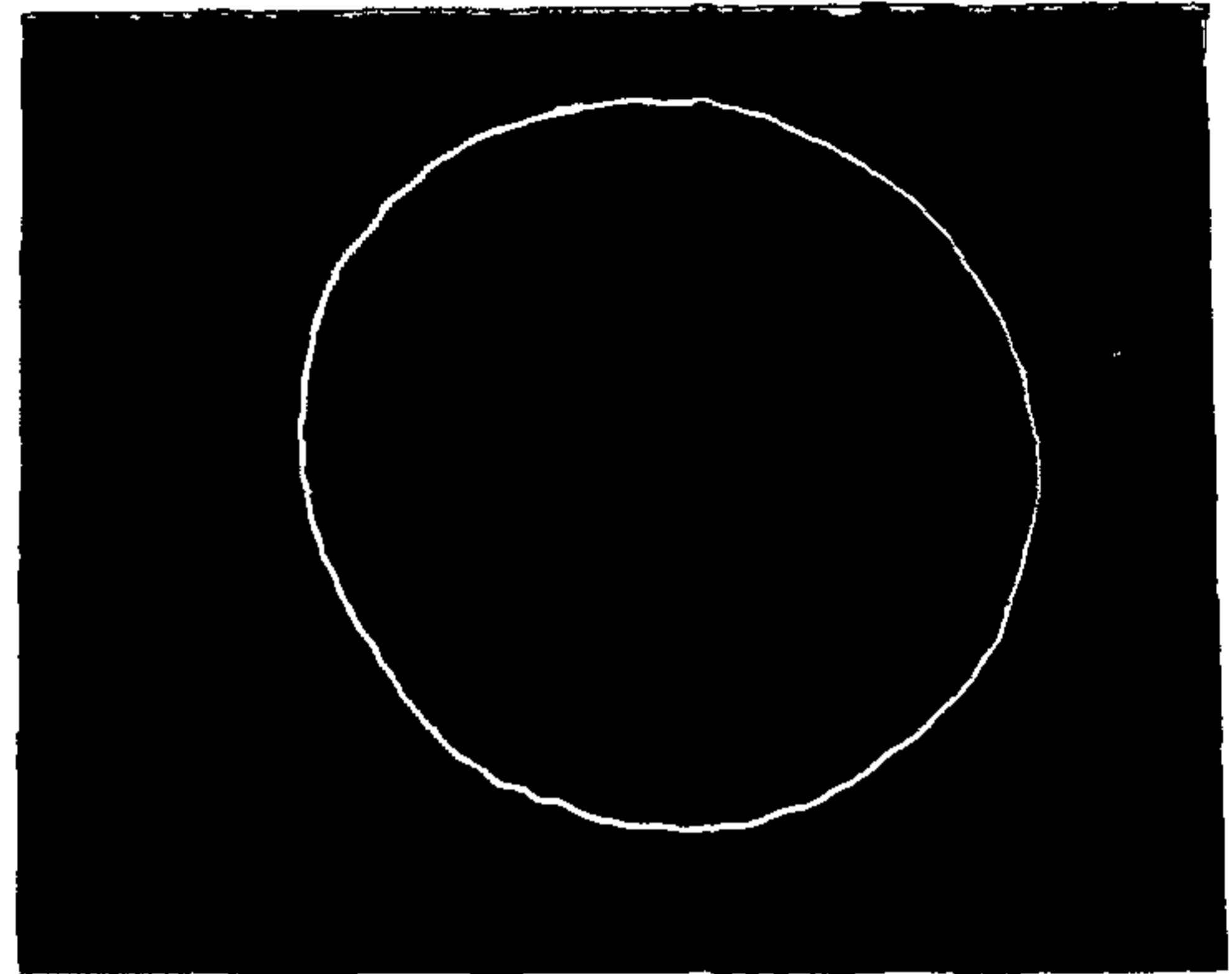
外產 (MZCRW :  $1.45 \mu m$ )

(c) after 60 minutes

Fig. 5-7 Radial error motion of 8 revolutions

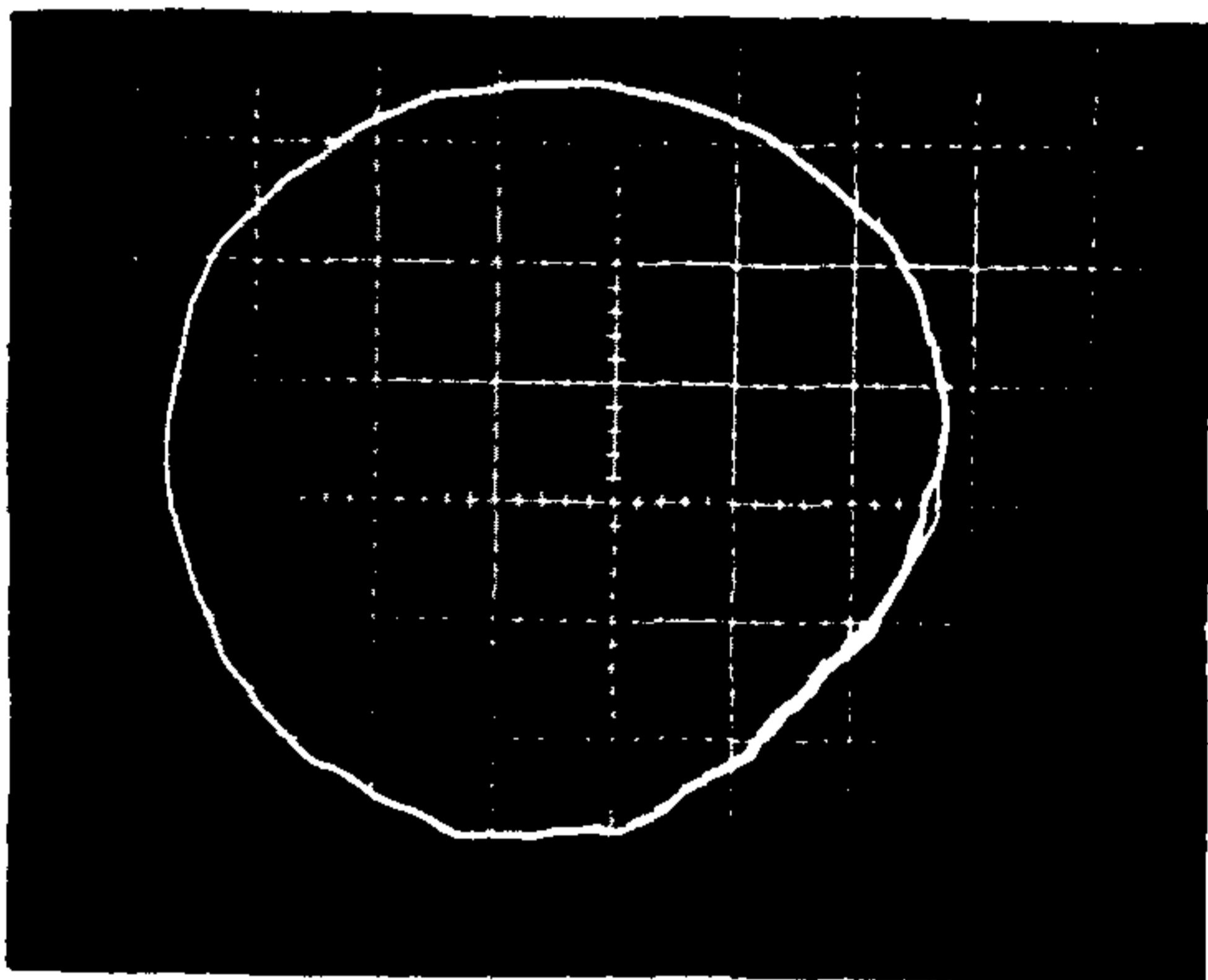


國 產

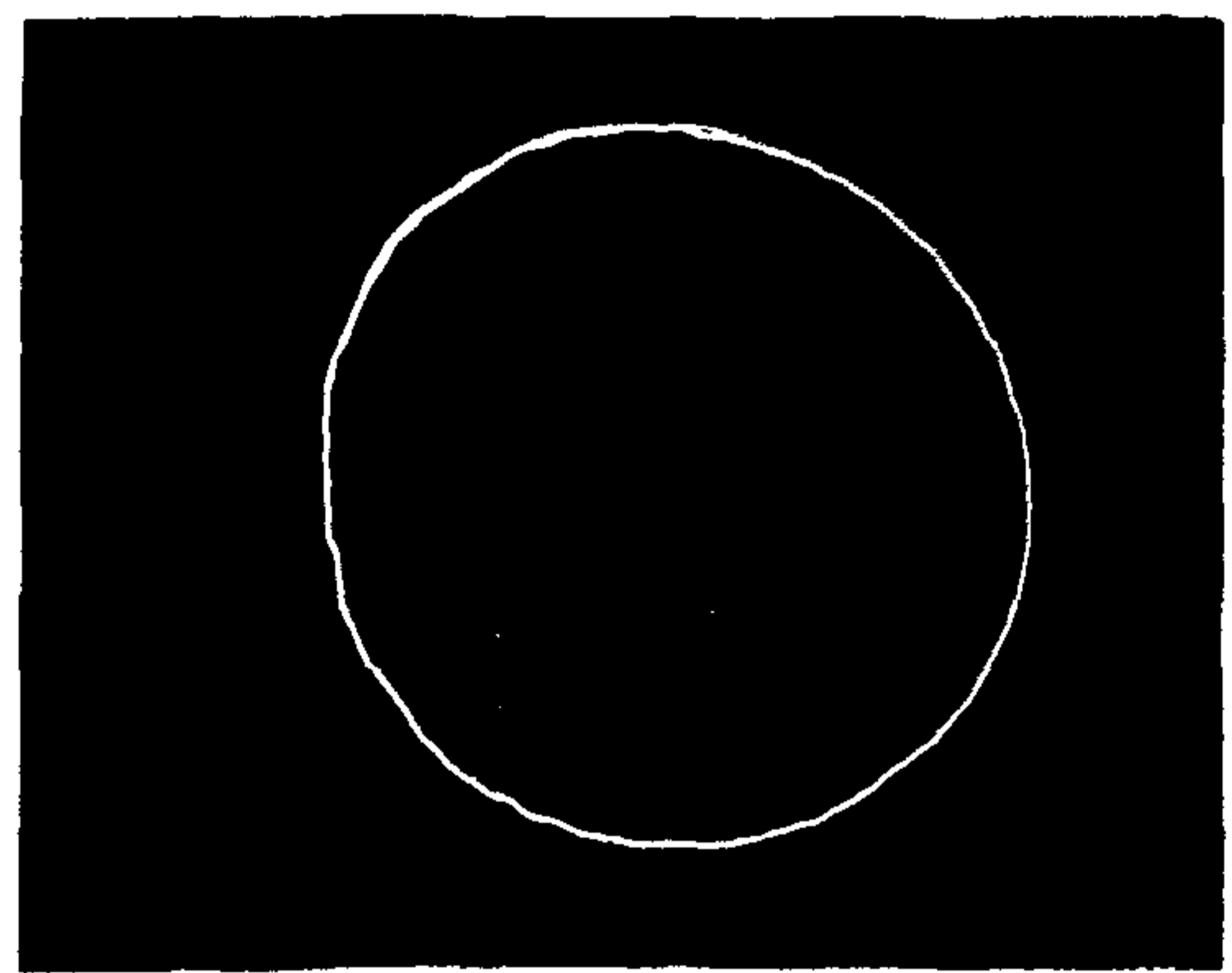


外 產

(a) after 10 minutes



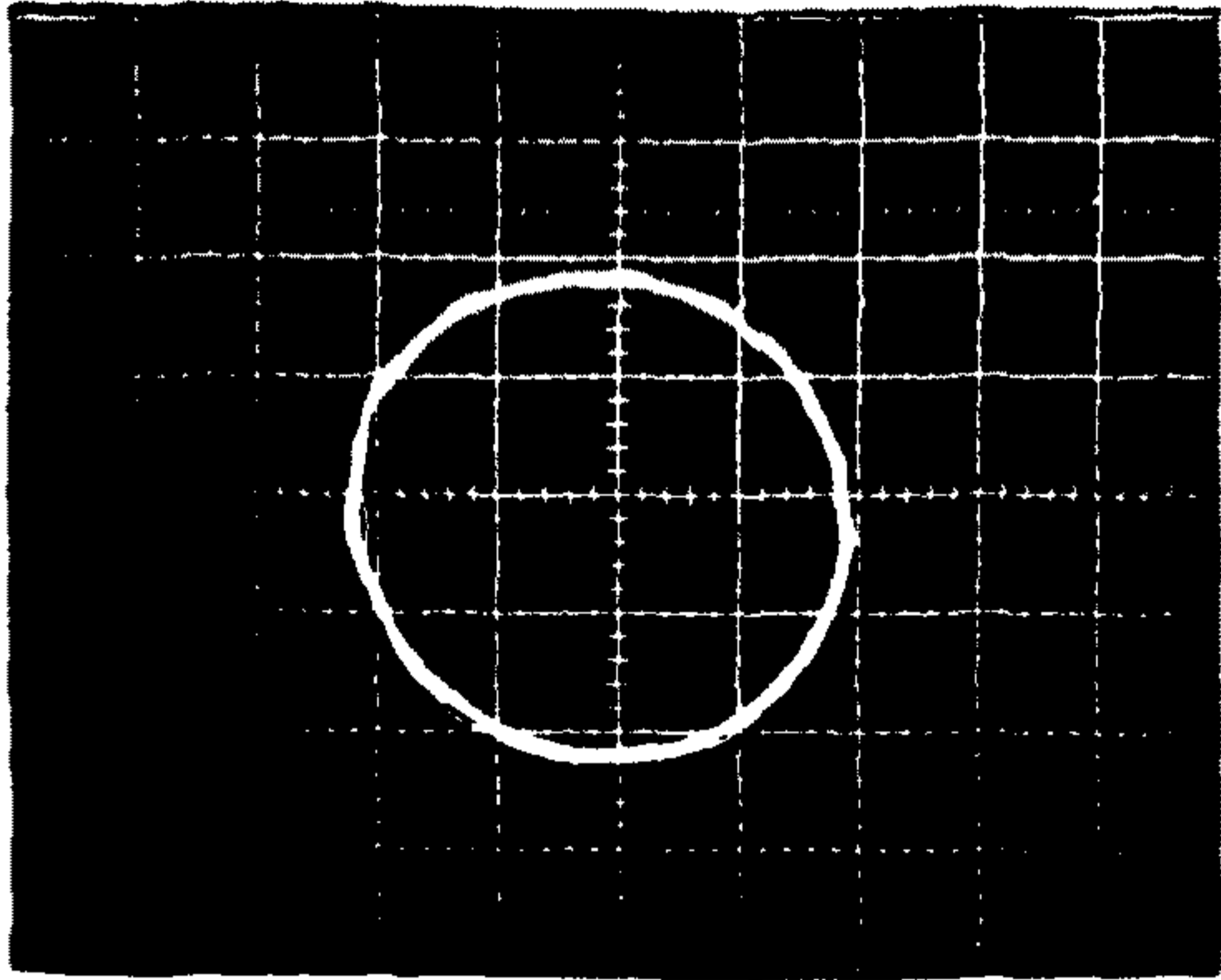
國 產



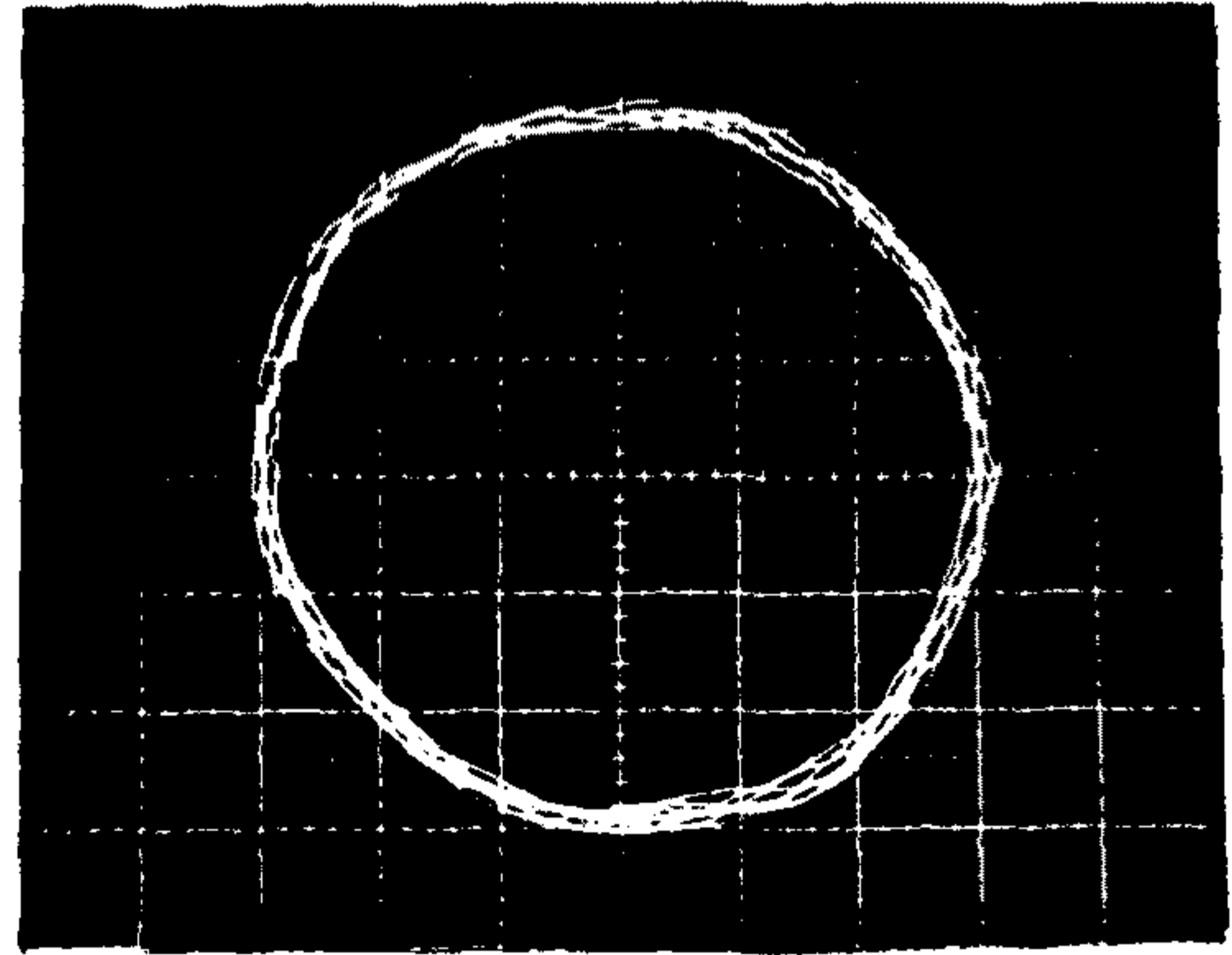
外 產

(b) after 60 minutes

Fig. 5-8 Radial error motion of 1 revolution

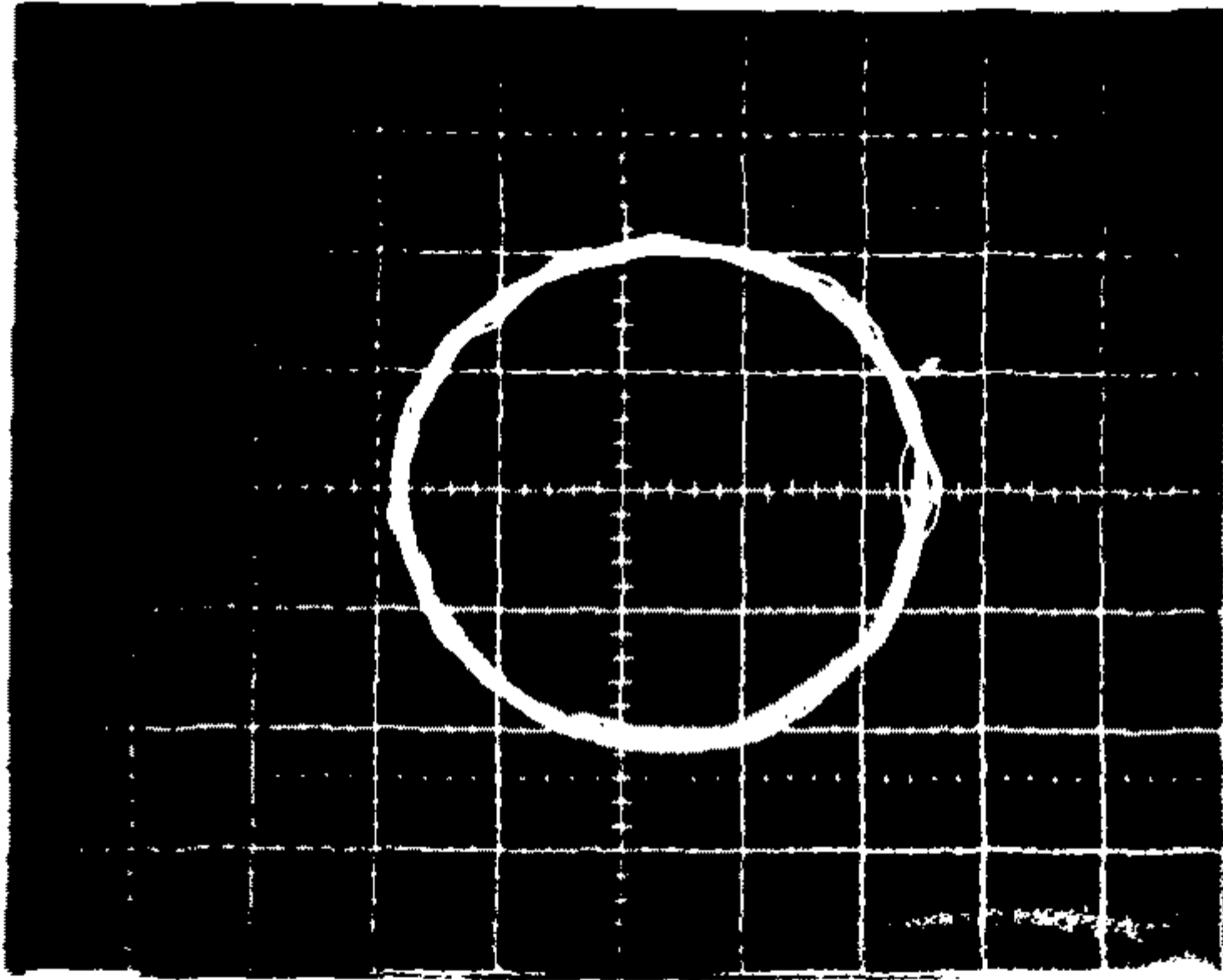


國產 ( PCRW :  $4.30 \mu m$  )

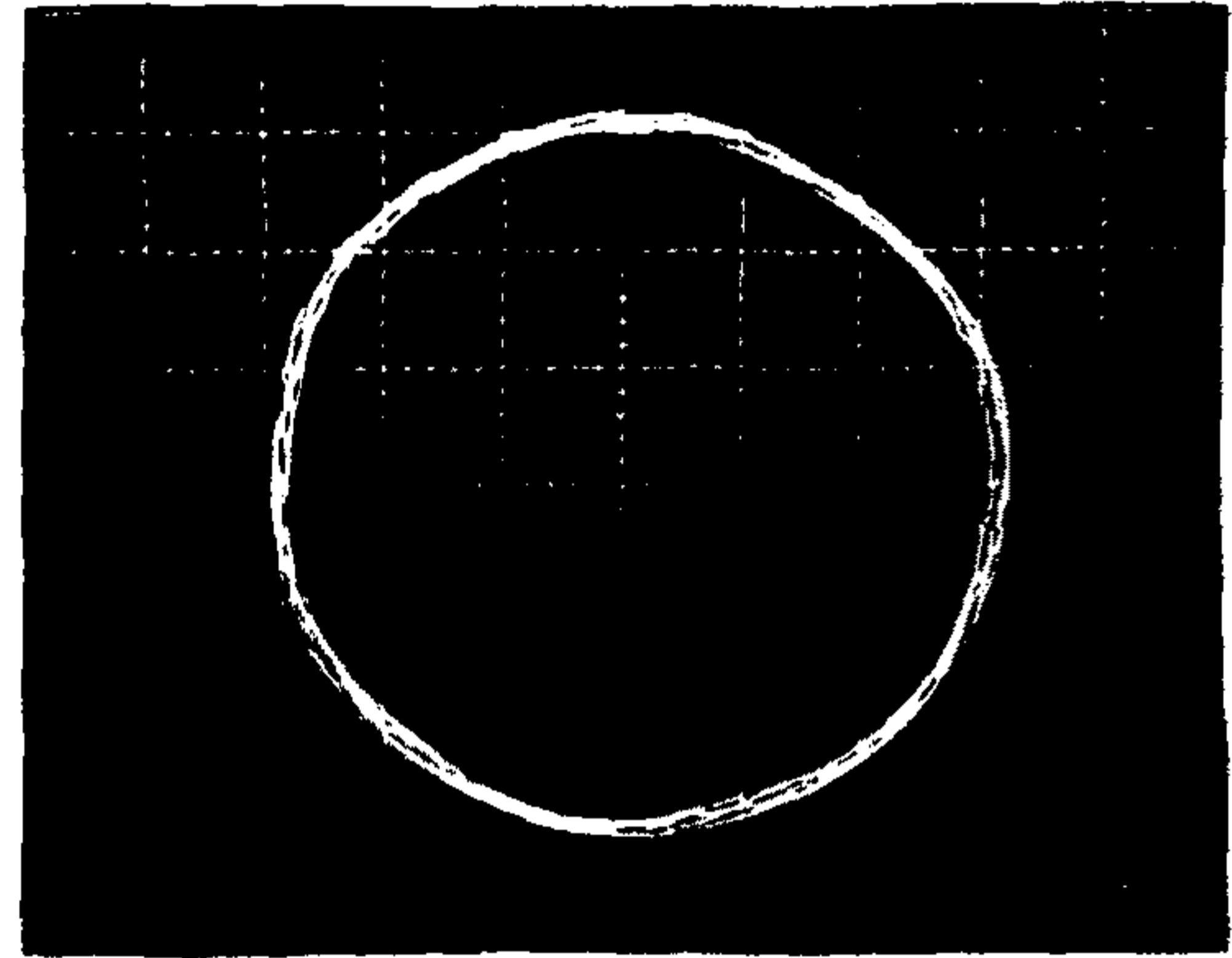


外產 ( PCRW :  $2.32 \mu m$  )

(a) after 10 minutes

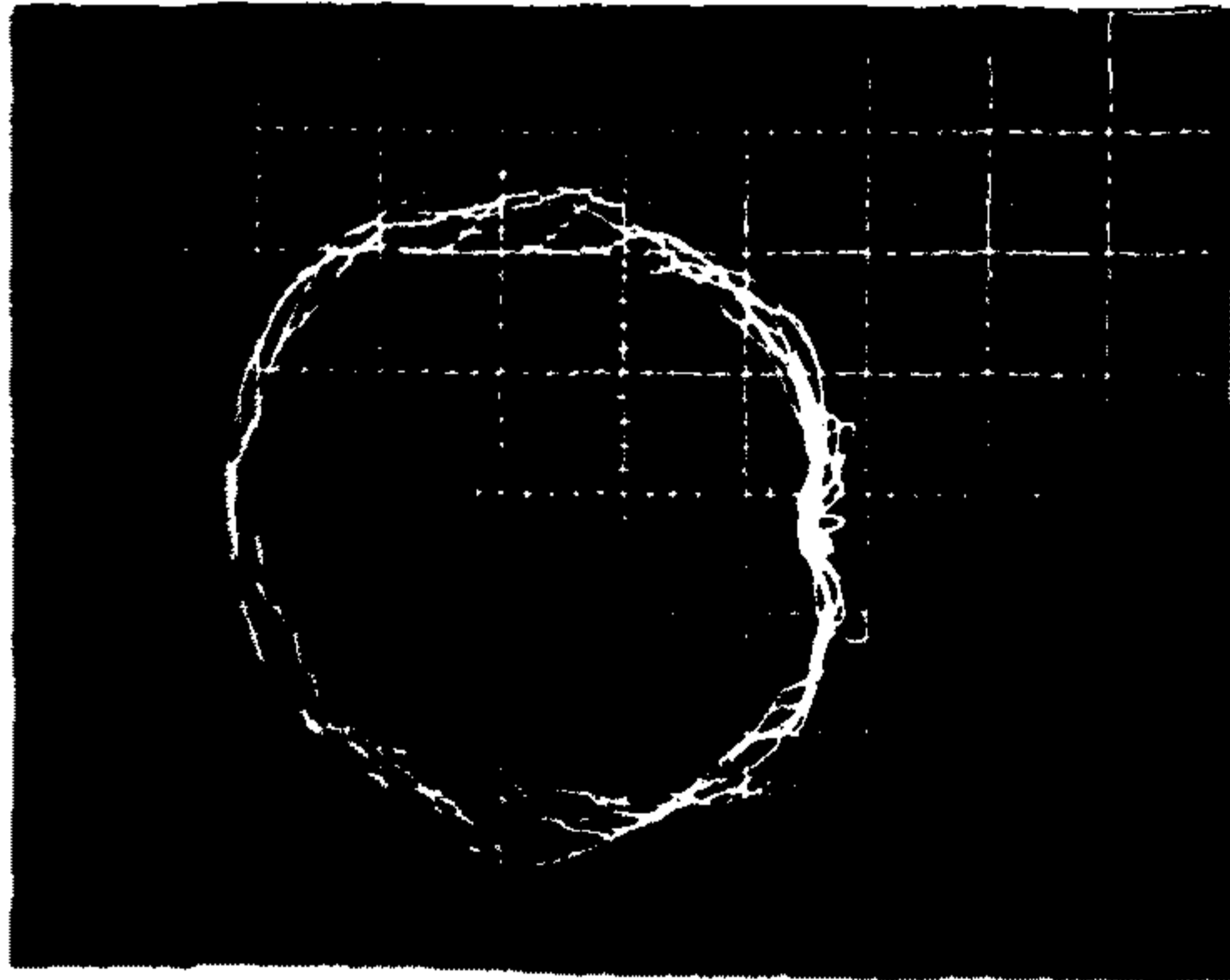


國產 ( PCRW :  $7.0 \mu m$  )

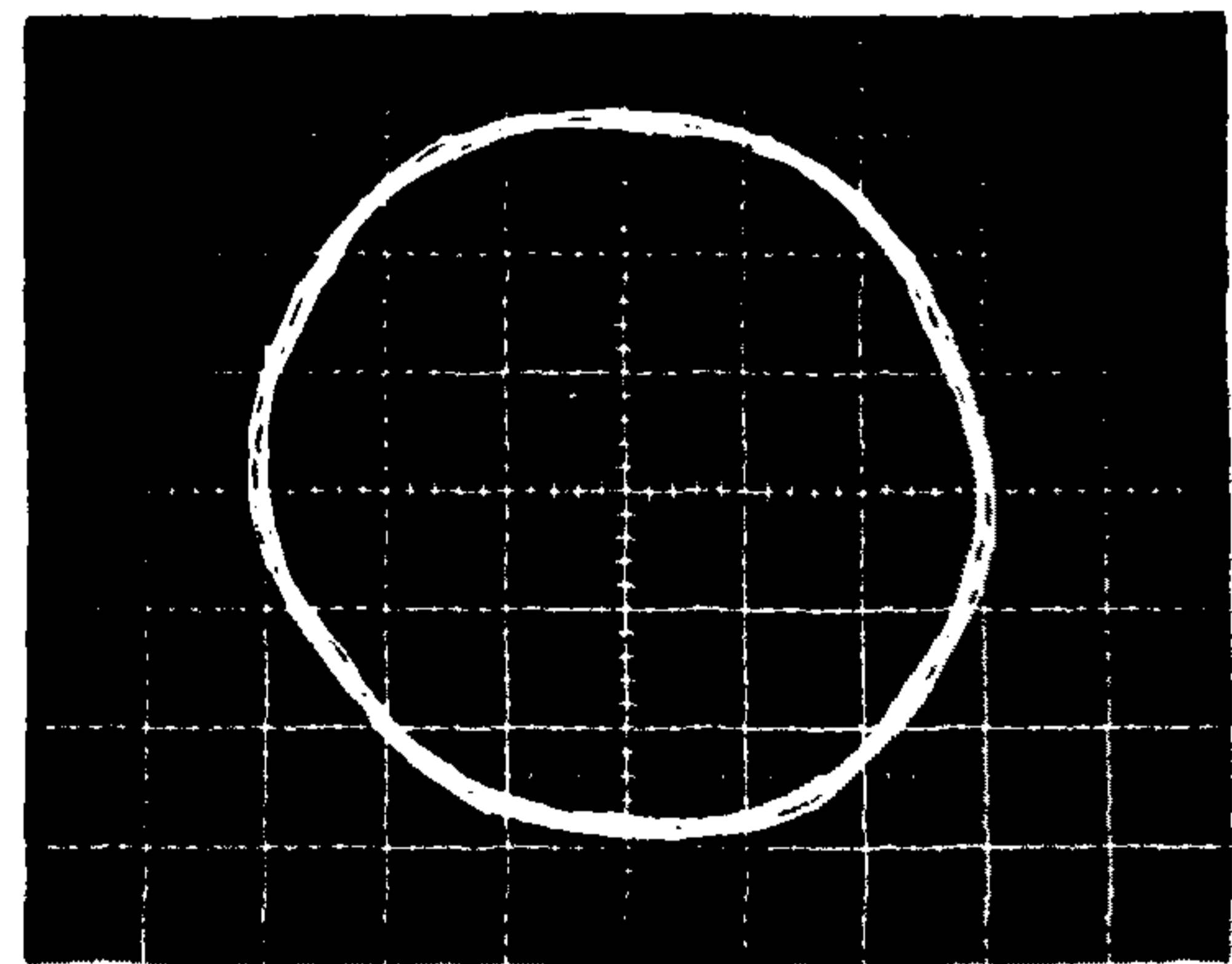


外產 ( PCRW :  $2.32 \mu m$  )

(b) after 30 minutes



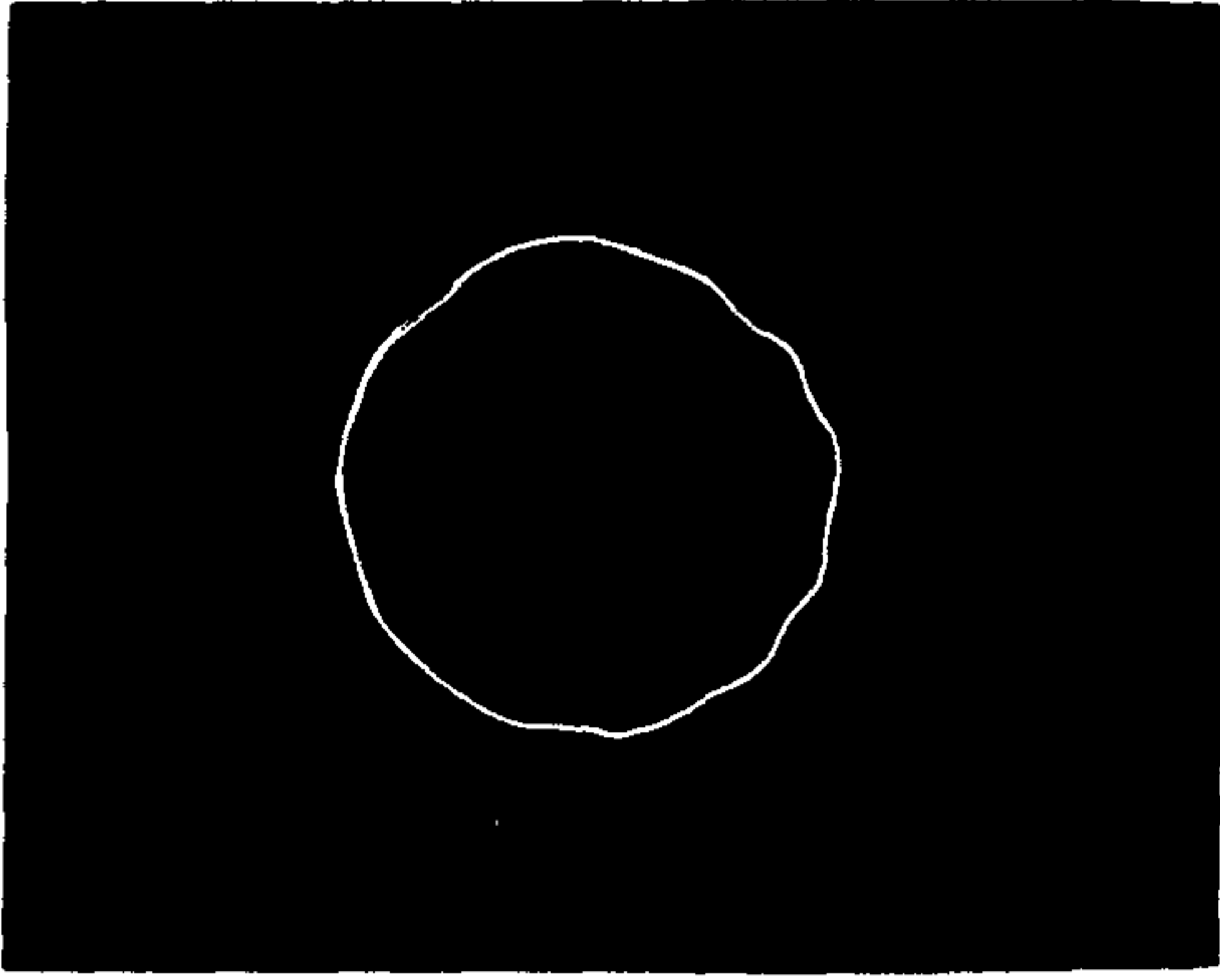
國產 ( PCRW :  $12.6 \mu m$  )



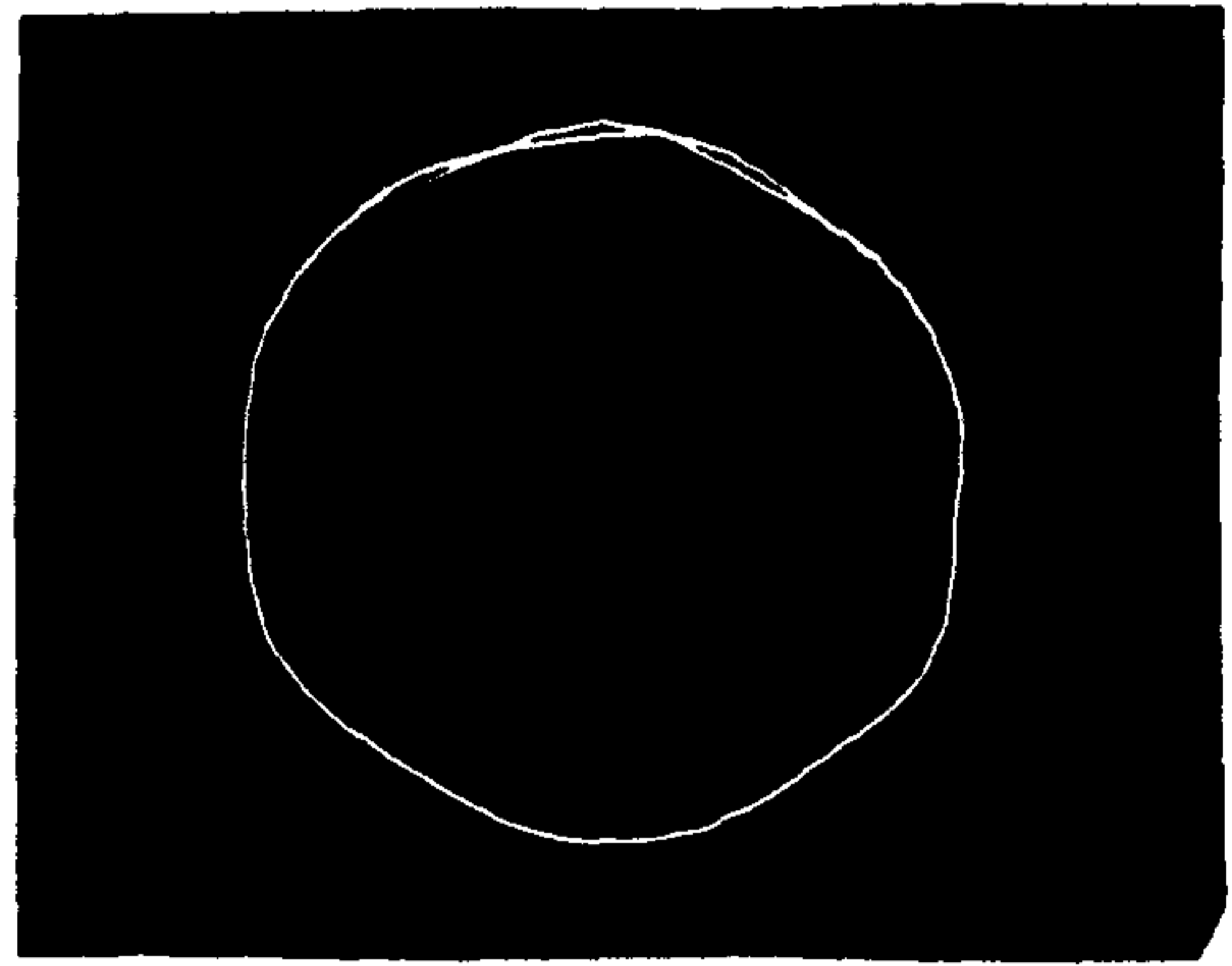
外產 ( PCRW :  $2.85 \mu m$  )

(c) after 60 minutes

Fig. 5-9 Axial error motion of 8 revolutions



國 產

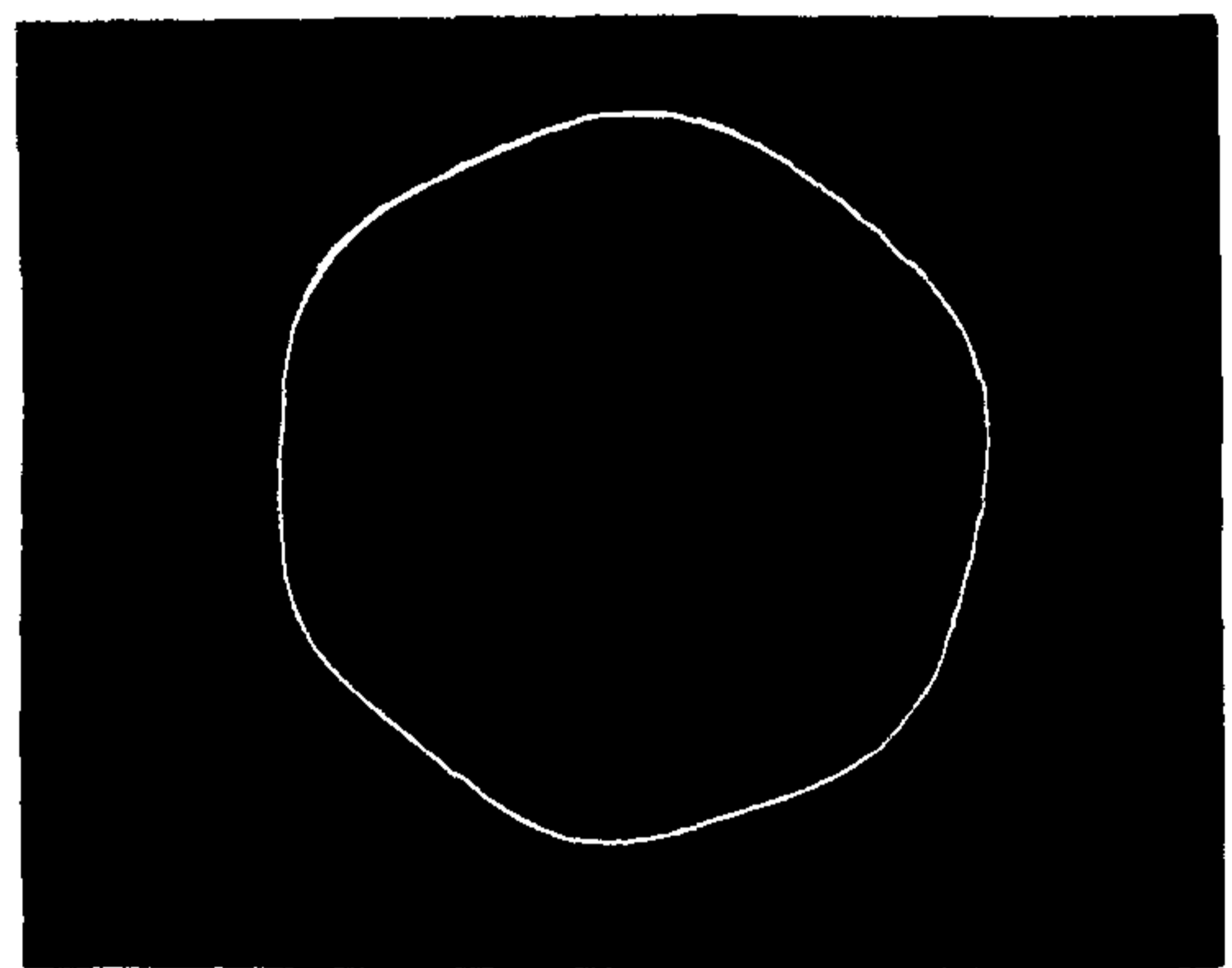


外 產

(a) after 10 minutes



國 產



外 產

(b) after 60 minutes

Fig. 5-10 Axial error motion of 1 revolution

선의 여지가 많은 것으로 보인다. 國產의 回轉精度가 나쁜 원인으로  
 는 일반적으로 高精度 工作機械에 부적합한 깊은 홈 볼 베어링을 사  
 용하고 있다는 점, 主軸의 加工精度 즉 眞圓度, 眞直度 및 同心度의  
 불량, 베어링을 억지 끼워맞춤으로 인해 熱의 發生이 아주 크며 그  
 로 인해 主軸의 熱變形이 아주 크게 나타난 점, 外產은 motor 一體型  
 主軸을 사용하고 있으나, 國產은 motor 와 커플링을 통해 主軸이  
 연결되어 있는 점 등에 기인하는 것으로 보인다.

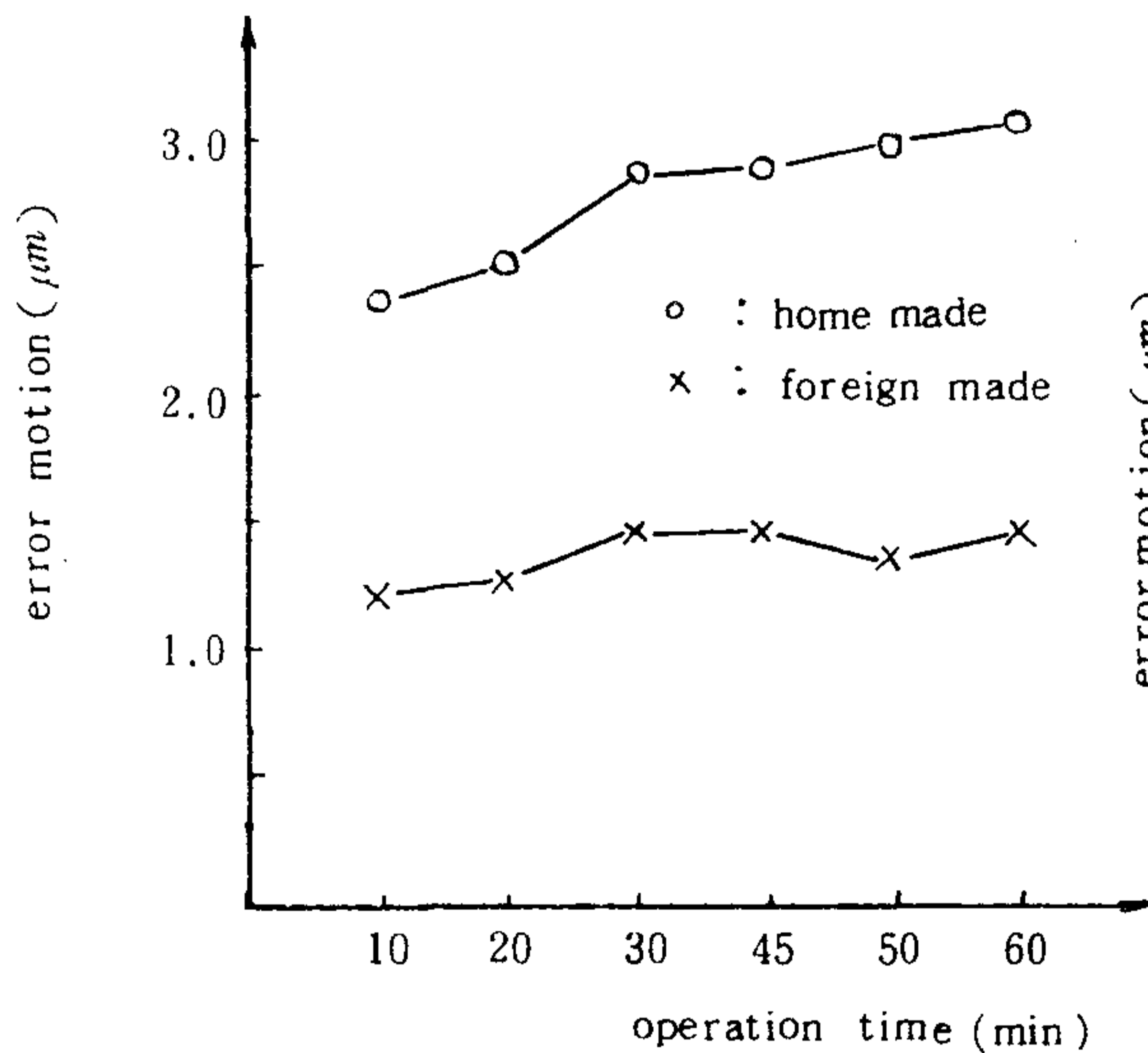


Fig. 5-11 Radial error motion

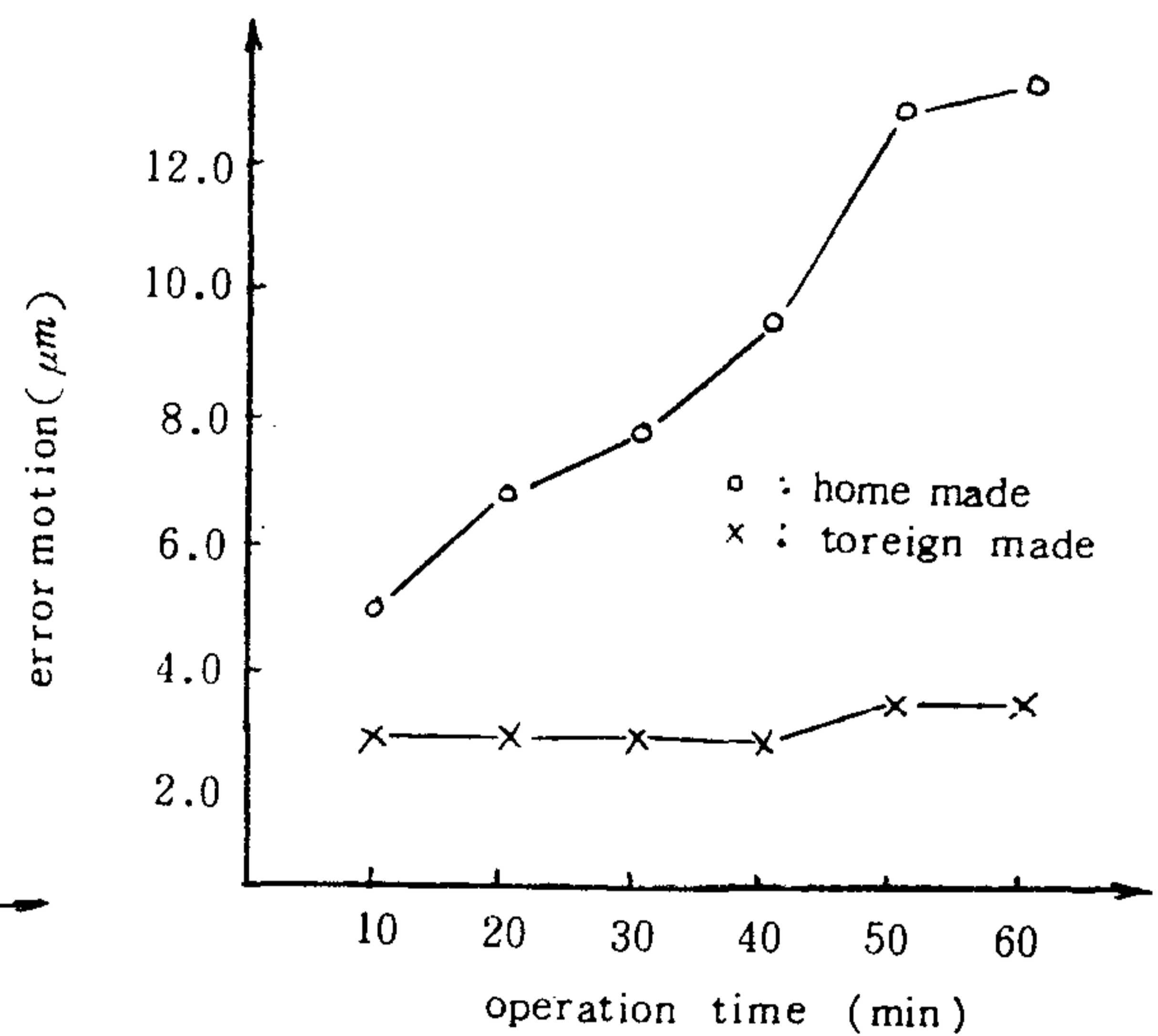
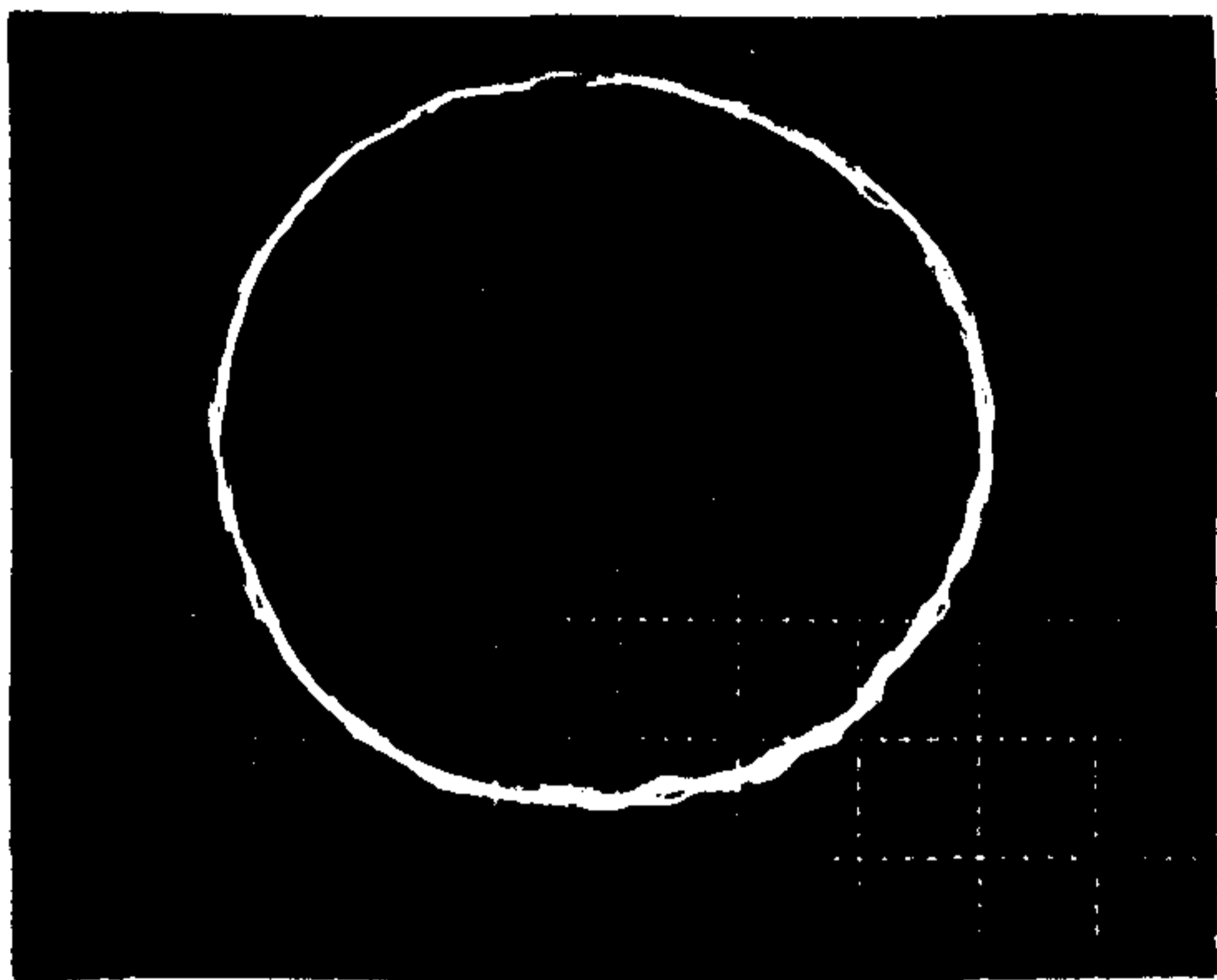


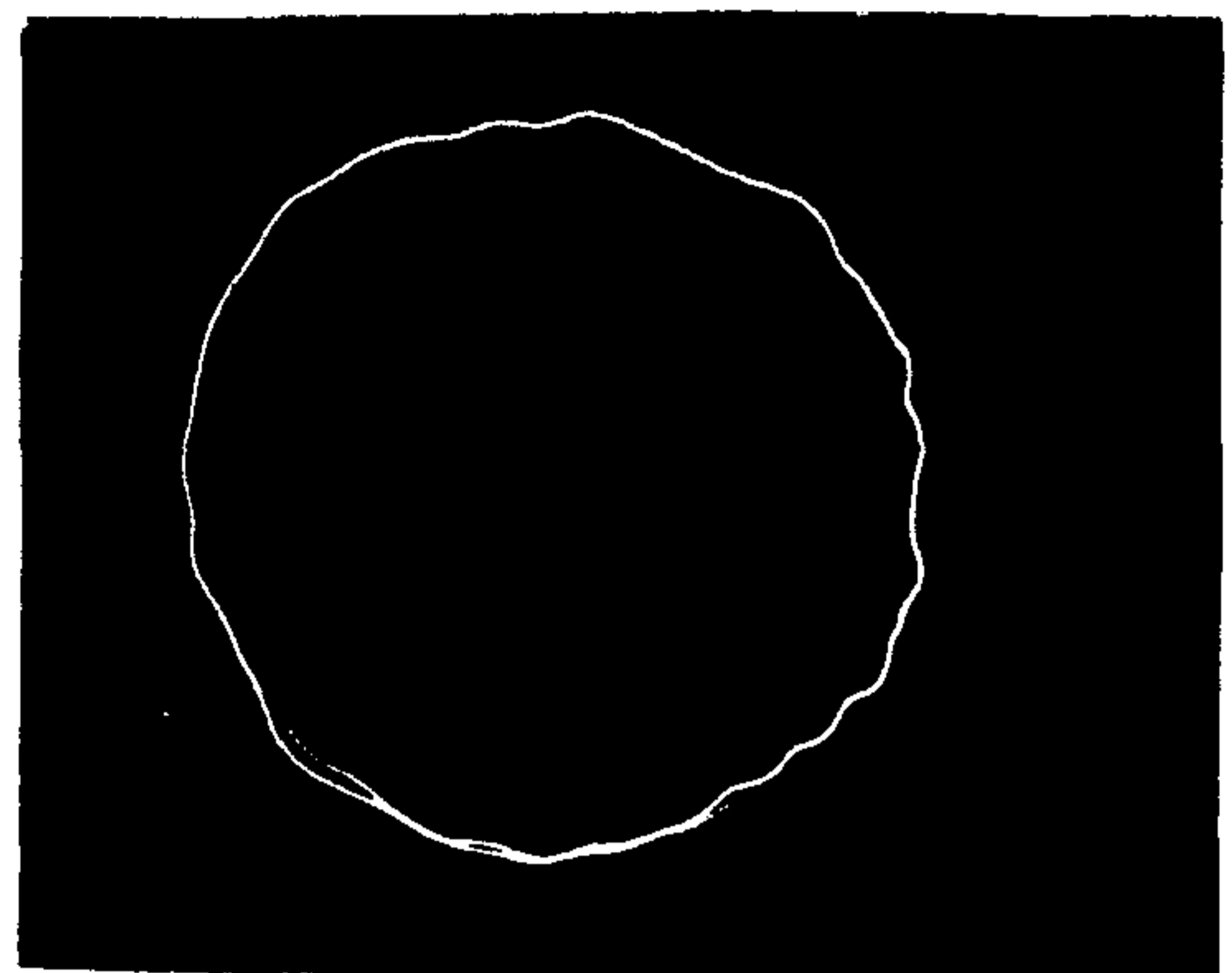
Fig. 5-12 Axial error motion

한편, 本 研究에 의해 改善된 主軸部에 대한 (chap 6 參照)  
 回轉精度의 測定結果를 Fig. 5-13 및 Fig. 5-14 에 나타내었다.

Fig. 5-7, 5-8 의 國產과 Fig. 5-13 를 비교해 보면 개선된 軸에 있  
 어서 전체적인 원의 찌그러짐은 거의 없으나 振幅 및 그 빈도는  
 크게 나타나고 있다. 이는 軸과 베어링 및 Housing 을 헐거운 끼워

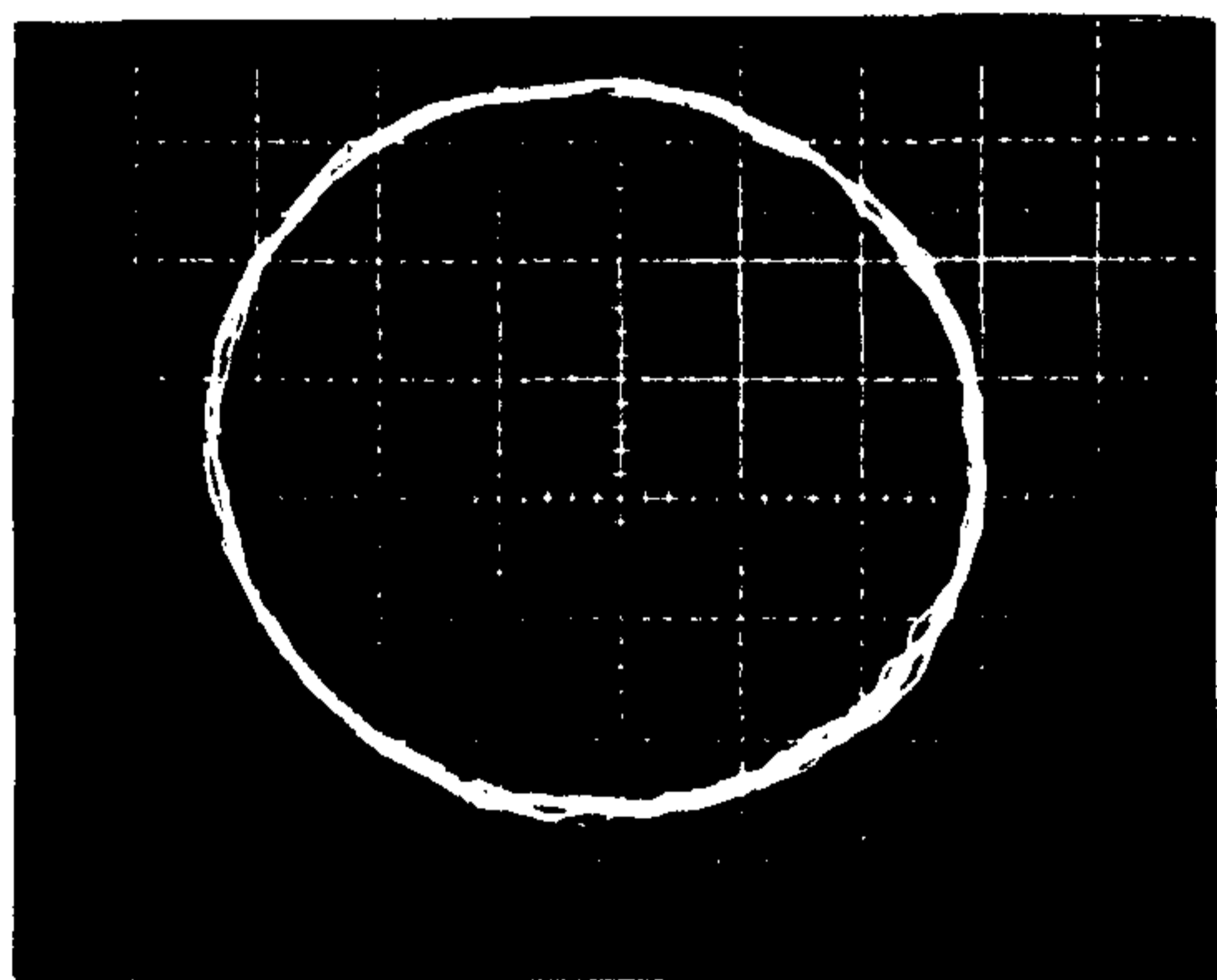


8 rev. (MZCRW : 145  $\mu m$ )

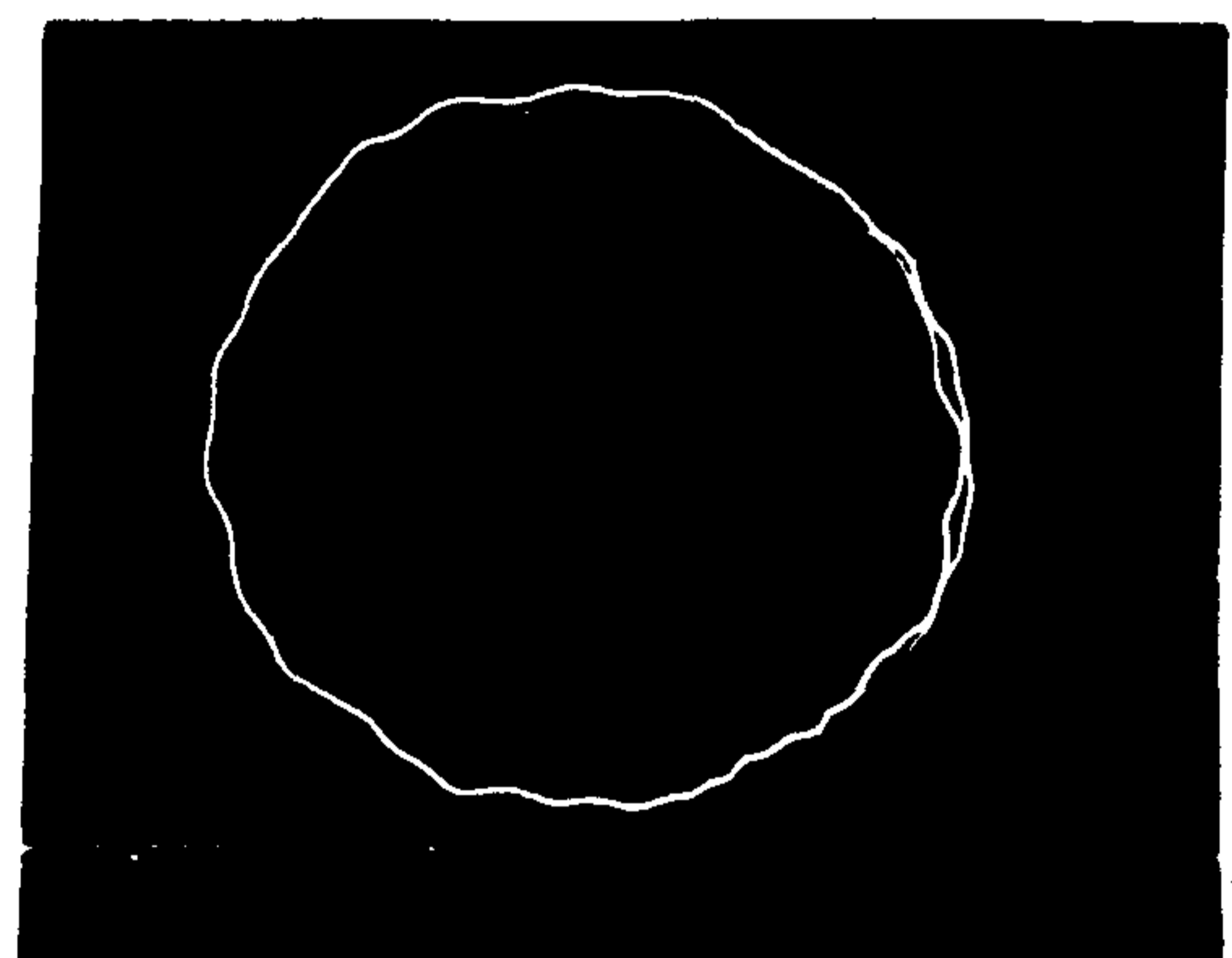


1 rev.

(a) after 10 minutes

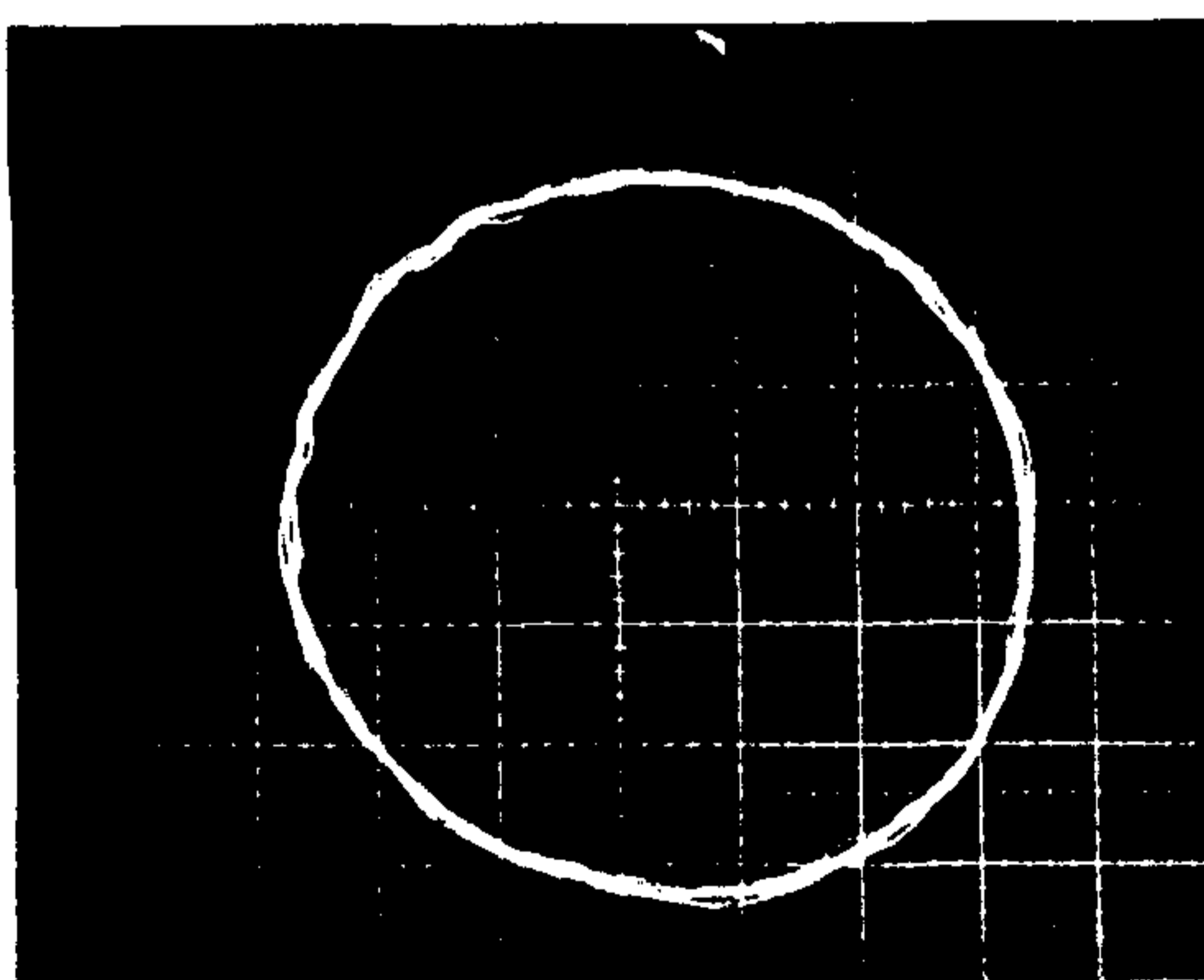


8 rev. (MZCRW : 2.0  $\mu m$ )

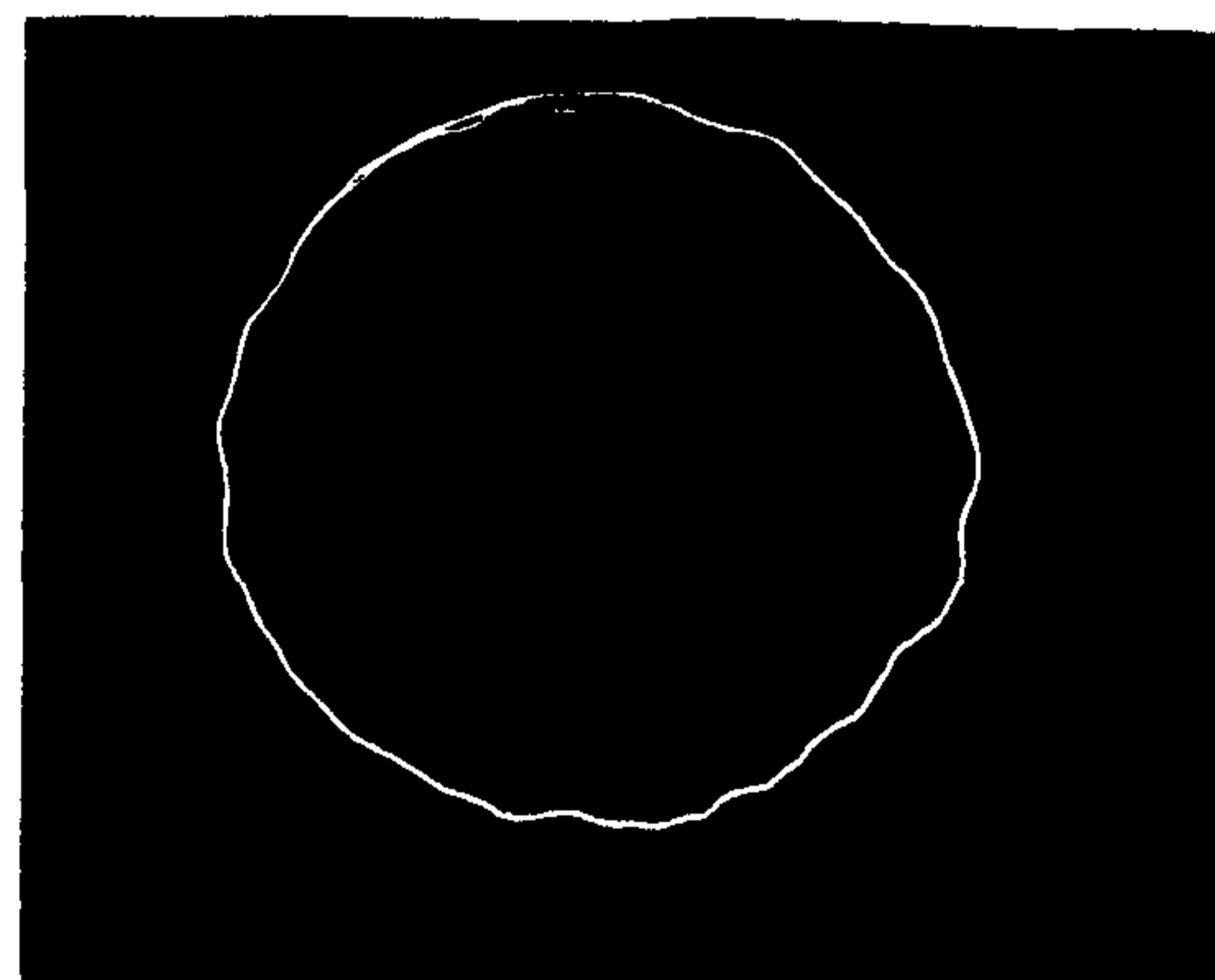


1 rev.

(b) after 30 minutes



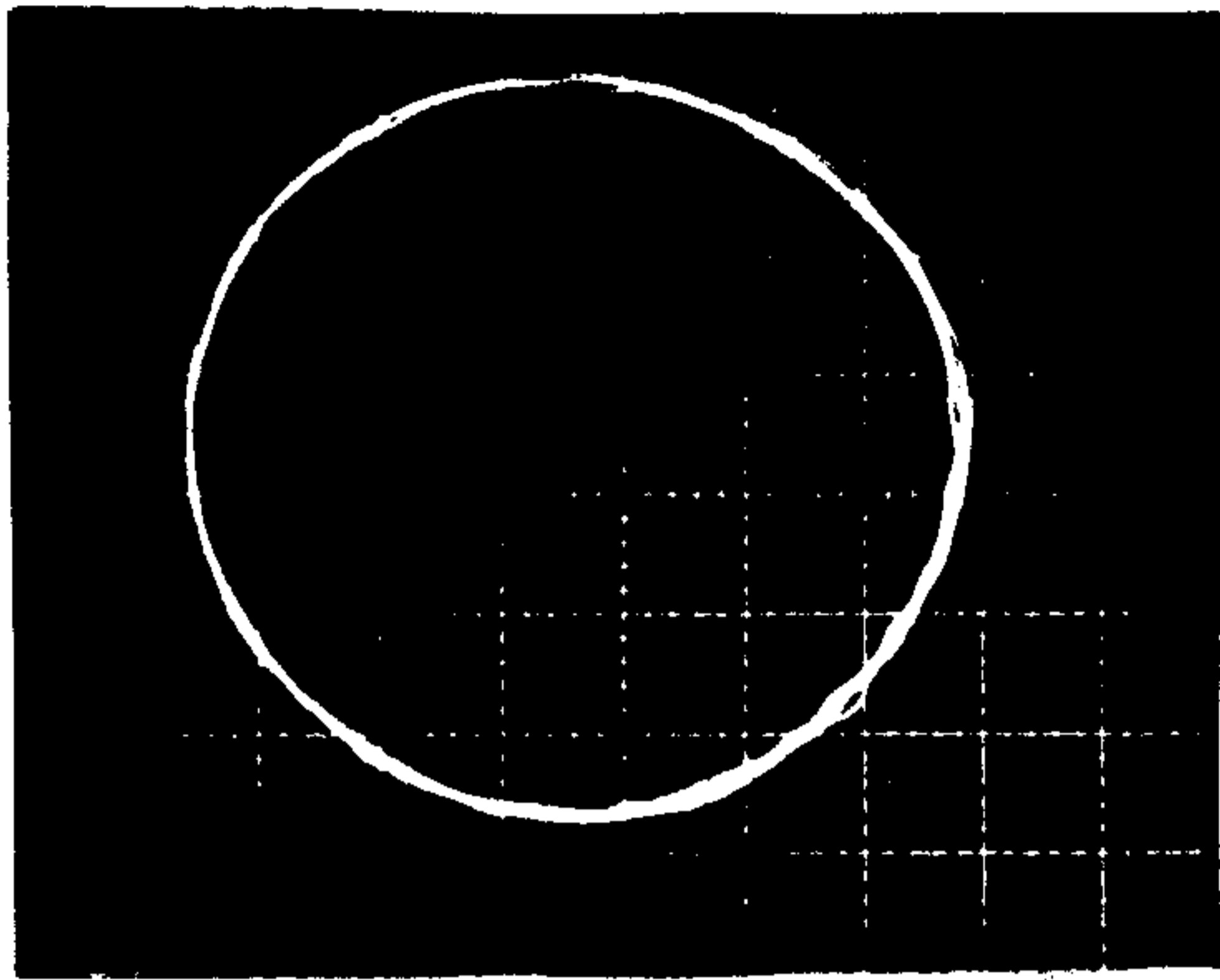
8 rev. (MZCRW : 2.3  $\mu m$ )



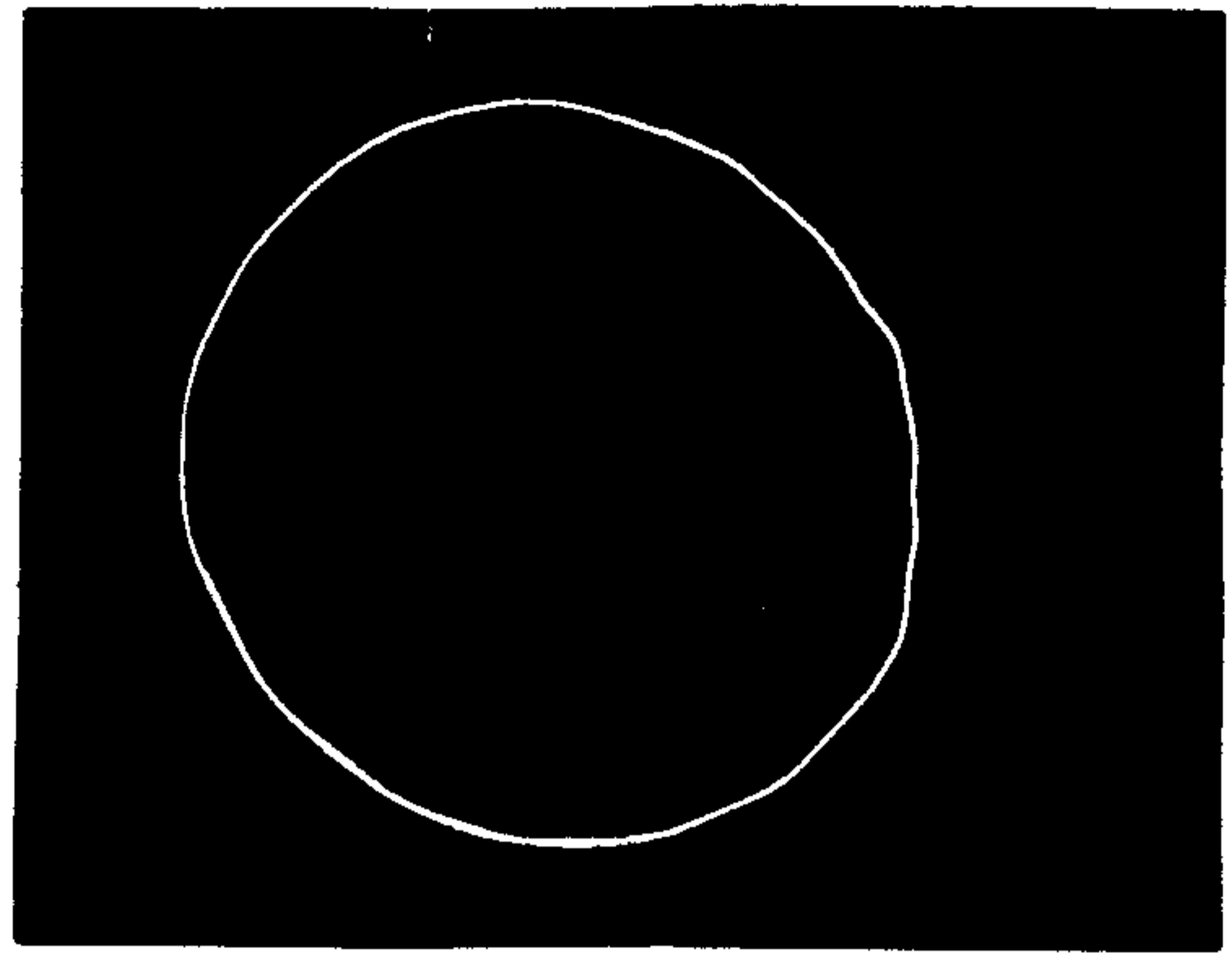
1 rev.

(c) after 60 minutes

Fig. 5-13 Radial error motion of modified spindle

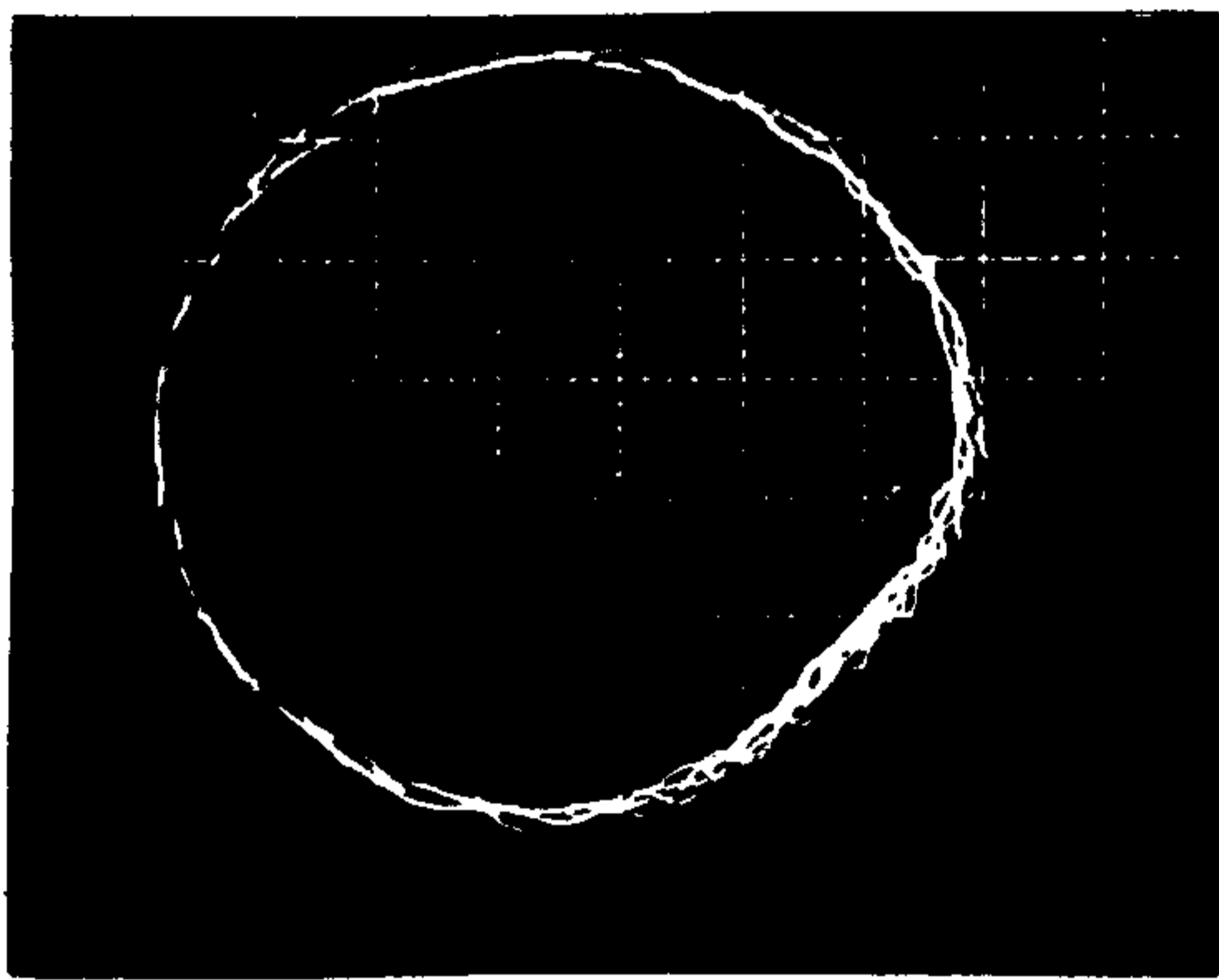


8 rev ( PCRW :  $4.0 \mu m$  )

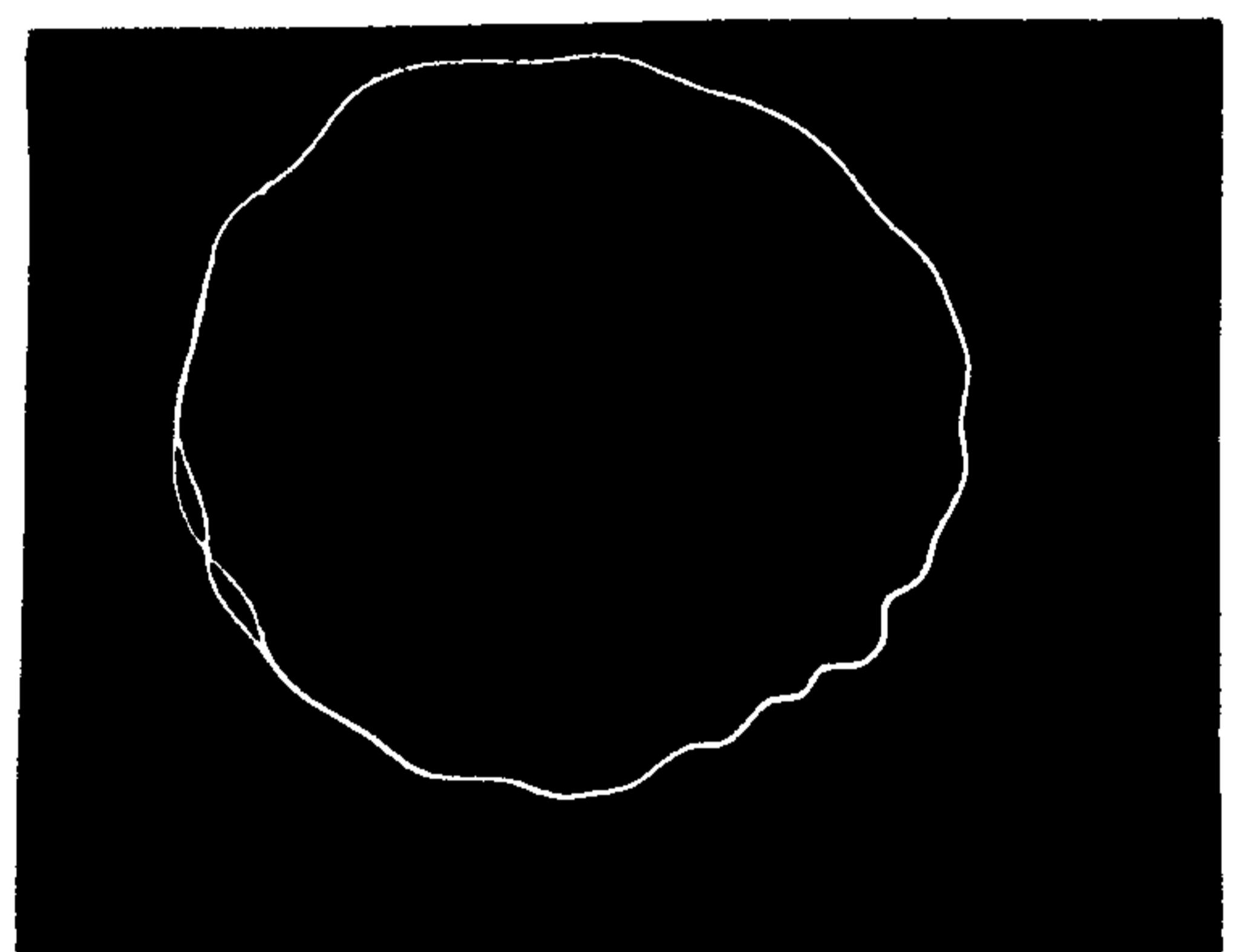


1 rev

(a) after 10 minutes

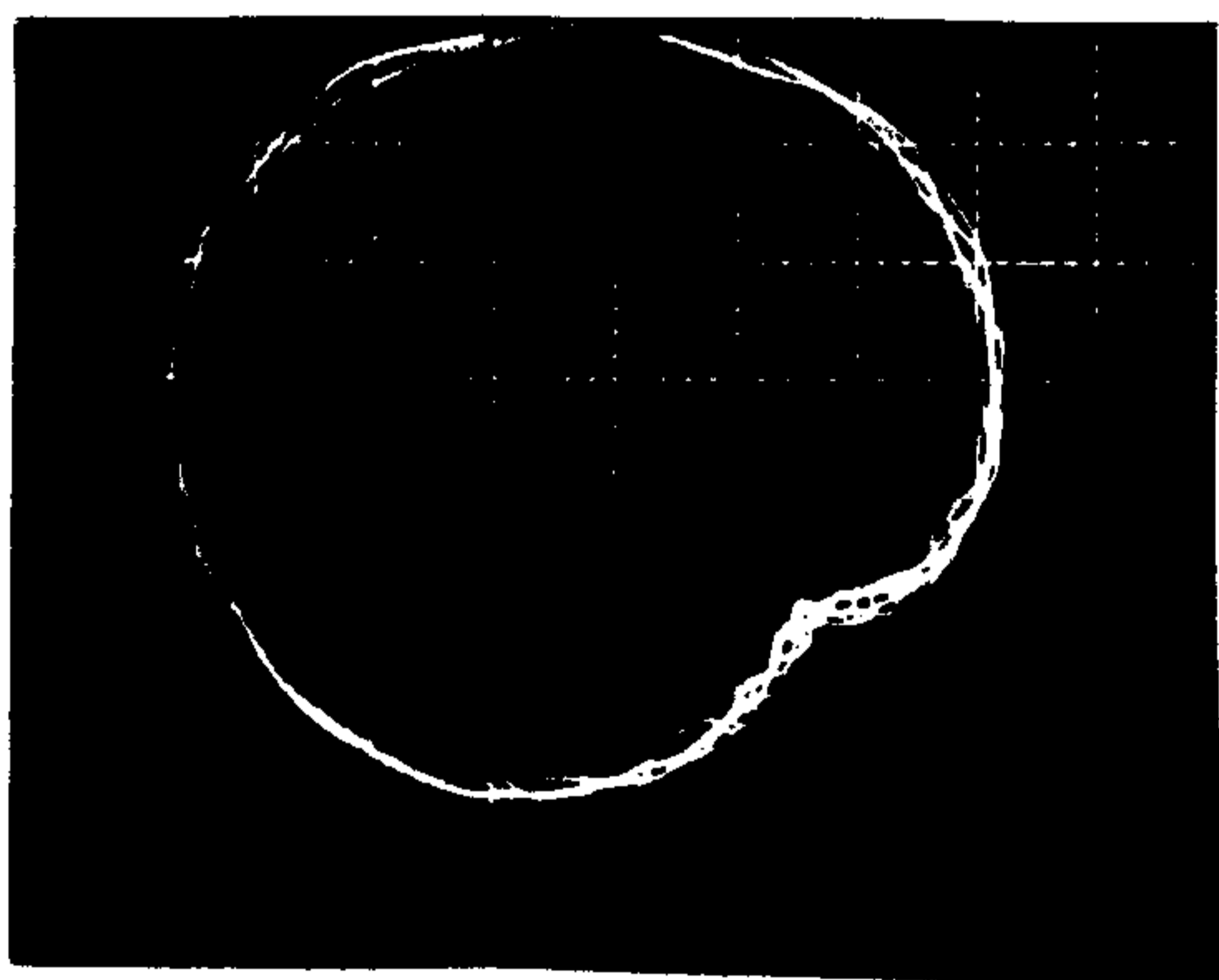


8 rev ( PCRW :  $7.4 \mu m$  )

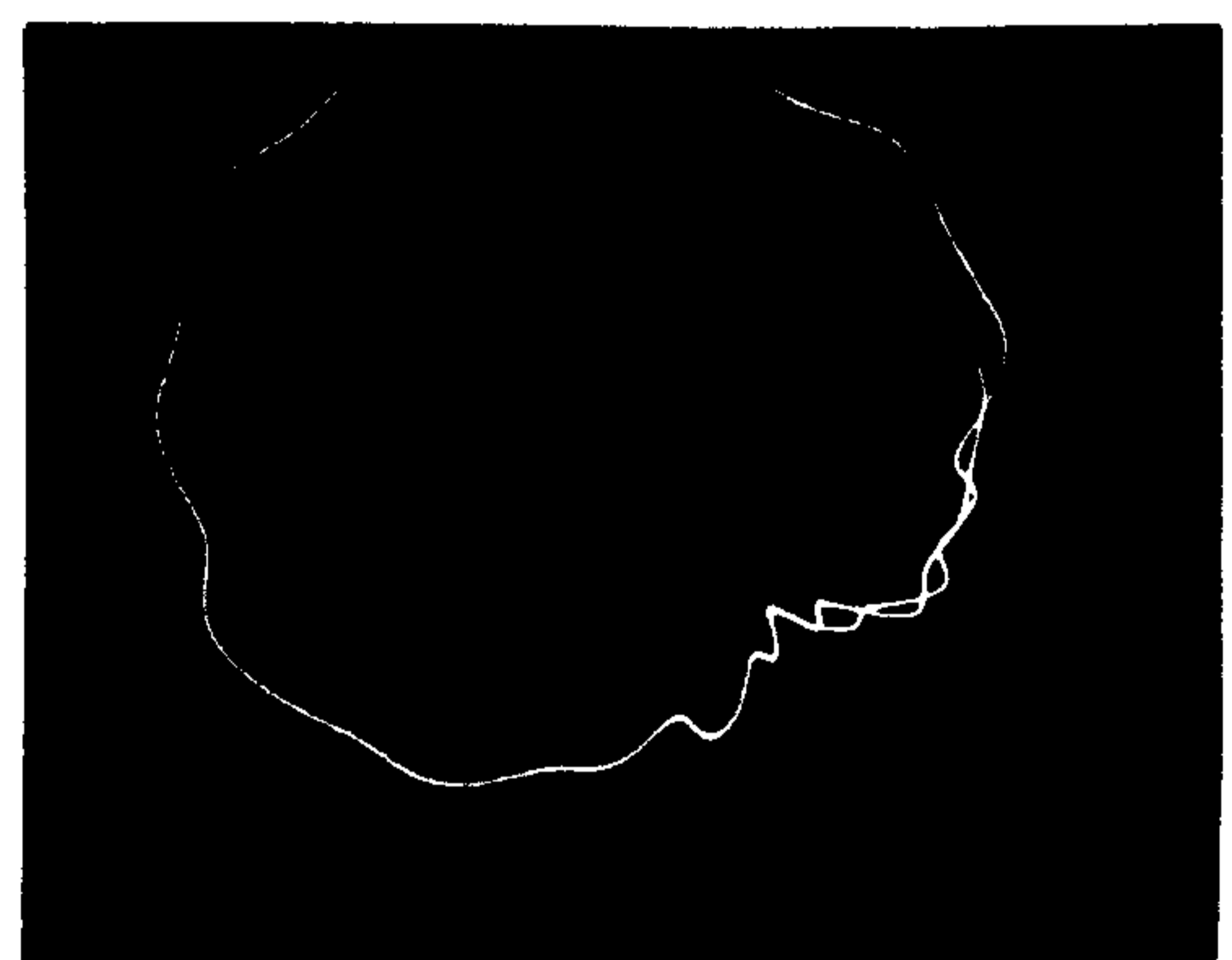


1 rev

(b) after 30 minutes



8 rev ( PCRW :  $10.0 \mu m$  )



1 rev

(c) after 60 minutes

Fig.5-14 Axial error motion of modified spindle

맞춤으로 한 결과 그 틈새사이에서의 振動이 많이 나타났다는 것을 의미한다. 그러나 精度는  $1.45 \sim 2.35 \mu m$ 로 개선되었음을 보였다. 軸 方向의 精度를 보면 振幅은 全體的으로 줄어들고 있으나 빈도에서는 거의 비슷한 경향을 보이고 있다. 또한 再現性도 훨씬 양호하게 나타나고 있다. 이들 그림에서 공통적으로 한 부분에서 심한 기복을 보이고 있는데 이는 組立의 alignment의 불량인 그 부분에서 나타나고 있는 것으로 보인다.

개선된 主軸部에 대해서 運轉時間과 回轉精度와의 관계를 Fig.5-15 과 Fig.5-16 에 나타내었다.

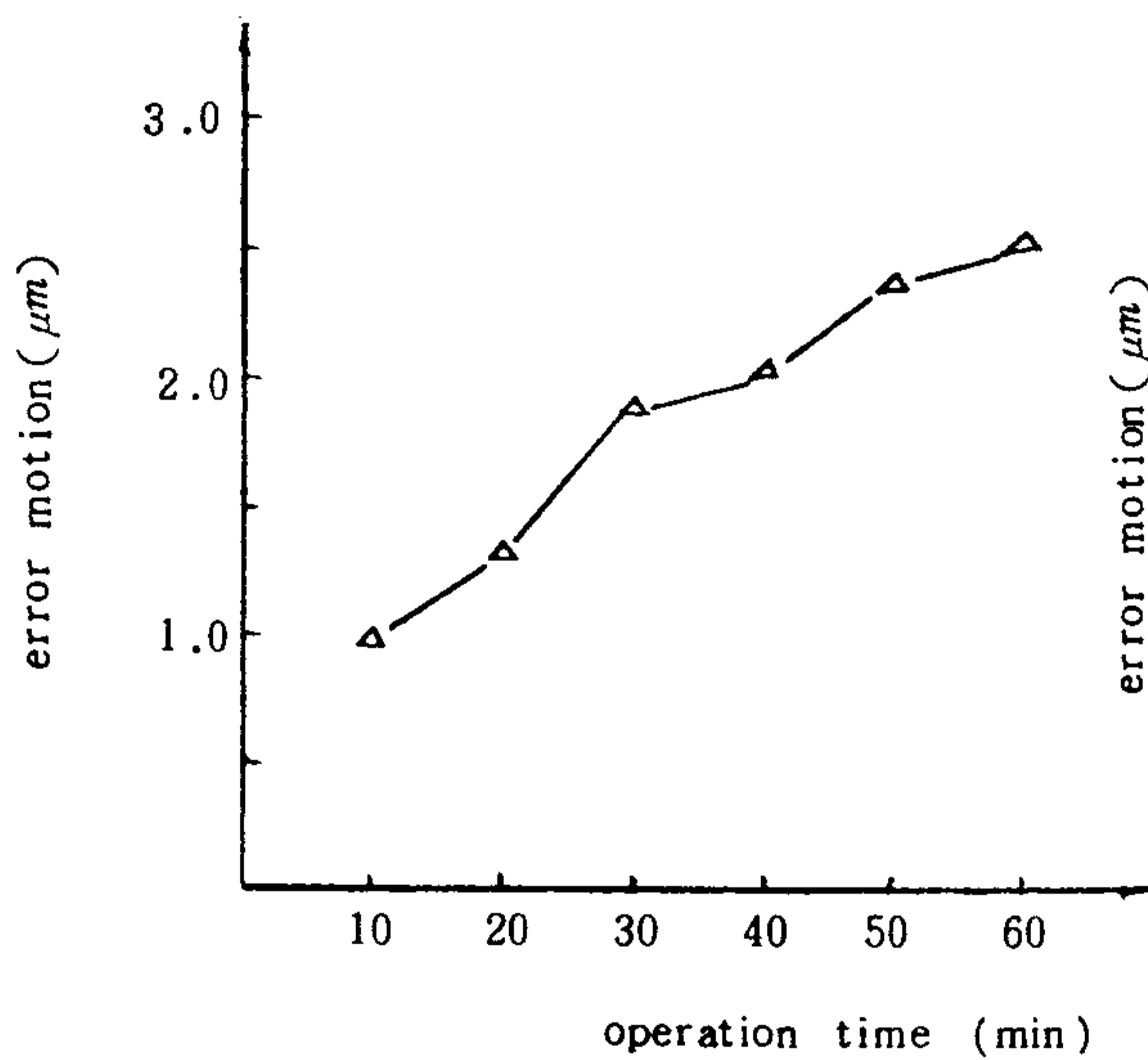


Fig. 5-15 Radial error motion of modified spindle

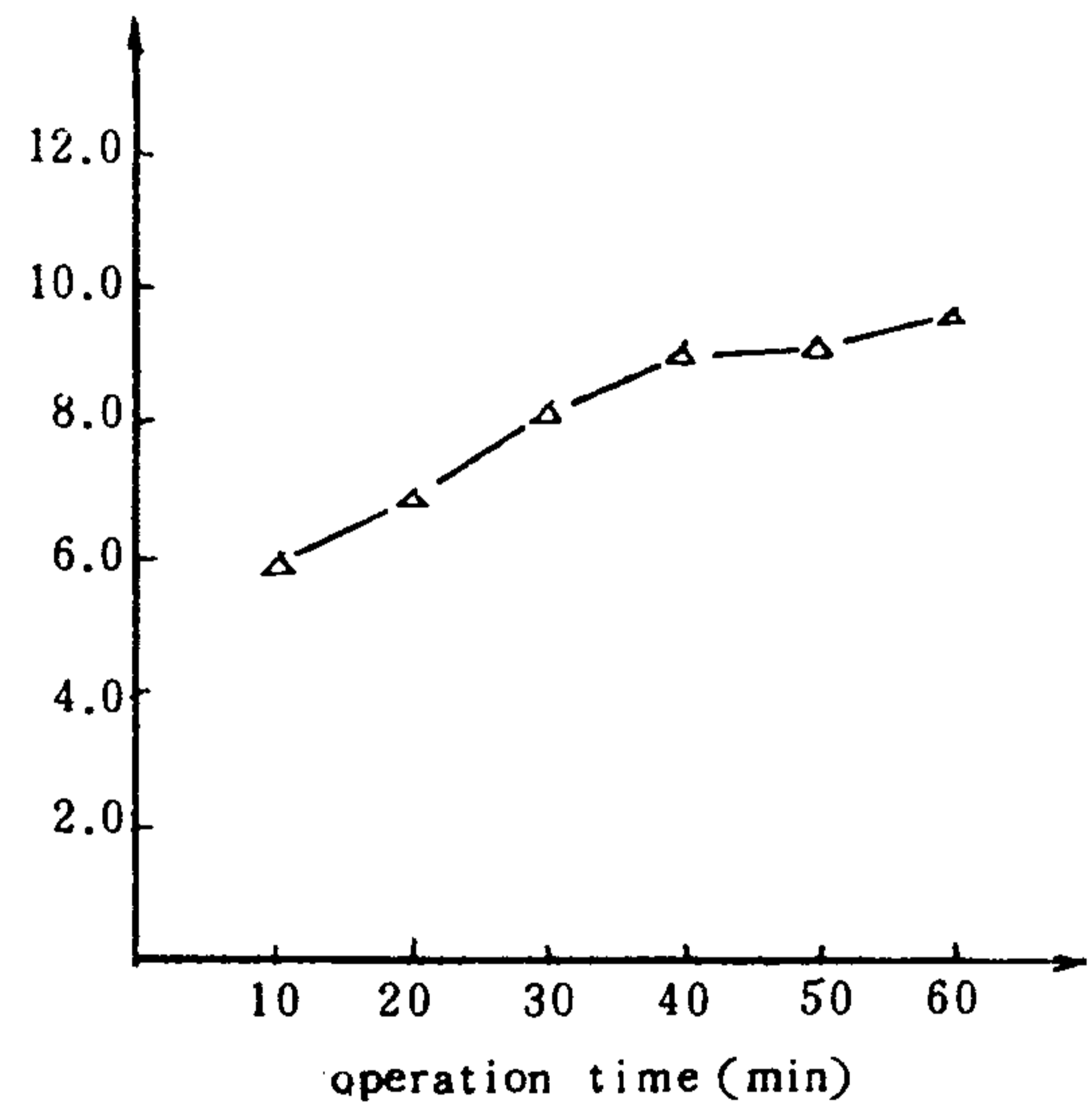


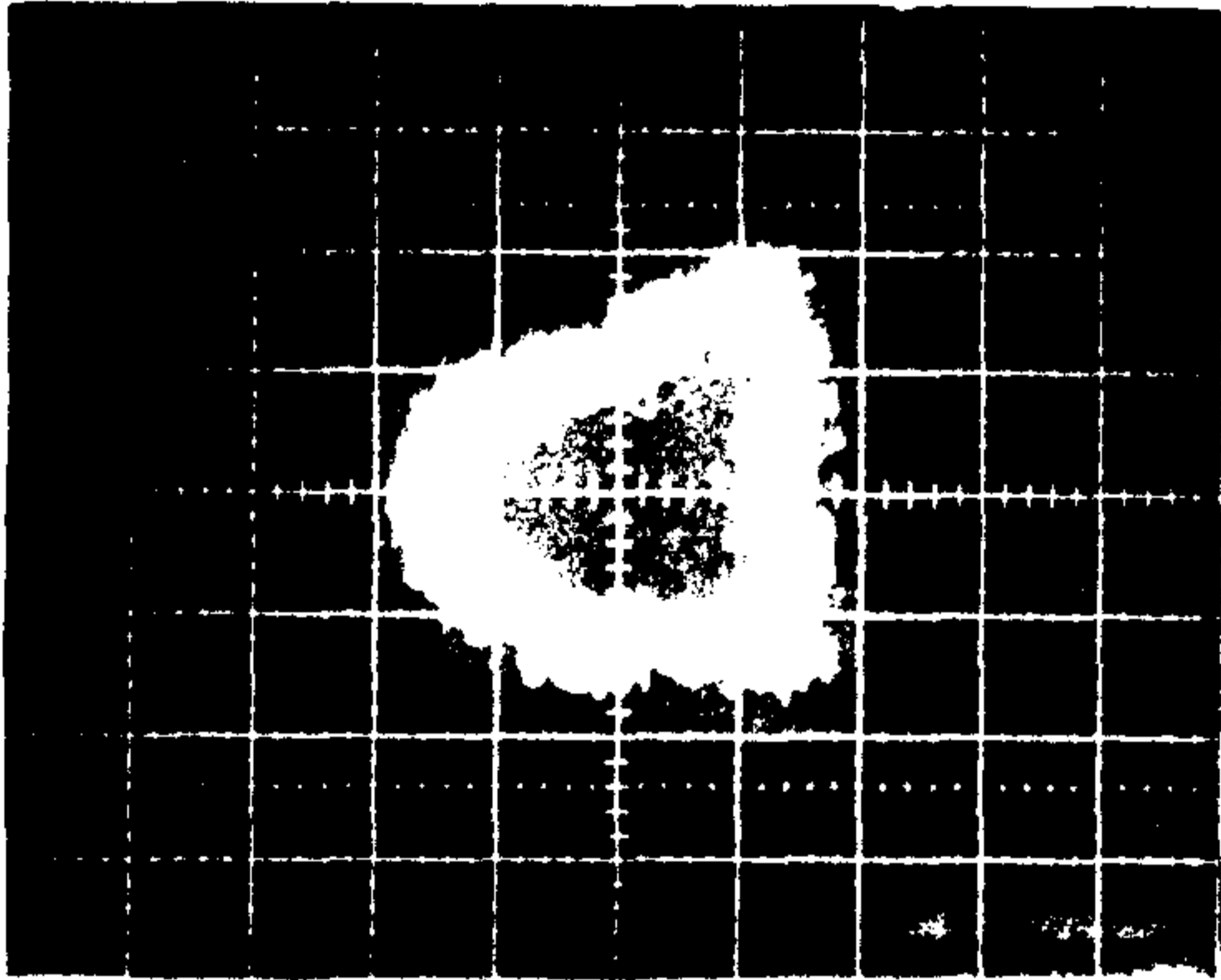
Fig. 5-16 Axial error motion of modified spindle



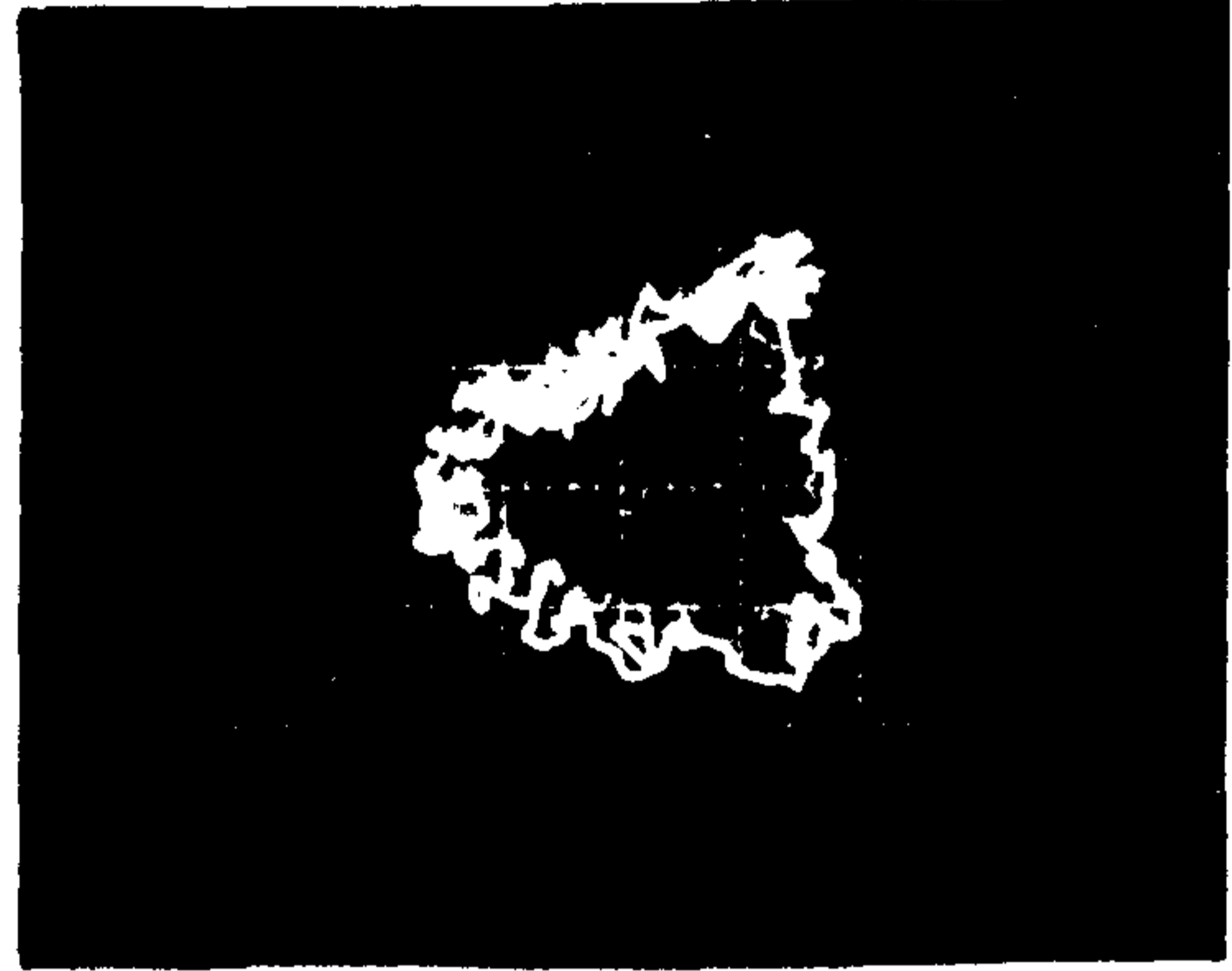
이상의 결과에서 回轉誤差의 원인을 알아보기 위하여 軸心の 運動을 測定하여 Fig. 5-17에 나타내었다. 여기서 特徴적으로 나타나는 것은 國産의 경우 軸心の 運動은 거의 三角型으로 이루어지고 있으며 外産은 거의 圓에 가깝게 나타나고 있다. 國産의 軸心の 이러한 運動은 回轉精度를 나쁘게 하고 있는 것으로 보인다.

여기서 結論적으로 말할 수 있는 것은 國産의 경우 깊은 홈 볼 베어링보다는 Angular contact ball 베어링을 사용하고 끼워맞춤도 chap 6에서와 같이 틈새를 주는 것이 비록 振動振幅 및 그 빈도에서는 크게 나타나나 加工精度에 영향을 미치는 回轉精度는 향상되고 있다. 또한 國産의 경우 한 부분에서 나타나고 있는 特異한 형태는 組立의 alignment의 불량에 의한 것으로 판단된다.

한편, 運轉時間에 따라서 主軸의 變形이 생기나 여기서는 그 變形이 回轉精度에 포함되어 있어 순수한 回轉精度는 위에서 測定된 것 보다는 특히 國産의 경우 다소 양호하게 나타날 것으로 보인다.

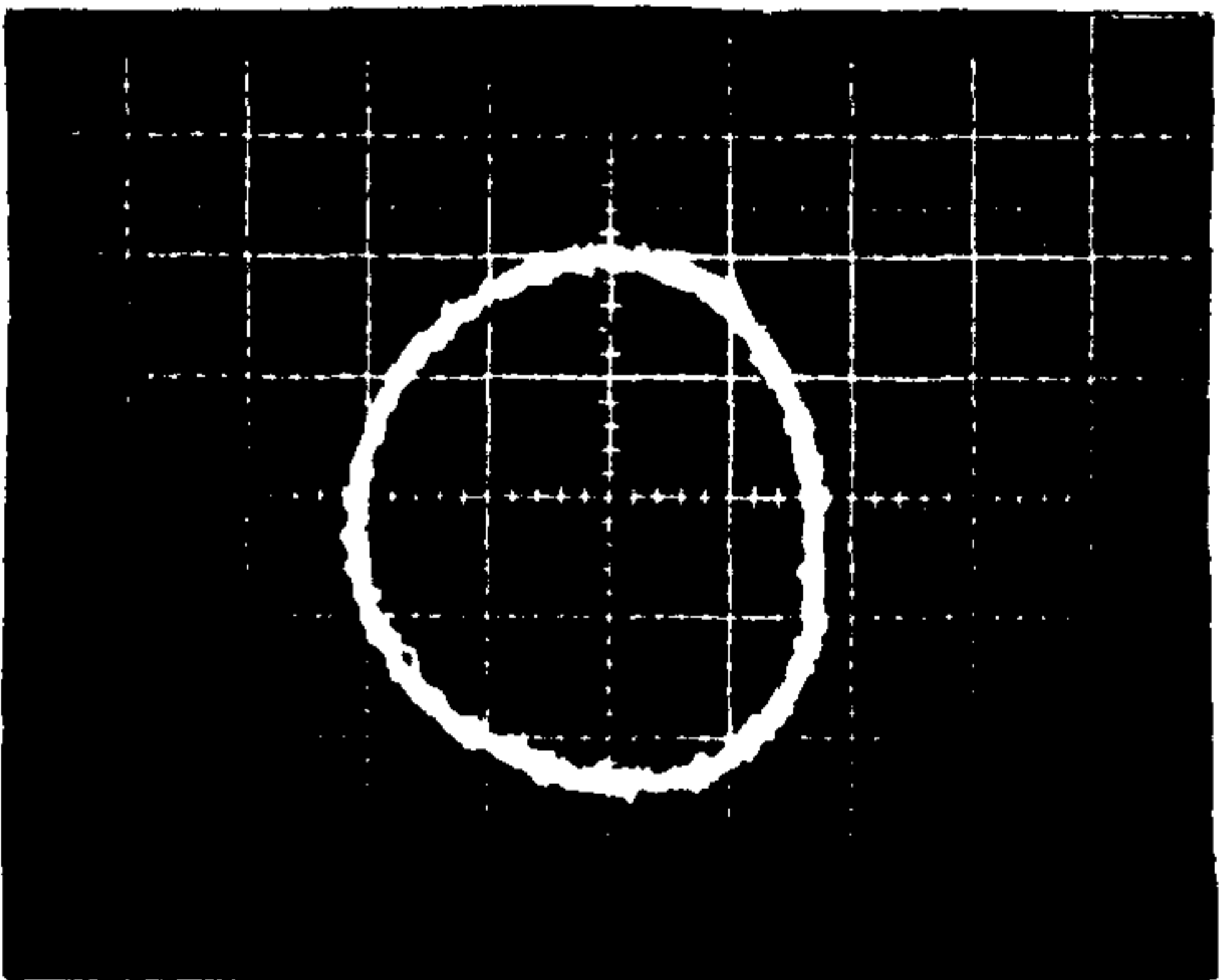


8 rev

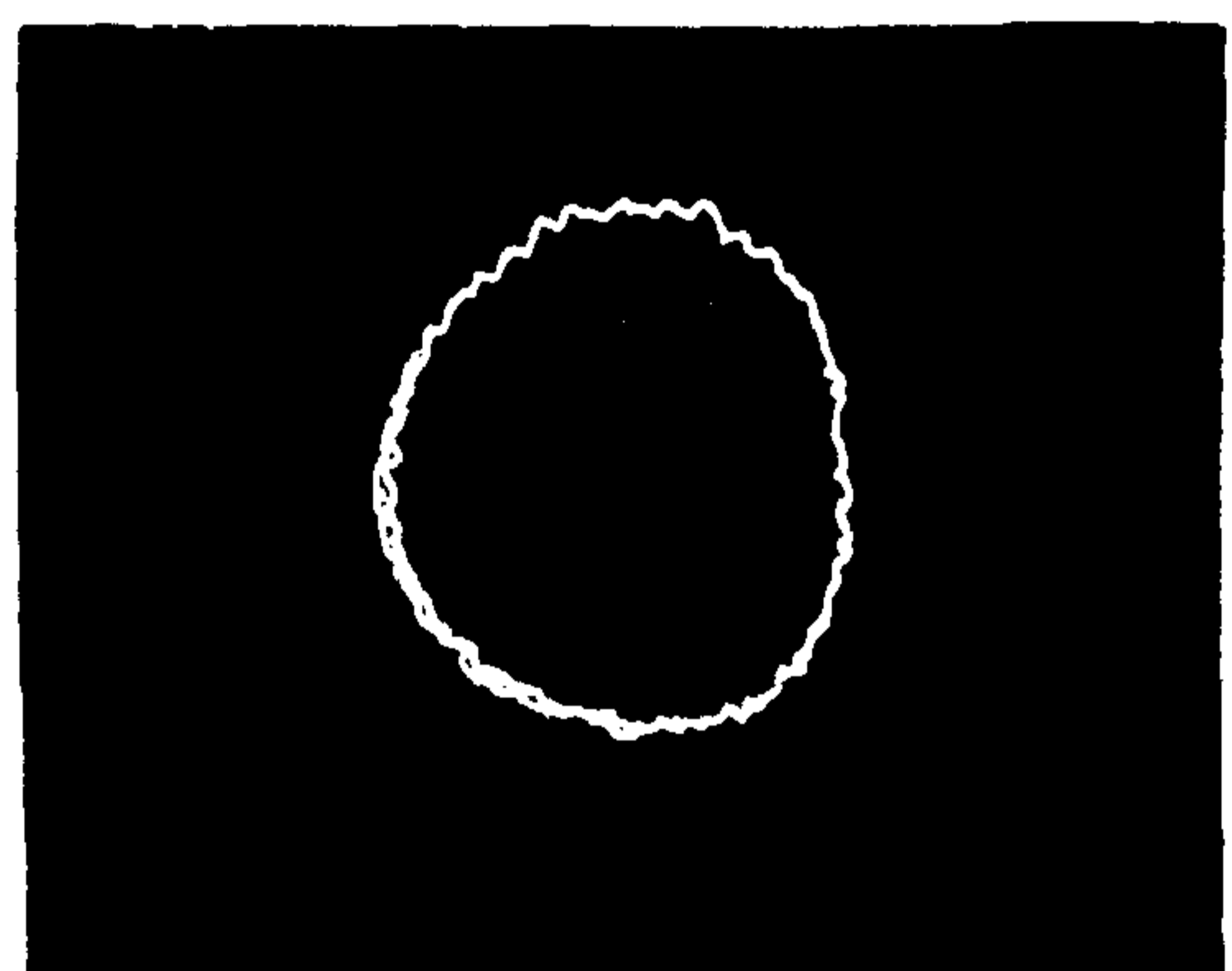


1 rev

(a) Domestic Spindle



8 rev



1 rev

(b) foreign spindle

Fig. 5 - 17 Error motion of rotation center after 30 minutes

## 6. 綜合的 考察

國產 및 外產의 成形研削機에 대한 主軸部 解析結果와 나타난 問題點은 다음과 같았다.

國產과 外產의 主軸部 構造의 가장 큰 차이점은 主軸 베어링의 選定 및 主軸의 組立公差였다. 이들은 研削機의 加工精密度와 밀접한 關係를 가지고 있는 것으로 本 研究에서는 이들을 主고려요소로 하여 베어링을 再選定하고 추천되고 있는 組立公差를 基準으로 主軸과 하우징을 아래와 같이 改善하였다.

	位 置	公 差				배 어 링		
		初 期	改 善	外 產	推 薦	初 期	改 善	外 產
前部 베어링	外輪과하우징	-2~-2.5	+2~+4	+2~+4	+2~+4	6206 ZZ	7206 C P5	7006 C P4
	內輪과 軸	-4~-3	+0.5~ +4.5	+2~+4.5	0~+2			
後部 베어링	外輪과하우징	-12~-6.5	+6.5~ +9.0	+13	+6~+8	6205 ZZ	7205 C P5	7007 C P4
	內輪과 軸	-5.5	+0.5	0	0~+2			

일반적으로 工作機械의 主軸베어링은 圓筒로울러 베어링, 테이퍼 로울러 베어링을 사용하며 高速 高精度를 必要로 하는 工作機械 및 研削機等에는 앵글러 콘택트 볼 베어링을 사용한다. 왜냐하면, 剛性側面에서는 약간 뒤떨어지나 加工이 쉬워 回轉精度等이 아주 우수한 高精度級을 만들 수 있으며, 予壓을 조절함으로써 剛性を 높일 수 있고 힘도 지지할 수 있기 때문이다. 研削機에서는 P4 級의 高精度베어링을 사용하여야 하나 本 研究에서는 구입의 어려움으로 P5를 택하였다.

한편, 組立公差의 選定에 있어 後部베어링의 外輪과 하우징 틈새를

크게 한 것은 베어링 發熱에 의한 主軸과 하우징의 팽창이 다를 때 베어링의 파손을 방지하기 위하여 軸方向으로 움직일 수 있도록 하기 위한 것이다.

解析結果는 다음과 같았다.

## 6 - 1 靜 剛 性

主軸端에 作用하는 荷重이 10 kgf 일 때 主軸先端의 變形物은 計算值가 베어링 剛性を 線形으로 가정할 때  $7.78 \mu m$ , 非線形으로 가정할 때  $9.43 \mu m$ 로 나타났으며 實驗値는  $14.0 \mu m$  였다(Fig.2-7). 實驗値가 크게 나타난 것은 프로그램이 組立틈새를 고려하지 않은 점과 軸지름을 平均值로 計算한 데 기인하는 것으로 판단된다.

한편, 主軸先端의 처짐을 最小로 하는 前後 베어링의 最適간격은 베어링 간격에 대한 前部 돌출부 길이의 비 R이 베어링 剛성이 線形일 때  $R = 0.52$ (最適간격  $163.6mm$ ), 非線形일 때  $R = 0.47$ (最適간격  $181.0mm$ )로 나타났다. 主軸先端, 主軸끝단 및 前後베어링 中點의 3點의 처짐을 最小化하는 경우는 線形 및 非線形에 대하여  $R=0.51$ (最適간격  $165.0mm$ ),  $R = 0.46$ (最適간격  $186.9mm$ )로 나타나 研究 모델의 베어링 간격이  $165.0mm$ 이므로 이 設計値는 베어링 剛性を 線形으로 가정한 것이었다.

실제의 베어링 剛성은 非線形이므로 베어링 간격은 현재보다  $20mm$  前後로 넓게 해주어야 靜剛성이 最大로 될 것이다.

또한, 主軸의 剛성에 영향을 미치는 정도는 主軸지름이 현저히 크고 다음이 前部돌출부길이, 前部베어링剛性, 後部베어링剛性的의 순으로 나타났다. 특히 베어링剛성은 主軸의 靜剛性에는 거의 영향을 미치지 않

는 것으로 나타나 (Table 2-8) 主軸設計時 베어링의 선정은 剛性보다는 發熱이나 回轉精度등을 양호하게 하는 것으로 해야 한다.

## 6 - 2 動的 특성

改善된 主軸系에 대하여 傳達매트릭스法 (transfer matrix method) 을 이용한 回轉軸의 振動解析을 위한 범용프로그램으로 動的 특성을 조사한 결과 主軸의 1次 固有振動數는 5050 Hz, 2次 固有振動數는 17750 Hz로 나타났다. 이와 같이 主軸의 固有振動數가 運轉速度보다 훨씬 높게 나타난 것은 비교적 적은 軸荷重에 대하여 主軸과 베어링剛性이 매우 높은 데 기인하며 이는 工作機械 主軸의 일반적 특성으로 알려져 있다.

한편, 실제 研削機의 組立狀態에서의 主軸先端의 振動特성을 알아보기 위하여 충격시험을 통한 周波數 分析을 한 결과 첫번째 peak는 610 Hz, 두번째는 1360 Hz, 세번째는 1710 Hz로 나타났으며 (Fig.3-5) 실제 無負荷狀態에서 運轉時 前部 베어링 Housing에서 振動을 測定한 결과 610 Hz에서 peak를 보여주고 있어 研削機 最大運轉速度(60 Hz)보다 훨씬 높은 周波數에서 共振이 일어난다.

## 6 - 3 熱 剛 性

主軸베어링과 組立公差를 改善한 결과 前部 하우징에서의 溫度上昇은 初期 25°C에서 20°C로(外産: 7°C), 後部 하우징에서는 20°C에서 14°C(外産: 8°C)로 改善되었다. 또한, 테이블上面과 主軸先端中心의 相對的 變位도 48  $\mu m$ 에서 32  $\mu m$ (外産: 11  $\mu m$ )로 改善되었다.

한편, 칼럼 前後面의 溫度差에 의한 칼럼의 變形이 主軸先端中心과

테이블 上面과의 相對變位에 미치는 영향은 약 20%를 차지하고 있으며 이는 칼럼前後面の 熱的 非對稱性에 기인하는 것으로 이의 構造가 改善되어야 한다.

## 6 - 4 回轉精度

改善된 主軸系 및 外産에 대한 主軸先端(spindle nose)의 半徑方向 向 및 軸方向 回轉精度를 Fig. 6-1, 6-2에 각각 나타내었다.

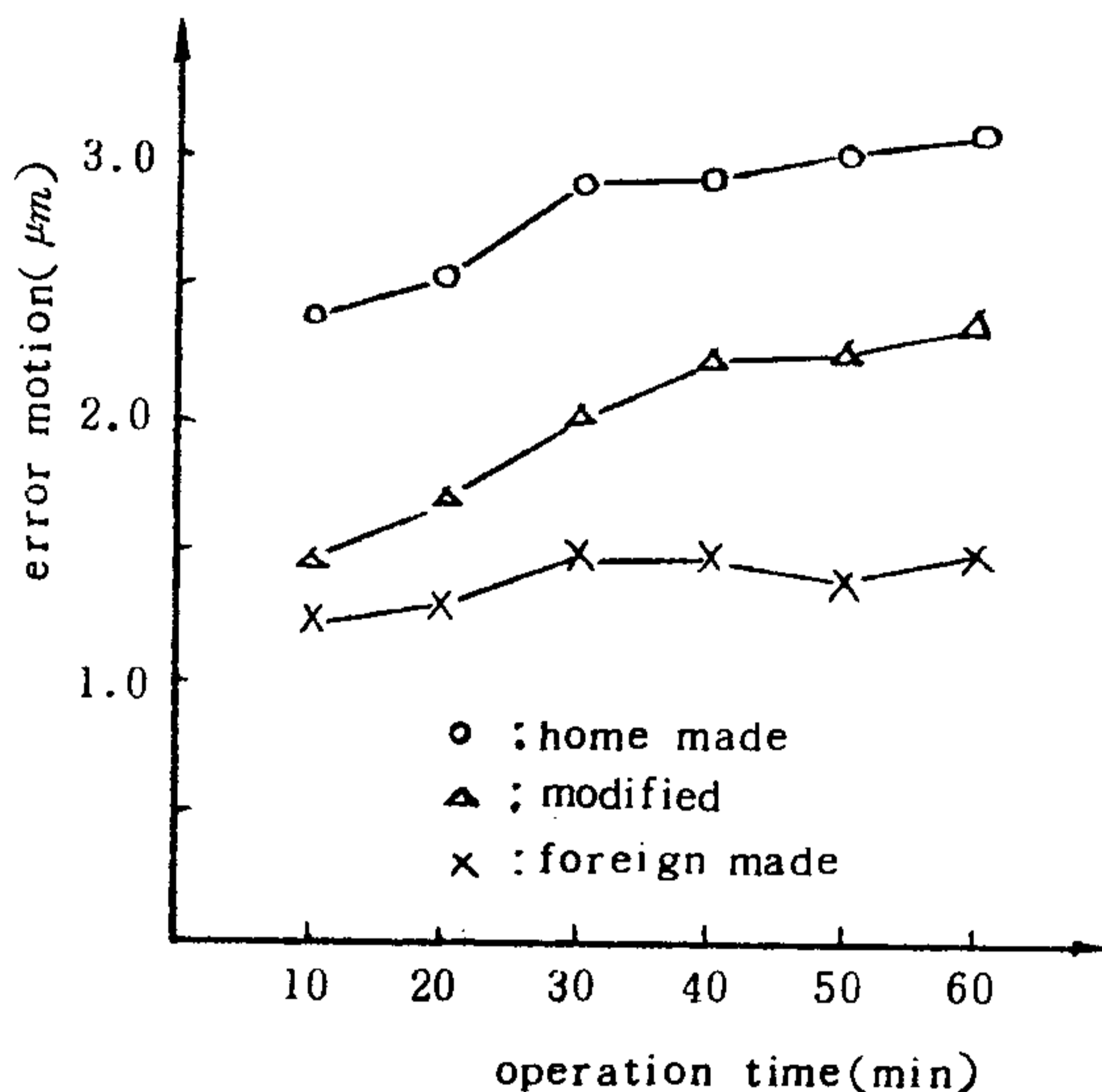


Fig. 6-1 Radial error motion

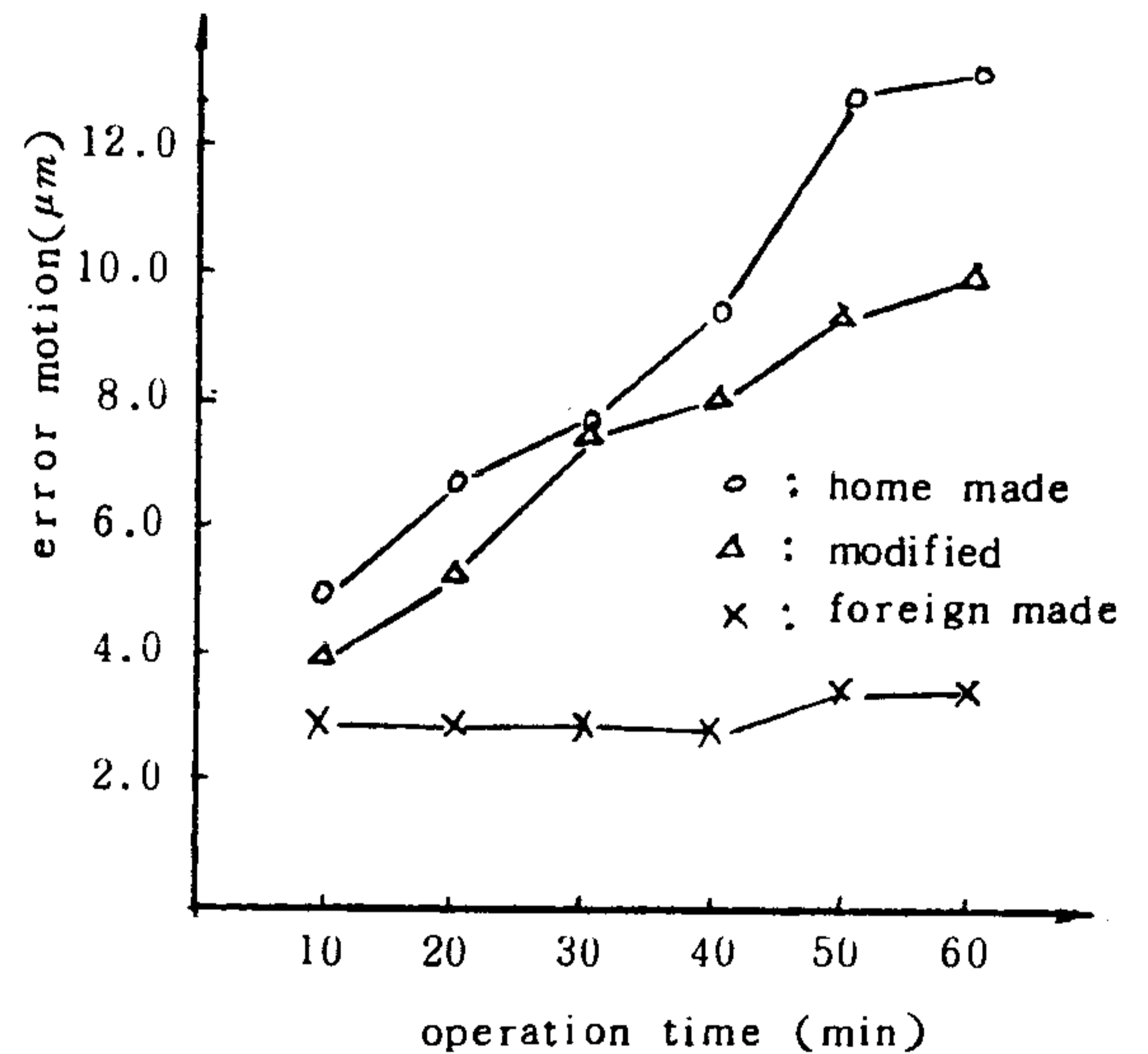


Fig. 6-2 Axial error motion

위 그림에서 보는 바와 같이 國産의 改善된 主軸의 回轉精度는 상당히 개선되었으나 外産에 비교하면 그 變化정도나 절대치가 크게 나타나고 있다.

또한 Fig. 5-7 ~ Fig. 5-14에서 보면 改善된 主軸系에 있어서 振動 振幅 및 그 빈도가 크게 나타나고 있는데 이는 改善된 主軸系의 組立 틈새에 기인한 것으로 보이나 加工精度에 영향을 미치는 回轉精度

는 양호하게 나타나고 있어 문제가 되지 않는다. 이들 그림 중에서 國産에 나타나고 있는 한 부분의 심한 찌그러짐 현상은 組立의 alignment의 불량과 온도상승에 의한 主軸의 熱變形이 한쪽 부분으로만 일어나고 있음을 나타내는 것이다.

이상의 結果를 보면 主軸部の 熱變形 및 回轉精度는 베어링選定과 組立틈새에 큰 영향을 받는다는 것을 알 수 있으며 構造改善 結果 상당히 양호한 結果를 얻었다. 따라서, 本 研究에서 改善된 設計値와 附錄 3에 나타낸 加工公差例는 실제 研削機 主軸部 設計에 適用할 수 있다.

한편, 本 研究에서는 베어링의 加工精度, 하우징과 主軸의 形狀精度 運轉유등은 고려되지 않았으며 각종 實驗의 運轉條件은 無負荷 상태였다. 따라서 실제 研削時의 主軸部 特性과 이들에 의한 加工精密度에 관한 研究가 계속되어야 할 것이다.

## 7. 結 論

國產 및 外產 成形 研削機의 主軸部 構造解析을 통하여 다음과 같은 結論을 얻었다.

1) 靜剛性 解析을 통하여 研削機 主軸의 變形을 計算하였으며 最適 베어링간격은 前部베어링 돌출부 길이와 베어링 간격의 比가 0.46 ~ 0.51 일 때 이다. 國產 研削機의 경우 165 mm는 베어링 剛性を 線形으로 가정한 設計值였으며 실제 베어링의 剛성이 非線形임을 고려하면 185 mm 정도로 改善되어야 한다.

2) 傳達 매트릭스 法을 이용한 動剛性 解析을 통하여 主軸의 1次 固有振動數는 5050Hz, 2次 固有振動數는 17750Hz로 나타났으며 主軸組立 상태에서 衝擊試驗을 통한 主軸先端의 振動特性은 610Hz, 1360 Hz 및 1710Hz 등에서 피이크가 나타나며 研削機 最大運轉速度(60 Hz)보다 훨씬 높은 周波數에서 共振이 일어난다.

3) 國產 研削機의 경우 主軸 베어링의 選定 및 主軸의 組立公差에 問題가 있었으므로 베어링을 깊은 홈볼 베어링(deep groove ball bearing)에서 앵글러 콘택트 볼 베어링(angular contact ball bearing)으로 바꾸고 組立公差도 억지 끼워 맞춤(press fit)에서 헐거운 끼워맞춤(sliding fit)으로 軸과 하우징을 再加工하여 試驗한 結果 主軸의 精密度가 向上되었다.

4) 熱剛性 解析 結果 칼럼 前後面の 溫度差에 의한 칼럼의 變形이 主軸先端 中心과 테이블 上面과의 相對變位에 미치는 영향은 약 20%를 차지하고 있으며 이는 칼럼 前後面の 熱的 非對稱性에 기인하는 것으로 이의 構造가 개선되어야 하며, 回轉精度는 主軸部를 改



善한 결과 半徑方向 回轉精度는  $2.35\sim 3.10\ \mu m$ 에서  $1.45\sim 2.35\ \mu m$ 로, 軸方向 回轉精度는  $4.30\sim 12.6\ \mu m$ 에서  $4.0\sim 10.0\ \mu m$ 로 나타났다.

5) 回轉精度 그래프 상에 나타난 한 部分의 심한 찌그러짐 현상은 加工不良으로 인한 組立의 alignment가 맞지 않은 結果로 主軸의 變形이 한쪽으로만 억제되어 나타나고 있었다.

6) IBM PC(Cyborg - M)를 사용하여 主軸의 靜剛性, 最適設計 및 溫度 分布를 구하기 위한 電算 프로그램을 開發하였으며, 이들은 研削機 主軸의 새로운 設計 뿐만 아니라 기존 研削機 主軸의 設計 受當性 檢討에 쉽게 適用할 수 있다.

7) 이상의 解析에서 熱變性, 回轉精度는 主軸 베어링의 選定과 軸, 베어링 및 하우징과의 組立公差와 밀접한 關係를 가지고 있다.

## 參 考 文 獻

- (1) H. Optiz, K. Honrath, D. G jher, M. Hoffman, Forschungs Boichte des Landes Nordrhein-westfalen, Nr. 1331, 1934
- (2) G. Schlesinger, Springer : Pie werkzeug machinen, 1930
- (3) Yang Shuzi, A study of the static Stiffness of Machine Tool spindles, Int. J MTDR, vol 21, No1, pp 23-40, 1981
- (4) H. Ragab, Bearing stiffness and the Optimum Design of Machine Tool spindles, Machinery, 6. Nov, pp 519-524, 1974
- (5) J. G. Bollinger, G. Geiger, Analysis of the Static and Dgnanic Behavior of lathe spindles, Int. T MTDR, vol3, pp 193-209, 1964
- (6) 安井武司, 工作機械の主軸における軸受設計, 應用機械工學, 1, pp. 98~103, 1969.
- (7) Pestel, E.C., Leckie, F.A., Matrix Methods in Elastomechanics, Mc Gr-an - Hill, 1963
- (8) D. C. Han, A. Meyer, Program zur Brechnung der Querschwing ungen allemeiner Roteren mit zusateinflussen, Universitat karsruhe, 1982
- (9) 한동철, 부수적인 영향을 고려한 일반적인 회전축의 횡진동에 관한 연구, 대한기계학회 논문집, 的, 1, pp 81-90, 1985
- (10) J. Peklnik, Unter suchung der Genauigkeits fragen inder Automatisierten Fertigung, 1967
- (11) G. Spur, H. Fisher, Thermal behavior of machine tools, 1969
- (12) 本田富士雄外 1 人, 工作機械の熱變形(立てフライス盤 ついて), Journal of the J.S.M.E., Vol.67, No. 546, pp 98-105, 1964.

- (13) J.P. Holman, Heat Transfer, International Student Edition, 1976.
- (14) 奥島啓式外 2 人, 工作機械の熱變形に関する研究(第2報), 精密機械, 38 券 7 號, pp. 7 ~ 13, 1972.
- (15) 奥島啓式外 2 人, 工作機械の熱變形に関する研究(第3報), 精密機械, 39 券 2 號, pp. 100 ~ 106, 1973.
- (16) 李長茂外 1 人, 工作機械 性能向上의 理論斗 實際(II), 大韓機械學會誌, Vol.21, No.1, pp. 6 ~ 9, 1981.
- (17) 李長茂外 1 1 人, 工作機械 性能向上의 理論斗 實際(III), 大韓機械學會誌, Vol.21, No.2, pp. 96 ~ 101, 1981.
- (18) 垣野義昭等, 軸の回轉精度に関する研究(第1報) - 工具回轉型の半徑方向回轉精度の新しい測定法, 精密機械, 43,6(1977), 720.
- (19) 山本謙等, 軸の回轉精度に関する研究(第2報) - 工作物回轉型主軸の回轉精度の測定法, 精密機械, 44,6(1978), 728.
- (20) 石井信雄等, 軸の回轉精度に関する研究(第3報) - 靜的な回轉誤差原因の診斷法, 精密機械, 45,4(1979), 449.
- (21) 水津弘次等, 軸の回轉精度に関する研究(第4報) - 中ぐり加工中のラジアル回轉精度の測定, 精密機械, 45,11(1979), 1334.
- (22) 杉田和彦, 超精密加工機械用軸受, 豊田工機技報, 25,3(1985) pp.13 ~ 19.
- (23) 後藤佳昭等, 工作機械用精密ころがり軸受の研究 - 主軸の舉動觀測と精密玉軸受の問題點, 日本機械學會誌, 66,536(1971), pp.1171 ~ 1182.

附錄 1

試驗用 研削機의 精度比較表

靜的 精密度

(단위 : mm)

번호	검 사 항 목		허 용 치	國 産	外 産
				측 정 치	측 정 치
1	테이블 윗면의 진직도	좌우방향	0.02 / m	0.02	0.02
		전후방향	0.02 / m	0.02	0.02
2	테이블 운동의 진직도	좌우방향 (수직면내)	0.02 / m	0.01	0.02
		전후방향 (수직면내)	0.02 / m	0.01	0.02
		좌우방향 (수평면내)	1,000 에 대해 0.01	0.008	실측 350 0.003
3	테이블 좌우운동과 그 윗면의 평행도		1,000 에 대해 0.01	0.006	실측 350 0.003
4	테이블 전후운동과 테이블 상면과의 평행도		300 에 대해 0.01	0.010	실측 150 0.003
5	테이블 좌우운동과 테이블 전후운동과의 직각도		300 에 대해 0.02	0.020	실측 150 0.003
6	연삭 슷돌 축끝 원뿔면의 흔들림		0.01	0.006	0.002
7	연삭 슷돌축의 축방향 움직임		0.005	0.002	0.001

(단위 : mm)

번호	검 사 항 목	허 용 치	國 産	外 産
			측 정 치	측 정 치
8	연삭 슷돌축 중심선과 테이블 상면과의 평행도	회전지름 300에 대해 0.02	0.010	0.003
9	테이블 좌우운동과 연삭스틀축 중심선의 직각도	회전지름 300에 대해 0.02	0.006	0.003
10	연삭스틀 헤드의 상하운동과 테이블 윗면과의 전후방향에서의 직각도	100에 대해 0.01	0.008	0.003

工作精密度

번호	검 사 항 목	허 용 치	國 産	外 産
			측 정 치	측 정 치
1	공작물 두께의 균일	좌우방향 300에 대해 0.005	0.004	0.003
		전후방향 300에 대해 0.005	0.004	0.003

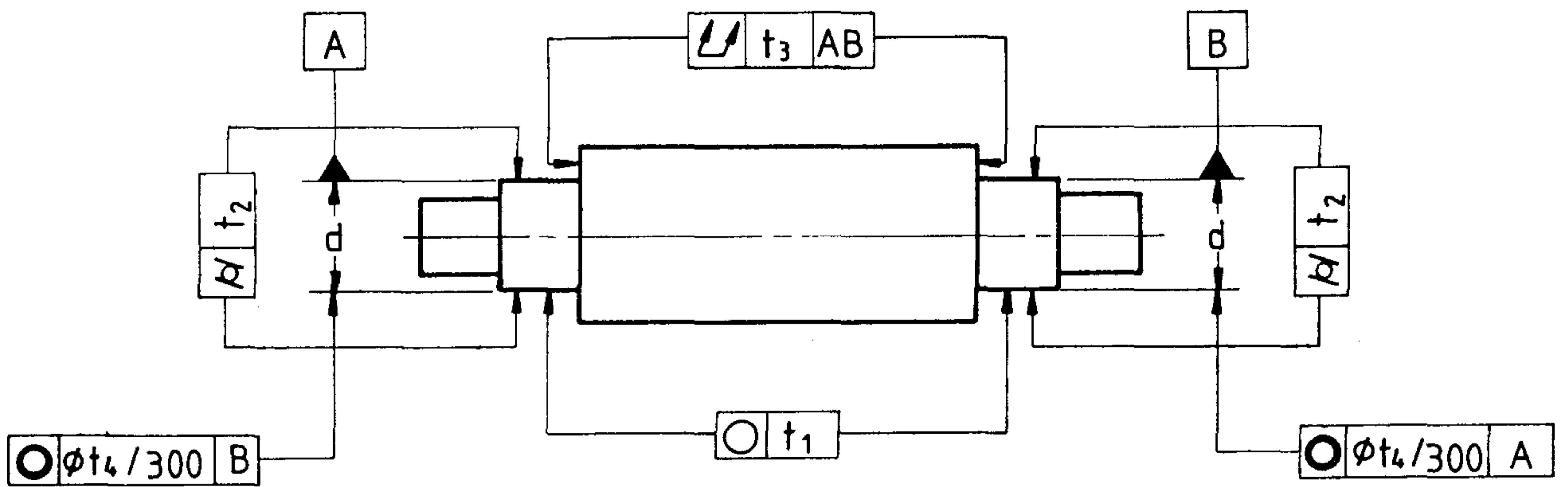
附錄 2

製作會社別 研削機 시방 대비표

국	국 산																외 산	
	JB		KH			KY			DH				KI				OK	
	A	B	A	B	C	A	B	C	A	B	C	D	A	B	C	D		
형 식	5°42'		7°8'			7°30'	7°	7°30'	5°30'	5°30'	18°	5°42'	14°	14°	14°	14°	5°30'	
회전 수 (RPM)	3550		3500			2800	3500	2800	3450	3450	1720	1800	1800	3400	1700	3400	3550	
테이블 스크류	방향	우		우			우			우				우	좌	좌	우	좌
	직경	20 φ	25 φ	22 φ			20 φ			20 φ	20 φ	25 φ	28 φ		25 φ		20 φ	22 φ
	피치	3 mm	6 mm	4.5 mm			4 mm			3 mm	5 mm	3 mm	6 mm	2 mm	5 mm	5 mm	2 mm	3 mm
숫돌축 회전방향	우		우			우			좌	우	좌	좌	좌	우	우	우	우	
테이블이송 핸들 위치	전후	중앙		중앙			중앙			중앙				중앙				중앙
	좌우	좌	좌	좌	좌	좌	좌			우	우	좌	좌	우	좌	좌	좌	좌
숫돌헤드 이송 핸들	우		좌	좌	우	좌			좌		우		좌	우	우	우	우	
제어반 부착 위치	좌		우	우	중앙	우			우	우	좌	우	좌	우	우	우	우	

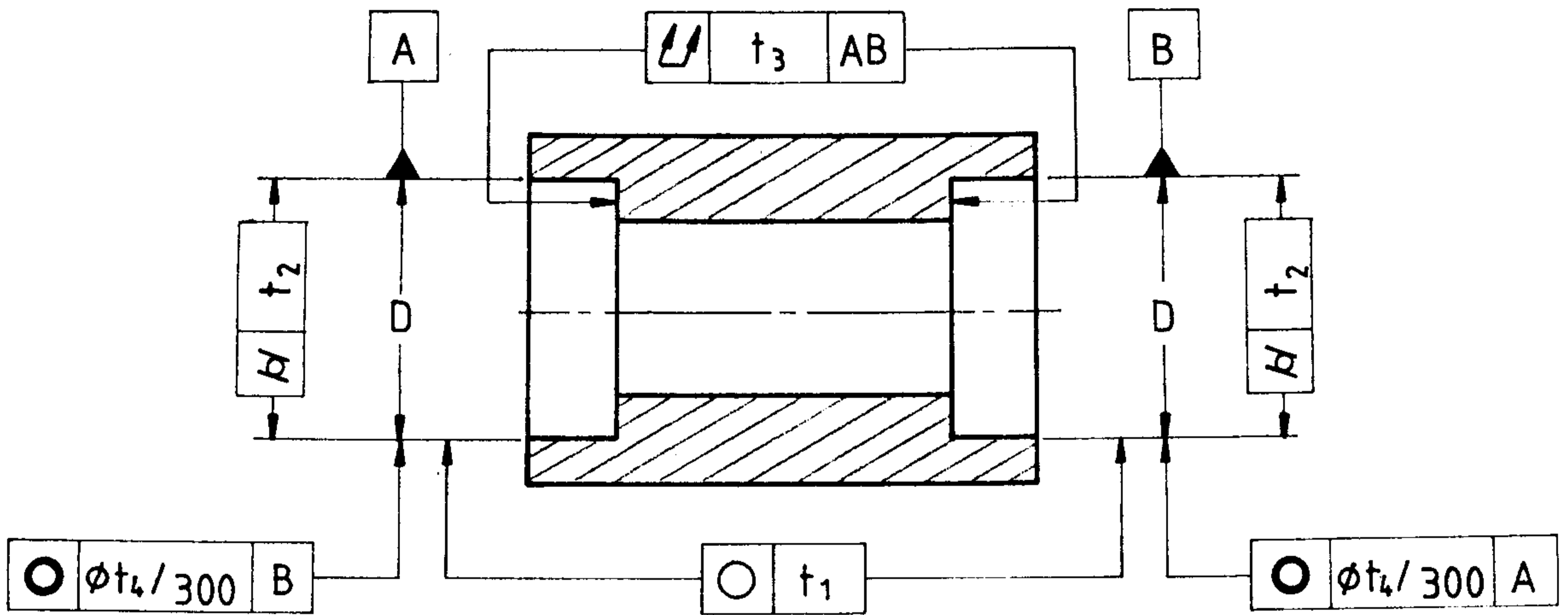
附錄 3 .

主軸과 하우징의 베어링 組立部分의  
加工公差 設計例 (P4級 베어링 基準)



主軸의 호칭 직경 $d$ (mm)	$d$ 의公差	$t_1$ ○	$t_2$ R <sub>a</sub>	$t_3$ R <sub>a</sub>	$t_4$ ◎	R <sub>a</sub>
18 ~ 30	+3 -3	1	1.5	2.5	9	0.2
30 ~ 50	+3.5 -3.5	1	1.5	2.5	9	0.2
50 ~ 80	+4 -4	1.2	2	3	9	0.2

(公差단위 :  $\mu\text{m}$ )



하우징의 호칭구경 $D$ (mm)	D의 공차		$t_1$	$t_2$	$t_3$	$t_4$	Ra
	고정측	자유측	○	$\varnothing$	$\nearrow$	◎	
30 ~ 50	+4 -3	+10 -3	1.5	2.5	4	9	0.4
50 ~ 80	+5 -3	+11 +3	2	3	5	9	0.4
80 ~ 120	+6 -4	+14 +4	2.5	4	6	9	0.8

(공차단위 :  $\mu\text{m}$ )

- $t_1$  ○ : 진원도의 공차
- $t_2$   $\varnothing$  : 원통도의 공차
- $t_3$   $\nearrow$  : 축방향 흔들림의 공차
- $t_4$  ◎ : 동심도의 공차
- Ra : 표면 거칠기